

საქართველოს
სინერგეტიკული
ცისამაღლებრი

სუ 220 GEN

GEORGIAN
ENGINEERING
NEWS

ISSN 1512-0287

საქართველოს
საინჰინირო
სიახლეები

GEORGIAN
ENGINEERING
NEWS

N2, vol. 91, 2020

**საქართველოს საინჟინრო სიახლეები
GEORGIAN ENGINEERING NEWS, №2, vol. 91, 2020**

**საერთაშორისო საინჟინრო აკადემია
საქართველოს საინჟინრო აკადემია**

მთავარი რედაქტორი: არჩილ ფრანგიშვილი

სარედაქციო კოლეგია

პ. ბიელიკი (სლოვაკეთი), ი. გორგიძე (საქართველო), ბ. გუსევი (რუსეთი), ნ. ედილბერტო (პერუ), ი. ემრი (სლოვაკეთი), ა. ვასილევი (უკრაინა), ლ. ივანოვი (რუსეთი), ა. კაბულოვი (უზბეკეთი), ბ. კატალინიჩი (ავსტრია), ვ. კეკელიძე (რუსეთი), პ. კერგალიშვილი (საქართველო), კ. კოროგულოვი (ყირგიზეთი), ს. მინასიანი (სომხეთი), ო. ნამიჩევიშვილი (საქართველო), პ. ნიკიტინი (ბელარუსია), დ. ნოვიკოვი (რუსეთი), ა. პაშაევი (აზერბაიჯანი), რ. ჯინჯიშვილი (ლიბერტი), ბ. გუსევი (უზბეკეთი), ლ. საიდმუროდოვი (ტაჯიკეთი), რ. შრაფტი (გერმანია), დ. ჩომახიძე (საქართველო), გ. ჯავახაძე (საქართველო), ა. ჯანახაძე (აზერბაიჯანი)

სარედაქციო საბჭო
დ. გორგიძე, ა. დოლიძე, ქ. მახაშვილი, მ. ფანწვიძე

**International Engineering Academy
Georgian Engineering Academy**

**Editor-in-Chief: Archil Prangishvili
EDITORIAL BOARD**

N. Edilberto (Peru), **D. Chomakhidze** (Georgia), **G. Javakhadze** (Georgia), **A. Janahmadov** (Azerbaijan),
P. Bielik (Slovakia), **I. Gorgidze** (Georgia), **B. Gusev** (Russia), **I. Emri** (Slovenia), **L. Ivanov** (Russia),
A. Kabulov (Uzbekistan), **K. Kozhogulov** (Kyrgyz Republic), **B. Katalinich** (Austria),
P. Kervalishvili (Georgia), **V. Kekelidze** (Russia), **S. Minasyan** (Armenia), **R. Ginevičius** (Lithuania),
O. Namicheishvili (Georgia), **P. Nikitenko** (Belarus), **D. Novikov** (Russia), **A. Pashayev** (Azerbaijan),
L. Saidmurodov (Tajikistan), **R. Shraft** (Germany), **A. Vasiliev** (Ukraine), **B. Zhumagulov** (Kazakhstan).

EDITORIAL STAFF:
D. Gorgidze, A. Dolidze K. Makhashvili and M. Panchvidze

Georgian Engineering News (GEN)LTD

Address: TECHINFORMI, St. Kostava 47, Tbilisi 0179

Tel.: 995 (32) 2335315, 2335122

Fax: 995 (32) 2335122

e-mail:nellym@caucasus.net

Internet: www.tech.caucasus.net

Copyright © by GEN LTD

ეძღვნება განო (ივანე) გორგაძის ხსოვნას



უკრნალი გამოსაცემად მზად იყო როდესაც მოულოდნელად, ხანმოკლე ავადმყოფობის შემდეგ გარდაიცვალა სარედაქციო კოლეგიის წევრი, საქართველოს საინჟინრო აკადემიის ერთ-ერთი დამფუძნებელი და აკადემიის აკადემიკოს-მდივანი, საერთაშორისო საინჟინრო აკადემიისა და ინფორმატიზაციის საერთაშორისო აკადემიის ნამდვილი წევრი, რუსეთის საბუნებისმეტყველო აკადემიის ნამდვილი წევრი, სსრ კავშირის სახელმწიფო პრემიის ლაურეატი, საქართველოს ტექნიკური უნივერსიტეტის პროფესორი ივანე (განო) გორგაძი.

ივანე გორგიძე დაიბადა 1942 წლის 12 ივნისს, ქ. თბილისში. 1959 წელს დაამთავრა ქ. თბილისის 30-ე საშუალო სკოლა და სწავლა გააგრძელა საქართველოს პოლიტექნიკური ინსტიტუტის გამოთვლითი ტექნიკისა და ინფორმაციის ფაკულტეტზე, რომელიც წარჩინებით დაამთავრა 1964 წელს.

ინსტიტუტში სწავლის პერიოდში მუშაობდა სპი-ის პროფესიული თავმჯდომარის მოადგილის თანამდებობაზე. უმაღლესი სასწავლებლის დამთავრების შემდეგ 1965–1978 წწ.-ში, მუშაობდა საქართველოს მეცნიერებათა აკადემიის გამოთვლით ცენტრში, შემდეგ სსრ კავშირის მეცნიერებათა აკადემიის მართვის პრობლემების ინსტიტუტში; 1975–1980 წწ.-ში იყო საქართველოს სამეცნიერო-სასწავლო ცენტრ „ალგორითმის“ დირექტორი; შემდგომ მუშაობდა საქართველოს მეცნიერებისა და ტექნიკის სახელმწიფო კომიტეტში, საქართველოს სახელმწიფო საგეგმო კომიტეტში, რესპუბლიკის მინისტრთა საბჭოში. 1996–2003 წწ.-ში იყო საქართველოს პრეზიდენტთან არსებული საინჟინრო და სამეცნიერო-ტექნიკური საბჭოს პასუხისმგებელი მდივანი; საქართველოს ინფორმაციისა და გამოთვლითი ტექნიკის საზოგადოების სწავლული მდივანი; საქართველოს კპ თბილისის საქალაქო კომიტეტთან არსებული ინფორმაციისა და გამოთვლითი ტექნიკის განყოფილების ხელმძღვანელი.

1980 წელს ივანე გორგიძე დაინიშნა საქართველოს გამოთვლითი ტექნიკისა და ინფორმაციის სამეცნიერო-კვლევითი გაერთიანების დირექტორად, რომელსაც სათავეში ედგა 2000 წლამდე. მისი სამეცნიერო თემატიკის ინტერესს წარმოადგენდა მეცნიერებისა და ტექნიკის ისტორია, მართვის პრობლემები, მართვის სისტემები, ორგანიზაციული სისტემების აგება და მართვა.

ი. გორგიძე არის აქტიური სისტემების მართვის თეორიის ერთ-ერთი შემქმნელი.

2007 წლიდან იგი იყო საქართველოს ტექნიკური უნივერსიტეტის რექტორის მრჩეველი, საქართველოს ტექნიკური უნივერსიტეტის პროფესორი, თეოლოგიის სასწავლო-სამეცნიერო ცენტრის ხელმძღვანელის მოადგილე.

იგი დაჯილდოებული იყო „ლირსების ორდენით“, საპატრიარქოს სიგელით, საერთაშორისო საინჟინრო აკადემიის დიპლომით და სხვა მაღალი ჯილდოთი. გამოქვეყნებული აქვს მრავალი სამეცნიერო ნაშრომი, მათ შორის 10-ზე მეტი მონოგრაფია. იყო მრავალი სამეცნიერო ურნალის სარედაქციო კოლეგიის წევრი.

ბატონი ივანე გორგიძე უაღრესად კაცომოყვარე, მზრუნველი და სიკეთის მთესველი ადამიანი გახდათ.

ძნელი წარმოსადგენია ტექნიკური უნივერსიტეტი ბატონი ვანოს გარეშე.

ბატონი ვანოს ხსოვნა სამუდამოდ დარჩება მეგობრების, კოლეგების გულში.

**საქართველოს ტექნიკური უნივერსიტეტი
საქართველოს საინჟინრო აკადემია
ურნალ Georgian Engineering News-ის რედაქცია**

სამჩველო

გეგმვები ვაწო (03ან) გორგიძის წერვების	3
РЕШЕНИЕ ДВУМЕРНОЙ ГРАНИЧНОЙ ЗАДАЧИ ТЕОРИИ ТЕРМОУПРУГОСТИ ДЛЯ ПОЛОГО ЦИЛИНДРА КОНЕЧНОЙ ДЛИНЫ <i>Гулла Н.Г.</i>	9
ОСЕСИММЕТРИЧНОЕ ЭЛЕКТРОУПРУГОЕ РАВНОВЕСИЕ ЦИЛИНДРИЧЕСКОГО ТЕЛА <i>Кварихава Л.Г.</i>	12
ВИРТУАЛЬНОЕ МОДЕЛИРОВАНИЕ И ИСПОЛЬЗОВАНИЕ ЦИФРОВЫХ ТЕХНОЛОГИЙ В ТЕОРЕТИЧЕСКОЙ МЕХАНИКЕ <i>Мухашаврия С.Э.</i>	15
SYSTEM ANALYSIS OF THE MAIN FEATURES OF PROJECT MANAGEMENT IN A CONSTRUCTION COMPANY <i>Museridze R.R.</i>	18
069820070 პროცესების გართვის მრავალგონულიანი მემანიზები ხუციშვილი ს.ა., გორგიძე დ.ა., ხუციშვილი ლ.ს., მუხრიძე რ.რ.	24
განაწილების სიმარტინის ვარიაციების შევასების საკითხისათვის ბუაძე ტ.გ., გორგაძე ვ.ა.	30
GENERAL SOLUTION OF THE HOMOGENEOUS SYSTEM OF THE LINEAR THERMOELASTICITY OF MICROSRETCH MATERIALS WITH MICROTHERMATURES <i>Kharashvili M.G. and Skhvitaridze K.M.</i>	33
МЕТОДИКА РАСЧЕТА УПРАВЛЕНИЯ ЭКСПЛУАТАЦИОННЫМИ РЕЖИМАМИ МАГИСТРАЛЬНЫХ НЕФЕПРОВОДОВ <i>Кенжебаева Ж.Е.</i>	38
089600010 პროცესების მეტროლოგიური უზრუნველყოფა ლომშვაძე ს.ა.	42
069820070 საჭარმოს სამეცნიერო-ტექნოლოგიურ ბანკითარებაში ლომშვაძე ს.ა., გუცევარიშვილი მ.რ., კალანდაძე ი.გ.	45
გეტონის კუბის ვიზიკური მოღელი პუმშვის სიმტკიცეები საკვალიფიკაციო ფესტივალის ჩასატარებლად აბელაშვილი ნ.ნ., ოთხოზორია ნ.ქ., გერებაშვილი გ.გ.	47
ხილის და მათი გამოყენება მშენებლობაში ბაშარ გ. ამეებ აბდულლაჟ ალ-იბაბ	50
დარცყმამედებობის მეთოდის კვლევა-გაუმჯობესება ბალიაშვილი გ.ი., ბეჭანოვი ფ.ხ., სარჯველაძე ნ.გ., ტყემალაძე ლ.ვ., წიქლაური გ.ზ.	53
გეტონის სიმტკიცის მატების დამაჩარებელი დანამატების მიმოხილვა ბალიაშვილი გ.ი., ბეჭანოვი ფ.ხ., სარჯველაძე ნ.გ., ტყემალაძე ლ.ვ., წიქლაური გ.ზ.	57

თბილისის უნივერსიტეტის განსაზღვრის მეთოდის
არასტაციონურ ფენარატურულ რეზისი

ნაწილი 1

ქვემოთ ნ.ა., ჯიშკარიანი თ.ხ., ჯავშანაშვილი ნ.ბ.

59

ბუნებრივი გაზის ოდორიზაციის ხარისხის პონტონულის
მოყვარეობის შესახებ

მახაშვილი ქ.ა., მესტვირიშვილი ქ.ა., იაშვილი ნ.გ.

64

სპილენის დაშანებული მინერალების სულფიდიზაციის ინტენსივიკაცია
ელექტრომიმდინარი მეთოდი

გიგინეიშვილი ა.ა., თევზაძე დ.მ.

67

გარიერისა და მამდილებელი ფაბრიკის ჩამდინარე ფყლებიდან
მეტალური სპილენის ამოკრეზის შესაძლებლობის შესწავლა

გიგინეიშვილი ა.ა., თევზაძე დ.მ.

70

ალუმინის ფუძეშრევების ელექტრონულ-ცხირული ტექნოლოგიი
მიღებული ტანტალისა და ნიობიუმის დანაზარების კვლევა

ანანიაშვილი ხ.ო.

74

კოლინაზორილენზიმინიმიდაზოლების ფორკოლივების იზოთერმული
თერმობრავილეტრიული პროცესის კვლევა ღრმა გაპუშჩი

ორმცაძე ნ.შ., ბიბილეიშვილი დ.ვ., მესხიშვილი გ.გ.

79

BACTERICIDAL PROPERTIES OF METAL-CONTAINING PHILLIPSITES

Tsitsishvili V.G., Dolaberidze N.M., Kutsiava N.A., Khutishvili B.T. and Mirdzveli N.A.

83

ზოგიერთი 3-ზორმილ-2-ზენილეთილეთერინდოლის

მათებატიპურ-ძიმიური გამოკვლევა

წიგწიგაძე თ.ო., ცეცაძე ნ.რ.

85

ИЗМЕНЕНИЯ БЕЛКОВОГО КОМПЛЕКСА В ПРОЦЕССЕ

ВЛАГОТЕПЛОВОЙ ОБРАБОТКИ МАСЛИЧНОГО МАТЕРИАЛА

Кварцхава Г.Р., Сирадзе М.Г., Дзнеладзе С.Дж.

87

ფენოლური ნივთიერებები სხვადასხვა ტექნოლოგიური ხერხის გამოყენებით
დამზადებულ ნახევრადულ ტექნიკების წილი დანართების განსაზღვრა

ებელაშვილი ნ.გ., უთურაშვილი ე.ა., კეკელიძე ი.ა.

90

ძგევრისა და ეპროკული წესით დამზადებულ ქართულ

ღვინოებში ძიმიური პარამეტრების ბანსაზღვრა

სორდია ე.კ., ქვარცხავა გ.რ.

94

ძგევრის და ეპროკული წესით დამზადებულ ქართულ ღვინოებში

საერთო ვენოლების და ანტიოქსიდანტობის შესწავლა

სორდია ე.კ.

98

ღვინის არომატული ნაერთები

მახვილაძე თ.გ.

103

განსხვავებულ კლიმატურ პირობებები ველურად მოზარდი

გულმარეს (*Inula helenium*) შედარებითი შესწავლა

დემეტრაშვილი გ.ა., ტემალაძე გ.გ.

107

გულმარეს ნედლ მასალაში იშლინის რაოდენობრივი განსაზღვრა

დემეტრაშვილი გ.ა.

110

შპოტი კვების მრავალობაში შილდელაშვილი ი.ი., ღალოლიშვილი გ.შ., ბუშვილი გ.თ.	113
შემო ქართლის რეგიონის მუნიციპალიტეტის ნიაბაგში არსებული საკვები ელემენტებისა და მათი ლითონების ანალიზის შედეგები კაპანაძე ი.გ.	115
ავთვისებიან სიმსიცვეთა მეტასტაზირების ახალი ინჟინირობების შემთხვევაში მომიღებისათვის და მათი მომიღებისათვის ჩიგოვიძე ნ.შ., ნადირაძე ი.შ., წიგწივაძე გ.პ., ჩიგოვიძე ე.ნ., წიგწივაძე თ.ი.	118
საქართველოში ადაპტირებული ეპიროკული ჯიშის თხების ზოდაბანებითარების და ლარტაციის მონაცემების შესწავლა ერებული თ.გ., ღლილვაშვილი გ.ა.	136
კოაგულაციის ფენარატურის გავლენა მემკრანის მოწოდებიასა და ხელის მოწოდების დარღმადობაზე ბიბილეიშვილი გ.გ., კეჭერაშვილი მ.გ., ჯავაშვილი ზ.დ.	141
კოლიმერული კომარზიციის ბაზენის ფენარატურის გავლენა მემკრანის თვისებებზე ბიბილეიშვილი გ.გ., კეჭერაშვილი მ.გ., ჯავაშვილი ზ.დ.	143
გორჯომის მინერალური ფყლის დებარირება-დეზირირების გავლენა გალციუმზე ბიბილეიშვილი გ.გ., მამულაშვილი მ.ა., ბუთხუზი თ.გ.	145
გორჯომის მინერალური ფყლის დებარირება-დეზირირების გავლენა ქლორზე ბიბილეიშვილი გ.გ., მამულაშვილი მ.ა., ბუთხუზი თ.გ.	147
მიკროფილტრაციული კონცენტრის კვლევა 0,75 – 60 NTU სიმღვრივის გუცებით ფყლებზე ასიმატოტური ფარმადობის დასაღენად ბიბილეიშვილი გ.გ., უჯარაძე ლ.პ.	149
მიკროფილტრაციული კონცენტრაციის დროს სერიუმითი ფარმადობების კვლევა გუცებითი ფყლის მუდმივი და ცეკვებაზე სიმღვრივისას ბიბილეიშვილი გ.გ., უჯარაძე ლ.პ.	151
კოლისულფონის სხვადასხვა კონცენტრაციის ხსნარების კვლევა მიკროფილტრაციული მემკრანების მიღებისათვის ბიბილეიშვილი გ.გ., გოგესაშვილი ნ.ნ., კაკაბაძე ე.გ.	154
კოლიმერის კონცენტრაციის და ორგანული დანამატების გავლენის კვლევა მიღებული მემკრანების ფორმისასა და ფარმადობაზე ბიბილეიშვილი გ.გ., გოგესაშვილი ნ.ნ., კაკაბაძე ე.გ.	156
კოლიმერისა და არაორგანული მარილის შრობის ფენარატურის გავლენის შესწავლა კოლიმერის ხსნადობაზე ოპტიკური მიკროსკოპით ბიბილეიშვილი გ.გ., ებანოძე ლ.ო., ჯავაშვილი ზ.დ.	158
არაორგანული მარილის გავლენის შესწავლა კოლიმერის ხსნადობაზე სინათლის დინამიური განვითის მეთოდით ბიბილეიშვილი გ.გ., ებანოძე ლ.ო.	160
ნოდარ ჩიბრიძე - 70	163
OUR AUTHORS (2020)	

РЕШЕНИЕ ДВУМЕРНОЙ ГРАНИЧНОЙ ЗАДАЧИ ТЕОРИИ ТЕРМОУПРУГОСТИ ДЛЯ ПОЛОГО ЦИЛИНДРА КОНЕЧНОЙ ДЛИНЫ

Гулуа Н.Г.

Грузинский технический университет

В работе рассматривается двумерная граничная задача теории термоупругости для полого цилиндра конечной длины под действием стационарного температурного поля и внешней нагрузки.

В работе [1] эффективно была решена двумерные граничные и гранично-контактные задачи теории упругости для многослойных тел, ограниченных координатными поверхностями цилиндро-эллиптической системы координат ξ, α, z ;

Принимая во внимание результаты полученные в работе [1] в данной статье для трансверсально изотропного тела решается двумерная граничная задача теории термоупругости в цилиндро-эллиптических координатах.

Запишем основные зависимости теории термоупругости для исследования напряженно-деформированного состояния (НДС) в цилиндро-эллиптической системе координат $\xi, \alpha, z; (0 \leq \xi < \infty, -\pi < \alpha \leq \pi, -\infty < z < \infty)$, связанные с прямоугольными декартовыми координатами x, y, z следующими формулами

$$x = ach\xi \cos \alpha, y = ash\xi \sin \alpha, z = z,$$

для параметров Ламе, принимаем: $H_1 = h_\xi, H_2 = h_\alpha, H_3 = h_z$, при этом

$h_\xi = h_\alpha = h = a(ch^2\xi - \cos^2 \alpha)^{1/2} = \frac{a}{2^{1/2}}(ch2\xi - \cos 2\alpha)^{1/2}$, $h_z = 1$ параметры Ламе, a -масштабный коэффициент.

Обозначим через u, v, w компоненты вектора смещения \vec{U} вдоль касательных к координатным линиям ξ, α, z , через $\sigma_\theta, \sigma_\alpha, \sigma_z$ -нормальные напряжения; $\tau_{\theta\xi} = \tau_{\xi\theta}, \tau_{\theta z} = \tau_{z\theta}, \tau_{\alpha z} = \tau_{z\alpha}$ -касательные напряжения.

Предположим, что $w=0, u=u(\xi, \alpha), v=v(\xi, \alpha)$, что приводит к следующим зависимостям теории термоупругости [2,3]

$$\begin{aligned} a) \quad & \frac{\partial K}{\partial \xi} - \frac{\partial B}{\partial \alpha} = 0; \quad c) \quad \frac{\partial(hu)}{\partial \xi} + \frac{\partial(hv)}{\partial \alpha} - \frac{k_{10}}{c_1} T = \frac{K}{c_1}; \\ b) \quad & \frac{\partial B}{\partial \xi} + \frac{\partial K}{\partial \alpha} = 0; \quad d) \quad \frac{\partial(hv)}{\partial \xi} - \frac{\partial(hu)}{\partial \alpha} = \frac{h^2}{c_5} B; \\ e) \quad & \Delta_2 T = 0. \end{aligned} \tag{1}$$

Закон Гука (физический закон), которая предполагает самую простую, линейную зависимость между компонентами напряжения и соответствующими им компонентами деформации для трансверсально-изотропного тела записывается так:

$$\left. \begin{aligned} \sigma_\xi &= K - \frac{2c_5}{h^2} \frac{\partial(hv)}{\partial \alpha} - \frac{2c_5}{h^2} \left(\frac{1}{h} \frac{\partial h}{\partial \xi}(hu) - \frac{\partial h}{\partial \alpha}(hv) \right) - k_{10} T, \\ \sigma_\alpha &= K - \frac{2c_5}{h^2} \frac{\partial(hu)}{\partial \xi} - \frac{2c_5}{h^2} \left(\frac{1}{h} \frac{\partial h}{\partial \xi}(hu) - \frac{\partial h}{\partial \alpha}(hv) \right) - k_{10} T, \end{aligned} \right\} \tag{2}$$

$$\tau = \tau_{\xi\alpha} = B + \frac{2c_5}{h^2} \frac{\partial(hu)}{\partial \alpha} - \frac{2c_5}{h^2} \left(\frac{1}{h} \frac{\partial h}{\partial \alpha}(hu) + \frac{1}{h} \frac{\partial h}{\partial \xi}(hv) \right) \tag{3}$$

где u, v, w – компоненты вектора смещения \vec{U} вдоль координатных линии ξ, α, z $\varepsilon_\xi, \varepsilon_\alpha, \varepsilon_z, \varepsilon_{\xi\alpha} = \varepsilon_{\alpha\xi}, \varepsilon_{\xi z} = \varepsilon_{z\xi}, \varepsilon_{\alpha z} = \varepsilon_{za}$ – деформации, $c_i (i=1,5)$ – упругие характеристики, $k_{10} = [2(c_1 - c_5)k_1 + c_3k_2], k_{20} = [2c_3k_1 + c_2k_2]$, а k_1 и k_2 – коэффициенты линейного теплового расширения в плоскости изотропии и вдоль z . T -температура в упругом теле подчиняющаяся уравнению

$$\Delta_2 T + \lambda_0 \frac{\partial^2 T}{\partial \xi^2} = 0 \quad (4)$$

и соответствующим граничным условиям, . $\Delta_2 = h^2 \left(\frac{\partial^2}{\partial \xi^2} + \frac{\partial^2}{\partial \alpha^2} \right)$;

Введем следующие обозначения

$$\bar{u} = \frac{2hu}{a^2}, \quad \bar{v} = \frac{2hv}{a^2}, \quad h_0 = \frac{\sqrt{2}}{a} h = \sqrt{ch2\xi - \cos 2\alpha} \quad (5)$$

С учетом формул (5) выражения (1),(2),(3) перепишем в следующем виде:

$$\begin{aligned} a) \frac{\partial K}{\partial \xi} - \frac{\partial B}{\partial \alpha} &= 0; & c) \frac{\partial \bar{u}}{\partial \xi} + \frac{\partial \bar{v}}{\partial \alpha} - \frac{k_{10}}{c_1} T &= \frac{h_0^2}{c_1} K; \\ b) \frac{\partial B}{\partial \xi} + \frac{\partial K}{\partial \alpha} &= 0; & d) \frac{\partial \bar{v}}{\partial \xi} - \frac{\partial \bar{u}}{\partial \alpha} &= \frac{h_0^2}{c_5} B; \\ e) \Delta_2 T &= 0. \end{aligned} \quad (6)$$

$$\left. \begin{aligned} \sigma_\xi &= K - \frac{2c_5}{h_0^2} \frac{\partial \bar{v}}{\partial \alpha} - \frac{2c_5}{h_0^4} (sh2\xi \cdot \bar{u} - \sin 2\alpha \cdot \bar{v}) - k_{10}T, \\ \sigma_\alpha &= K - \frac{2c_5}{h_0^2} \frac{\partial \bar{u}}{\partial \xi} - \frac{2c_5}{h_0^4} (sh2\xi \cdot \bar{u} - \sin 2\alpha \cdot \bar{v}) - k_{10}T, \\ \tau &= \tau_{\xi\alpha} = B + \frac{2c_5}{h^2} \frac{\partial \bar{u}}{\partial \alpha} - \frac{2c_5}{h_0^4} (\sin 2\alpha \cdot \bar{u} + sh2\xi \cdot \bar{v}) \end{aligned} \right\}$$

Пусть

$$\begin{aligned} a) K &= \frac{2c_5}{h_0^2} \left(ch\xi \cdot \sin \alpha \frac{\partial(\varphi_1 - k_1 T)}{\partial \alpha} - sh\xi \cdot \cos \alpha \frac{\partial(\varphi_1 - k_1 T)}{\partial \xi} \right), \\ b) B &= \frac{2c_5}{h_0^2} \left(ch\xi \cdot \sin \alpha \frac{\partial(\varphi_1 - k_1 T)}{\partial \alpha} + sh\xi \cdot \cos \alpha \frac{\partial(\varphi_1 - k_1 T)}{\partial \xi} \right). \end{aligned}$$

тогда общее решение системы (6) имеет следующий вид

$$\bar{u} = - \left(sh^2 \xi_2 cth\xi \frac{\partial^2 \varphi_1}{\partial \xi \partial \alpha} + c_1 \frac{\partial \varphi_1}{\partial \alpha} - \frac{\partial \varphi_2}{\partial \xi} \right) sh\xi \cos \alpha - \left(ch^2 \xi_2 th\xi \frac{\partial^2 \varphi_1}{\partial \alpha \partial \xi} + c_1 \frac{\partial \varphi_1}{\partial \xi} - \frac{\partial \varphi_2}{\partial \alpha} \right) ch\xi \sin \alpha + \frac{\partial \tilde{\varphi}_2}{\partial \xi},$$

$$\bar{v} = - \left(ch^2 \xi_2 th\xi \frac{\partial^2 \varphi_1}{\partial \xi \partial \alpha} + c_1 \frac{\partial \varphi_1}{\partial \alpha} - \frac{\partial \varphi_2}{\partial \xi} \right) ch\xi \sin \alpha - \left(sh^2 \xi_2 cth\xi \frac{\partial^2 \varphi_1}{\partial \alpha \partial \xi} + c_1 \frac{\partial \varphi_1}{\partial \xi} - \frac{\partial \varphi_2}{\partial \alpha} \right) sh\xi \sin \alpha + \frac{\partial \tilde{\varphi}_2}{\partial \alpha},$$

Полученные общие решения применяются для решения граничных задач для областей ограниченных эллиптическими кривыми.

ЛИТЕРАТУРА

1. Khomasuridze N.G., Zirakishvili N.G. Solution of Basic Two-Dimensional Problems of Elasticity for an Elliptic Cilinder with a Hole and its Parts, Proceedings of I.Vekua Institute of Applied Mathematics of Tbilisi State University, 1990, vol.39, pp.255-261, (<http://www.viam.science.tsu.ge/publish/proceedings/tom39>).
2. Khomasuridze N.G., Zirakishvili N.G. Elastic equilibrium of hollow elitical cylinder and shear frequencys. // Reports of Enlarged Session of the Seminar of I. Vekua Institute of Applied Mathematics, 1991, v. 6, # 2,
3. В. В. Новожилов. Теория упругости. –Москва, Государственное союзное издательство судостроительной промышленности, 1958, 370 с.

SUMMARY

SOLVING OF TWO-DIMENSIONAL BOUNDARY PROBLEM OF THE THEORY OF THERMAL ELASTICITY FOR HOLLOW CYLINDER OF FINITE LENGTH

Gulua N.G.

Georgian Technical University

In the two-dimensional boundary problem of the theory of thermal elasticity of hollow cylinder of finite length under the action of stationary temperature field and external load is considered.

Keywords: two-dimensional boundary problem, theory of thermal elasticity, hollow cylinder.

ОСЕСИММЕТРИЧНОЕ ЭЛЕКТРОУПРУГОЕ РАВНОВЕСИЕ ЦИЛИНДРИЧЕСКОГО ТЕЛА

Кварцхава Л.Г.

Грузинский технический университет

В работе методом разделения переменных строится точное решение граничной задачи электроупругого равновесия для тела, ограниченного координатными поверхностями круговой цилиндрической системы ортогональных координат.

Ключевые слова: Точное решение, электроупругое равновесие, метод разделения переменных, транстропная (трансверсально-изотропная).

В круговой цилиндрической системе координат r, α, z рассмотрим электроупругое равновесие тела ограниченного координатным поверхностями, которая занимает область $\Pi = \{(r, \alpha, z) \in R : 0 \leq r_0 \leq r < r_1, 0 \leq \alpha \leq \alpha_1, 0 \leq z \leq z_1\}$. Криволинейный координатный параллелепипед транстропная (трансверсально-изотропная) с плоскостью изотропии $z = \text{const}$.

Пусть

$$\text{при } r = r_i : \sigma_z = f_{i1}, \tau_{r\alpha} = f_{i2}, \tau_{rz} = f_{i3} \quad (1)$$

а на боковых гранях заданы условия симметричного или антисимметричного продолжения, т.е. на боковых гранях имеем следующие условия

$$\text{при } \alpha = 0, \alpha_1 : \delta_1 \sigma_\alpha + \gamma_1 v = 0, \delta_1 w + \gamma_1 \tau_{\alpha z} = 0, \delta_1 u + \gamma_1 \tau_{\alpha r} = 0; \quad (2)$$

$$\text{при } z = 0, z_1 : \delta_1 \sigma_z + \gamma_1 w = 0, \delta_1 u + \gamma_1 \tau_{zr} = 0, \delta_1 v + \gamma_1 \tau_{za} = 0; \quad (3)$$

В равенствах (1), (2), (3) $i = 0$ или 1, причем в (2) и (3) $\delta_p = 1, \gamma_p = 0$, или $\delta_p = 0, \gamma_p = 1, p = 1, 2, 3$, а в (1) $\delta_p \gamma_p = 0, \delta_p + \gamma_p = 1, p = 1, 2$.

Уравнения равновесия и электростатики можно записать в виде [1]:

$$\begin{aligned} \frac{\partial \sigma_r}{\partial r} + \frac{1}{r} \frac{\partial \tau_{r\alpha}}{\partial \alpha} + \frac{\partial \tau_{rz}}{\partial z} + \frac{\sigma_r - \sigma_\alpha}{r} &= 0, \\ \frac{\partial \tau_{\alpha r}}{\partial r} + \frac{1}{r} \frac{\partial \sigma_\alpha}{\partial \alpha} + \frac{\partial \tau_{\alpha z}}{\partial z} + \frac{2}{r} \tau_{\alpha r} &= 0, \\ \frac{\partial \tau_{zr}}{\partial r} + \frac{1}{r} \frac{\partial \tau_{za}}{\partial \alpha} + \frac{\partial \sigma_z}{\partial z} + \frac{1}{r} \tau_{zr} &= 0; \\ \frac{\partial D_r}{\partial r} + \frac{1}{r} D_r + \frac{1}{r} \frac{\partial D_\alpha}{\partial \alpha} + \frac{\partial D_z}{\partial z} &= 0, \end{aligned} \quad (4)$$

где: $\sigma_r, \sigma_\alpha, \sigma_z$ - нормальные, $\tau_r, \tau_\alpha, \tau_z$ - касательные напряжения. D_r, D_α, D_z - компоненты вектора электрической индукции D вдоль касательных к координатным линиям. Уравнения состояния пьезоэлектрической среды имеют следующий вид [1]:

$$\begin{aligned} \sigma_r &= c_1 \varepsilon_{rr} + (c_1 - 2c_5) \varepsilon_{\alpha\alpha} + c_3 \varepsilon_{zz} - e_1 E_z = c_1 \frac{\partial u}{\partial r} + (c_1 - 2c_5) \left(\frac{1}{r} \frac{\partial v}{\partial \alpha} + \frac{1}{r} u \right) + c_3 \frac{\partial w}{\partial z} + e_1 \frac{\partial \phi}{\partial z}, \\ \sigma_\alpha &= (c_1 - 2c_5) \varepsilon_{rr} + c_1 \varepsilon_{\alpha\alpha} + c_3 \varepsilon_{zz} - e_1 E_z = (c_1 - 2c_5) \frac{\partial u}{\partial r} + c_1 \left(\frac{1}{r} \frac{\partial v}{\partial \alpha} + \frac{1}{r} u \right) + c_3 \frac{\partial w}{\partial z} + e_1 \frac{\partial \phi}{\partial z}, \\ \sigma_z &= c_3 (\varepsilon_{rr} + \varepsilon_{\alpha\alpha}) + c_2 \varepsilon_{zz} - e_2 E_z = c_3 \left(\frac{\partial u}{\partial r} + \frac{1}{r} \frac{\partial v}{\partial \alpha} + \frac{1}{r} u \right) + c_2 \frac{\partial w}{\partial z} + e_2 \frac{\partial \phi}{\partial z}; \\ \tau_{\alpha z} &= c_4 \varepsilon_{\alpha z} - e_3 E_\alpha = c_4 \left(\frac{\partial v}{\partial z} + \frac{1}{r} \frac{\partial w}{\partial \alpha} \right) + e_3 \frac{1}{r} \frac{\partial \phi}{\partial \alpha}, \\ \tau_{rz} &= c_4 \varepsilon_{rz} - e_3 E_r = c_4 \left(\frac{\partial w}{\partial r} + \frac{\partial u}{\partial z} \right) + e_3 \frac{\partial \phi}{\partial r}, \\ \tau_{r\alpha} &= c_5 \varepsilon_{r\alpha} = c_4 \left(\frac{1}{r} \frac{\partial u}{\partial \alpha} + \frac{\partial v}{\partial r} - \frac{1}{r} u \right). \end{aligned} \quad (5)$$

$$\begin{aligned}
 D_r &= e_3 \varepsilon_{rz} + \mathfrak{E}_1 E_r = e_3 \left(\frac{\partial w}{\partial r} + \frac{\partial u}{\partial z} \right) - \mathfrak{E}_1 \frac{\partial \phi}{\partial r}; \\
 D_\alpha &= e_3 \varepsilon_{\alpha z} + \mathfrak{E}_1 E_\alpha = e_3 \left(\frac{1}{r} \frac{\partial w}{\partial \alpha} + \frac{\partial v}{\partial z} \right) - \mathfrak{E}_1 \frac{1}{r} \frac{\partial \phi}{\partial \alpha}; \\
 D_z &= e_1 (\varepsilon_{rr} + \varepsilon_{\alpha \alpha}) + e_2 \varepsilon_{zz} + \mathfrak{E}_3 E_z = e_1 \left(\frac{\partial u}{\partial r} + \frac{1}{r} \frac{\partial v}{\partial \alpha} + \frac{1}{r} u \right) + e_2 \frac{\partial w}{\partial z} - \mathfrak{E}_3 \frac{\partial \phi}{\partial z}. \\
 \vec{E} &= -\text{grad} \phi = -\frac{\partial \phi}{\partial r} \vec{i} - \frac{1}{r} \frac{\partial \phi}{\partial \alpha} \vec{j} - \frac{\partial \phi}{\partial z} \vec{k}; \\
 E_r &= -\frac{\partial \phi}{\partial r}, \quad E_\alpha = -\frac{1}{r} \frac{\partial \phi}{\partial \alpha}, \quad E_z = -\frac{\partial \phi}{\partial z}.
 \end{aligned} \tag{6}$$

где $\varepsilon_r, \varepsilon_\alpha, \varepsilon_z$ - компоненты тензора деформации, E_α, E_r, E_z - компоненты вектора напряженности электрического поля. $\vec{E} = -\text{grad} \phi$, где ϕ - электростатический потенциал.

$c_i (i=1,2,\dots,5)$ - упругие характеристики, e_i - пьезоэлектрические постоянные .

$\mathfrak{E}_1, \mathfrak{E}_2$ - диэлектрические постоянные.

Если упругие характеристики тела $c_i (i=1,2,\dots,5)$ удовлетворяют условиям,

$$c_1 c_2 - (c_3 + 2c_4^2) = 0, \tag{7}$$

при этом компоненты электроупругого поля не зависят от координаты α и $u = u(r, z), v \equiv 0, w = w(r, z), B_z \equiv 0, K \equiv 0, \tau_{r\alpha} \equiv 0, \tau_{z\alpha} \equiv 0, D_\alpha \equiv 0$ тогда (4), (5), (6) можно переписать в следующем виде[2,3]:

$$\begin{aligned}
 \sigma_r &= c_1 \frac{\partial u}{\partial r} + (c_1 - 2c_5) \frac{1}{r} u + c_3 \frac{\partial w}{\partial z} + e_1 \frac{\partial \phi}{\partial r}, \\
 \sigma_\alpha &= (c_1 - 2c_5) \frac{\partial u}{\partial r} + c_1 \frac{1}{r} u + c_3 \frac{\partial w}{\partial z} + e_1 \frac{\partial \phi}{\partial z},
 \end{aligned} \tag{8}$$

$$\begin{aligned}
 \sigma_z &= c_3 \left(\frac{\partial u}{\partial r} + \frac{1}{r} u \right) + c_2 \frac{\partial w}{\partial z} + e_2 \frac{\partial \phi}{\partial z}, \\
 \tau_{rz} &= c_4 \left(\frac{\partial w}{\partial r} + \frac{\partial u}{\partial z} \right) + e_3 \frac{\partial \phi}{\partial r}, \\
 D_r &= e_3 \left(\frac{\partial w}{\partial r} + \frac{\partial u}{\partial z} \right) - \mathfrak{E}_1 \frac{\partial \phi}{\partial r};
 \end{aligned} \tag{9}$$

$$D_z = e_1 \left(\frac{\partial u}{\partial r} + \frac{1}{r} u \right) + e_2 \frac{\partial w}{\partial z} - \mathfrak{E}_3 \frac{\partial \phi}{\partial z}$$

$$\frac{\partial D_r}{\partial r} + \frac{1}{r} D_r + \frac{\partial D_z}{\partial z} = 0 \tag{10}$$

$$\begin{aligned}
 \frac{c_3}{c_1} \frac{\partial K}{\partial z} + \frac{c_1 c_2 - c_3^2}{c_1} \frac{\partial^2 w}{\partial z^2} + \frac{1}{\tau} \frac{\partial (r \tau_{rz})}{\partial r} &= -\frac{c_1 c_2 - c_3 e_1}{c_1} \frac{\partial^2 \phi}{\partial z^2}, \\
 r \frac{\partial K}{\partial r} + \frac{\partial (r \tau_{rz})}{\partial z} &= 0, \\
 \frac{(r \tau_{rz})}{\partial r} - \frac{c_4}{c_5} \frac{\partial (r B_z)}{\partial z} &= 0
 \end{aligned} \tag{11}$$

$$K = c_1 \left(\frac{\partial u}{\partial r} + \frac{1}{r} u \right) + c_3 \frac{\partial w}{\partial z} + e_1 \frac{\partial \phi}{\partial z} \tag{12}$$

Таким образом в области $\Pi = \{(r, \alpha, z) \in R : r_0 \leq r < r_1, 0 \leq \alpha \leq \alpha_1, 0 \leq z \leq z_1\}$ имеем осесимметричное напряженно деформированное состояние со следующими граничными условиями:

При $r = r_i : \sigma_z = f_{i1}, \tau_{r\alpha} = f_{i2}, \tau_{rz} = f_{i3};$

При $\alpha = 0, \alpha_1 : v = 0, \tau_{\alpha z} = 0, \tau_{az} = 0;$

При $z = 0, z_1 : w = 0, \tau_{zr} = 0, \tau_{z\alpha} = 0;$

Компоненты упругого поля, выраженные через эти функции, имеют следующий вид [3]

$$\begin{aligned} u &= \frac{\partial}{\partial r} \left(\psi_2 + \frac{1}{2c_4} \psi_1 \right) + \frac{1}{c_5} \frac{1}{r} \frac{\partial \psi_0}{\partial \alpha}, \\ v &= \frac{1}{r} \frac{\partial}{\partial \alpha} \left(\psi_2 + \frac{1}{2c_4} \psi_1 \right) - \frac{1}{c_5} \frac{\partial \psi_0}{\partial r}, \\ w &= -\frac{\partial}{\partial z} \left(\psi_2 + \frac{1}{2c_4} \psi_1 \right) + \frac{1}{c_4} \frac{\partial \psi_1}{\partial z} - \frac{e_3}{c_4} \frac{\partial \psi_0}{\partial r}, \end{aligned}$$

Для нашего случая функции ψ_1, ψ_2 и ϕ имеют следующий вид

$$\begin{aligned} \psi_1 &= \sum_{\bar{m}=0}^{\infty} \left[A_{1\bar{m}} e^{s_1(r-r_1)} + A_{2\bar{m}} e^{s_2(r_0-r)} \right] \sin(mz), \\ \psi_2 &= \sum_{\bar{m}=0}^{\infty} \left[A_{3\bar{m}} e^{s_1(r-r_1)} + A_{4\bar{m}} e^{s_2(r_0-r)} \right] \sin(mz), \\ \phi &= \sum_{\bar{m}=0}^{\infty} \left[A_{5\bar{m}} e^{s_1(r-r_1)} + A_{6\bar{m}} e^{s_2(r_0-r)} \right] \sin(mz), \end{aligned}$$

где $m = \frac{\pi \bar{m}}{z_1} \gamma$, $\bar{m} = 0, 1, 2, \dots$. $A_i = A_i(s, m)$ - некоторые постоянные. Имея формулы для

составим при $r = r_i$ выражения для $\sigma_z, \tau_{r\alpha}, \tau_{rz}$ и приравням их к функциям f_{i1}, f_{i2}, f_{i3} , разложенным с учетом (13) в ряд Фурье. В результате для определения постоянных получим бесконечную алгебраическую систему с квазидиагональной матрицей Λ с диагональными блоками Λ_p . Непосредственной проверкой убеждаемся, что

$\det \Lambda_p \neq 0$ ($\det \Lambda_p \neq 0$, когда $p \rightarrow \infty$).

ЛИТЕРАУРА

1. В.Т. Гринченко, А.Ф. Улитко, Н.А. Шульга. Электроупругость. -Киев.: Наукова думка, 1989.
2. N. Khamasuridze. Thermoelastic equilibrium of bodies in generalized cylindrical coordinates. // Mathematical Journal, 1998, v.5, № 6.
3. Д.А. Горгидзе. Общие решения уравнений электроупругости в цилиндрической системе координат. // Georgian Engineering News, 1997, № 2.

SUMMARY

AXIAL-SYMMETRICAL ELECTRICALLY ELASTIC EQUILIBRIUM OF CYLINDER BODY

Kvartskhava L.G.

Georgian Technical University

In circular cylindric system of coordinates (r, α, z) electrically elastic equilibrium of body is considered, restricted by coordinate surfaces which occupies the region $\Pi = \{(r, \alpha, z) \in R : 0 \leq r_0 \leq r < r_1, 0 \leq \alpha \leq \alpha_1, 0 \leq z \leq z_1\}$.

There is axial-symmetric strained-deformed state in mentioned region with following boundary conditions:

At $r = r_i : \sigma_z = f_{i1}, \tau_{r\alpha} = f_{i2}, \tau_{rz} = f_{i3};$

At $\alpha = 0, \alpha_1 : v = 0, \tau_{\alpha z} = 0, \tau_{az} = 0;$

At $z = 0, z_1 : w = 0, \tau_{zr} = 0, \tau_{z\alpha} = 0;$

Keywords: coordinate, cylinder, body, electrically elastic equilibrium.

ВИРТУАЛЬНОЕ МОДЕЛИРОВАНИЕ И ИСПОЛЬЗОВАНИЕ ЦИФРОВЫХ ТЕХНОЛОГИЙ В ТЕОРЕТИЧЕСКОЙ МЕХАНИКЕ

Мухашаврия С.Э.

Грузинский технический университет

Быстрые темпы развития современного общества требуют аналогичного развития в области образования. Чтобы быть своевременным и вовремя поддержать ногу. Дело не только в будущем, дело в настоящем. Поэтому в процессе обучения необходимо использовать современные средства обучения и оборудование. Особенно, если речь идет о высшем образовании.

21 век назвали эрой цифровых технологий. Новые технологии открыли новую эру, формировали новые связи и предоставили новые возможности процессу обучения. Сегодня слишком много развитых стран используют информационные и коммуникационные технологии в образовании. Можно сэкономить много времени, используя информационные и коммуникационные технологии. Это делает использование ИКТ еще более важным в процессе обучения. Без компьютерных технологий невозможно узнать новости о такой деятельности, поэтому важно включить в обучение информационные и коммуникационные технологии, которые определяют результат знаний и в целом эффективный процесс управления.

Виртуальное моделирование – это своего рода физический эксперимент, в котором студент развивает основные принципы и технологии экспериментирования и экспериментирования в «теоретической механике». Он включает в себя все основные этапы эксперимента: постановку основной исследовательской задачи, поиск путей и методов достижения поставленных целей, использование экспериментального оборудования.

Образование и наука постепенно становятся все более и более «виртуализированными»: цифровые лаборатории становятся естественным инструментом высшего образования.

При работе с виртуальной моделью студент приобретает знания на основе сбора и анализа экспериментальных данных: изучаются физические характеристики объекта; События и процессы, подтверждающие или опровергающие теорию экспериментов и многие другие.

В данной статье рассматривается виртуальная модель лабораторного работы «Теоретическая механика» «Исследование колебаний звеньев системы». Виртуальная модель. Виртуально-реальная модель позволяет выполнять своего рода моделирование на устройстве в лаборатории, на котором будет выполняться виртуальный мониторинг и анализ данных.

Разработка алгоритма анимации виртуальной-реальной модели позволит пользователю участвовать в процессе, более близком к реальному. Модель реагирует на внешний фактор, имеет те же параметры, что и реальная. Изменение параметров дает тот же результат, что и фактический процесс.

В виртуальной модели есть база данных, которая позволяет нам отслеживать, изменять и сохранять результаты. В виртуальной модели используется специальное программное обеспечение и виртуальные эффекты, максимально приближенные к реальным.

Для создания модели использовались компьютерные модели, микроконтроллеры, языки программирования и платформа Adobe Flash. Последний позволяет нам передавать данные о текущих процессах в машине с помощью виртуальной модели. После такого подключения в результате создания базы данных можно будет наблюдать и анализировать реальный процесс.

Рис. 1. Прибор FPM-13

Изучение колебаний связанных систем. В лаборатории «Изучение колебаний связанных систем» выполняется прибором FPM-13 (рис.1). Целью работы является изучение свойств и



основных характеристик колебаний связанных систем. Задача состоит в том, чтобы определить частоты парциальных и нормальных колебаний связанной системы из двух одинаковых маятников.

При выполнении лабораторного практикума большое значение имеет приобретение навыков проведения измерений и обработки результатов. Вычислительным инструментом, которая эффективно решает задачу математической обработки измерений, является mathcad. Эта универсальная программа позволяет производить математическую обработку результатов лабораторных работ по всем разделам курса теоретической механики.

Для большей точности данные, снятые с устройства, анализируются с помощью программы Mathcad. С помощью этой программы взятые данные вставляются в формулу и рассчитывается конечный результат. Программа может хранить данные до тех пор, пока они не будут изменены.

Ниже приведен расчет данных, необходимых для изучения колебаний связанных систем с помощью программы Mathcad.

Given:

$$m := 0.1 \quad c := 0.45 \quad d := 0.1 \quad K := 5 \quad \alpha_0 := 10 \frac{\pi}{180} = 0.175$$

$$n := 10 \quad t1 := 12.725 \quad t2 := 11.117$$

Formulas used for calculations:

I. Co-phase oscillation

$$T1_{\text{exp}} := \frac{t1}{n} = 1.272 \quad T\alpha := 2\pi \sqrt{\frac{e}{g}} = 1.346 \frac{s}{m} \quad T1\alpha := 1.346$$

$$V1_{\text{exp}} := \frac{1}{T1_{\text{exp}}} = 0.786 \quad V1\alpha := \frac{1}{T1\alpha} = 0.743$$

$$\Delta T1 := \frac{T1\alpha - T1_{\text{exp}}}{T1\alpha} \cdot 100 = 5.461 \quad \Delta V1 := \frac{|V1\alpha - V1_{\text{exp}}|}{V1\alpha} \cdot 100 = 5.776$$

II. Anti-phase oscillation

$$T2_{\text{exp}} := \frac{t2}{n} = 1.112 \quad \frac{g}{e} = 21.793 \frac{m}{s^2} \quad G := 21.793$$

$$T2\alpha := \frac{2\pi}{\sqrt{G + \frac{2Kd^2}{m \cdot e^2}}} = 1.215$$

$$V2_{\text{exp}} := \frac{1}{T2_{\text{exp}}} = 0.9 \quad V2\alpha := \frac{1}{T2\alpha} = 0.823$$

$$\Delta T2 := \frac{|T2\alpha - T2_{\text{exp}}|}{T2\alpha} \cdot 100 = 8.522 \quad \Delta V2 := \frac{|V2\alpha - V2_{\text{exp}}|}{V2\alpha} \cdot 100 = 9.316$$

:= equals symbol
exp - experimental work

Программа Mathcad

Виртуальная модель (рис.2) для изучения колебаний связанных систем. Как уже отмечалось выше для создания виртуальной модели было использовано компьютерные модели, микроконтроллеры, языки программирования и платформа Adobe Flash.

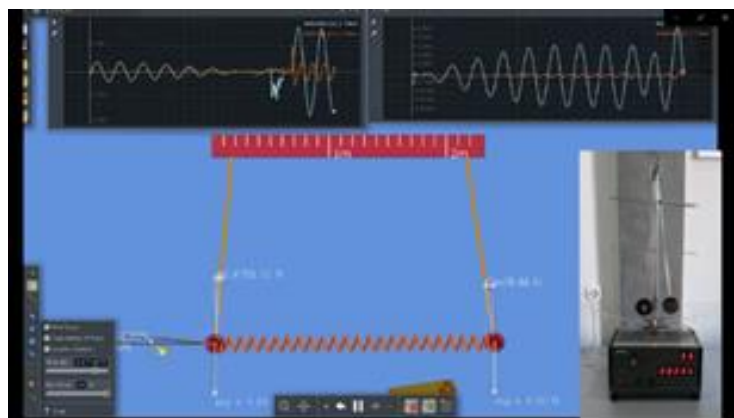


Рис.2. Виртуальная модель для изучения связанных систем

Экспериментировать в реальной лаборатории сложно из-за безопасности дорогостоящего оборудования, а также дорогостоящего оборудования. Симуляторы, виртуальные лаборатории и удаленные лаборатории предлагают решение этих проблем, экономя при этом время и устраняя потенциально опасные события. Концепция удаленной лаборатории также обеспечивает подход к обучению, ориентированный на студентов.

Вывод. Процессы глобализации в современном мире, наряду с развитием веб-стандартов, способствовала развитию распространенных сегодня методологий дистанционного и электронного обучения. Удаленные приложения позволяют студентам и исследователям получать удаленный доступ к лабораториям, не посещая практические занятия в кампусе, что, несомненно, является большим преимуществом для студентов или исследователей, у которых ограничено время.

ЛИТЕРАТУРА

1. Давид Горгидзе, Леван Джикидзе, Зураб Цицкишвили, Марине Лосаберидзе, Лиана Кварцхава. Методические указания к лабораторным работам по теоретической механике. –Тбилиси, ГТУ, 2019, (на груз.-ом) 219 с.
2. А. Горгидзе. Курс теоретической механики. –Тбилиси, Ганатлеба, 2017 . (на груз.-ом), 184 с.
3. <https://www.engr.colostate.edu/ECE562/mathcad.pdf>
4. <http://physics.audio.net/index.php/18-teoria/28-tavisufali-rxeva-matematikuri-qanqara>
5. <https://www.engr.colostate.edu/ECE562/mathcad.pdf>
6. <https://1tv.ge/show/fizika-dro/>

SUMMARY

VIRTUAL MODELING AND USE OF DIGITAL TECHNOLOGIES IN THEORETICAL MECHANICS

Mukhashavria S.E.

Georgian Technical University

Education and science are gradually become more and more „virtualized“: digital laboratories become as natural instrument of high education. At operating with the virtual model the student receives the knowledge on the basis of collecting and analysis of experimental data. The physical characteristics of the object are studied as well as the events and processes, experiments confirming or disproving the theory and etc.

Keywords: virtual modeling, digital technologies, algorithm, distant and electron education.

SYSTEM ANALYSIS OF THE MAIN FEATURES OF PROJECT MANAGEMENT IN A CONSTRUCTION COMPANY

Museridze R.R.

Georgian Technical University

Abstract. The essence of project management, purpose, functions, main features of its implementation and directions of application are reviewed in the article. For construction companies project management components are given and their characteristics are analyzed. Emphasis is placed on the importance of the project structure, the relevant structural model is discussed. The hierarchic structure of the job distribution, calendar planning and reporting forms and the main features of the project office are presented too. The article shows form of the "magic triangle". Its properties and connections between the components are also analyzed.

Keywords: project management, structural model, hierarchical structure, scheduling and reporting forms

Introduction

Project management - is a field of professional activity of the company to create a unique product / service through the implementation of a complex of interrelated, targeted activities using modern knowledge, skills and tools, human and material resources, it is meant that there are certain restrictions on the scope, cost, risks, quality and timing of works.

Project management, as a mean of systems approach, allows project-oriented company management to develop their own project management technology. This reduces many uncertainties, risks and enables effective project management in the implementation of each project. In other words, the company successfully works with a new project each time, with a certain pattern: stages, results, work. At the same time it sets standards for project management.

At the present stage, project management methodology is widely used in various fields of activity: in IT industry; in production and educational fields, including construction.

Practice shows that success in using the project approach depends on how its employees are involved in the process, how the ongoing construction processes are managed, and how relevant communication links are formed between the project participants. Project management in construction is a way to make changes in project management, to develop more flexible, effective management means and methods.

The aim of the article is to investigate and analyze the key components of project management as an effective management technology in a construction company.

Main Part

A project is a planned complex of interrelated activities aimed at creating a unique product or service with limited time and resources. For example, a construction project focuses on the construction of a new facility or the reconstruction of an existing one.

It is important, in the project implementation process, necessary relationship between management functions and tasks and internal and external factors (Figure 1).

It should be noted that the main elements of the project are: the idea (problem), the means of its implementation, the solution of the problem and the final results obtained during the implementation (Figure 2).

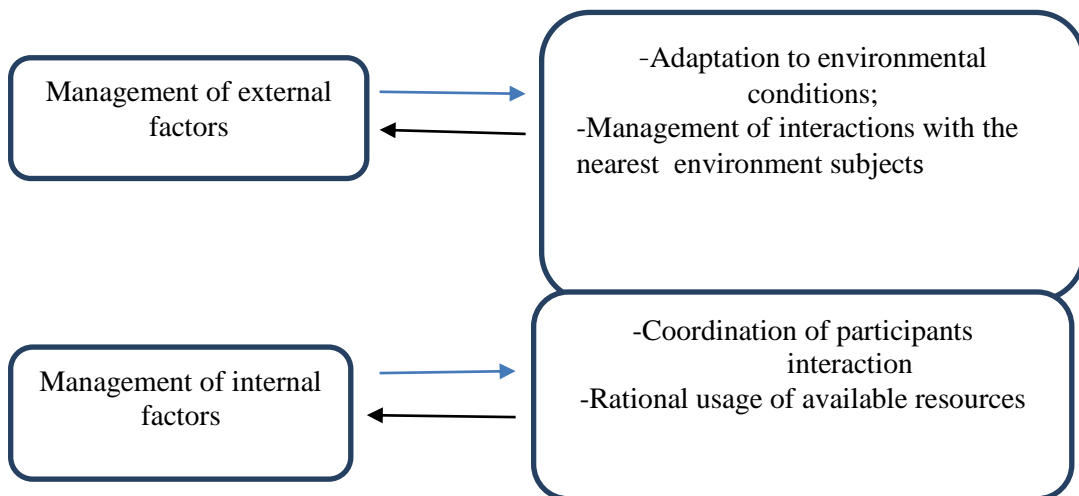


Figure 1. Relation of project management functions to the environment

Depending on the complexity of the project idea and the effectiveness of its implementation, the results are classified as: specific (products, organization, buildings, etc.) and abstract (plans, knowledge, experience, method, etc.); current (technology, documentation, signed contracts, etc.) and final (profit, product, knowledge, etc.).

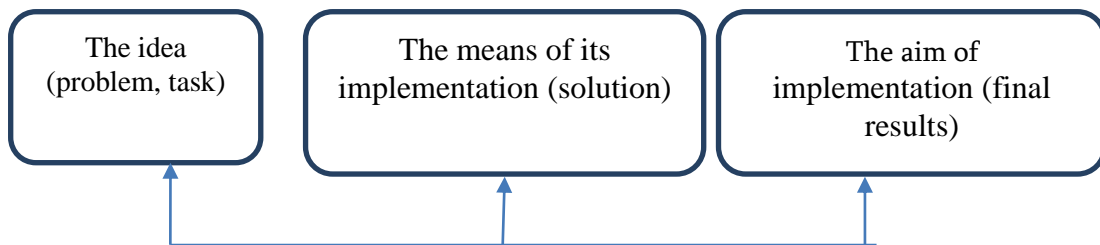


Fig. 2. Stages of project management

In practice, project management is considered as a tool for project development and implementation. In other words in variable, unstable and uncertain situations as a universal technology of effective management of the firm. Project management in construction is primarily a way to more effective project management processes. The following steps are important in these processes:

1. Change of organizational structure;
2. Introduction of WBS;
3. Introduction of a calendar plan;
4. Introduction of reporting forms;
5. Establishment of a project office;
6. Introduction of an assignment system;
7. Optimization the conformity of the magic triangle composition (Purposeful, quality oriented).

1. Change of organizational structure

Any construction project is implemented within a specific construction company, the organizational structure of which has a significant impact on the success of the project. It is important that each company has an opportunity to modernize existing management structure before it can effectively manage projects.

Often while talking about structure it means organizational structure scheme (structural model): unity of divisions and sections, which are located in a certain hierarchy and headed by a manager (manager) - a manager or any leadership link. Such schemes can say quite a lot about the company.

It is accepted that the constituent units, divisions, departments of an organization can be formed on the basis of functions, product, region, client, project. It depends on which of the following signs is more important for the achievement of the strategic goal of the organization:

- If structural units - departments are formed according to the basic functions of the organization, then it is called a functional structure;
- If structures use a product, region, or client as a basis for grouping units, then it is called a divisional structure;
- The structures formed on the basis of the project are called project structures;
- If organizational units in a structure are created by two symbols at the same time, then it is called a matrix structure.

We discuss project organizational structures according to our goals [1].

This organizational form is considered as a temporary structural formation and is used within the existing (existing) functional structure to implement a specific task (project). In the project structure (Fig. 3.) certain functions (e.g. accounting, marketing, strategic planning, etc.) will be transferred to a higher level of management, while all other tasks are solved at the project management level. The project manager is responsible for the realization of the project within the given timeframe and the limits of available resources. For the realization of the project a group is formed with the staff of the organization, i.e from the best specialists of functional services. Such a structure is more effective in the case of large construction projects with a life cycle of more than 2 years.

The members of the project team and the resources allocated for its implementation are at the complete disposal of the project manager. Upon completion of the project, specialists begin to implement a new idea or return to a permanent job. The advantage of the project structure is that the members of the project team and its leader concentrate on the realization of a single project and do not participate in the solution of other problems (tasks) [1].

Company Management			
Marketing	Project first manager	Project second manager	Project third manager
Marketing	Project first manager	Project second manager	Project third manager
Technical	1 collaborator	1 collaborator	1 collaborator
Accountancy	2 collaborator	2 collaborator	2 collaborator
Logistics	3 collaborator	3 collaborator	3 collaborator

Project coordination

Fig. 4 Project structure of projects' management

In such a structure, decisions are made as a result of discussions with the team members. The project structure is an ideal organizational base for solving innovative problems, especially for very large projects of an innovative nature. A significant disadvantage in such structure is the duplication of services in the organization.

2. Introduction of a hierarchical structure of works (WBS-Work Breakdown Structure)

According to some specialists engaged in investment-construction project management it is obvious that there is complete chaos in the current processes in construction companies (especially small ones). Many issues are unknown to employees and therefore incomprehensible. One such issue is the WBS -Work Breakdown (hierarchical structure of works) and the issue of its existence in the organization. [3]

If we use PMBOK, then: hierarchical structure of works (WBS) is a result-oriented (project results), hierarchical decomposition of works, which is executed by the project team to achieve the project objectives and desired results. It helps to define and structure the overall content of the project.

For example, in practice it is simpler to determine and it is called a classifier. The essence of the classifier is to make it possible to classify all the processes in the company through a single search engine ('database') - both work and costs and the flow of documents, as well as accounting, risk assessment, etc. Such a classifier is a unique guide to the activities of each design company.

WBS is often equated with a simple list of project-related work, but it is only a grouping of project work and activities on a certain principle.

3. Adaptation of calendar plan

If after the initiation of the construction project the possibility of realization of the project is confirmed, the development of the activity plan-schedule begins. The main document at this stage is the project management calendar plan, which includes various supporting plans, namely: the project technological plan; project implementation timeline management plan; costing; requirement management plan; quality management plan; communication management plan; risk management plan; - procurement management plan; stakeholder Management Plan [2].

At this stage, the relevant set of works for the month is processed through weekly planning procedures. In addition to production planning, the company must develop a plan for tenders (bids and trading).

4. Implementation of reporting forms

Every small or large construction company has its own reporting standards. There are key elements of project management that should be emphasized when submitting a report, these elements are: **general information, analysis of checkpoints, key issues, next steps**.

If the company standards do not require a set volume of report, then it should be executed as briefly as possible. To make the reader aware of the progress of the project in a short time. If the report is emailed, then additional materials on potentially interesting issues may be attached to the report in a separate file, indicating what information it contains. Or it may simply indicate that this information exists and can be obtained [3].

5. Formation of a project office

There are many options for organizing a project office. Each construction company, depending on the management needs, maturity level and resources, creates its own version of this structure and realizes its tasks.

Professionals involved in project management and project management systems (according to PMSS) understand that a well-organized project office actually facilitates project implementation, improves the management system and related processes, and determines the timely and effective results of project objectives, and on the contrary: improperly organized work of this department damages the formation of the project management system in the company, reduces the interest of the company management in the project management process and may lead to conflicts in the management process, at the executor level. First of all, the concept of "Project Office" should be defined in accordance with international standards.

The Project Office is an organizational structure that standardizes project management processes and facilitates the targeted use and exchange of needed resources, methodologies, tools, and techniques.

6. Implementing System Tasks

It should be noted that the assignment system is part of a project management system that often fails or is not evaluated. Everyone tries to execute or justify the project meeting minutes in one way or another, but that does not mean that the system is working. System performance can be assessed if each manager task is completed or if he or she has been warned in advance of possible problems. This means that no task is left unattended.

Introduction of assignment system requires a full-fledged formalization of this process - from the moment of the project meeting and formulation of tasks to the final report on implementation. It

seems quite difficult, but its implementation is undoubtedly a plus for the manager. The second plus is the implementation of performance control, which, of course, depends on the process and many other factors. The assignment system has advantages not only for the supervisor who conducts the meeting but also for the staff involved.

In general, the assignment system can both improve and complicate the ongoing processes in the company. Therefore, it is not worth looking gently at the introduction of such a system, the process should be systematically understood, employees should be more informed, they should be given adequate powers and the necessary resources should be allotted.

7. Project Management Triangle

According to specialists, each construction project is a kind of so-called "magic triangle" in which terms, costs, and scope are balanced with each other (Figure 4.). It is impossible to change one factor without changing at least one of the others. The task of the project management manager is to ensure the sustainability of the triangle. This requires that when a problem arises, first of all, it must be determined its place in the project triangle and then analyzed:

1. What happens to the timeline (schedule), costs (budget) or scope of actions?
2. It is necessary to find out which sides of the triangle can be changed and which can be fixed;
3. The factors that will help eliminate the problem and optimize the project should be changed.

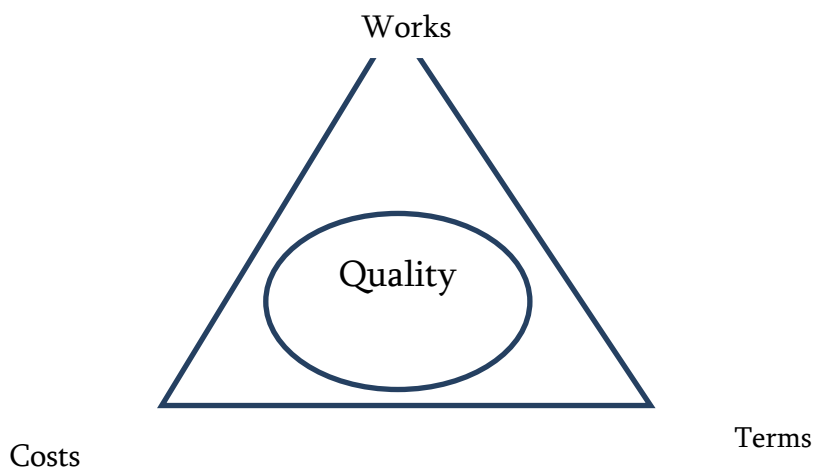


Fig.4 The "magic triangle" of project management by quality factor.

"Magic Triangle" shows a quality symbol, it is considered as the fourth factor of the triangle and largely determines the essence of project management. In other words, it shows the effectiveness of the project manager, project office, and project team. It is in the center of the triangle and any change in the sides affects it [4].

It is actually believed that there is no universal standard of quality. For each project, the quality is determined by the project itself. For some companies, quality is a measure of budget boundaries. For others, it is more important to get the product to market on time. The project manager must know how quality is defined for the organization and the project itself.

Conclusion.

It should be noted that project management tools are becoming more and more in demand in project-oriented companies, including construction companies. The efficiency of the management process in companies increases, which directly affects the company's revenue, its customers, the company's reputation, employee motivation, etc. Increases guarantees for meeting deadlines, risk avoidance, and effective management of resources. These are the main areas of project management, they are quite acceptable and feasible, but less effective due to specific problems in the construction business. These problems are: 1. Low level of competence on the construction site. 2. Large gap between "upper" and "lower" levels of management. 3. The goals of the participants in the

construction are very different. 4. Consumer is rarely engaged in a detailed study of value engineering of a new project. 5. Often project development at early stage is incompletely with its adjusting framework and critical characteristics.

REFERENCES

1. Khutishvili S., Gorgidze D, Kharadze N. Analysis of project management organizational systems. // Business engineering, №1-2, 2016, pp. 122–127 (In Georgian).
2. Javakhadze G., Gorgidze D., Burjanadze V. Planning problems production and design works. Computer Science, Technology and Applications. -New York, Nova Science Publishers, Inc. 2012, p.161-166.
3. Rusyakova MS Review of modern models for assessing the maturity of project management. // Young scientist, 2014, №11, pp. 230-236. (In Russian)
4. D. Mezein "Project Management System" [Electronic resource] - Access mode: <http://www.advanta-group.ru> (In Russian)

РЕЗЮМЕ

СИСТЕМНЫЙ АНАЛИЗ ОСНОВНЫХ ФУНКЦИЙ УПРАВЛЕНИЯ ПРОЕКТАМИ В СТРОИТЕЛЬНОЙ КОМПАНИИ

Мусеридзе Р.Р.

Грузинский технический университет

В статье рассмотрены сущность управления проектом, цель, функции, основные особенности его реализации и направления применения. Для строительных компаний приводятся компоненты управления проектами и анализируются их характеристики. Подчеркивается важность структуры проекта, в статье рассматривается соответствующая структурная модель. Также представлена иерархическая структура распределения должностей, календарного планирования и форм отчетности, а также основные характеристики проектного офиса. В статье показана форма «магического треугольника», проанализированы его свойства и связи между компонентами.

Ключевые слова: управления проектами, структурная модель, иерархическая структура, календарное планирование и форм отчетности.

06032020 პროცესების მართვის მრავალკონტურიანი მეშანიზმები

სუციშვილი ს.ა., გორგიძე დ.ა., ხუციშვილი ლ.ს., მუსერიძე რ.რ.

საქართველოს ტექნიკური უნივერსიტეტი

შესავალი. ინოვაციური პროცესი როგორი, მრავალ ეტაპინი და მრავალწახნაგა მოვლენაა, ის წარმოადგენს თანამედროვე ეკონომიკის მთავარ მამოძრავებელ ძალას, რომელიც ახდენს სამეცნიერო ტექნიკური პროცესის მიღწევების მატერიალიზაციას. ინოვაციის განმარტების ბევრი განსხვავებული მიღორმა არსებობს. ერთი ინოვაციას აიგივებენ პრატიკაში ახალი ელემენტების შექმნის პროცესთან, მეორენი როგორც არსებით, მიზანმიმართულ ცელილებებთან ტექნოლოგიურ პროცესში. შეხედულებების მნიშვნელოვანი დაყოფა ხდება იმასთან დაკავშირებით, არის ინოვაცია პროცესი თუ შედეგი და ა.შ. ჩვენი მიზნებისათვის გავაერთიანოთ სხვადასხვა მიღორმა და მოვიყვანოთ ინოვაციის შემდეგი განმარტება:

ინოვაცია – ახალი ეფექტიანი პროდუქტის (მომსახურების) მიღების, მათი წარმოების წესის და შემდგომში, საშინაო და საგარეო ბაზარზე რეალიზაციის პროცესის შედეგია. იგი არის შემოქმედებითი პროცესის დამასრულებელი ეგაპი. თუ შემოქმედება გულისხმობის შექმნას, ინოვაციის შინაარსში იგულისხმება შექმნილი სიახლის პრატიკაში გამოყენების შესაძლებლობა. ინოვაცია არის, სამეცნიერო-საწარმოო ციკლის საბოლოო შედეგი და განიხილება ინოვაციური პროცესებისგან მოუწყებლივ.

„ინოვაციური პროცესი“ – მეცნიერული ცოდნის ინოვაციებად გარდაქმნის პროცესია. იგი მთლიანობაში მოიაზრება, როგორც საქმიანობა, რომელიც უზრუნველყოფს ახალ შესაძლებლობათა მუდმივ ძიებას, დასტული ამოცანების გადასაწყვეტად. სხვადასხვა რესურსები წყაროების გამოძებნას, მოზიდვას და კვლავწარმოებით პროცესში ჩართვას, მეცნიერებატევადი, კონკურენტუარიანი პროდუქციის წარმოებას, ახალი მიღორმებისა და ტექნოლოგიების საშუალებით.

არსებობს ერთიანი ინოვაციური პროცესის „მეცნიერება – ინოვაციები – წარმოება – რეალიზაცია“ სტადიების ამუშავების პერიოდებს და მათგან მიღებულ შემოსავლებს შორის გარკვეული წყვეტა, მნიშვნელოვანი წინააღმდეგობები პროცესის მონაწილეებს შორის წარმოიშობა იდეის დასაბუთების, შუალედური შედეგების ხარისხის შეფასების, ყოველი სტადიის და განსაკუთრებით სტარტ-აპ კომპანიების ფინანსირების ეტაპზე, სტადიებს შორის ინფორმაციის გაცვლის ეტაპზე და ა.შ.. რეალურად პრობლემები არსებობს როგორც წარმოების სტადიაზე ასევე ორგანიზაციულ, ფინანსურ, სამეცნიერო-კვლევით და სწავლების სფეროში. ისევე როგორც ნებისმიერი პროცესი, ინოვაციური პროცესებიც მიმდინარეობს ბევრი ფაქტორის ზემოქმედების პირობებში და ეს ზემოქმედება განსხვავებულია საქმიანობის სხვადასხვა დარგში. თუმცა ყოველი თაობის ინოვაციური მოდელი გარკვეულწილად პასუხია ეკონომიკაში მიმდინარე ცელილებებსა და ტენდენციებზე.

საბოლოოდ, შეიძლება ითქვას, რომ ინოვაციური პროცესი წარმოადგენს პროცედურების, საშუალებების ერთობლიობას, რომელთა დახმარებითაც სამეცნიერო აღმოჩენა, იდეა გადაიქცევა სოციალურ, მათ შორის სასწავლო სიახლეები. რაც შეეხება საქმიანობას, რომელიც უზრუნველყოფს იდეის გადაქცევას სიახლედ და ამასთან ახდენს იმ პროცესის მართვის სისტემის ფორმირებას, უწოდებენ ინოვაციურ საქმიანობას.

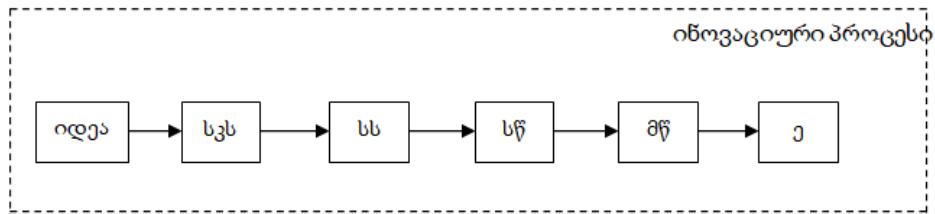
ასე, რომ ძალზე მნიშვნელოვან ამოცანას წარმოადგენს ინოვაციური პროცესების მართვის სხვადასხვა მოდელის (მათ შორის სტრუქტურულის) დამუშავება, რომელიც მორგებული იქნება კონკურენტული ორგანიზაციის ინოვაციურ საქმიანობას, მიზნებს და შესაბამისობაში მოვა ფირმის შიდა და გარე გარემოსთან.

ძირითადი ნაწილი

ინოვაციური თეორიის განვითარებასთან ერთად ვეოლუცია განიცადა ინოვაციური პროცესების მოდელებმაც: მარტივი საზოგანი მოდელებიდან როგორც, კომპლექსურ და ქსელურ მოდელებამდე.

ინოვაციურ პროცესებთან დაკავშირებით პირველადი კვლევები და პროცესის სტადიები 1950–1960 წლებს მოიცავს. ამ პერიოდში გავრცელდა მარტივი საზოგანი მოდელები (პირველი და მეორე თაობა). საზოგანი იმიტომ, რომ სპეციალისტების

აზრით, ინოვაციურ პროცესს აქვს ხაზოვანი, თანმიმდევრული ხასიათი და აერთიანებს სამეცნიერო კვლევებს და გამოგონებებს, საწარმოო კვლევებს და დამუშავებას, მარკენტინგს და ბოლოს ბაზარზე ახალი პროდუქტის ან პროცესის გატანის ეტაპს (სქემა 1).



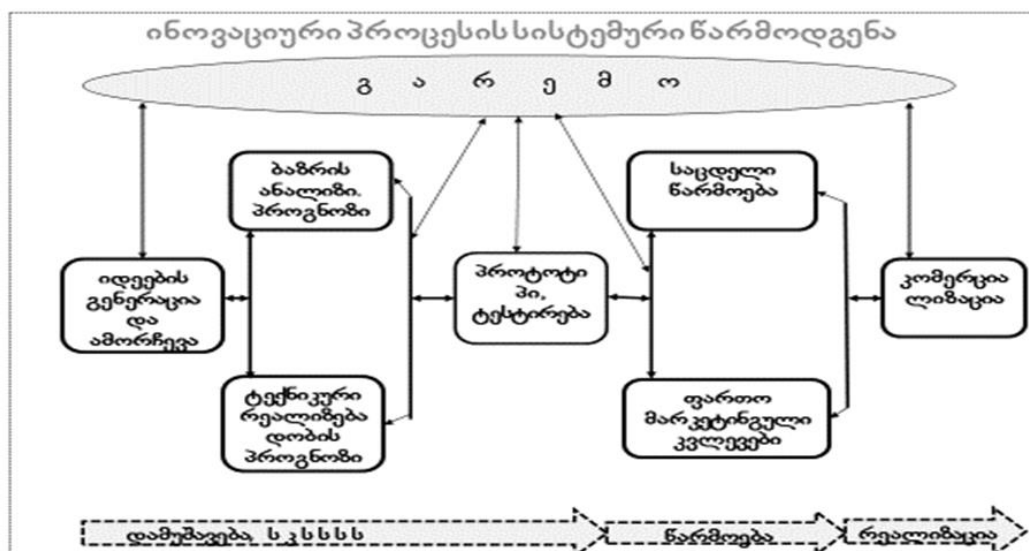
სქემა 1. ინოვაციური პროცესის ხაზოვანი მოდელი

XX საუკუნის 70-იან წლებიდან ორივე თაობის ხაზოვანი მოდელებს განიხილავდნენ როგორც უფრო ზოგადი პროცესების (მეცნიერება, ტექნოლოგია, ბაზარი) კერძო შემთხვევებს. რ. როსველი, კ. ფრმანის, ნ. როზნერგის და სხვა მეცნიერთა კვლევებმა დაადასტურა მარკენტინგული, საბაზრო და ტექნიკური ფაქტორების მნიშვნელობა წარმატებულ ინოვაციების ფორმირებისთვის. ამან განაპირობა 1970–1980-იან წლებში ინოვაციური პროცესებების მესამე და შემდეგი თაობის არახაზოვანის მოდელების შექმნა.

გამოკვლევებმა აჩვენა, რომ თანამედროვე ეკონომიკურ პირობებში ინოვაცია იქმნება სამეცნიერო ცვლილებების და დამუშავების შედეგად, თანაც ინოვაციური პროცესის ეტაპებზე იცვლის ფორმებს (სქემა 1). მას აქვს მკაფიო თრიენტაცია გამოყენებითი ხასიათის საბოლოო შედეგზე. ის სულ მუდამ უნდა განიხილებოდეს როგორც რთული პროცესი, რომელიც უზრუნველყოფს გარკვეულ ტექნიკურ და სოციალურ-ეკონომიკურ ეფექტს.

ინოვაციური პროცესის ეტაპები ერთმანეთთან არის დაკავშირებული და უზრუნველყოფს პროცესის ეფექტურობას.

სამეცნიერო კვლევითი სამუშაოების (სკს) ეტაპზე ხდება იდეების საბაზრო რეალიზაციის შესაძლებლობების გამოკვლევა, ხდება ახალი პროექტის (ტექნოლოგიის) შექმნის და შეფასებების მეთოდიკური მიღების დამუშევება. თუ მიღებული შედეგები იქნება დადებითი, მაშინ მის საფუძვლზე იწყება საკონსტრუქტორო სამუშაოები (სს) და იქმნება საცდელი ნიმუშები (პროტოტიპი), რომელიც გადის საცდელ გამოცდა-შემოწმებას (საცდელი წარმოება, სწ).



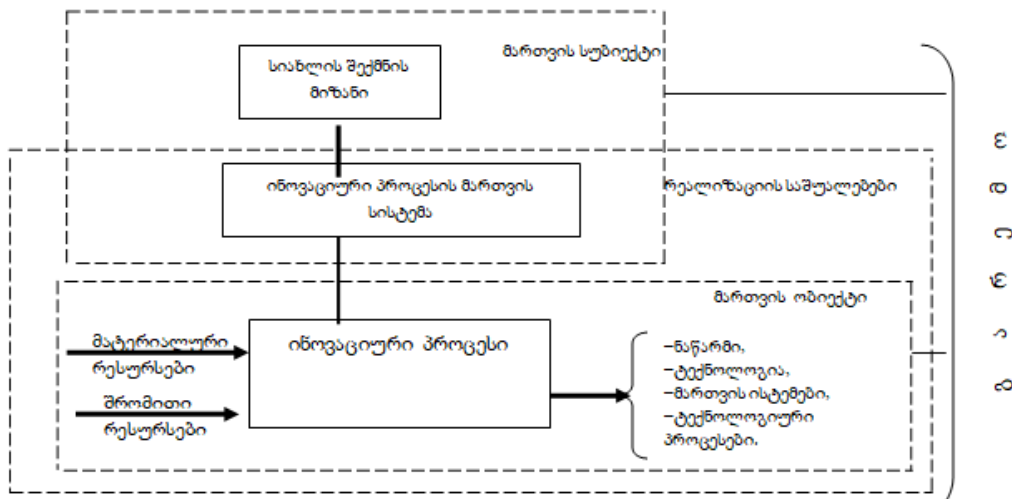
სქემა 2. ინოვაციური პროცესის სისტემური წარმოდგენა

თუ შედეგები იქნება დადგბითი, შესაძლებელია დაიწყოს ახალი პროდუქტის მასიური წარმოება (მწ), ეს ათვისების ეტაპია, როცა აუცილებელია საწარმოო პროცესის ადაბტაცია ახალ მოთხოვნებთან (ახალი მოწყობილობების ათვისება, ახალი ტექნოლოგიების დაუფლება და ა.შ.). ათვისების პროცესის ეფექტურობა დიდ წილად განაპირობებს ახალი პროდუქტის წარმოების ეფექტურობას.

ექსპლუატაციის (ე) ეტაპი მოცავს ახალი პროდუქტით ბაზარზე გასვლასთან დაკავშირებული პრობლემების გადაწყვეტას და შესაბამისი სამუშაოების ჩატარებას, რეალიზაციის შემდგომი მომსახურების უზრუნველყოფას. მასიური წარმოების (მწ) და ექსპლუატაციის (ე) ეტაპები მთლიანობაში განსაზღვრავს კომერციალიზაციის სტადიას და მის მიმართულებებს.

კომერციალიზაციის სტადია მოცემულია სქემა 2-ზე, სადაც, ინოვაციური პროცესის საზოვანი მოდელის შემადგენელი ეტაპები, კავშირშია გარემოსთან, ბაზრის კვლევის პრობლემატიკასთან, კომერციალიზაციის პროცესთან და ა.შ. ასეთი სტრუქტურული მოდელი მნიშვნელოვნად განსაზღვრავს ინოვაციური პროცესის და მისი შემადგენლების სისტემურ ხედვას.

ინოვაციური საქმიანობის წარმოდგენა შეიძლება „სუბიექტი – ობიექტი“ სახის სისტემის საშუალებით, სადაც, ობიექტს წარმოადგენს ინოვაციური პროცესი, ხოლო სუბიექტს ინოვაციური პროცესის მართვის სისტემა (სქემა 3).



სქემა 3. ინოვაციური საქმიანობის სტრუქტურული სქემა გარემოსთან კავშირში

რთული სისტემის ფუნქციონირების (სისტემების ზოგადი თეორია) პრინცი- პების ანალოგით, შესაძლებელია განვსაზღვროთ ინოვაციური პროცესების და მათი მართვის სისტემის ძირითადი კანონზომიერება: რაც მაღალია ინოვაციის „რანგი“, მით მეტია მოთხოვნები ინოვაციური პროცესების მართვის მეცნიერულად დასაბუ- თებულ სისტემასთან.

სტრუქტურული დეკომპოზიციის მეთოდი.

ინოვაციური პროცესის მართვა წარმოადგენს რთულ სისტემურ ფუნქციას. მართვის სისტემას რომელიც ამ ფუნქციის რეალიზაციას ახდენს, აქვს თავისი შემად- გენლების მოწყობის (ორგანიზების) განხვავებული ფორმები (ელემენტები, ქვესის- ტები, ფუნქციები, კავშირის ფორმები შიგნით და გარემოსთან და ა.შ.) აღნიშნული ფუნქციის რეალიზაცია გულისხმობს მართვის სისტემის სტრუქტურიზაციას, მისი ნაწილების გამოყოფის და მათ შორის კავშირების გამოვლენის მიზნით, რათა განისა- ზღვროს და / ან დაზუსტდეს სისტემის ორგანიზების შესაძლებელი ფორმები.

მართვის სისტემის ორგანიზების ფორმების აღწერა და ვიზუალიზაცია შეიძლება მოვახდინოთ სტრუქტურული ჭრილების საშუალებით, რომლებიც წარმოადგენენ სისტემის გარეული შემადგენლების (ელემენტების) და მათ შორის კავშირების ერთობლიობას, და იყოფიან მოცემული საკვალიფიკაციო ნიშნის (დეკომპოზიციის

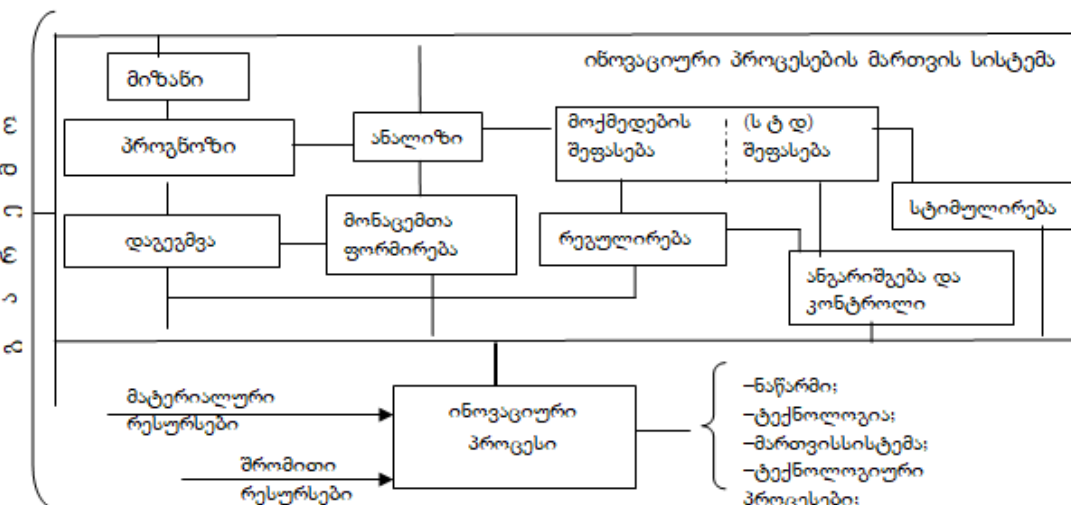
მოცემული საფუძველი) მიხედვით. აქ მნიშვნელოვნია იმ ფაქტის დაფიქსირება, რომ სისტემის სტრუქტურას სრულად ახასიათებს სტრუქტურული ჭრილების მხოლოდ მთელი ერთობლიობა და არა ცალკე აღებული რომელიმე სტრუქტურული ჭრილი, რადგანაც არც ერთი მათგანი არ იძლევა საშუალებას, ადგვაციური წარმოდგენა ვიქონიოთ მართვის მთლიან სისტემაზე. სხვადასხვა ნიშნის მიხედვით დეკომპოზიციის განხორციელება შესაძლებელია სასურველი რაოდენობით. დეკომპოზიციის პროცესის გაჩერების მომენტი განისაზღვრება მართვის სისტემის აღწერის და კვლევის მიზნებით და ობიექტურად არის შემოსაზღვრული მართვის ობიექტის დეტალიზაციის სირთულით (დონით, ხარისხით, სიზუსტით), მოცემულ შემთხვევაში ინოვაციური პროცესით.

დეკომპოზიციის ნიშნის (მაჩვენებლის) არჩევა ორიენტირებული უნდა იყოს, დეკომპოზიციის შედეგად მიღებული სტრუქტურული ჭრილის ინფორმაციულობასა და თვალსაჩინოებაზე (სიცხადეზე). როგორც წესი დეკომპოზიცია მიმდინარეობს მანამ, სანამ არ მიიღწევა მართვის სისტემის ის ძირითადი კომპონენტები, რომელსაც აქვთ ცნობილი, მოცემული ან მოდელირებას დაქვემდებარებული მახასიათებლები (ვთქვათ პროცესის საწყისი და საბოლოო მდგომარეობა).

სტრუქტურული დეკომპოზიციის ძირითადი მიზანი მდგომარეობს იმაში, რომ საკვალიფიკით ნიშნის არჩევის დროს გამოვიყენოთ მართვის სისტემის სტრუქტურაზე არსებული აპრიორული მონაცემები და გავამარტივოთ ამ სისტემის აგების ამოცანა სასურველი მახასიათებლებით. საკვალიფიკით ნიშნის მიხედვით გამოყოფილი ელემენტი (ქვესისტემა, ცალკეული მართვის ფუნქცია და ა.შ.) და მისი კავშირები სხვა ელემენტებთან უნდა იყოს საწყის სისტემაზე მარტივი. ამ შემთხვევაში დეკომპოზიციის ნიშნის სწორად არჩევისას, შევძლებთ არსებითად გავამარტივოთ ამ ელემენტების აგების, აღწერის და მოდელირების პროცესი და საბოლოო ანგარიშით მართვის მთელი სისტემის აღწერა, აგება და მოდელირებაც.

ინოვაციური პროცესის მართვის სისტემის ქვეშ შეიძლება გავიგოთ სისტემა, რომელიც ორიენტირებულია სიახლეთა შექმნის გავრცელების და გამოყენების პროცესის რეალიზებაზე.

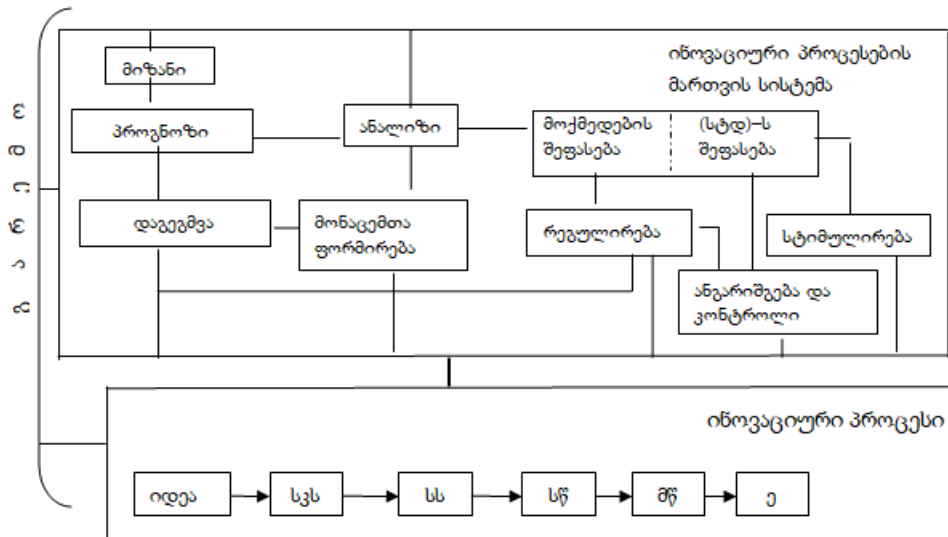
მართვის სისტემის აღწერის პრაქტიკული მიზნებისთვის მიღებულია გამოიყოს რამდენიმე ძირითადი ნიშანი: ორგანიზაციული, ფუნქციონალური და ტექნოლოგიური, ინოვაციური პროცესის დეკომპოზიციის საფუძვლად შეიძლება გამოდგეს შემდეგი საკლასიფიკით ნიშნები: ახალი პროდუქციის სასიცოცხლო ციკლის მიხედვით), დარგების მიხედვით, რეგიონების მიხედვით და ა.შ. ინოვაციური პროცესის და მართვის სისტემის დეკომპოზიცია სხვადასხვა ნიშნის მიხედვით, ცალსახად განსაზღვრავს შესაბამის სტრუქტურულ ჭრილს, რომლის საშუალებით შესაძლებელია კონკრეტული მიზნის და ამოცანების რეალიზება.



სქემა 4. ინოვაციური პროცესის მართვის ფუნქციონალური სტრუქტურა

ინოვაციური პროცესის მართვის სისტემის დეკომპოზიციას მართვის ფუნქციებად (დაგეგმვა, კონტროლი, მონაცემების ფორმირება, სტიმულირება და ა.შ.) მივყართ ფუნქციონალური სტრუქტურის ჩამოყალიბებამდე. ფუნქციების თანმიმდევრობა ქმნის „მართვის კონტურს“, რომელიც სქემა 4-ზე არის ნაჩვენები. ქვესისტემები რომლებიც სქემაზე „ბლოკების“ სახით არის წარმოდგენილი, შეიძლება საჭიროების შემთხვევაში დაექვემდებაროს შემდგომ დეკომპოზიციას. საჭიროების ქვეშ იგულისხმება დაგეგმვის, სტიმულირების, რესურსების განაწილების და სხვა მათემატიკური ამოცანების დასმა, ანალიზი და გადაწყვეტა. მაგალითად, მიზნის „ბლოკის“ დეკომპოზიციისას „მიზანი-საშუალება“ ნიშნის მიხედვით, ხდება ინოვაციური საქმიანობის „მიზნის ხის“ აგება. წვეროდან მიზნის ხის საფუძველისგან მოძრაობისას, ქვემიზნები დებულობენ უფრო და უფრო კონკრეტულ სახეს. დაბალი დონის მიზნები ხასიათდებიან მაგალითად, შესაქმნელი ახალი ტექნიკის, ტექნოლოგიის, სამეცნიერო-ტექნიკური, ტექნიკურ-ეკონომიკური და ტექნიკური მაჩვენებლების დახმარებით. ასევე შესაძლებელია სხვა ბლოკების დანაწილებაც, თუმცა ნაშრომის მიზანს ამ ეტაპზე არ შეადგენს მართვის ფუნქციების შემდგომი დეკომპოზიცია.

მნიშვნელოვანია გარემოსთან „არსებული ურთიერთკავშირების“ დაფიქსირება და სტრუქტურიზაციის პროცესში მისი გათვალისწინება. ეს ჩვენი აზრით ყოველი სტრუქტურული ჯრილისათვის გულისხმობს, გარემოდან ზემოქმედების შესაბამისი ფაქტორების სწორად გააზრებას და დაფიქსირებას. თუ ინოვაციური პროცესის დეკომპოზიცია ხდება სასიცოცხლო ციკლის სტადიებად, ხოლო მართვის სისტემისა მართვის ფუნქციებად, მაშინ ვდებულობთ ფუნქციურ-ტექნოლოგიურ სტრუქტურულ ჭრილს (სქემა 5).

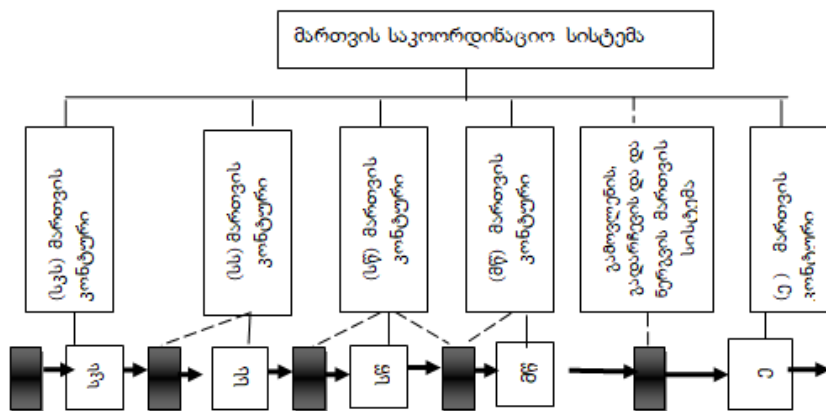


სქემა 5. ინოვაციური პროცესების მართვის ფუნქციურ-ტექნოლოგიური სტრუქტურა

ეს არის შემთხვევა, როდესაც ინოვაციური პროცესის ყველა სტადიის რეალიზება ხდება ერთი მართვის კონტურით (ვთქვათ რომელიმე ფირმა თვითონ ახდენს მოქლი პროცესის მართვას). ასეთ ფირმას თვითონ აქვს სამეცნიერო და საკონსტრუქტორო საქმიანობის წარმართვის შესაძლებლობა, ძლიერი მარკეტინგული განყოფილება და კვალიფიციური სპეციალისტები. ანუ გვაქვს შესაძლო დახურული ინოვაციური პროცესი.

მსხვილ კორპორაციებში ინოვაციური პროცესის სტადიების რეალიზება შეიძლება მოხდეს ტერიტორიული ნიშნით. ასეთ შემთხვევაში ყოველი სტადია შეიძლება იმართებოდეს თავისი მართვის სისტემით (მართვის კონტურით), ხოლო მთლიანი პროცესის ეფექტური საქმიანობისთვის მიღებულია მართვის საკოორდინაციო სის-

გემის (კონტურის) ფუნქციონირება. მან უნდა უზრუნველყოს კონტურებს შორის შეთანხმებული ურთიერთკავშირები, როგორც ვერტიკალური ასევე პორიზონტალურად. შესაბამისი სტრუქტურული ჭრილი მოცემულია სქემა 6-ზე.



სქემა 6. ინოვაციური პროცესის მართვის მრავალკონტურიანი სისტემა

ინოვაციური პროცესის ასეთი სისტემა შეესაბამება მართვის იერარქიული დონეების არსებობას და შესაბამის მიზნებს იერარქიაზე. ინოვაციური პროცესის მართვის სტრუქტურა უფრო რთულ სახეს დებულობს, როცა საჭირო ხდება ინოვაციურ საქმიანობაში დინამიკის გათვალისწინება, ან საჭიროა რთული კომპლექსური სიახლეების რეალიზება, რამდენიმე კონკრეტული სიახლის და რთული ორგანიზაციის მონაწილეობით.

საბოლოოდ შეიძლება დაგასცენათ, რომ ინოვაციური პროცესის მართვის სისტემა მიეკუთხნება ე.წ. როდენ სისტემებს, ამიტომ ერთადერთი მისაღები გზა ასეთი სისტემების აღწერის, კვლევის და დაპროექტების (ორგანიზების) ვფიქრობთ არის მათი თანმიმდევრული დეკომპოზიცია უფრო მარტივ ქვესისტემებად საკვალიფიკაციო ნიშნის მიხედვით. შემდგომ ეტაპზე კი უნდა მოხდეს ასეთი ქვესისტემებისთვის მართვის ამოცანების გადაწყვეტა და კონკრეტული შედეგები გაერთიანდეს ამოსაგალი სისტემის ზოგად ამოხსნაში. ამ მიზნით ინოვაციური საქმიანობის პრაქტიკული სიტუაციების სტრუქტურული წარმოდგენა და სტრუქტურული ჭრილების ბიბლიოთეკის შექმნა, მნიშვნელოვან ეტაპს წარმოადგენს ინოვაციური პროცესების მართვის სისტემის პროექტირებაში.

ଲୋକପାତ୍ରାଳୋକା

1. Прангишвили И.В. Системный подход и обще системные закономерности. Серия «Системы и проблемы управления» - М.: СИНТЕГ, 2000.
 2. ჯ. გაგლოვანი, ს. ხუციშვილი. მოდელირების ამოცანები დია ინოვაციურ პროცესებზე. //გონიერების მიმღები სამსახურის არქიტექტურული მოდელების დაგენერირების მეთოდების შესრულებულების ასახვა. №4, 2015 გვ. 152-156.
 3. Курмангалиев А.М.. Хиджакадзе А.Г., Хуцишвили С.А. Некоторые примеры многоконтурного управления в активных системах. /В. кн.: «Механизмы управления социально-экономическими системами». /сборник трудов, ИПУ, Москва, 1998.

SUMMARY

MULTICONTOUR MECHANISMS FOR MANAGEMENT OF INNOVATIVE PROCESSES

MULTICONTIGUOUS MECHANISMS FOR THE ALIGNMENT OF INGS

Georgian Technical University

Article defines innovation, innovation process and concept of innovative work. Innovative work is described as “subject-object” system and based on structural decomposition methodology some structural sections of management system are created, together with functional structure of innovative process management, where management system is presented as management contour (sequence of management functions). Article also presents functional-technological structural section, when management system is decomposed in management functions, and innovative process is decomposed in constitutive stages. For such system examples of structural sections of one contour and multi-contour management are discussed.

Keywords: innovation, innovative process, stages, decomposition, structural section, management contour sections or one contour and multi-contour management are discussed.

განაშილების სიმპოზიუმის ცენტრისადმების შეზასხის საპირისათვის

ბუაძე ტ.ბ., გიორგაძე გ.ა.

საქართველოს ტექნიკური უნივერსიტეტი

ეძღვნება შესანიშნავი მათემატიკურისა
და მეცნიერებლის გრიგორ სოხაძის ხსოვნას

1. შესავალი. ვთქვათ, X უცნობი $f(x)$ განაწილების სიმკვრივის მქონე შემთხვევითი სიდიდეა. X_1, X_2, \dots, X_n – X -ის დამოუკიდებელი დაკირვებებია. გარდა ამისა, \Re არის $L_2(R)$ სიგრცის ფუნქციონალი, რომელიც განსაზღვრულია რაიმე L ქვესივრცებებით $L \subset L_2(R)$ და აქვს პირველი და მეორე რიგის წარმოებულები. დავუშვათ, რომ $f = f(x) \in L$ და შესაბამისად არსებობს $\Re f$. ჩვენი მიზანია გამოვიკვლიოთ $\Re f$ -თვის დამოუკიდებელი დაკირვებების მიხედვით აგებული შეფასების მდგრადობის საკითხი, დამატებითი $\Re \hat{f}_n$ სტატისტიკის გამოყენებით, სადაც \hat{f}_n არის X_1, \dots, X_n დაკირვებებით აგებული შეფასება.

f -ის და მისი წარმოებულების შესაფასებლად ჩვენ გამოვიყენებთ ალბათური სიმკვრივის როზენბლატ-პარზენის ტიპის ბირთვულ შეფასებას [1-3, 7].

$$\hat{f}_n^{(j)}(x) - \frac{1}{nh_n^{j+1}} \sum_{i=1}^n K^{(j)}\left(\frac{x-X_i}{h_n}\right), \quad j = 0, 1, \dots, m.$$

სადაც h_n დადებითი რიცხვების მიმდევრობაა, რომელიც როცა $n \rightarrow \infty$ კრებადია 0-სკენ, $K(x)$ გული განაწილების სიმკვრივის თვისებების მქონე ფუნქციაა.

დასახული ამოცანა მოიცავს შემოუსაზღვრელი ფუნქციონალის შემთხვევას (ინტეგრალური და სხვა ტიპის), ისევე როგორც ინფორმაციის და ენტროპიის ფუნქციონალებს.

2. აღნიშვნები და პირობები. მომავალში დაგვჭირდება შემდეგი აღნიშვნები და პირობები. ვთქვათ, X ალბათური განაწილების $f(x)$ სიმკვრივის მქონე შემთხვევითი სიდიდეა. ვივარაუდოთ, რომ შესრულებულია შემდეგი პირობები:

f 1). $f(x)$ აქვს უწყვეტი წარმოებულები, მათ შორის m რიგის და არსებობს ისეთი C_j ნამდვილი რიცხვებია. $C_f > 0$ რომ სრულდება პირობა

$$\sup_{x \in R} |f^{(i)}(x)| \leq C_f < \infty, \quad i = 1, 2, \dots, m;$$

f 2). არსებობს უწყვეტი, ზრდადი ფუნქცია $H(x)$, ისეთი რომ

$$\sup_{|y| \leq x} \frac{1}{f(y)} \leq H(x).$$

განვიხილოთ ნამდვილი მნიშვნელობების მქონე ფუნქცია $K(x) \geq 0$ და ვივარაუდოთ, რომ დაკმაყოფილებულია შემდეგი პირობები:

k 1). $K(x)$ ფუნქციას აქვს კომპაქტური მატარებელი

$$k 2). \int_{-\infty}^{\infty} K(x) dx = 1$$

$k 3). K(x)$ -ს აქვს უწყვეტი წარმოებულები, მათ შორის m რიგის.

მაშინ არსებობს $C_K > 0$ რიცხვები, რომ: $|K^{(i)}(x)| \leq C_K < \infty, i = 0, 1, \dots, m$.

h_n მიმდევრობისთვის ჩვენ ვვარაუდობთ, რომ შემდეგი პირობებია დაკმაყოფილებული

h). $h_n, n=1,2,\dots$ არის დადებითი რიცხვების მიმდევრობა, რომლებიც მონოტონურად კრებადია 0-სკენ ისეთნაირად, რომ θ -გიერთი $c>0$ რიცხვებისათვის $h_n \geq \frac{c \log n}{n}$.

ცნობილია [4-6], რომ f 1). f 2). k 1), k 2). k 3) და h). პირობების შესრულებისას, 1-ის ტოლი ალბათობით სრულდება პირობა:

$$\sup_{x \in R} |\hat{f}_n(x) - E\hat{f}_n(x)| = 0 \left(\frac{\sqrt{|\log h_n| V \log \log n}}{\sqrt{nh_n}} \right)$$

ჩვენ ვუნდანალისთვის ვვარაუდობთ შემდეგს: ვთქვათ $W_m = W_m(R)$ არის $L_2(R)$ -დან აღებული ფუნქციების სობოლევის სივრცე უწყვეტი წარმოებულებით, მათ შორის m რიგის, და ნორმით

$$\|g\|_m = \sqrt{\sum_{j=0}^m \int_{-\infty}^{\infty} |g^{(j)}(x)|^2 dx},$$

W_m სივრცეს აქვს სკალარული ნამრავლი

$$(g_1, g_2)_m = \sum_{j=0}^m \int_{-\infty}^{\infty} g_1^{(j)}(x) g_2^{(j)}(x) dx,$$

ხოლო ჩვენ ვუნდანალს შემდეგი თვისებები

R1). ჩვენ ვუნდალი განსაზღვრულია $L \subset W_s$ ქვესივრცეში;

R2). ჩვენ არსებობს;

R3). არსებობს ფუნქციონალები \mathfrak{R}_l , $l=0,1$, ისეთი, რომ

1) \mathfrak{R}_l ფუნქციონალის განსაზღვრის არეა $L = W_* \left(\left[\int \int \right] \right)$ ნებისმიერი

$k=1,2,\dots$ -თვის, სადაც s_k არის ∞ -კენ კრებადი მიმდევრობა როცა $k \rightarrow \infty$;

2) $\hat{f}_n \in L_k$ თითოეული k -თვის;

3) ნებისმიერი $g \in L$, $\mathfrak{R} \left[\cdot \right] \rightarrow \mathfrak{R}g$, როდესაც $k \rightarrow \infty$;

4) \mathfrak{R}_i ფუნქციონალები აქმაყოფილებენ პირობას, რომ არსებობს წარმოებულები, მათ შორის მეორე რიგისაც; \mathfrak{R}'_k – წრფივი ფუნქციონალია L_k -ზე, \mathfrak{R}''_k – ბიწრფივი ფუნქციონალია L_k -ზე, და ორივე აკმაყოფილებს უტოლობებს:

$$\|\mathfrak{R}_k^{(i)} g\|_m \leq C \cdot s_k^\alpha \cdot \|g\|_m^\beta \cdot \|g\|_m^2, \quad g \in C([-s_k; s_k]), \alpha \geq 0, \beta \geq 0, i=1,2.$$

სადაც $\|g\|$ აღნიშნავს g ელემენტის ერთგვაროვან ნორმას და $\|g\|_m$ ნორმაა L_k -ში.

3. ნაშთითი წევრების შეფასება. აღნიშნოთ $f_n(x) = E\hat{f}_n(x)$. განვიხილოთ სხვაობა $\mathfrak{R}_n \hat{f}_n - \mathfrak{R}_n f_n$ და R3, 4) პირობების გამოყენებით გადავწეროთ ის შესაბამისი ფორმით:

$$\mathfrak{R}_n \hat{f}_n - \mathfrak{R}_n f_n = S_n(h_n) + R_n \quad (1)$$

სადაც $S_n(h_n)$ აღნიშნავს \mathfrak{R}_n ფუნქციური წარმოებულის (ის წრფივი ფუნქციონალია) შედეგს $\hat{f}_n - f_n$ -ზე. (1)-ში

$$R_n = O \left(\left\| \mathfrak{R}_n'' (\hat{f}_n - f_n) \right\|_m \right)$$

თეორემა 1. თუ $f1), f2), k1)-k4) h)$ და $\mathfrak{R}1) - \mathfrak{R}3)$ პირობები სრულდება, მაშინ (1) -ში ნაშთითი კომპონენტებისთვის გვექნება

$$R_n = O\left(\frac{d(s_n)\log n}{nh_n^{2m+1}}\right)$$

4. მდგრადობა. ვთქვათ $\varepsilon > 0$ ფიქსირებული რიცხვია. h_n მიმდევრობა შერჩეულია ისეთნაირად, რომ $\frac{\log n}{nh_n^{2m+1}} \rightarrow 0$, როდესაც $n \rightarrow \infty$.

განვიხილოთ s_n როგორც შემდეგი განტოლების ამონასნი.

$$\frac{\log n}{nh_n^{2m+1}} = \frac{\varepsilon}{d(s_n)'} \quad (2)$$

სადაც $d(x) = x^\alpha H^\beta(x)$.

თეორემა 2. ვთქვათ $f1, f2, k1) - k3), h)$ და $\mathfrak{R}1) - \mathfrak{R}3)$ პირობები დაკმაყოფილებულია. ამასთან, h_n დადებითი რიცხვების მიმდევრობაა, რომელიც მონოტონურად კრებადია 0-სკენ ისეთნაირად, რომ $\frac{\log n}{nh_n^{2m+1}} \rightarrow 0$, როდესაც $n \rightarrow \infty$ და თუ ნებისმიერი n -თვის $n \in N$, s_n – არის (2) განტოლების ამონასნი, მაშინ 1-ის ტოლი ალბათობით ადგილი აქვს კრებადობას

$$I(\hat{f}_n, s_n) - I(f) \rightarrow 0. \text{ როცა } n \rightarrow \infty$$

თეორემა 1 და 2-ის საფუძველზე დგინდება განაწილების სიმკვრივის არაწრფივი, შესაძლოა შემოუსაზღვრელი ფუნქციონალის დამოუკიდებელი დაკვირვებებით აგებული სტატისტიკის მდგრადობა და კრებადობის რიგი.

ლიტერატურა

1. Rosenblatt M. Remarks on some nonparametric estimates of a density function. //Ann. Math. Statist., 1956, 27, pp. 832-837.
2. Parzen E. On estimation of a probability density function and mode. //Ann. Math. Statist., 1962, 33, pp. 1065-1076.
3. Nadaraya E. Nonparametric Estimation of probability Densities and Regression Curves. Kluwer Academic Publishers, 1988.
4. Gine E., mason D.M. Uniform in bandwidth estimation of integral functionals of the density function. // Scand. J. Statist, 2008, 35, pp. 739-761.
5. Sokhadze G. On the Absolute Continuity of Smooth Measures. Theory of Probability and Mathematical Statistics, 1996, 49, pp.159-164.
6. Буадзе Т.Г., Сохадзе Г.А. Об одной статистической задаче в Гильбертовом пространстве. часть I. //Georgian Engineering News, 2006, #4.
7. Буадзе Т.Г. Статистические вопросы оценивания распределения вероятностей. -Тбилиси, технический университет, 2009, 93 с.

SUMMARY

TO THE ISSUE OF DISTRIBUTION DENSITY FUNCTIONALS' ESTIMATION

Buadze T.G. and Giorgadze V.A.

Georgian Technical University

Estimation of a nonlinear, possibly unbounded functional of probability distribution density is studied. The plug-in-estimator is taken for the estimation. The functional can be unbounded, but it cannot exceed polynomial growth. Consistency of the estimator is proved and the convergence order is established.

Keywords: estimation, plug-in-estimator, unbounded functional, consistency.

**GENERAL SOLUTION OF THE HOMOGENEOUS SYSTEM OF THE LINEAR
THERMOELASTICITY OF MICROSTRETCH MATERIALS WITH
MICROTEMPERATURES**

Kharashvili M.G. and Skhvitaridze K.M.

Georgian Technical University

Abstract. We consider the static case of the theory of linear thermoelasticity with microtemperatures and microstretch materials. The representation formula of differential equations obtained in the paper is expressed by means of four harmonic and four metaharmonic functions. These formulae are very convenient and useful in many particular problems for domains with concrete geometry.

Keywords: microtemperature, microstretch, thermoelasticity, fourier transform, metaharmonic function.

1. Introduction

One of the basic methods solving three-dimensional problems of rigid deformable bodies is the Fourier method which is based on the solution of differential equations of a given model by the method of separation of variables in a certain system of curvilinear coordinates. In case the construction of system of differential equations turns out complicated, its solution can be represented by a simple solution of Laplace and Helmholtz equations. Representations proposed by W. Kelvin, J. Hadamard, J. Boussinesq, M. Papkovich, G. Neuber, E. Trefftz, G. Kolosow, N. Muskhelishvili and other authors are well known in the literature.

2. Basic equations and auxiliary theorems

The system of equations of statics in the linear theory of thermoelasticity of the microstretch materials with microtemperatures is written in the form [1]

$$\mu \Delta u(x) + (\lambda + \mu) \operatorname{grad} \operatorname{div} u(x) + \eta \operatorname{grad} v(x) + \gamma \operatorname{grad} \theta(x) = 0 \quad (1)$$

$$\kappa_6 \Delta w(x) + (\kappa_4 + \kappa_5) \operatorname{grad} \operatorname{div} w(x) - \kappa_3 \operatorname{grad} \theta(x) + \kappa_2 w(x) = 0 \quad (2)$$

$$\kappa \Delta \theta(x) + \kappa_1 \operatorname{div} w(x) = 0 \quad (3)$$

$$\eta_1 \Delta v(x) - \eta \operatorname{div} u(x) - \kappa_7 \operatorname{div} w(x) + \gamma_1 \theta(x) - \eta_2 v(x) = 0 \quad (4)$$

where Δ is three-dimensional Laplace operator, $u = (u_1, u_2, u_3)^T$ is the displacement vector, $w = (w_1, w_2, w_3)^T$ is the microtemperature vector, θ is the temperature measured from the constant absolute temperature T_0 , $T_0 > 0$, v is the microstretch, T is the transposition symbol, $\lambda, \mu, \gamma, \gamma_1, \eta, \eta_1, \kappa, \kappa_j, j=1,2,\dots,7$ are constitutive coefficients, satisfying the -conditions

$$\mu > 0, 3\lambda + 2\mu > 0, 3\kappa_4 + \kappa_5 + \kappa_6 > 0, \kappa_6 + \kappa_5 > 0, \kappa_6 - \kappa_5 > 0,$$

$$(\kappa_1 + T_0 \kappa_3)^2 < 4T_0 \kappa \kappa_2, \gamma > 0, \eta_2 (3\lambda + 2\mu) - 3\eta^2 > 0, \eta_1 > 0$$

Definition. The vector $U = (u, w, \theta)^T$ is assumed to be regular in a domain $\Omega \subset \mathbb{R}^3$ if $U \in C^2(\Omega) \cap C^1(\overline{\Omega})$.

Theorem 1. A vector $U = (u, w, \theta, v)^T$ is a solution of system (1) – (4) in a domain $\Omega \subset \mathbb{R}^3$, if and only if it is represented in the form

$$\begin{aligned}
 u(x) &= a_1 c \frac{x}{|x|} + \text{grad} \Phi_1(x) + a_2 x_3 \text{grad} \Phi_2(x) - e_3 \phi_2(x) + \\
 &+ \text{rot}(e_3 \Phi_2(x)) - a_2 x_3 \text{grad} \Phi_4(x) + a_3 \text{grad} \Phi_5(x) - \eta \text{grad} \Phi_8(x), \\
 w(x) &= \text{grad} \left[2a_4 \frac{c}{|x|} + a_4 \frac{\partial \Phi_4(x)}{\partial x_3} + a_5 \Phi_5(x) \right] + \text{rotrot}(e_3 \Phi_6(x)) + \text{rot}(e_3 \Phi_7(x)), \quad (5) \\
 \theta(x) &= 2 \frac{c}{|x|} + \frac{\partial \Phi_4(x)}{\partial x_3} + (\lambda + 2\mu) \lambda_1^2 \Phi_5(x), \\
 v(x) &= 2a_1 \frac{c}{|x|} + a_5 \frac{\partial \Phi_2(x)}{\partial x_3} + a_4 \frac{\partial \Phi_4(x)}{\partial x_3} + a_2 \Phi_5(x) + (\lambda + 2\mu) \lambda_3^2 \Phi_8(x),
 \end{aligned}$$

where c is arbitrary constant $\Delta \Phi_j(x) = 0, j = 1, 2, 3, 4$

$$(\Delta - \lambda_1^2) \Phi_5(x) = 0, (\Delta - \lambda_2^2) \Phi_5(x) = 0, j = 6, 7, (\Delta - \lambda_3^2) \Phi_8(x) = 0,$$

$$\begin{aligned}
 \lambda_1^2 &= 22 \frac{\chi \chi_2 - \chi_1 \chi_3}{\chi l_0} > 0, l_0 = \chi_4 + \chi_5 + \chi_6, \lambda_2^2 = \frac{\chi_2}{\chi_6} > 0, \\
 \lambda_3^2 &= 2 \frac{\eta_2(\lambda + 2\mu) - \eta^2}{\eta_1(\lambda + 2\mu)} > 0, a_1 = \frac{\gamma \eta_2 - \eta \gamma_1}{\eta_2(\lambda + 2\mu) - \eta^2}, a_2 = \frac{\eta^2 - (\lambda + \mu)\eta_2}{\eta^2 - (\lambda + 3\mu)\eta_2}, \\
 a_3 &= \frac{\eta_2 \gamma - \eta \gamma_1}{\eta_2 - (\lambda + 3\mu)\eta^2}, a_4 = -\frac{\chi_3}{\chi_2}, a_5 = -\frac{\chi(\lambda + 2\mu)\lambda_1^2}{\chi_1}, \\
 a_1 &= \frac{(\lambda + 2\mu)\gamma_1 - \eta \eta}{\eta_1(\lambda + 2\mu)\lambda_3^2}, a_2 = \frac{\lambda_1^2(\lambda + 2\mu)}{\eta_1(\lambda_3^2 - \lambda_1^2)} \left(\frac{\lambda_1(\lambda + 2\mu) - \eta \eta}{\lambda + 2\mu} + \frac{\chi \chi_7}{\chi_1} \lambda_1^2 \right) \\
 a_3 &= \gamma - \frac{\eta}{\lambda_1^2(\lambda + 2\mu)} a_2, a_4 = a_1 + \frac{\mu \eta a_3}{\eta^2 - (\lambda + 2\mu)\eta_2}, a_5 = \frac{2\mu \eta}{\eta_2(\lambda + 3\mu) - \eta^2}
 \end{aligned}$$

Proof. Assume that the vector $U = (u, w, \theta, v)^T$ is a solution of system (1)–(4). From (2) – (3), we obtain

$$\Delta(\Delta - \lambda_1^2) \theta(x) = 0, \lambda_1^2 = (\chi \chi_2 - \chi \chi_3) / \chi l_0 > 0,$$

from these equation we get

$$\theta(x) = 2 \frac{c}{|x|} + \frac{\partial \Phi_4(x)}{\partial x_3} + (\lambda + 2\mu) \lambda_1^2 \Phi_5(x) \quad (6)$$

where c is arbitrary constant, $\Delta \Phi_4(x) = 0, (\Delta - \lambda_1^2) \Phi_5(x) = 0$.

Substituting the value of $\theta(x)$ from (6) and $\text{div } w(x) = -\frac{\chi}{\chi_1} \Delta \theta(x)$ into equation (2), we

obtain

$$(\Delta - \lambda_2^2) w(x) = \frac{\chi_3}{\chi_6} \text{grad} \left(2 \frac{c}{|x|} + \frac{\partial \Phi_4(x)}{\partial x_3} \right) + \frac{\chi}{\chi_1} (\lambda + 2\mu) \cdot \lambda (\lambda_2^2 - \lambda_1^2) \text{grad} \Phi_5(x)$$

where $\lambda_2^2 = \chi_2 / \chi_6 > 0$.

The solution of this equation has the form

$$2w(x) = \text{grad} \left[2a_4 \frac{c}{|x|} + a_4 \frac{\partial \Phi_4(x)}{\partial x_3} + a_5 \Phi_5(x) \right] + \text{rotrot}(e_3 \Phi_6(x)) + \text{rot}(e_3 \Phi_7(x)) + \text{grad} \psi(x) \quad (7)$$

where $(\Delta - \lambda_2^2)\Phi_j(x) = 0$, $j = 6, 7$, $(\Delta - \lambda_2^2)\psi(x) = 0$, $a_4 = -\chi_3 / \chi_2$, $a_5 = -\chi(\lambda + 2\mu)\lambda_1^2 / \chi_1$

Substituting the values of $w(x)$ and $\theta(x)$, from (10) and (8) into (3), we obtain $\psi(x) = 0$, thus

$$w(x) = \text{grad} \left[2a_4 \frac{c}{|x|} + a_4 \frac{\partial \Phi_4(x)}{\partial x_3} + a_5 \Phi_5(x) \right] + \text{rotrot}(e_3 \Phi_6(x)) + \text{rot}(e_3 \Phi_7(x)) \quad (8)$$

If we apply the operator div to both part of equality (1), then we obtain

$$\Delta[(\lambda + 2\mu)\text{div}u(x) + \eta v(x) - \gamma \theta(x)] = 0.$$

From this equation, we get

$$(\lambda + 2\mu)\text{div}u(x) = \gamma \theta(x) - \eta v(x) + \eta_1(\lambda + 3\mu)(\lambda + 2\mu)\lambda_3^2 \frac{\partial \Phi_9(x)}{\partial x_3} \quad (9)$$

where

$$\Delta \Phi_9(x) = 0, \quad \lambda_3^2 = \frac{\eta_2(\lambda + 2\mu) - \eta^2}{\eta_1(\lambda + 2\mu)} > 0.$$

Substituting the value of $\text{div}u(x)$, from (9) into equation (6) and (8), we obtain
From these, we get:

$$2v(x) = a_1 \left(\frac{2c}{|x|} + \frac{\partial \Phi_4(x)}{\partial x_3} \right) + a_2 \Phi_5(x) - \eta(\lambda + 3\mu) \frac{\partial \Phi_9(x)}{\partial x_3} + (\lambda + 2\mu)\lambda_3^2 \Phi_8(x) \quad (10)$$

where $(\Delta - \lambda_3^2)\Phi_8(x) = 0$,

$$a_1 = \frac{(\lambda + 2\mu)\gamma_1 - \eta\eta}{\eta_1(\lambda + 2\mu)\lambda_3^2}, \quad a_2 = \frac{\lambda_1^2(\lambda + 2\mu)}{\eta_1(\lambda_3^2 - \lambda_1^2)} \left(\frac{\gamma_1(\lambda + 2\mu) - \eta\eta}{\lambda + 2\mu} + \frac{\chi\chi_7}{\chi_1} \lambda_1^2 \right)$$

Substitute the expressions of $\theta(x)$ and $v(x)$, given by (6) and (10) into (1), to obtain

$$3\mu\Delta u(x) + (\lambda + \mu)\text{graddir} u(x) = \text{grad} \left[(\gamma - \eta a_1) \left(2 \frac{c}{|x|} + \frac{\partial \Phi_4(x)}{\partial x_3} \right) + \right. \\ \left. + (\gamma\lambda_1^2(\lambda + 2\mu) - \eta a_2)\Phi_5(x) + \eta^2(\lambda + 3\mu) \frac{\partial \Phi_9(x)}{\partial x_3} - \eta(\lambda + 2\mu)\lambda_3^2 \Phi_8(x) \right] \quad (11)$$

which implies

$$u(x) = u_0(x) + \tilde{u}(x), \quad (12)$$

where $u_0(x)$ is a general solution of the Lame homogeneous equation

$$\mu\Delta u_0(x) + (\lambda + \mu)\text{graddir} u_0(x) = 0,$$

and $\tilde{u}(x)$ is a particular solution of the nonhomogeneous system (11).

The solution $u_0(x)$ has the form [8]

$$u_0(x) = \text{grad}\Phi_1(x) + ax_3\text{grad}\Phi_2(x) - e_3\Phi_2(x) + \text{rot}(e_3\Phi_2(x))$$

where $a = (\lambda + \mu)/(\lambda + 3\mu)$, $\Delta\Phi_j(x) = 0$, $j = 1, 2, 3$.

The particular solution of the system (11) will be written as

$$2\tilde{u}(x) = (\gamma - \eta a_1) \left(\frac{c}{\lambda + 2\mu} \frac{x}{|x|} + \frac{1}{\lambda + 3\mu} x + x_3 \text{grad}\Phi_4(x) \right) + a_3 \text{grad}\Phi_5(x) - \eta^2 x_3 \text{grad}\Phi_9(x) - \eta \text{grad}\Phi_8(x)$$

where

$$a_3 = \gamma - \frac{\eta}{\lambda_1^2(\lambda + 2\mu)} a_2.$$

Substituting the values of the vectors $u_0(x)$ and $\tilde{u}(x)$ into (15), we get:

$$\begin{aligned} u(x) &= \text{grad}\Phi_1(x) + ax_3 \text{grad}\Phi_2(x) - e_3 \Phi_2(x) + \text{rot}(e_3 \Phi_3(x)) + \\ &+ (\gamma - \eta a_1) \left(\frac{c}{\lambda + 2\mu} \frac{x}{|x|} + \frac{1}{\lambda + 3\mu} x_3 \text{grad}\Phi_4(x) \right) + a_3 \text{grad}\Phi_5(x) + \eta^2 x_3 \text{grad}\Phi_9(x) - \eta \text{grad}\Phi_8(x) \end{aligned} \quad (13)$$

Substitute the expressions of $u(x), \theta(x)$ and $v(x)$, given by (13), (6) and (10) respectively, we obtain

$$(\eta^2 - (\lambda + 3\mu)\eta_2) \frac{\partial\Phi_9(x)}{\partial x_3} - \frac{2\mu}{\lambda + 3\mu} \frac{\partial\Phi_2(x)}{\partial x_3} - \frac{\mu a_1}{\lambda + 3\mu} \frac{\partial\Phi_4(x)}{\partial x_3} = 0.$$

This equality will be satisfied, if the function $\Phi_9(x)$ is defined in the following form

$$\Phi_9(x) = \frac{\mu}{(\lambda + 3\mu)(\eta^2 - (\lambda + 3\mu)\eta_2)} (2\Phi_2(x) + a_1\Phi_4(x)),$$

where

$$a_1 = \frac{\eta\eta_2 - \eta\gamma_1}{\eta_2(\lambda + 2\mu) - \eta^2}.$$

Substituting the value of $\Phi_9(x)$ into (10) and (13), we get

$$v(x) = 2a_1 \frac{c}{|x|} + a_5 \frac{\partial\Phi_2(x)}{\partial x_3} + a_4 \frac{\partial\Phi_4(x)}{\partial x_3} + a_2 \Phi_5(x) + (\lambda + 2\mu) \lambda_3^2 \Phi_8(x),$$

$$\begin{aligned} u(x) &= a_1 c \frac{x}{|x|} + \text{grad}\Phi_1(x) + a_2 x_3 \text{grad}\Phi_2(x) - e_3 \Phi_2(x) + \text{rot}(x \Phi_3(x)) - \\ &- a_3 x_3 \text{grad}\Phi_4(x) + a_3 \text{grad}\Phi_5(x) - \eta \text{grad}\Phi_8(x) \end{aligned}$$

where

$$a_4 = a_1 + \frac{\mu\eta a_3}{\eta^2 - \eta_2(\lambda + 2\mu)}, \quad a_5 = a_1 + \frac{2\mu\eta}{\eta_2(\lambda + 3\mu) - \eta^2}, \quad a_3 = a_1 + \frac{\eta_2\gamma - \eta\gamma_1}{\eta^2 - \eta_2(\lambda + 3\mu)}.$$

Thereby we have proved the first part of the theorem. As to the second part, it is proved by a straightforward verification that the vector $U = (u, w, \theta, v)^T$ represented in form (5) is a solution of system (1) – (4).

Denote by Ω^- a half-space $x_3 > 0$, and by $\partial\Omega$ its boundary plane $x_3 = 0$, $\Omega_R := \Omega^- \cap B(0, R)$ where $B(0, R)$ is the ball with center at the origin and radius R . Denote by \sum_R that part of the boundary of the ball $B(0, R)$ which lies in the domain $x_3 > 0$ by $S(O < R)$ the circle with center at the origin and radius R which lies on the plane $x_3 = 0$.

Definition. Assume that in the domain Ω^- the regular vector $U = (u, w, \theta, v)^T$ has the property $Z(\Omega^-)$ if it satisfies the following conditions

$$u(x) = 0(1), \theta(x) = 0(|x|^{-1}), v(x) = 0(|x|^{-1}), w(x) = 0(|x|^{-2}) \quad (14)$$

$$\lim_{R \rightarrow \infty} \frac{1}{2\pi R^2} \int n(x) \cdot u(x) d\sum_R = 0 \quad (15)$$

where $n(x)$ is the external normal unit vector passing at a point $x \in \sum_R$ with respect to Ω_R , $R = |x|$.

Theorem 2. A solution of system (1) – (4) which has the property $Z(\Omega^-)$

$$u(x) = \text{grad}\Phi_1(x) + a_2x_3\text{grad}\Phi_2(x) - e_3\Phi_2(x) + \text{rot}(e_3\Phi_2(x)) - a_2x_3\text{grad}\Phi_4(x) + a_2\text{grad}\Phi_5(x) - \eta\text{grad}\Phi_8(x),$$

$$w(x) = \text{grad}\left(a_4 \frac{\partial\Phi_4(x)}{\partial x_3} + a_5\Phi_5(x)\right) + \text{rotrot}(e_3\Phi_6(x)) + \text{rot}(e_3\Phi_7(x)), \quad (16)$$

$$\theta(x) = \frac{\partial\Phi_4(x)}{\partial x_3} + (\lambda + 2\mu)\lambda_1^2\Phi_5(x),$$

$$v(x) = a_5 \frac{\partial\Phi_2(x)}{\partial x_3} + a_4 \frac{\partial\Phi_4(x)}{\partial x_3} + a_2\Phi_5(x) + (\lambda + 2\mu)\lambda_3^2\Phi_8(x).$$

Proof. The proof of this theorem follows from Theorem 2.1 the vectors $u(x)$ and $w(x)$ and the functions $\theta(x)$ and $v(x)$ represented by formulae (5) satisfy conditions (14). If the value of $u(x)$ is substituted from (5) into (15), then we have $c = 0$. If the value $c = 0$ is used in (5), then we obtain equalities (16), which completes the proof of the theorem.

Remark 2.3. The solution of differential equations (1) – (4), which have $Z(\Omega^-)$ property, a point at infinity satisfies the following conditions under in vanishes

$$u(x) = 0(|x|^{-1}), \theta(x) = 0(|x|^{-2}), v(x) = 0(|x|^{-2}), w(x) = 0(|x|^{-3}), \partial_k u(x) = 0(|x|^{-2}), k = 1, 2, 3 \quad (17)$$

where $\partial_k = \partial/\partial x_k$, $k = 1, 2, 3$.

REFERENCES

1. D. Iesan. Thermoelasticity of bodies with microstructure and microtemperatures. //Int.J. Solids and Structures, 2007, 44, pp.8648-8662.
2. K. Skhvitaridze, M. Kharashvili., Investigation of the Dirichlet and Neumann Boundary value problems for a half-space filled a viscous incompressible fluid. Mechanics of the continuous environment issues. Published by Nova science Publishers, Inc. New Yorc, 2012, pp. 85-98.
3. L.Giorgashvili, K.Skhvitaridze, M.Kharashvili. Effective solution of the Neumann boundary value problem for a half-space with double porosity. //Georgian Int. Journal of science and tehnology, Nova Science Publishers, Inc., 2012, pp.143 - 154.

РЕЗЮМЕ

ОБЩЕЕ РЕШЕНИЕ ОДНОРОДНОЙ СИСТЕМЫ ЛИНЕЙНОЙ ТЕОРИИ ТЕРМОУПРУГОСТИ ДЛЯ ТЕЛ МИКРОРАСТЯЖЕНИЕМ С УЧЕТОМ МИКРОТЕМПЕРАТУРЫ

Харашвили М.Г., Схвтаридзе К.М.

Грузинский технический университет

Рассматривается случай статики линейной теории термоупругости с учетом микрорастяжении и микротемпературы. Получено формула представлений общей решений системы дифференциальных уравнений с помощью четыре гармоническими и четыре метагармоническими функциями. Полученная формула является более удобным при решении конкретных задач для тел конкретной геометрии.

Ключевые слова: микротемпература, микростретжение, термоупругость, преобразование Фурье, метагармоническая функция.

МЕТОДИКА РАСЧЕТА УПРАВЛЕНИЯ ЭКСПЛУАТАЦИОННЫМИ РЕЖИМАМИ МАГИСТРАЛЬНЫХ НЕФТЕПРОВОДОВ

Кенжебаева Ж.Е.

**НАО Казахский агротехнический университет им. С.Сейфуллина, г.Нур-Султан,
Казахстан**

К качеству расчетов эксплуатационных режимов неизотермических трубопроводов предъявляются повышенные требования, так как высокая вязкость и сдвиговые напряжения, появляющиеся при перекачке у многих нефтей и нефтепродуктов при температурах окружающей среды, требуют чрезмерно высоких энергозатрат для преодоления гидравлического сопротивления трубопровода, а тиксотропные свойства исключают возможность остановки перекачки на продолжительное время. При "горячей" перекачке потребность в тепле в течение года меняется: летом расход тепла на подогрев меньше, чем зимой. Отсюда следует, что теплогидравлический режим трубопровода в течение года переменный. Кроме этого, подача центробежных насосов (ЦБН) и работа печей в течение года меняются по технологическим причинам, включая плановые и аварийные остановки. Проектный стационарный режим на неизотермических трубопроводах практически не достигается, и трубопроводы редко эксплуатируются в том режиме, на который проектируются, работая с недогрузкой.

Современный уровень методов расчета нестационарных режимов работы неизотермических трубопроводов позволяет рассчитывать указанные процессы лишь приближенно, с той или иной степенью точности. Это объясняется сложностью сопутствующих явлений и трудностью их математического описания. Существующие методы расчета и отраслевой стандарт не учитывают изменения подачи насосов Q вследствие изменения гидравлического сопротивления трубопровода при неизотермических нестационарных процессах. Колебания подачи насосов и температуры перекачки жидкости взаимосвязаны. Поэтому принятие постоянства $Q=const$ правомерно лишь для поршневых насосов.

При длительной работе ЦБН на "горячий" трубопровод рабочие параметры системы определяются точкой пересечения стационарной характеристики "горячего" трубопровода с характеристикой насосов. При нестационарной работе режим работы определяется пересечением мгновенной характеристики с насосной характеристикой. Мгновенной характеристикой называется графическая зависимость потерь напора от расхода жидкости по трубопроводу на данный момент времени. Эта характеристика изотермическая. Так как расход жидкости по трубопроводу меняется во времени вследствие изменения гидравлического сопротивления, то рабочая точка будет перемещаться по характеристике ЦБН, стремясь при прогреве к точке пересечения, а при охлаждении подача сбрасывается до "0".

Развитие подобных процессов зависит от двух факторов: крутизны насосной характеристики и тепловой инерции грунта, которая определяет темп прогрева или темп охлаждения трубопровода. Практика эксплуатации трубопроводных систем показывает, что "горячие" магистральные трубопроводы эксплуатируются в нестационарных режимах, со сложным наслоением "предыстории" переключений, остановок и возобновлением перекачек. Это приводит к тому, что теоретически в течение года вокруг трубы нет одинаковых температурных полей. Многочисленные диспетчерские данные свидетельствуют о том, как часто не коррелируются значения гидравлических потерь h в трубопроводе и температурных режимов t_n и t_k . Обычно исследователи относят это к неточности замеров и погрешности экспериментов. Но объяснение может быть и другое, вполне определенное. В силу тепловой инерции грунта, при смене режимов, сопровождающихся изменением удельного теплового потока в грунт, на разном удалении от трубы могут идти разные процессы.

В грунте происходит сложнейшее перераспределение не только температур, но и влажности. Коэффициенты тепломассопереноса в таких случаях практически неопределены. На эксплуатацию трубопроводных систем влияют климатические условия, проявляющиеся в виде экстремальных ситуаций, связанных с резким изменением температуры окружающей среды, обильными осадками, паводками, наводнениями, засухами и прочими условиями,

значительно изменяющими характер теплообмена, следовательно, и гидравлическое сопротивление трубопровода и, как результат, нарушающие подачу насосов.

Подача центробежных насосов уменьшается с увеличением гидравлического сопротивления трубопровода, а темп ее падения зависит от крутизны характеристики ЦБН. Снижение производительности является причиной чрезмерного охлаждения и понижения температуры по мере следования жидкости до конечного пункта трубопровода. Процесс сбрасывания подачи насосов продолжается до полного прекращения подачи и "замораживания" трубопровода, если не принять специальных мер. Параметр, производительность трубопровода, определяется гидравлическим сопротивлением, возможностью насосно-силового оборудования и насосной характеристикой (5) в системе дифференциальных уравнений (1-7), описывающих нестационарные процессы, при соответствующих краевых условиях и общепринятых допущениях:

- движения

$$\frac{\partial(\rho \cdot v)}{\partial \tau} + \frac{\partial}{\partial z}(p + \rho \cdot v^2) = -\rho \cdot g \cdot \sin \alpha + \frac{2 \cdot \tau_{TP}}{R}, \quad (1)$$

- неразрывности

$$\frac{\partial \rho}{\partial \tau} = -\frac{\partial(\rho \cdot v)}{\partial z}, \quad (2)$$

- энергии

$$\frac{\partial t}{\partial \tau} + v \cdot \frac{\partial t}{\partial z} = \frac{2 \cdot \pi \cdot R \cdot q(t)}{\rho \cdot c \cdot F} + \frac{v}{c} \cdot \frac{dh}{dz}, \quad (3)$$

где:

$$q(t) = \frac{\lambda_1}{2 \cdot \pi \cdot R} \int_0^\pi \left. \frac{\partial t_1}{\partial r} \right|_{r=R} dr, \quad (4)$$

- центробежных насосов

$$H = H' - k_0 \cdot Q^{b_0}, \quad (5)$$

- теплопроводности изоляции

$$\frac{\partial t_i}{\partial \tau} = a_i \cdot \left(\frac{\partial^2 t_i}{\partial z^2} + \frac{1}{r} \cdot \frac{\partial t_i}{\partial r} \right), \quad (6)$$

- теплопроводности грунта

$$\frac{\partial t_{TP}}{\partial \tau} = a_{TP} \cdot \left(\frac{\partial^2 t_{TP}}{\partial x^2} + \frac{\partial^2 t_{TP}}{\partial y^2} \right), \quad (7)$$

где: ρ, c и v - плотность, теплоемкость и скорость движения жидкости по трубопроводу; p и t - давление и температура; τ - время; R, R_i - радиус трубы, изоляции, соответственно; x, y, z - координаты оси трубопровода; α - угол наклона трубы к горизонту; τ_{TP} - напряжение трения жидкости на стенке трубы; $q(t)$ - тепловой поток через стенку трубы; F - площадь поперечного сечения трубы; h - потери энергии на трение; H, H' - напор центробежного насоса при подаче Q и нулевой подаче; k_0, b_0 - эмпирические коэффициенты в (5); t, t_1, t_i и t_{TP} - температуры жидкости, стенки трубы, слоев изоляции и грунта; λ_1, λ_i и a_i, a_{TP} - соответственно коэффициенты теплопроводности и температуропроводности.

Таким образом, к простейшей системе 5-ти дифференциальных уравнений, описывающих гидродинамические процессы и теплообмен подземного трубопровода, добавляется еще одно уравнение напорной характеристики ЦБН (5). Сопряженная задача в

общем, виде представляется системой уравнений (1-7), при соответствующих краевых условиях и условиях сопряжения. В общем, виде решение данной сопряженной задачи получить не представляется возможным. Аналитическое решение системы (1-7) весьма трудоемко даже при многочисленных допущениях. Упростить подход к решению данного класса задач можно, если использовать метод последовательной смены стационарных состояний. Реализовать этот принцип возможно в аналитической постановке, с использованием ЭВМ и графоаналитическим способом. Не задаваясь целью изложить здесь полученные аналитические решения по определению времени прогрева трубопровода, времени безопасной остановки перекачки и др. ввиду их громоздкости, сославшись на алгоритмы и соответствующие программы расчета на ЭВМ основных нестационарных процессов, рассмотрим графоаналитический метод решений сопряженных задач, используя динамические характеристики трубопроводной системы. Метод динамических характеристик успешно применялся для расчета нестационарных режимов нефтепроводов Узень-Шевченко, расчета безопасного времени остановки при транспорте бузачинских нефей и других [1-3].

Решение уравнений (1-4, 6-7) дает величину потребного напора для прокачки жидкости по трубопроводу в температурном режиме, определяемом тепловой инерцией окружающего массива, т.е. дифференциальным уравнением (7).

$$H = \frac{P_k}{\rho \cdot g} + \Delta z + h(t) = \Delta z' + h(t) \quad (8)$$

Условие сопряжения на контуре трубы удобно задать тепловым потоком, полагая сбалансированность теплообмена, например, уравнением

$$q = Q \cdot \rho \cdot c \cdot \left(\frac{dt}{dz} \right)_R, \quad (9)$$

Совместное решение уравнений (5) и (8) дает параметры рабочей точки на рассматриваемый момент времени: подачу насосов Q и развиваемый ими напор H .

Для стационарного режима это - Q_A и H_A ; для нестационарного - Q_{Bi} и H_{Bi} :

$$h(t) + \Delta z' = H' - k_0 \cdot Q^{b_0}, \quad (10)$$

Следует отметить, что для действующих нефтепроводов величину потерь энергии $h(t)$ в уравнении (8) можно определять с учетом реального гидравлического сопротивления. Суть теплогидравлического расчета, например, прогрева системы, выражается в определении температур и построению на их основе мгновенных характеристик на каждый момент времени. По точкам пересечения Bi определяют потребный напор и сравнивают его с допустимым. Аналогично поступают, если учитывают температуру застывания перекачиваемой нефти или другие факторы.

Отличительная особенность характеристики трубопровода для транспорта вязкопластичных жидкостей заключается в том, что она начинается не с нуля, а с некоторой величины статического напора при нулевой подаче. При работе насосов с малыми подачами потери напора в трубопроводе состоят из потерь на трение H_v и на преодоление предельного напряжения сдвига H_τ .

$$h(t) = H_v + H_\tau, \quad (11)$$

По длине неизотермического трубопровода может сформироваться 4 характерных участка, отличающихся режимами течения и законами гидравлического сопротивления. Потери энергии на вязкое трение определяются с учетом неизотермичности потока по сечению и по длине трубопровода. Для определения потерь энергии H_v с учетом линейной зависимости τ'_0 от температуры вида

$$\tau_0 = \tau_0^* \cdot \frac{t_y - t}{t_y - t_0}, \quad (12)$$

предлагая формулу:

$$H_\tau = \frac{16 \cdot \tau_0^* \cdot L}{3 \cdot d \cdot Su} \left(\ln \frac{t_y - t_e}{t_k - t_e} + \frac{t_h - t_e}{t_y - t_e} - 1 \right), \quad (13)$$

где: $Su = \ln \frac{t_h - t_e}{t_k - t_e}$, t_y – температура появления предельного напряжения сдвига, τ_0^* –

предельное напряжение сдвига при температуре t_e – грунта на глубине заложения трубопровода в ненарушенном тепловом состоянии; t_h и t_k – температура перекачиваемой жидкости в начальном и конечном сечении трубопровода; d и L – внутренний диаметр и длина трубопровода.

Таким образом, данная методика позволяет проводить полноценное моделирование стационарного, пускового, переходных режимов работы, а также остывания трубопровода. На основе такого моделирования можно решать следующие задачи, необходимые для трубопроводного транспорта реологически сложных нефтей: 1) Определение возможных технологий для транспорта реологически сложных нефтей; 2) Выбирать наиболее выгодные режимы работы, например, с точки зрения экономии электроэнергии; 3) Заранее прогнозировать возможные осложнения при транспорте нефти, находить время безопасной остановки.

ЛИТЕРАТУРА

1. Методика расчета эксплуатационных режимов теплоизолированных мазутопроводов. Главнефтеснаб РСФСР // Отрасл. лабор. трубопр. транспорта. – Уфа: УНИ, 1979, 79 с.
2. Методика теплогидравлического расчета мазутопроводов. Госкомнефтепродукт РСФСР. Отрасл. лабор. трубопр. транспорта. – Уфа: УНИ, 1982, 55 с.
3. Тугунов П.И., Гаррис Н.А. Применение динамических характеристик для расчетов эксплуатационных режимов неизотермических трубопроводов // ОИ ВНИИОЭНГ. Сер. Транспорт и хранение нефти и нефтепродуктов. – 1985, Вып. 3, 60 с.

SUMMARY

CALCULATION PROCEDURE FOR CONTROL OF OPERATIONAL REGIMES OF MAIN OIL PIPELINES

Kenzhebaeva Zh.E.

Kazakh agro-technical University Named After S. Seifullin JSC, Nur-Sultan

Procedure allows the valid modeling of stationary, starting, transient regimes of operation as well as of cooling down of oil pipeline.

Keywords: oil, operational regime, oil pipeline.

მოწოდებული პროცესების მეტაროლგიური უზრუნველყოფა

საქართველოს ტექნიკური უნივერსიტეტის ინსტიტუტი „ტალღა“

ლომსაძე ხ.ა.

თანამედროვე ბაზარზე, მნიშვნელოვანია პროდუქციის ტექნიკური მახასიათებლების გაუმჯობესებისა და შენარჩუნების საკითხი, რაც პროდუქციის ხარისხთან კირდაპირ კავშირშია.

ედვარდს დემინგმის კლასიფიკაციით პროდუქციის დაბალი ხარისხი ორ ჯგუფად იყოფა: სპეციალური და სისტემური. აქედან დაბალი ხარისხის მიზეზის 94% სისტემურია. მხოლოდ სპეციალური (6%) მიზეზების აღმოფხვრით, ხარისხის მკვეთრი ცვლილების მიღწევა შეუძლებელია [1].

მე-18, მე-19 საუკუნეებში ზუსტი გაზომვადობის გამოყენებამ რევოლუციურად შეცვალა წარმოება, მეწარმეებმა შრომა უფატტურად და კალიფიციურად დაანაწილეს. მოგვიანებით გაზომვადობა გახდა პროცესების კონტროლის ერთ-ერთი განუყოფელი ნაწილი [2].

გაზომვების და კონტროლის საშუალებები დიდი სიზუსტით უნდა ასახავდეს ინფორმაციას ნივთიერებების, მასალების და პროდუქტების თვისებების შესახებ, ასევე გამოშვებული პროდუქციის ტექნოლოგიური პროცესების ბუნებას, ხარისხს და რაოდენობას. უფრო მეტიც, ხარისხის პრობლემის გადაჭრა უმეტესწილად დამოკიდებულია მიღებული გაზომვის ინფორმაციის სისტორეზე და კვლავწარმოებაზე.

პროდუქციის ხარისხის გაზომვად მაჩვენებელზე ობიექტური ინფორმაციის მიღება დაფუძნებულია გასაზომი (კონტროლირებადი) პარამეტრების მოთხოვნების შემუშავებასა და რეგლამენტაციაზე; საზომი ინსტრუმენტების არჩევაზე, საჭირო სიზუსტით შესრულებულ გაზომვის მეთოდიგაზე; მიღების, დამუშავების და შედეგების წარდგენისათვის მთელი რიგი მეტროლოგიური წესების დაცვაზე.

საბაზრო ეკონომიკის პირობებში, წარმოებული პროდუქცია უნდა გამოირჩეოდეს მაღალი ხარისხის ინდიკატორებით. იმისათვის, რომ საწარმოები იყვნენ კონკურენტუნარიანი და განახორციელონ წარმატებული ეკონომიკური საქმიანობა უნდა გამოიყენონ მაღალეფებური და შედეგიანი ხარისხის სისტემები. ასეთი სისტემების გამოყენებამ უნდა გამოიწვიოს ხარისხის მუდმივი გაუმჯობესება და მომხმარებელთა კმაყოფილების ზრდა. ხარისხის სისტემა შეიძლება ეფექტური იქნა მხოლოდ იმ შემთხვევაში, როცა საწარმოს ყველა დეპარტამენტი ფუნქციონირებს ერთდროულად და შეთანხმებულად, რაც გავლენას ახდენს პროდუქტის ხარისხზე.

ამ დროს, მეტროლოგია პროდუქციის ხარისხის მართვის კომპლექსური სისტემის შემადგენლობის ქვესისტემად გვევლინება, რომელიც აწვდის ინფორმაციას მართული ობიექტების მდგომარეობის შესახებ მათი მახასიათებლების გაზომვის საფუძველზე. მაგალითად, დასამუშავებელი დეტალების ხარისხზე გავლენის მოსახდენად საჭიროა მისი შესაბამისი პარამეტრების ფაქტიური სიღიდეების ცოდნა (ზომები, გეომეტრიული ფორმები, ზედაპირის სიმქისე და ა.შ., რაც შეიძლება განისაზღვროს მხოლოდ ტექნოლოგიური პროცესების დაწყებისას ან პირველი დეტალის დამუშავების შედეგ). გაზომვების საფუძველზე დამუშავების პროცესის კორექცია მიმდინარეობს ტექნოლოგიური ოპერაციის შემსრულებლების მიერ ან ავტომატრად (აქტიური კონტროლის სისტემის გამოყენებით). უნდა აღინიშნოს, რომ ტექნიკური გაზომვების დონეს გადამწყვეტი მნიშვნელობა აქვს ნებისმიერ საწარმოში ხარვეზების გარეშე მუშაობის უზრუნველყოფად. ხარისხის მართვა წარმოუდგენელია გაზომვების მეტროლოგიური უზრუნველყოფის გარეშე, რაც ხასიათდება მატერიალურ და ენერგორესურსებზე, მასალებისა და ნედლეულის ხარისხზე, გარემოს

მდგომარეობაზე, ადამიანის ჯანმრთელობის უსაფრთხოებასა და დაცვაზე და, შესაბამისად, პროცესებისა და პროდუქტების ხარისხზე რაოდენობრივი ინფორმაციის მოპოვების უნიკალური შესაძლებლობებით. ყოველივე ზემოთქმულიდან გამომდინარეობს, რომ საწარმოს ხარისხის უზრუნველსაყოფად მეტოდოგიური სამსახური არის ყველაზე მნიშვნელოვანი ელემენტი.

პროდუქციის სასიცოცხლო ციკლის პროცესების დაგეგმვისას ორგანიზაციამ მისთვის სასარგებლო ხედვა უნდა შექმნას:

- ა) მიზანი – პროდუქციის ხარისხი და მოთხოვნები;
- ბ) პროცესებისა და დოკუმენტების შემუშავების საჭიროება, აგრეთვე კონკრეტული პროდუქტისთვის რესურსების უზრუნველყოფა;
- გ) აუცილებელი ღონისძიებების ჩატარება კონკრეტული პროდუქტების ვერყვითაციისა და ვალიდაციის, მონიტორინგისა და გაზომვის, კონტროლისა და ტესტირებისათვის, აგრეთვე პროდუქციის მიღების კრიტერიუმები;

დ) ჩანაწერები, რომლებიც აუცილებელია იმის დასამტკიცებლად, რომ პროდუქტის სასიცოცხლო ციკლის პროცესები და პროდუქტები შეესაბამება მოთხოვნებს.

ასევე, ორგანიზაციამ უნდა განსაზღვროს მონიტორინგი და გაზომვები, რომელთა განხორციელებაც მოხდება და აგრეთვე შესაბამისი მოწყობილობები მონიტორინგისა და გაზომვებისათვის, რომლებიც უზრუნველყოფენ პროდუქციის დადგენილ მოთხოვნებთან შესაბამისობის მტკიცებულებას.

პროდუქტების ვერიფიკაციის და ვალიდაციის, მონიტორინგის და გაზომვების, კონტროლის და ტესტირების ღონისძიებების უზრუნველყოფა ხორციელდება მონიტორინგისა და გაზომვების მაკონტროლებელი მოწყობილობების საშუალებით ე.ი. მეტოდოგიური უზრუნველყოფით, რომლის შესრულებაზეც პასუხისმგებლობა მეტოდოგიურ სამსახურს გაისრება.

მეტოდოგია მნიშვნელოვანია საერთაშორისო ვაჭრობაში. ის უზრუნველყოფს აუცილებელ ტექნიკურ საშუალებებს, იმისათვის, რომ მოხდეს კორექტული გაზომვები პარმონიზებული გაზომვის სისტემის გამოყენებით, რომელიც მოიცავს ერთეულთა საერთაშორისო სისტემას (SI), ზუსტ საზომი ინსტრუმენტებს, რომლებიც აკმაყოფილებენ საერთაშორისო სტანდარტებს. გაზომვა შედის პრაქტიკულად ყველა კომერციულ ოპერაციაში, დაწყებული საბითუმო გაჭრობით (პროდუქტები, როგორიცაა ნავთობი, ბუნებრივი გაზი და ლითონის საბადო), ბაზარზე მომხმარებელზე საქონლის საცალო გაყიდვამდე. გარდა რაოდენობისა, პროდუქციის ხარისხი და მათი შესაბამისობა სტანდარტებთან მნიშვნელოვანი კრიტერიუმია საერთაშორისო ვაჭრობაში.

შესაბამისი სერტიფიკატები გამოიყენება პროდუქტების სტანდარტებთან და რეგულაციებთან შესაბამისობის დასამტკიცებლად. ასეთი სერტიფიკატები უფრო და უფრო მნიშვნელოვანი ხდება. მრავალ შემთხვევაში ხარისხის შემოწმება და შესაბამისობა მოითხოვს გადამოწმებას.

აკრედიტებულმა საკალიბრაციო ლაბორატორიებმა უნდა უზრუნველყონ გაზომვისა და ტესტირების აღჭურვილობის სათანადო კალიბრაციის პირობები.

მეტოდოგიას აქვს საკმაოდ დიდი ფიქსირებული ხარჯები, მაგრამ აქვს მნიშვნელოვანი გამოყენებადობა. საბაზრო ეკონომიკაში გაზომვის ღონისძიებები ორ ნაწილად იყოფა. პირველი, თითოეული ორგანიზაცია საბაზრო ეკონომიკაში ახდენს გაზომვებს შიდა მიზნებისათვის და უზრუნველყოფს, რომ ის აკმაყოფილებდეს რეგულაციებს. მეორე, გაზომვა არის საბაზრო ეკონომიკაში გაცვლის ნაწილი ორგანიზაციებს შორის. აქ შესაძლებელია საჭირო გახდეს სპეციალური ჩარევა, იმის გამო, რომ შესაძლებელია მიმწოდებელსა და მყიდველს შორის გაზომვადობას პქონდეს შეუსაბამობა.

ლიტერატურა

1. Deming, W. Edwards. The New Economics for Industry, Government, and Education. Boston, Ma: MIT Press. p. 132. ISBN 0262541165.
2. G.M. Peter Swann. The Economics of Metrology and Measurement. Report for National Measurement Office, Department for Business, Innovation and Skills Final Draft 14th October 2009, p. 116.

SUMMARY

METROLOGICAL SUPPORT OF ECONOMIC PROCESSES

Lomsadze Kh.A.

“Talga” Institute of Georgian Technical University

The article presents the importance of metrological provision of products for companies that are going to enter the international market. The objectives of modern metrological support are presented, the world market requirements for product certification and towards the organizations (testing and calibration laboratories) which are making certifications are described.

Keywords: metrology, certification, international market.

06 გაციები საჭარმოს სამეცნიერო-ტექნოლოგიურ განვითარებაში

ლომსაძე ხ.ა., მეცნიერი შვილი მ.რ., კალანდაძე ი.გ.

საქართველოს ტექნიკური უნივერსიტეტის ინსტიტუტი „ტალღა“

თანამედროვე ეკონომიკაში წარმოების სამეცნიერო-ტექნიკური განვითარების ძირითადი მიმართულებები არის: წარმოების კომპლექსური მექანიზაცია და ავტომატიზაცია; ელექტროფიკაცია; ქიმიური მიმართულება; ახალი მასალების შექმნა და დანერგვა; ახალი ტექნოლოგიების (მასალის) შექმნა, მათ შორის ნანოტექნოლოგიების (ნანომასალების).

ყველა ეს მიმართულება ხელს უწყობს წარმოების გააქტიურებას, სამუშაო პირობების გაუმჯობესებას, მისი პროდუქტიულობის გაზრდას, კომპანიის პროდუქციის ხარისხისა და კონკურენტურიანობის გაუმჯობესებას. ამრიგად, კომპანიის სამეცნიერო და ტექნოლოგიური განვითარება არის ინოვაციის უწყვეტი პროცესია [1,2].

არსებობს ინოვაციური საქმიანობის მრავალგვარი განმარტება.

ინოვაციების დანერგვა სულ უფრო მეტად განიხილება, როგორც წარმოებული საქონლის კონკურენტურიანობის გაზრდის, განვითარების მაღალი დონის და მომგებიანობის შენარჩუნების ერთადერთი გზა. საწარმოებში ტექნოლოგიური განვითარების განხორციელების აქტუალობა განპირობებულია ცვლილებების ორი ჯგუფით, რომელსაც აქვს საშინაო და საერთაშორისო ხასიათი.

სხვა სიტყვებით რომ ვთქვათ, საწარმოებზე ზეწოლას ახდენენ გარე და შიდა ბაზრები, რაც აისახება შემდეგში: მომსხმარებლის ქცევის ცვლილება; განვითარებული ბაზარი საქონლით და მომსახურებით, შედეგად გაზრდილი კონკურენცია; ახალი, მსოფლიო დონის მრავალფეროვანი ტექნოლოგიები; მიწოდებისა და მოთხოვნის გლობალიზაცია.

2016 წლის 22 ივნისის „ინოვაციების შესახებ“ საქართველოს კანონის თანახმად, ინოვაცია არის ეკონომიკური, სამეცნიერო ან სოციალური დირებულების მქონე, გამოყენებადი, ახალი ან მნიშვნელოვნად გაუმჯობესებული პროდუქტი, პროცესი ან მომსახურება, რომელიც შეიძლება იყოს სხვადასხვა სახის. ხოლო ინოვაციური საქმიანობა არის საქმიანობა, რომელიც ხორციელდება ეკონომიკური ან სოციალური დირებულების მქონე, გამოყენებადი, ახალი, ან მნიშვნელოვნად გაუმჯობესებული პროდუქტის, პროცესის ან მომსახურების შესაქმნელად [3].

ამგვარად, ინოვაცია არის სამეცნიერო, სამეცნიერო-ტექნიკური და ინტელექტუალური პოტენციალის გამოყენების სისტემა, იმისთვის, რომ მივიღოთ ახალი ან გაუმჯობესებული პროდუქტი ან მომსახურება, წარმოების ახალი მეთოდი, რომელიც დააკმაყოფილებს როგორც ინდივიდუალურ, ისე საზოგადოებრივ მოთხოვნებს.

პირველი, და ძირითადი სიახლე ისეთი ინოვაციაა, რომელიც რეალიზებას უკეთებს უდიდეს გამოგონებას და ტექნიკაში ხდება რეკოლუციური გადატრიალების საფუძველი, ფორმირდება ახალი მიმართულებები, მიმდინარეობს ტექნოლოგიური სისტემების ხარისხებრივი ცვლილება, იქმნება ახალი ინდუსტრიები.

ასეთი ინოვაციები ათვისებისათვის მოითხოვს ხანგრძლივ პერიოდს და დიდ ხარჯებს. მაგრამ, სანაცვლოდ უზრუნველყოფებ მნიშვნელოვან ეკონომიკურ დონეს და მასშტაბებს [4].

მეორე, ძირითადი და ფუნდამენტური ინოვაციები წარმოიქმნა ანალოგიური გამოგონებების მიხედვით, სამეცნიერო და ტექნიკური რეკომენდაციების საფუძველზე, რის შედეგადაც, იცვლება ტექნიკის თაობები, ან იქმნება ახალი ტექნოლოგიები საწყისი ფუნდამენტური სამეცნიერო პრინციპის შენარჩუნებით. ამ ინოვაციების რეალიზაცია ხდება უფრო მოკლე დროში და უფრო დაბალ ფასად, მაგრამ ტექნიკური დონის ნახტომი და ეფექტურობა გაცილებით ნაკლებია.

მესამე, საშუალო და კომბინირებული ინოვაციები წარმოადგენენ კონსტრუქციულად შეერთებული ელემენტების სხვადასხვა კომბინაციას. გამოგონებისა და

ნოუ-ჰაუს საშუალო დონის რეალიზაციისას, მოცემული ინოვაციები საშუალებას იძლევა შეიქმნას მოცემული თაობის ტექნიკის ბაზა ახალი მოდელებისა და მოდიფიკაციების შესაქმნელად, სრულყოს არსებული ტექნოლოგია, გააუმჯობესოს გამოსაშვები პროდუქციის ძირითადი ტექნიკურ-ეკონომიკური მაჩვენებლები.

მეოთხე, მცირე და კომბინატორული ინოვაციები შემოიფარგლება მცირე გამოგონებებით, რაციონალური წინადადებებით და წარმოების გამოცდილებით. ისინი აუცილებელია ტექნიკურ-ეკონომიკური პარამეტრების შესანარჩუნებლად [5,6].

საბოლოო ჯამში საწარმოს ეფექტურობის გაზრდის მიზნით, ინოვაციურმა საქმიანობამ უნდა უზრუნველყოს:

- საჭიროებების სრულყოფილი და დროული დაკმაყოფილება;
 - საწარმოს კონკურენტუნარიანობა პროდუქციის ხარისხისა და წარმოების ეფექტურობის თვალსაზრისით, ბალანსის მიღწევა სტაბილურობასა (ტრადიციული ტექნოლოგიით მართვა) და ახალი ტექნოლოგიის დანერგვის მცდელობებს შორის. ტრადიციული პროდუქტიული ტექნოლოგიის შენარჩუნებისას, აუცილებელია რესურსების ნაწილის მიმართვა ახალი ტექნოლოგიის დანერგვისაკენ.
 - სისტემის შიდა და გარე ელემენტების განვითარების ურთიერთქმედების ორგანიზება, რომლის ძირითადი ფაქტორები არის ინფორმაცია ინოვაციების ბაზრის შესახებ, ალტერნატიული პროექტების შერჩევა და ურთიერთდაინტერესება [7].
- ასე რომ, ახალი ტექნიკის და ტექნოლოგიის დანერგვის მიზანია საქონლის ღირებულების შემცირება, რაც იწვევს საქონლის გაიაფებას, ასევე მცირდება საქონლის ერთეულზე წარმოების სამუშაო დრო და მატერიალური ხარჯები, იზრდება ძირითადი ფონდების სიმძლავრე და ა.შ. საბაზრო პირობებში ახალი ტექნიკის და ტექნოლოგიის დანერგვა ხელს უწყობს საწარმოს ძირითადი ამოცანის განხორციელებას - მოგების მაქსიმალური გაზრდა მინიმალურ ფასად.

ლიტერატურა

1. Парамонов П.Ф. и др. Экономика предприятий. В 2-х частях. –Краснодар, КГАУ, 2008, ч.1, 331с. ч.2, 522с.
2. Miller W., Langdon M. 4th Generation R&D. Managing knowledge, Technology and Innovation. - John Wiley & Sons, Inc., 1999, 335 p.
3. საქართველოს კანონი ინოვაციების შესახებ.
<https://matsne.gov.ge/ka/document/view/3322328?publication=0>.
4. Bamberger Ingolf. Product/Market Strategies of Small and Medium-sized Enterprises. - England: Avebury, 1994.
5. Bray Stewart. Total Innovation. - Pitman Publishing. 1995.
6. Cozijnsen A., Vrakking W. Handbook of Innovation Management, Basil Blackwell, Ltd, 1993.
7. Johnson A. Edosomwan. Integrating Innovation and Technology Management. - John Wiley & Sons. Inc. - 1989.

SUMMARY

INNOVATIONS IN SCIENTIFIC-TECHNOLOGICAL DEVELOPMENT OF THE ENTERPRISE

Lomsadze Kh.A., Metskhvarishvili M.R. and Kalandadze I.G.

“Talga” Institute of Georgian Technical University

Market development and market attitudes show that one of the key competitive strategic conditions for an enterprise is its innovative activity. Therefore, the introduction of new techniques and technology is relevant and very important. The article presents innovation as an important component of the economic efficiency of the enterprise. Today the scientific and technical development of the enterprise is an integral part of its main activity. Scientific-technical progress means the development of science, technique, technology, improvement of the working tools, forms and methods of the enterprise.

Keywords: innovation, technologies, complex mechanization, market conditions.

**გეტრის კუნის ციზიძური მოდელი გუმშვის სიმფგიცხვა
საპგალიზიპაციო ტესტირების ჩასატარებლად**

აბელაშვილი ნ.ნ., ოთხოორია ნ.კ., მერებაშვილი გ.ქ.

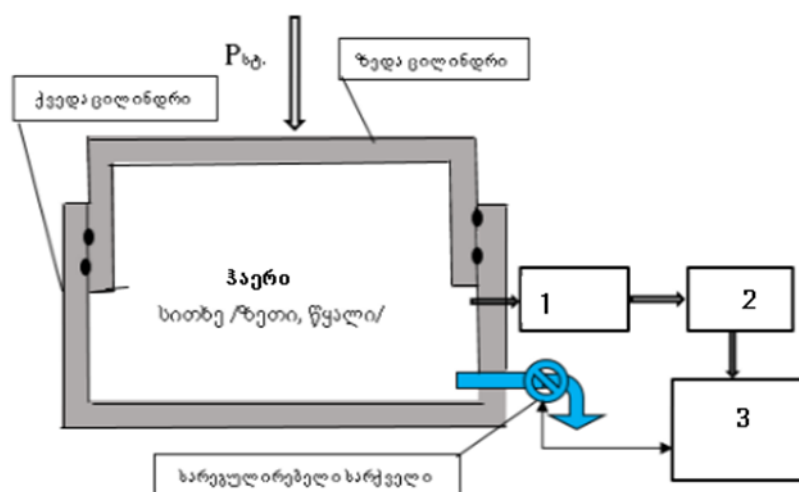
საქართველოს ტექნიკური უნივერსიტეტი

საგამოცდო ლაბორატორიები, რომლებიც სამშენებლო სფეროს პროდუქციის კონტროლისა და მონიტორინგის ამოცანების გადაწყვეტით არიან დაკავებულები ძირითადად იყენებენ მრღვევი ტესტირების მეთოდებს, მათ შორის ბეტონის კუმშვის ხარისხის დადგენის დროს. ნორმატიული დოკუმენტაციით ასეთი ტიპის ტესტირების ჩასატარებლად მოთხოვნილია გამოსაცდელი ნიმუშის 7 ან 28 დღიანი დაყოვნების მქონე ბეტონის კუბების გამოცდის აუცილებლობა, რაც თვითონ ბეტონის ნაკეთობის ტექნილოგიური აუცილებლობითაა გამოწვეული. ასეთივე დროითი დაყოვნება სჭირდება, საკვალიფიკაციო გამოცდისათვის აუცილებელი ბეტონის კუბების საკონტროლო ნიმუშების მომზადებასაც, რომლის დანიშნულებას არა ბეტონის ხარისხის კვლევა, არამედ თვითონ ლაბორატორიის, პერსონალის, საკონტროლო საზომი აპარატურის, გამოცდის მეთოდის და პროცედურების, მონაცემთა დამუშავების მეთოდების კომპეტენტურობის დადგენა წარმოადგენს. ამას გარდა გაზომვის შედეგების აღეკვატურობის მისაღწევად მეტად მნიშვნელოვანია საკონტროლო გამოსაცდელი ნიმუშების – ბეტონის კუბების, ერთგვაროვნება და გაზომვის შედეგების აღწარმოებადობის და განმეორებადობის მაჩვენებლების კვლევა რაც საკონტროლო ნიმუშისათვის ნორმირებული მეტროლოგიური მახასიათებლების მინიჭებას გულისხმობს, ეს კი რდგვევად გამოცდების ჩატარების აუცილებლობიდან გამომდინარე საკონტროლო ნიმუშების ერთგვაროვნებას განსაკუთრებულ მოთხოვნებს უქენებს [1-4].

ზემოაღნიშნულის გათვალისწინებით შემოთავაზებულია ბეტონის კუბის ფიზიკური მოდელი, კუმშვის სიმტკიცეზე საკვალიფიკაციო ტესტირების ჩასატარებლად.

ბეტონის კუბის კუმშვის სიმტკიცეზე ლაბორატორიათაშორის საკვალიფიკაციო ტესტირების ჩატარებისათვის შემოთავაზებულია ბეტონის კუბის რამდენიმე საცდელი ფიზიკური მოდელი.

ფიზიკური მოდელის შესრულების ერთ-ერთი ვარიანტი (ნახ. 1) წარმოადგენს ერთმანეთში ჩასმულ ორ ურთიერთობავსებად ცალმხრივად დახურულ ლითონის, ზედა და ქვედა, ცილინდრის, რომლებიც ერთმანეთის მიმართ ისეა განლაგებული, რომ ქმნიან საერთო დახურულ სივრცეს.



სურ 1. ბეტონის კუბის კუმშვის სიმტკიცეზე ლაბორატორიათაშორის საკვალიფიკაციო ტესტირების ჩატარების ფიზიკური მოდელი

1. გამზომი სენსორი წინასწარი გამაძლიერებლით; 2. ანალოგურ ციფრული გარდამსახი;
3. საზომი და ინდიკაციის ბლოკი, სარქველის მართვის სქემასთან ერთად.

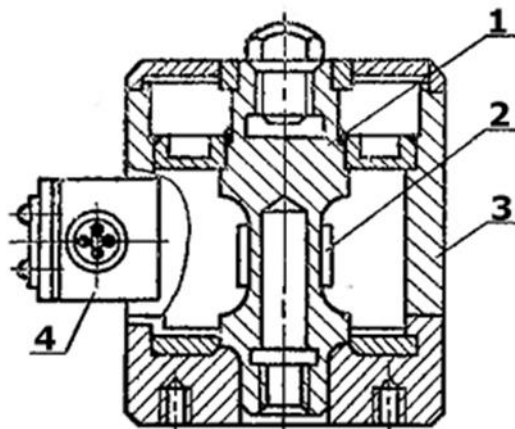
ცილინდრებს შორის მოქცეული დახურული სივრცე შევსებულია რაიმე სითხით მაგალითად, ზეთით ან წყლით. ზედა ცილინდრის გარე დიამეტრი თავსებადია ქვედა ცილინდრის შიგა დიამეტრთან. სითხის გაუღვის თავიდან ასაცილებლად, ცილინდრებს შორის არსებულ საპაერო დრენაჟი, მოთავსებულია რეზინის ორი საიზოლაციო რეზინი. ტესტირების პროცესში ზედა ცილინდრზე, ვერტიკალური მიმართულებით, მოქმედებს კუმშვის ძალა, ის იწვევს დახურულ სივრცეში მოთავსებულ სითხეზე წნევის ზრდას. წნევის ცვლილება აღიქმება წნევის სენსორის საშუალებით საიდანაც წინასწარი გამაძლიერებლით გაძლიერებული ელექტრული სიგნალი, ანალოგურ ციფრული გარდამსახით გარდაიქმნება ციფრულ ფორმაში, რომელიც საზომი ხელსაწყოს შესაბამისი სქემით, მოქმედი ძალის მნიშვნელობად გარდაიქმნება და ასახება ინდიკატორის ეკრანზე (დისპლეი). ამას გარდა საზომი ხელსაწყო უზრუნველყოფს სარეგულირებელი სარქველის მუშაობის მართვას, რომელიც წინასწარ განსაზღვრული ზემოქმედების ძალის მიღწევის შემდეგ გახსნის სარეგულირებელ სარქველს, რითაც მიღწევა კუმშვის ძალის ზემოქმედებით ბეტონის კუბის რღვევის ეფექტი, სითხეზე მოქმედი წნევის მკვეთრად შემცირების გზით.

ანალოგიური წესით ზედა და ქვედა ცილინდრს შორის გარემო შეიძლება შევსებული იყოს პაერით, რომელიც შესაძლებელია ჩაიტუმბოს წინასწარი წნევით ან მის გარეშე. ასეთ შემთხვევაში რა თქმა უნდა გამოყენებული უნდა იქნას პნევმატიკაზე გათვლილი რეზინის სადებები და პნევმატური სარქველი.

ფიზიკური მოდელის ინდიკატორის ჩვენებას და რეალურ გამოსაცდელი დანადგარის გამზომი სქემის ჩვენებას შორის შედარებით განისაზღვრება გამოცდის პროცესის კომპეტენტურობა.

ფიზიკური მოდელის შესრულების, გარდა ზემოთ აღწერილი კონსტრუქციისა, შესაძლებელია ასევე, მისი დამზადება კუმშვის ტენზოგარდამსახის გამოყენებით.

კუმშვის ტენზოგარდამსახი წარმოადგენს ძალის ელექტრულ ფორმაში გარდამსახ მოწყობილობას (ნახ. 2), რომლის მოქმედების პრინციპი დამყარებულია მოქმედი დატვირთვისაგან დამოკიდებულებით, გამტარის განივევეთის ცვლილებაზე რა დროსაც იცვლება გამტარში გამავალი დენის სიდიდე, გამტარის ელექტრული წინადობის ცვლილების ხარჯზე.



ნახ. 2. ტენზოგარდამსახის კონსტრუქცია

1. დრეკადი ელემენტი;
2. ტენზორეზისტორი;
3. გარდამსახის კორპუსი;
4. კაბელის მისაერთებელი ჰერმეტული ბუდე.

ტენზორეზისტორული გარდამსახი კონსტრუქციულად წარმოადგენს დრეკად ელემენტზე დამაგრებულ ტენზორეზისტორს. ძალის მოქმედების შედეგად ხდება დრეკადი ელემენტის დეფორმაცია, რაც თავის მხრივ ტენზორეზისტორის გეომეტრიული პარამეტრების ცვლილებას იწვევს, რაც გავლენას ახდენს ელექტრულ პარამეტრებზე.

ასეთი ტიპის გარდამსახების გამოყენება პერსპექტიულ მიმართულებას წარმოადგენს მითუმეტებს, რომ მათი მეტროლოგიური მახასიათებლები ნორმირებულია.

ასეთი გარდამსახის ბაზაზე დამზადებული საკვალიფიკაციო ტესტირების საკონტროლო ნიმუშის ფიზიკური მოდელი საშუალებას იძლევა ისინი გამოყენებული იქნან საგამოცდო ლაბორატორიების კომპეტენტურობის შესაფასებლად.

ტესტომეტრული გარდამსახების გაზომვის პროცესის უზრუნველყოფისათვის რეკომენდებულია უიტსონის ბოგირული სქემის გამოყენება. ტესტომეტრული გარდამსახების დამზადების და გამოყენების რეკომენდაციები საერთაშორისო დოკუმენტებით რეგულირდება (OIML R60).

ამრიგად, წამოყენებული და დასაბუთებულია მოსაზრება ბეტონის კუბის კუმულატურული გარდამსახების მოდელის გამოყენების შესაძლებლობის შესახებ. შემოთვაზებულია ბეტონის კუბის კუმულატურული გარდამსახების მოდელის საკონტროლო ნიმუშის რამდენიმე გარიანტი მათ შორის პიდრავლიკური (ზეთი, წყალი), პნევმატური და ტესტომეტრული გარდამსახის მოქმედებაზე დამყარებული ფიზიკური მოდელები. განსახილვები ამოცანისათვის შემოთვაზებული მიღვიმდა გამართლებულია, რადგანაც საკონტროლო ნიმუშის დანიშნულება არ არის ბეტონის ხარისხის კვლევა, არამედ თვითონ ლაბორატორიის, პერსონალის, საკონტროლო-საზომი აპარატურის, გამოცდის მეთოდის, პროცედურების და მონაცემთა დამუშავების მეთოდების კომპეტენტურობის დადგენა.

ლიტერატურა

- ГОСТ 10180-2012 Бетоны. Методы определения прочности по контрольным образцам. Дата введения 2013-07-01;
- О. Болотских. Европейские методы Физико-Механических испытаний бетона. Харьковю TESTING. 2010, 144 с.
- Compressive strength of concrete. <https://midtech.com.jo/compressive-strength-of-concrete-cubes> 27.10.2020;
- Standard Test Method for Compressive Strength of Cylindrical Concrete Specimens (ASTM Designation: A 370 – 03).

SUMMARY

PHYSICAL MODEL OF A CONCRETE CUBE FOR QUALIFICATION

COMPRESSIVE STRENGTH TESTS

Abelashvili N.N., Otkhozoria N.K. and Merebashvili G.M.

Georgian Technical University

The article presents and substantiates an opinion on the possibility of using a physical model as a control sample for interlaboratory tests of a concrete cube for compressive strength. Several versions of a sample for testing a concrete cube for compressive strength have been proposed, including physical models based on the actions of hydraulic (oil, water), pneumatic and tensometric effects.

Keywords: interlaboratory tests, control sample, statistical design, concrete compressive strength, assigned value, standard deviation, reproducibility and reproducibility of measurement results.

სიმიჯები და მათი გამოყენება მშენებლობაში

ბაშარ მ. ამეენ აბდულლაშ ალ-იმამ

საქართველოს ტექნიკური უნივერსიტეტი

1. შესავალი

ხიმინჯოვანი საძირკვლების დაპროექტება იწყება მათი სახეობის შერჩევით, რაც დამოკიდებულია ნაგებობის დანიშნულებაზე, ადგილის გეოლოგიურ პირობებზე, საწარმოს ტექნიკურ შესაძლებლობაზე, როდესაც – სუსტი გრუნტია; მიწისქვეშა წყლის დონე აწევლია; დატვირთვები სტრუქტურიდან მძიმეა და არარეგულარული; გრუნტი ხასიათდება მაღალი კუმშვადობით; შესაძლებელია ეროზიის არსებობა; სტრუქტურის მახლობლად არსებობს არხი ან დრმა სადრენაჟე სისტემა. ზოგჯერ მეწყრული ფერდობების გამაგრება ხდება ვერტიკალური ან პორიზონტალური ხიმინჯების გამოყენებით. [1,2]

2. ძირითადი ნაწილი

ხიმინჯების კლასიფიკაცია შემდეგნაირად ხდება: მასალის მიხედვით – ხის, ბეტონის, რკინა-ბეტონის, ფოლადისა და კომბინირებული; ხის ხიმინჯები მოთავსებულია წყლის დონის ქვეშ. ისინი შეიძლება იყოს მართკუთხა ან წრიული ფორმის, მისი უპირატესობებია: ჩვეულებრივი ზომისაა, ხელმისაწვდომია, ეკონომიურია და მარტივია მათი ინსტალაცია. ხის ხიმინჯები შეიძლება მოჭრილი იქნას ნებისმიერი სასურველი სიგრძის დაყენების შემდეგ; საჭიროების შემთხვევაში ხის ხიმინჯები ადგილად გადაადგილება და ა.შ. ხის ხიმინჯები უარყოფითი მსარე – გრძელი სიგრძის ხიმინჯების დაყენება ყოველთვის არ არის შესაძლებელი; ძნელია ხიმინჯის დაყენება თუ ნიადაგის შეები ძალიან რთულია და ა.შ.

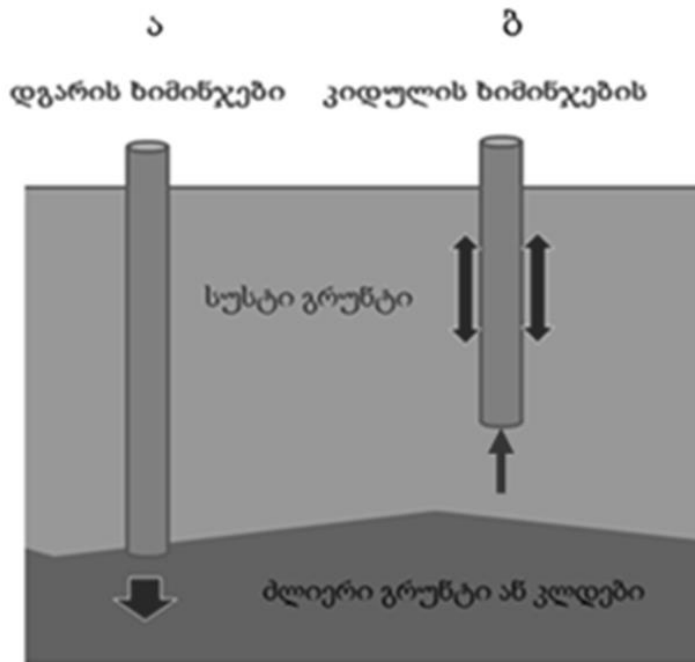
ნაბურღანატენი ხიმინჯი. ამ ტიპის ხიმინჯს აწყობენ გაბურღვით, ჭაბურღილის კედლების გამაგრების გარეშე. გაბურღვლ ჭაურში ჩაიღმება არმატურის კარკასი და ხდება მისი დაბეტონება. იმ შემთხვევაში, თუ ჭაბურღილის კედლები ვერ ინარჩუნებს გერტიკალურ მდგომარეობას, მაშინ გაბურღვას აწარმოებენ სპეციალურ თიხის ხსნარით და დაბეტონება ხდება წყალქვეშა დაბეტონების ხერხით [1].

ფოლადის ხიმინჯების უპირატესობები – მარტივი ინსტალაცია, მათ შეუძლიათ მიაღწიონ უფრო დიდ სიღრმეს ყველა სხვა ტიპის ხიმინჯებთან შედარებით, შეუძლიათ შეაღწიონ ნიადაგის რთულ ფენაში და ა.შ.

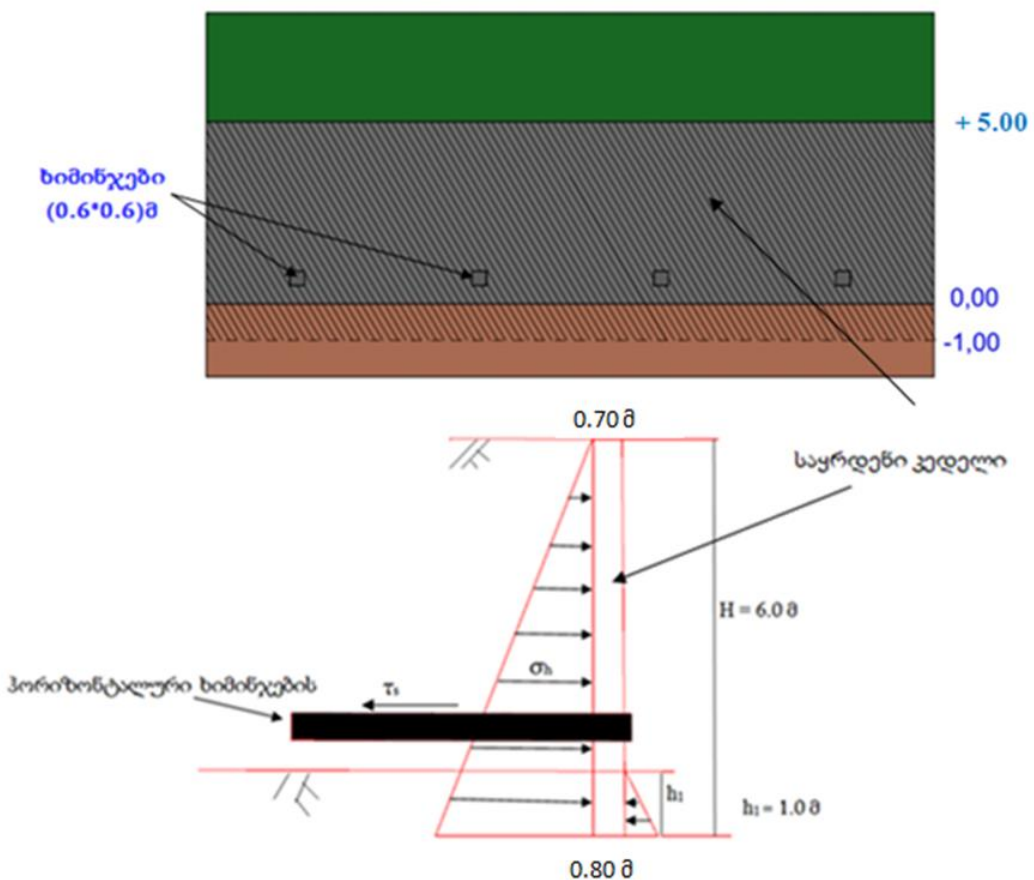
ხიმინჯები განივი კვეთის მიხედვით შეიძლება იყოს კვადრატული, მართკუთხა, წრიული, სამკუთხა, ხოლო გრძივი კვეთის მიხედვით – ცილინდრული, პრიზმული, კონუსური, პირამიდული.

დამზადების მიხედვით – წინასწარ დამზადებული ქარხნული წესით ან ადგილზე დამზადებული წინასწარ გაჭრილ ჭაბურღილებში. დამზადების მიხედვით ხიმინჯების ძირითადად გამოიყენება საზღვაო და მდინარის სტრუქტურებში, ანუ ისეთ სიტუაციებში, როდესაც ადგილზე ჩამოსხმული ბეტონის გამოყენება არაპრაქტიკული ან არაეკონომიკურია. ადგილზე დამზადებული ხიმინჯების სიგრძე მარტივად შეიძლება იცვლებოდეს.

არმიორების მიხედვით – ჩვეულებრივი ან წინასწარ დაძაბული. მუშაობის ხასიათის მიხედვით ხიმინჯი შეიძლება იყოს დგარი ან კიდული. ხიმინჯი დგარია თუ იგი წვერით გერდნობა პრაქტიკულად კუმშვად ფენას (კლდე, თიხიანი გრუნტი მყარ მდგომარეობაში, მკვრივი ხეები და სხვა). ამ შემთხვევაში ხახუნის ძალები ხიმინჯის გვერდით პირეულზე მხედველობაში არ მიიღება (ნახ. ა). ხიმინჯი კიდულია, თუ იგი ეკვივალენტია წვერით კუმშვად ფენას. ასეთი ხიმინჯი მასზე მოსულ დატვირთვას ეწინააღმდეგება როგორც ხიმინჯის წვერზე აღმრული რეაქციის ძალით, ასევე მის გვერდით პირეულზე წარმოქმნილი ხახუნის ძალებითაც (ხახუნის ხიმინჯები, (ნახ. ბ) [1].



ნახ. 1. ხიმინჯები მუშაობის ხასიათის მიხედვით – დგარი ან კიდული



ნახ. 2. პორიზონტულური ხიმინჯების საყრდენი კედელი
 τ_s : ხიმინჯების და გრუნტს შორის ხახუნი; σ_h : გრუნტის აქტიურის წნევა

მეწყრული ფერდობის გამაგრებასთვის, როცა მდგრადობის კოეფიციენტი 1-ზე ნაკლებია (არ არის უსაფრთხო) [3], ჩვენ გამოვიყენეთ სხვადასხვა ტიპის საყრდენი კედლის ჰორიზონტალური ხიმინჯები, ადგილზე საყრდენი კედლი ან წინასწარ დამზადებული ქარხნული წესით საყრდენი კედლის ბლოკი. გამოვთვალეთ მისი მდგრადობა როგორც მოცურების და გადამბრუნებელი მომენტის, და ფერდობის მდგრადობის კოეფიციენტი. ისინი განსხვავებულია, რაც დამოკიდებულია საყრდენი კედლის განხომილებაზე. მაგალითად, საყრდენი კედლი ჰომა: 5,0 მ ხიმადლე, ხიმინჯების სიგრძე (5,0) მ, საყრდენი კედლის სიგანე ზემოდან არის 0,7 მ და ქვემოდან 0,8 მ, კვადრატი ხიმინჯების (0,6*0,6) მ, მანძილი ხიმინჯებიდან ხიმინჯებიმდე 5,0.

ფერდობის მდგრადობის კოეფიციენტი გაიზარდა (0,77)-დან (1,60)-მდე და ეს უფრო მეტია (1,0). რაც ნიშნავს, რომ ფერდობის მდგრადობა ახლა უსაფრთხოა.

- საყრდენი კედლის მოცურების მდგრადობისთვის დამატებითი 25 %.
- საყრდენი კედლის გადამბრუნებელი მომენტისთვის დამატებითი 50 %-ზე მეტია. ნახ. (2).

დასკნა

- მეწყრული ფერდობების საყრდენი კედლის გამაგრება შესაძლებელია ჰორიზონტალური ან ვერტიკალური ხიმინჯების გამოყენებით.
- ეკონომიკური ფაქტორები მნიშვნელოვანია ხიმინჯების ტიპის ასარჩევად.
- საყრდენი კედლების გამაგრება შესაძლებელია ჰორიზონტალური ხიმინჯების გამოყენებით.

ლიტერატურა

1. გ. ჭოხონელიძე და სხვები. საინჟინრო გეოლოგია, გრუნტების მექანიკა და ფუძე-სამირკვ-ლები. -თბილისი, 2018, 60-70 გვ.
2. Terzaghi K. Theoretical Soil Mechanics. //J. Wiley, New York, 1943, pp. 367-415 .
3. Маслов Н.Н. Механика грунтов в практике строительства. (Оползни и борьба с ними). - М.: Стройиздат, 1977, сс. 266-269.

SUMMARY

PILES AND THEIR USE IN THE CONSTRUCTIONS

Bashar M.Ameen Abdullah Al-Imam

Georgian Technical University

Piles are a structural elements of woods, concrete and steel, that transfer loads from the structures to the ground. Sometimes piles are used to control ground movement, such as landslide. Horizontal piles can be used with the retaining wall and it will work as counterfort retaining wall.

Keywords: piles, landslide, retaining wall.

დარტყმამედეგობის მეთოდის კვლევა-გაუმჯობესება

ბალიაშვილი გ.ი., ბეჭანოვი ფ.ხ., სარჯველაძე ნ.ვ., ტყემალაძე ლ.ვ., წიკლაური გ.ზ.

სსიპ გრიგოლ წულუკიძის სამთო ინსტიტუტი

დარტყმამედეგობა (Impact resistance, Ударная стойкость) წარმოადგენს მყარი სხეულის დარტყმითი დატვირთვის ზემოქმედების გამკლავების უნარს მზიდუნარიანობის დაკარგვის გარეშე. მეორენაირად მყარი სხეულის დარტყმამედეგობა არის ფარდობითი დარტყმითი ენერგიის ის რაოდენობა, რომლის ზემოქმედებით ნიმუში არ ირდვევა. საზომი ერთეულია ჯოული/მ².

დარტყმითი დატვირთვა წარმოადგენს ძლიერ, ხანმოკლე, დინამიკურ დატვირთვას, რომელიც აღიძვრება სხეულში მასზე ტვირთის დაცემის დროს.

დარტყმა (Impact, Удар) წარმოადგენს მყარ სხეულზე დინამიკურ ზემოქმედებას, ანუ დარტყმას (აგრეთვე უწოდებენ ბიძგს, რყევას, იმპულსს, შოკს), რომელიც აღიძვრება სხეულების შეჯახების დროს.

დღეისთვის გამოიყენება დარტყმამედეგობის დადგენის შემდეგი მეთოდი [1,2]: აფეთქების, ჭურვის დარტყმის, ტვირთის თავისუფალი ვარდნის, ჩარპის და იზოდის. აფეთქების და ჭურვის დარტყმის მეთოდი საჭიროებს რთულ მოწყობილობა-დანადგარს. ჩარპის და იზოდის მეთოდი შეზღუდულია და ძირითადად გამოიყენება მეტალების გამოცდის დროს. ტვირთის თავისუფალი ვარდნის და ნიმუშზე დარტყმის მეთოდი შედარებით, მარტივია და გამოიყენება ქანების, ბეტონების, კერამიკის და სხვა მასალის დარტყმამედეგობის დადგენაში.

თავისუფალი ვარდნა წარმოადგენს მიზიდულობის ძალის ზემოქმედებით წარმოქმნილ თანაბარ მოძრაობას, როდესაც სხვა ძალები არ მოქმედებენ, ან მათი ქმედება უმნიშვნელოდ მცირეა [3].

ტვირთის თავისუფალი ვარდნის და ნიმუშზე დარტყმის (შემდგომ ტექსტში – ჩაქუჩის დარტყმის) მეთოდის ძირითად ხელსაწყოს წარმოადგენს ურნალი [4,5]. თავის მხრივ ურნალის ძირითად ნაწილს წარმოადგენს ურნალის სვეტების გასწვრივ მოძრავი, ხელით სამართავი ჩაქუჩი. ჩაქუჩი ეცემა ნიმუშზე განთავსებულ ფოლადის ბურთულაზე, ან ნახევრადსფერულბოლოიან ფოლადის დეროზე (დარტყმის მიმდებადამცემი დეტალი).

მეთოდი ითვალისწინებს ჩაქუჩის მრავალჯერად დარტყმას სხვადასხვა ბიჯით მზარდი და უცვლელი სიმაღლიდან ნიმუშის მზიდუნარიანობის დაკარგვამდე.

ნაშრომში [7] დარტყმამედეგობა განისაზღვრება პეჯის ტიპის ურნალის გამოყენებით. ნიმუშის რღვევის შეფასების კრიტერიუმია სრული დარტყმამედეგობა, ან კუთრი დარტყმამედეგობა. გამოიყენება ცილინდრული ფორმის ნიმუში, რომლის დიამეტრი და სიმაღლე 25 მმ-ის ტოლია. ურნალის ფუძეზე თავსდება ნიმუში, ნიმუშის ცენტრზე თავსდება ფოლადის ცილინდრი, რომლის ბოლო ნახევრადსფერულია. შემდეგ ხდება ჩაქუჩის დარტყმა ცილინდრზე. დარტყმის სიმაღლე შეადგენს: პირველი 1 სმ, მეორე 2 სმ, მესამე 3 სმ და ა.შ. პირველი ბზარის წარმოქმნის მომენტამდე.

კუთრი დარტყმამედეგობა, თითოეულ ნიმუშზე განისაზღვრება ფორმულით (1)

$$\sigma = \left(F \times \sum h \right) / V, \quad (\text{კგ} \times \text{სმ}) / \text{სმ}^3 \quad (1)$$

სადაც σ – კუთრი დარტყმამედეგობა, $(\text{კგ} \times \text{სმ}) / \text{სმ}^3$; F – დარტყმის ძალა, კგ; რომელიც განისაზღვრება ფორმულით (2)

$$F = m \times g \quad (2)$$

m – ჩაქუჩის მასა, კგ; g – თავისუფალი ვარდნის აჩქარება, $\text{მ}/\text{მ}^2$; Σh – დარტყმის სიმაღლეების ჯამია, სმ, რომელიც განისაზღვრება ფორმულით (3)

$$\Sigma h = (1+2+3+\dots+n) \quad (3)$$

n – დარტყმის ის სიმაღლე, რომლის დროსაც წარმოიქმნა პირველი ბზარი, სმ; V – ნიმუშის მოცულობა, სმ³.

დარტყმათა რაოდენობის მიხედვით ქანი იყოფა კლასებად: დარტყმამედეგი, როდესაც $n > 16$, საშუალოდ დარტყმამედეგი, როდესაც $n = 8-16$ და სუსტად დარტყმამედეგი როდესაც $n = < 8$ [7].

აღსანიშნავია, რომ ფარდობითი დარტყმამედეგობა გაიანგარიშება კუთრი დარტყმამედეგობის შეფარდებით არა ნიმუშის რღვევის ფართობთან, არამედ ნიმუშის მოცულობასთან [7]. საკითხი მოითხოვს დაზუსტებას და დადგენას. ნიმუშის რღვევას ეწინააღმდეგება მთელი ნიმუშის მოცულობა, თუ მისი გარკვეული ნაწილი – რღვევის ფართობი, რომელიც წარმოადგენს ნიმუშის სიმაღლის და სიგანის (დიამეტრის) ნამრავლს.

მიუხედავად სიმარტივისა ჩაქუჩის მრავალჯერადი დარტყმის მეთოდი საჭიროებს შემდეგი საკითხების გაუმჯობესებას, შესწავლას, კვლევას და დადგენას [1-6]: სარტყამი ჩაქუჩის კონფიგურაცია, წონა, ვარდნის სიჩქარე, ნიმუშთან კონტაქტის ხერხი, ასხლეტვა, განმეორებითი დარტყმა; ნიმუშის დეფორმაცია, ბზარჩასახვა, დინამიკა, მაგისტრალური ბზარის ჩამოყალიბება, ნიმუშის რღვევა; რღვევის ფართობის განსაზღვრა; სარტყამი ჩაქუჩის დარტყმის სიმაღლე, ბიჯის ზომა და სხვა.

ამიტომ დარტყმამედეგობის დადგენის მეთოდის კელეგა-გაუმჯობესება წარმოადგენს ერთ-ერთ თანამედროვე, სამეცნიერო-ტექნიკურ პრობლემას.

ნაშრომში წარმოდგენილია სარტყამი ჩაქუჩის დარტყმის სიმაღლის სახეობის (ცვალებადი, მუდმივი) და ბიჯის ზომის საკითხი.

ჩატარებულია ბაზალტის ნიმუშების დარტყმამედეგობაზე გამოცდა პეჯის ტიპის ურნალის გამოყენებით [6]. გამოყენებულია ჩაქუჩის მრავალჯერადი დარტყმის მეთოდი სხვადასხვა მზარდი სიმაღლიდან მუდმივი ბიჯით და უცვლელი სიმაღლიდან (ცხრილი).

ცდების შედეგების საშუალო მნიშვნელობა

ცდის ვარიანტი	ნიმუშის №	დარტყმის ბიჯი/უცვლელი სიმაღლე, მ მ/ს	ნიმუშის რღვევის სიმაღლე, მ H	რღვევის ენერგია, ჯოული E _i	რღვევის ფართობი, კ ²	ფარდობითი რღვევის ენერგია, ჯოული/მ ² E _r	დარტყმა-მუდმივი ჯოული/მ ² I _r
I	1;2;3;4	0,01/	0,157	26,3	0,00123	21382	17106
II	5;6;7;8	0,03/	0,063	14,4	0,00119	12101	9681
III	9;10;11;12	0,05/	0,048	14,0	0,00114	12281	9825
IV	14;15;16;17	0,08/	0,033	11,2	0,00111	10090	872
V	18;19;20;21	0,12/	0,025	10,8	0,00118	9153	7322
VI	13	/0,24	0,24	4,80	0,00116	3000	2400
VII	22	/0,28	არ გატყდა		0,00113		
VIII	23;24;25;26;27	/0,30	0,30	6,00	0,00110	5455	4364

I ვარიანტი დარტყმის ბიჯი შეადგენს 1 სმ. ნიმუში გატყდა მეჩვიდმეტე დარტყმის, ანუ 17 სმ-ის სიმაღლიდან დაცემული ჩაქუჩის დარტყმის გამო, ხოლო VI ვარიანტი დარტყმა განხორციელდა 24 სმ-ის სიმაღლიდან.

ნიმუშების რღვევის მექანიზმი შეიძლება ჩამოყალიბდეს შემდგენაირად. I ვარიანტში ნახევრადსფერული დარტყმის მიმღებ-გადამცემი დეტალის ზემოქმედებით ნიმუშის ზედაპირის ქვემოთ ყალიბდება გამყარებული კონუსი, რომლის ზომა და სიმკერივე თანდათანობით იზრდება დარტყმების შესაბამისად. კონუსი ეწინააღმდეგება რღვევას. ნიმუშის ცენტრში გამჭიმავი ძაბვების ჩამოყალიბება და მათი ზღვრულ მნიშვნელობამდე მისვლა თანდათანობით ხდება. VI ვარიანტში ყოველივე ეს შეიძლება ითქვას „შეიდჯერ“ უფრო სწრაფად ხდება და ამ დროს ჩამოყალიბებული კონუსის ზომა „შეიდჯერ“ მცირება.

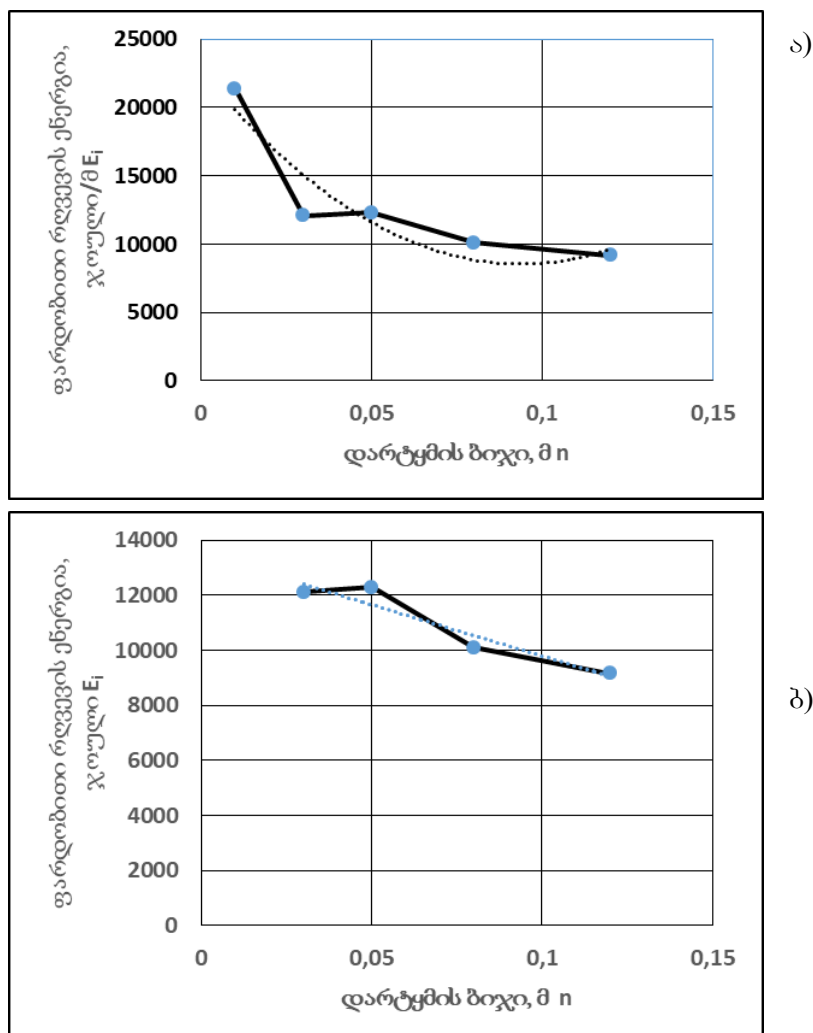
ფარდობითი რღვევის ენერგია და დარტყმამედეგობა, შესაბამისად, გაიანგარიშება ფორმულით (4) და (5):

$$E_r = E_i / A_i \quad (4)$$

$$I_r = E_r / K \quad (5)$$

სადაც: E_r – ფარდობითი რელგვევის ენერგია, $\text{ჯოული}/\text{მ}^2$; E_i – რღვევის ენერგია, ჯოული ; A_i – რღვევის ფართობი, მ^2 ; საიმედოობის კოეფიციენტი, მაგალითად $=1,25$.

II-დან V ვარიანტის ჩათვლით გამოიყენება საშუალოდ 6,5 სმ-ის ბიჯი. ამგვარად, მიღებულ დარტყმამაგდეგობის მნიშვნელობებს შორის სხვაობა მცირება (ვარიანტი (ბ)).



ფარდობითი რღვევის ენერგიასა და დარტყმის ბიჯს შორის დამოკიდებულების
გრაფიკი
(ა) I-V ვარიანტი ბ) II-V ვარიანტი

ფარდობითი რღვევის ენერგიასა და დარტყმის ბიჯს შორის დამოკიდებულების ფორმულა (6) ვარიანტი (ა); (7) ვარიანტი (ბ) და კორელაციის კოეფიციენტი (R^2) შემდეგია:

$$E_r = 2E + 0,6n^2 - 301767n + 22681; \quad R^2 = 0,8574; \quad (6)$$

$$E_r = 1777,6n^2 - 37468n + 12518; \quad R^2 = 0,9019 \quad (7)$$

დასკვნა

ამოცანიდან გამომდინარე, გამოიყენება შესაბამისი ცდის ვარიანტი. მაგალითად, როდესაც დარტყმამედეგობა გაინგარიშება ჭურვის დარტყმაზე, მაშინ მიზანშეწონილია გამოყენება VI-VIII, ზღვის, ტბის ტალღის, მდინარის დინების, ქარის, ზვავის დარტყმაზე II-V ვარიანტის.

დარტყმამედეგობის დადგენის საკითხი აქტუალური და აუცილებელია. ამიტომ საჭიროა კვლევების გაგრძელება ჩაქუჩის მრავალჯერადი დარტყმის მეთოდის გაუმჯობესება-დახვეწის მიზნით.

ლიტერატურა

1. ACI 544.2R-89 (Reapproved 1999). Measurement of Properties of Fiber Reinforced Concrete.
2. B. Batarlar Behaviour of Reinforced concrete slabs subjected to impact loads A Thesis Submitted to the Graduate School of Engineering and Sciences July 2013 Izmir.
3. S. Elavenil and G.M. Samuel Knight Impact response of plates under drop weight impact testing. Dafedil International University Journal of Science and Technology; Volume 7, Issue 1, January 2012.
4. Atef Badr and Ashraf F. Ashour; Modified ACI Drop-Weight Impact Test for Concrete; Materials Journal Volume: 102 Issue: 4 Appears on pages(s): 249-255; Date: 7/1/2005
5. გ. ბალიაშვილი, ფ. ბეჟანივი, ლ. ღურჯუმელია, ნ. სარჯველაძე, თ. რუხაძე. ქანების სტატიური და დინამიკური ძალის ზემოქმედებით რღვევის ოპტიმალური მეთოდები. /საქართველოს ტექნიკური უნივერსტიტეტის მრომები, № 1, (471), ობილისი, 2009.
6. https://ru.wikipedia.org/wiki/Свободное_падение.
7. Прочность горных пород | Российское угольное сообщество; coal-info.ru/?p=20.

SUMMARY

RESEARCH-IMPROVEMENT OF THE IMPACT RESISTANCE METHOD

Baliashvili G.I., Bezhanyan F.Kh., Sarjveladze N.V., Tkemaladze L.V. and Tsiklauri V.Z.

LEPL Grigol Tsulukidze Mining Institute

The drop-weight method is relatively simple and is used to determine the impact resistance of rocks, concrete, ceramics and other materials. Despite the simplicity of the hammer impact method, the following issues need to be improved: impact hammer configuration, weight, impact velocity, pattern of contact with the specimen, swallowing, repeated impact; sample deformation, cracking, dynamics, specimens decomposition; determination of rupture area; hammer impact height, step size and etc. Therefore, research on the method of determining impact resistance - improvement is one of the modern, scientific and technical issues. The paper presents the issue of the height and the step size of the hammer impact. A basalt specimen impact test was performed using a hammer impact method. The impact is carried out at varying heights with constant step size and unchanged height. It should be noted that under other equal conditions the impact speed and height have a significant effect on impact resistance. Depending on the specific task, it is possible to use increasing or constant height of the blow. It is necessary to conduct further research around the problem under consideration.

Keywords: impact resistance, hammer, drop-weight, method.

გეტონის სიმფაზის მატების დამაჩარებელი დანამატების მიმოხილვა

ბალიაშვილი გ.ი., ბეჭანოვი ფ.ხ., სარჯველაძე ნ.ვ., ტყემალაძე ლ.ვ., წიკლაური გ.ზ.

სსიპ გრიგოლ წულუკიძის სამთო ინსტიტუტი

ბეტონი ერთ-ერთ თანამედროვე, ფართოდ გავრცელებულ, მრავალფეროვან კომპოზიციურ სამშენებლო მასალას წარმოადგენს.

ბეტონის სიმტკიცე (კუმშვაზე, ღუნვაზე, გაჭიმვაზე, დარტყმაზე) ძირითად თვისებას წარმოადგენს. ბეტონის საჭირო მნიშვნელობის სიმტკიცის მიღება, სათანადო პერიოდში, მრავალ ფაქტორზეა დამოკიდებული. მათგან ერთ-ერთია სიმტკიცის მატების დაჩქარება, განსაკუთრებით მისი ჩამოყალიბების საწყის სტადიაში დაახლოებით პირველი სამი დღე-დამის განმავლობაში.

ბეტონის სიმტკიცის მატება შეიძლება განხორციელდეს ნარევში დამაჩქარებელი დანამატის გამოყენებით. ამიტომ სტაგის მიზანი, რომელიც ბეტონის დამაჩქარებელი დანამატების მიმოხილვას და ანალიზს ეხება აქტუალურ, თანამედროვე, სამეცნიერო და ტექნიკურ ამოცანას წარმოადგენს.

დამაჩქარებელი დანამატის გამოყენება სასარგებლოა განსაკუთრებით ცივ ამინდში ბეტონირების დროს [1-5]. ამ დროს მცირდება ყინვისგან დაცვის დრო, ადრეულად ხდება სამშენებლო ყალიბის მოხსნა და კონტსრუქციულ ელემენტზე მორიგი ტექნოლოგიური პროცედურის ჩატარების დაწყება. მცირდება პიდროსტატიკური წევით გამოწვეული ცემენტის რძის გამოდენის დრო ყალიბიდან, ჩქარდება ბეტონის შეჭიდულობის დრო შეეფბეტონირებისას.

დამაჩქარებელის გამოყენება ანტიფრიზად არ შეიძლება. გარდა ამისა მათი გამოყენება ცხელ ამინდში განსაკუთრებულად საფრთხილოა. ამან შეიძლება გამოიწვიოს პიდრატაციის სითბოს ძალზე სწრაფი გამოდევნა, სწრაფი შეჭიდულობა და შეკლების ბზარების რაოდენობის გაზრდა.

დანამატის ძირითადი ტიპებია წყალში ხსნადი არაორგანული მარილები და ნაერთები.

ხსნადი არაორგანული, ძირითადი, მარილებია: ქლორიდები, ბრომიდები, ფტორიდები, კარბონატები, თიოციანატები, ნიტრიტები, ნიტრატები, თიოსულფატები, სილიკატები, ალუმინატები და ტუტოვანი მეტალების პიდროქსიდები.

ხსნადი ორგანული, ძირითადი, ნაერთებია: ტრიეთანოლამინი, კალციუმის ფორმინატი, კალციუმის აცეტატი, პროპიონატი, ამინების კონდენსაციის ნაერთები და ფორმალდეკიდი

წარმოდგენილი დამაჩქარებელი დანამატებიდან კალციუმის ქლორიდი მეტად გავრცელებული მასალაა დაბალი ფასის გამო [4]. მაგრამ მისი გამოყენება არ არის რეკომენდებული წინასწარდაბატულ ბეტონებში, ბეტონებში, რომლებიც შეიცავს ჩამონტაჟებულ სხვადასხვაგარ ლითონებს, ან ტენიან გარემოში მყოფ რკინაბეტონში ფოლადის კოროზისადმი მიდრეკილების გამო.

კალციუმის ქლორიდი არ უნდა იქნეს გამოყენებული კალციუმალუმინატურ ცემენტთან ერთად, რადგან იგი ამუსრუქებს ალუმინატების პიდრატაციას. ანალოგიურად, კალციუმის ქლორიდი და კალიუმის კარბონატი ზრდის შეჭიდულობის დროს და ამცირებს ადრეულ გამტკიცებას სწრაფად გამყარებადი ცემენტების გამოყენების დროს.

ბოლო კვლევები მიუთითებს, რომ ტრიეთანოლამინი აჩქარებს ტრიქციუმის ალუმინის პიდრატაციას, მაგრამ ტრიკალციუმის სილიკატს ინარჩუნებს. ამდენად, ტრიეთანოლამინს შეუძლია იმოქმედოს როგორც ცემენტის პიდრატაციის ჩამტარებელი, ასევე ამაჩქარებელი.

აუცილებელია ამაჩქარებლის გამოყენება მის კონკრეტული მასასიათებლების ტექნიკურ პირობებთან შესაბამისობის შემოწმების შემდეგ. ამაჩქარებელი დანამატის გადაჭარბებულმა რაოდენობამ შეიძლება გამოიწვიოს ძალიან სწრაფი შეჭიდულობა, ან მისი შენელება.

აგრეთვე არსებობს გამოსაყენებელი მზა ცემენტის, ქვიშის და ამაჩქარებლის ნარევები. ამგვარად მომზადებული ნარევები გამოიყენება შენობა ნაგებობათა მიწისქვეშა კონსტრუქციულ ელემენტების იზოლაციის მიზნით საავარიო რემონტების დროს მაღალ ეფექტს იძლევა.

დასკვნა

1. ბეტონის სიმტკიცის მატება, განსაკუთრებით 1-3 დღის განმავლობაში, შესაძლებელია ნარევში დამაჩქარებელი დანამატის გამოყენებით.
2. დამაჩქარებელი დანამატის გამოყენება მაღალ ეფექტს იძლევა ხუთ გრძუსზე მეტი ყინვის პირობებში საბეტონე სამუშაოების შესრულების დროს..
3. დამაჩქარებელის გამოყენება გაყინვა-გალობის ციკლების ზემოქმედების შესამცირებლად არ შეიძლება.
4. კველაზე ფართედ გავრცელებულ დამაჩქარებელს წარმოადგენს კალციუმის ქლორიდი.
5. კონკრეტული ბეტონის ნარევში გამოყენების წინ უნდა ჩატარდეს დამაჩქარებელის თვისებების კონტროლი და შესაბამისობა ტექნიკურ პირობებთან და ბეტონის ნარევის გამოყენების კლიმატურ პირობებთან პირველი სამი დღის განმავლობაში.

ლიტერატურა

1. Chemical Admixtures <http://www.cement.org/cement-concrete-application-s/concrete-materials/chemical-admixtures>
2. CHAPTER 6 Admixtures for Concrete http://www.ce.memphis.edu/1101/notes/concrete/PCA_manual-Chap06.pdf
3. Химические добавки для бетона и раствора. <http://beton-cv47.ru/beton/himik-dobavki.html>
4. Which admixture increase the strength of concrete? <https://www.quora.com/Which-admixture-increase-the-strength-of-concrete>
5. გ. ბალაშვილი, ნ. სარჯველაძე, თ. რუხაძე, ლ. ტყემალაძე. ბეტონის ქიმიური დანამატების დახასიათება. //საქართველოს საინჟინრო სიახლეები (GEN), 2018, №2(86), გვ.44-47.

SUMMARY

OVERVIEW OF CONCRETE ADDITIVES THAT INCREASE THE STRENGTH OF CONCRETE

Balashvili G.I., Bezhanyan F.Kh., Sarjveladze N.V., Tkemaladze L.F. and Tsiklauri V.Z.

LEPL Grigol Tsulukidze Mining Institute

Increasing the strength of concrete can be accomplished by using an accelerator additive in the mixture. Therefore, the purpose of the article, which deals with the review and analysis of concrete accelerator additives, is a topical, modern, scientific and technical task. The use of accelerator additive gives a high effect when performing concrete work in frost conditions of more than five degrees. The most widely used accelerator is calcium chloride. Prior to use in the concrete mix, the properties of the accelerator must be checked and complied with the technical conditions and the climatic conditions of the concrete mixture for the first three days.

Keywords: concrete, accelerator, additive, calcium chloride.

თბოგამტარობის λ პოვზიციენტის განსაზღვრის მეთოდიკა არასტაციონარულ
ტემპერატურულ რეზისი
ნაწილი 1

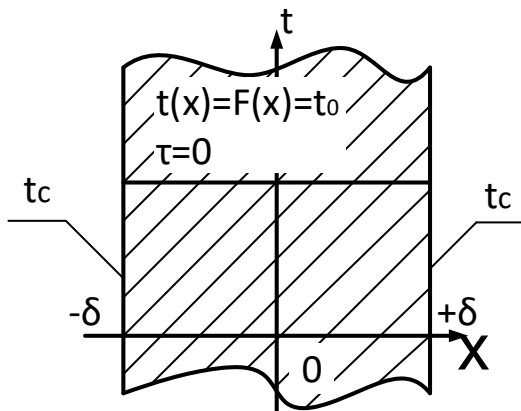
ქავშიშვილი ნ.ა., ჯიშკარიანი თ.ს., ჯავშანაშვილი ნ.ბ.

საქართველოს ტექნიკური უნივერსიტეტი

თბოგამტარობის კოეფიციენტის (λ) განსაზღვრის ამჟამად არსებული მეთოდები მთლიანად დაფუძნებულია სტაციონარული ველების გამოყენებაზე ლაბორატორიულ პირობებში. წარმოდგენილ მეთოდში კი იგი განისაზღვრება არასტაციონარულ ტემპერატურულ ველში თბური ტალღის გავრცელების სიჩქარის გამოყენებით. ასეთი მიღვომა საშუალებას იძლევა კედლის თბოიზოლაციის მახასიათებლები დადგინდეს საველე პირობებში უკვე არსებული შენობების შემომსაზღვრელ კონსტრუქციებზე.

თბური ტალღის სიჩქარის განსაზღვრისათვის განვიხილოთ შემოუსაზღვრავი ბრტყელი კედლები ($\frac{\partial t}{\partial y} = 0$ და $\frac{\partial t}{\partial z} = 0$), რომლის სიგრძე და სიგანე უსასრულოდ დიდია სისქესთან შედარებით, ტემპერატურის ცვლილება კი ხდება მხოლოდ x მიმართულებით, ხოლო y და z მიმართულებით უცვლელია ($\frac{\partial t}{\partial y} = 0$ და $\frac{\partial t}{\partial z} = 0$), რომლის სისქის გასწვრივ ტემპერატურის განარილება $t(x)_{\tau=0} = F(x) = t_0$ ფუნქციას. საწყის მომენტში კედლის გვერდითი ზედაპირების ტემპერატურა უეცრად ხდება t_c ტოლი, რომელიც მუდმივადაა შენარჩუნებული მთელი შემდგომი თბოცვლის პროცესში. საჭიროა გიპოვოთ ტემპერატურის განაწილება კედლის სისქეში.

განსახილვები ამოცანისათვის მოსახერხებელია კოორდინატთა სისტემა მოვათავსოთ კედლის ცენტრში (ნახ.1).



ნახ. 1. შემოუსაზღვრავი კედლის თბოცვლის სქემა

ამოცანის პირობა შეიძლება შემდეგნაირად ჩამოყალიბდეს: მოცემულია თბოგამტარობის დიფერენციალური განტოლება

$$\frac{\partial t(x, \tau)}{\partial \tau} = a \frac{\partial^2 t(x, \tau)}{\partial x^2}, \quad (\tau > 0, -\delta \leq x \leq \delta) \quad (1)$$

სასაზღვრო პირობებით:

$$t(x,0) = F(x) = t_0, \quad \tau = 0 \quad (2)$$

$$t(+\delta, \tau) = t_c = \text{const}, \quad x = +\delta \quad (3)$$

$$t(-\delta, \tau) = t_c = \text{const}, \quad x = -\delta \quad (4)$$

$$\frac{\partial t}{\partial x} = 0 \quad x = 0 \quad (5)$$

სადაც, $a = \lambda / \rho c$.

ფურიეს მეთოდის გამოყენებით (1) დიფერენციალური განტოლების კერძო ამონახსნი მიიღებს სახეს:

$$t(x, \tau) = \sum_{n=1}^{\infty} D_n e^{-ak_n^2 \tau} \cos(k_n x) \quad (6)$$

კარამეტრი k განისაზღვრება განტოლებიდან:

$$k_n \delta = (2n-1) \frac{\pi}{2}, \quad n = 0, 1, 2, 3, \dots \quad (7)$$

ხოლო D_n კოეფიციენტები გამოითვლება ფურიეს ინტეგრალიდან

$$D_n = \frac{2}{\delta} \int_0^\delta t_0 \cos(k_n x) dx = \frac{2t_0}{k_n \cdot \delta} \sin(k_n \delta) \quad (8)$$

D_n კოეფიციენტების მნიშვნელობის შეტანით (6) -ში საბოლოოდ გვექნება:

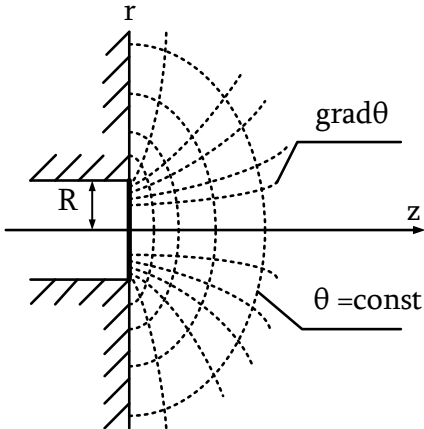
$$\frac{t(x, \tau) - t_c}{t_0 - t_c} = 2 \sum_{n=1}^{\infty} \frac{\sin(k_n \delta)}{k_n \delta} \cos(k_n x) e^{-ak_n^2 \tau} \quad (9)$$

(9) განტოლება განსაზღვრავს ტემპერატურულ ვალს და შესაბამისად თბური ტალღის გავრცელების სიჩქარეს ბრტყელ კედელში, როდესაც მის ერთ მხარეს გააჩნია მუდმივი ტემპერატურა [2].

იმისათვის, რომ ნაწილობრივ გაცხელებული კედლიდან შეფასდეს თბური ტალღის გავრცელების სიჩქარე კედლის მეორე ზედაპირამდე, საჭიროა ცალსახად განისაზღვროს იმ გასაცხელებელი წრიული ფართობის მინიმალური რადიუსი, სადაც თბური ნაკადის დენის წირები ცენტრალურ ნაწილში ერთმანეთის პარალელური დარჩება. ანუ შესაძლებელი იქნება გამოყენებული იქნეს ერთგანზომილებიანი სითბოს გავრცელების პროცესის (9) განტოლება.

ამისათვის განვიხილოთ ერთი მხრიდან შემოსაზღვრული სხეული, რომლის მთელ მოცულობაში ტემპერატურა დროის საწყის მომენტში ერთგვაროვანია. სხეულის მთელი ზედაპირი, გარდა R რადიუსის მქონე წრისა, დაფარულია იზოლაციით. დროის გარკვეული მომენტიდან დაწყებული, წრის მთელ ფართობზე ტემპერატურა ხდება მუდმივი θ -ის ტოლი, ცხადია სითბო ამ წრიული ფართობიდან თანდათან გავრცელდება სხეულის მთელ სიღრმეში. საჭიროა განისაზღვროს, როგორი სტაციონარული განაწილებისკენ მიისწრაფვის ტემპერატურული ველი.

ნახ.2-ზე ნაჩვენებია ცილინდრულ კოორდინატთა სისტემა r , φ , z , რომელიც ისეა განლაგებული, რომ z დერძის დადებითი მხარე მიმართულია წრიული ფართობიდან სხეულის სიღრმისკენ. ცხადია კოორდინატთა სისტემის ასეთი განლაგებით ტემპერატურული ველი აღარ იქნება დამოკიდებული ფ კოორდინატზე.



ნახ. 2. სტაციონარული ტემპერატურული გელი ერთი მხრიდან შემოსაზღვრულ სხეულში

ამ შემთხვევაში ცილინდრულ კოორდინატებში თბოგამტარობის დიფერენციალური განტოლება და სასაზღვრო პირობები ჩაიწერება შემდეგი სახით:

$$\frac{\partial^2 \vartheta}{\partial r^2} + \frac{1}{r} \cdot \frac{\partial \vartheta}{\partial r} + \frac{\partial^2 \vartheta}{\partial z^2} = 0 \quad (10)$$

სასაზღვრო პირობები:

$$\vartheta = \vartheta_0 = \text{const}, \quad z = 0, \quad 0 \leq r \leq R \quad (11)$$

$$\frac{\partial \vartheta}{\partial z} = 0, \quad z = 0, \quad r < R \quad (12)$$

$$\vartheta = 0, \quad z \rightarrow \infty, \quad 0 \leq r < \infty \quad (13)$$

$$\vartheta = 0, \quad r \rightarrow \infty, \quad 0 < z < \infty \quad (14)$$

ცვლადოთ განცალკევების მეთოდის გამოყენებით (10) განტოლების კერძო ამონასის მიიღება შემდეგ სახეს:

$$\vartheta = ce^{-kz}\psi(r) \quad (15)$$

სადაც, $\Psi(r)$ არის ბესელის დიფერენციალური განტოლების ამონასი:

$$r\Psi'' + \Psi'' + k^2 r\Psi = 0$$

ბესელის განტოლების ზოგადი ამონასი განისაზღვრება ბესელის პირველი $J_0(kr)$ და მეორე $Y_0(kr)$ გვარის ნულოვანი რიგის ფუნქციების ჯამის სახით:

$$\Psi(r) = CJ_0(kr) + DY_0(kr) \quad (16)$$

ზოგად ამონასნში საჭიროა D კოეფიციენტი გავუტოლოთ ნულს, რადგან $Y_0(kr)$ ფუნქცია, როცა $r=0$, მიისწრაფის უსასრულობისკენ, რაც ეწინააღმდეგება (11) სასაზღვრო პირობას. ამრიგად, თბოგამტარობის (10) განტოლების ზოგადი ამონასი ჩაიწერება შემდეგი სახით:

$$\vartheta = \sum_{n=1}^{\infty} C_n e^{-k_n z} J_0(k_n r) \quad (17)$$

იმის გამო, რომ ამოცანა მოცემულია პირველი და არა მესამე გვარის სასაზღვრო პირობებით და სხეული z დერძის დადებითი მიმართულებით შემოუსაზღვრავია, ამიტომ k პარამეტრისთვის არ არსებობს შეზღუდვები, ჩაწერილი ტრანსცენდენტული განტოლების სახით. ეს ნიშნავს, რომ k -ს შეუძლია გაიაროს რიცხვების უწყვეტი მწერივი, ე. ი. მისი ორი უახლოესი მნიშვნელობა ერთმანეთისგან განსხვავდებიან უსასრულოდ მცირე dk სიდიდით. გარდა ამისა, ჩვენ შეგვიძლია ინტეგრების C მუდმივა შევცვალოთ რაიმე $f(k)$ ფუნქციით, მაშინ (17) უსასრულო მწკრივი გადადის ინტეგრალში და ზოგადი ამონასი იქნება

$$\vartheta = \int_0^{\infty} f(k) e^{-kz} J_0(kr) dk \quad (18)$$

სადაც, $f(k)$ ფუნქციის სახე განისაზღვრება სასაზღვრო პირობებიდან. (11) სასაზღვრო პირობაში მოთხოვნილია, რომ, როცა $0 \leq r = R$ და $z = 0$ ინტეგრალმა

$$\vartheta|_{z=0} = \int_0^{\infty} f(k) J_0(kr) dk$$

მიიღოს მუდმივი ზო მნიშვნელობა. $r > R$ არეზე კი იგივე პირობას არავითარი შეზღუდვა არ შემოაქვს. მეორეს მხრივ, ცხადია, რომ ფუნქციას არ შეუძლია შეინარჩუნოს მუდმივი ზო მნიშვნელობა, რადგან (13) პირობის თანახმად r -ის ზრდასთან ერთად იგი ნულისკენ უნდა მიისწოდოდეს.

(12) სასაზღვრო პირობას მივყევართ ანალოგიურ შედეგამდე. ამ პირობის თანახმად ინტეგრალი

$$\frac{\partial \vartheta}{\partial z} \Big|_{z=0} = - \int_0^{\infty} k f(k) J_0(kr) dk \quad (19)$$

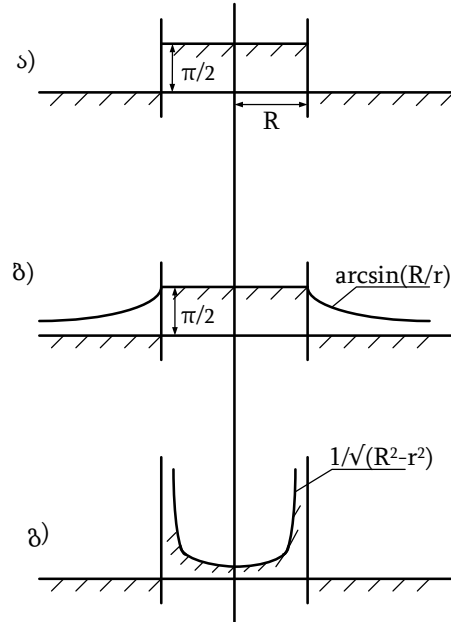
როცა $r > R$, უნდა იყოს ნულის ტოლი, ხოლო $0 \leq r \leq R$ არეზე მისი მნიშვნელობა შეიძლება იყოს ნებისმიერი. ერთადერთი შეზღუდვა ისაა, რომ (19) ინტეგრალმა არ უნდა მიიღოს ნულის ტოლი მნიშვნელობა, რადგან ამ შემთხვევაში სითბოს გავრცელებას სხეულში არ ექნება ადგილი.

მათემატიკიდან [3] ცნობილია არასაკუთრივი, პარამეტრზე დამოკიდებული ინტეგრალები, რომლებსაც გააჩნიათ ის თავისებურება, რომ პარამეტრის რაიმე მნიშვნელობაზე ფუნქციონალური დამოკიდებულების ხასიათი უკვრად იცვლება.

ეველაზე ცნობილი ინტეგრალია

$$\int_0^{\infty} \frac{\sin(mR)}{m} \cos(mr) dm = \begin{cases} \pi/2, & r < R \\ \pi/4, & r = R \\ 0, & r > R \end{cases}$$

ამ ინტეგრალის ცვლილების ხასიათი R პარამეტრზე დამოკიდებულებით ნაჩვენებია ნახ.3-ზე.



ნახ.3. პარამეტრზე დამოკიდებული არასაკუთრივი ინტეგრალები

ანალოგიური თვისების მქონე ინტეგრალები შეიძლება წარმოდგენილი იყოს ბესელის ფუნქციების გამოყენებით [2], კერძოდ, შემდეგი ინტეგრალები (ნახ.3 ბ, გ):

$$\int_0^{\infty} \frac{\sin(mR)}{m} J_0(mr) dm = \begin{cases} \pi/2, & 0 < r \leq R \\ \arcsin\left(\frac{R}{r}\right), & r > R \end{cases} \quad (20)$$

$$\int_0^{\infty} \sin(mR) J_0(m \cdot r) dm = \begin{cases} \frac{1}{\sqrt{R^2 - r^2}}, & 0 < r \leq R \\ 0, & r > R \end{cases} \quad (21)$$

ნახ. 3. ბ, და გ-დან ჩანს, რომ (21) ინტეგრალი აკმაყოფილებს (12) პირობას, ხოლო (20) ინტეგრალი (11) პირობას, თუ მასში თანამიმდევრულად შევიტანო ისეთ სიღიღეს, რომელიც $\pi/2$ -ის მაგივრად მოგვცემს J_0 -ს. ამგვარად, თუ (18) ინტეგრალში დავუშვებთ, რომ

$$f(k) = \frac{2}{\pi} g_0 \frac{\sin(kR)}{K}$$

მაშინ საძებნი ტემპერატურული ველის განტოლება მიიღებს შემდეგ სახეს:

$$g = g_0 \frac{2}{\pi} \int_0^{\infty} \frac{\sin(kR)}{K} J_0(kr) e^{-kz} dk \quad (22)$$

ამგვარად, (22) განტოლებით შეიძლება განისაზღვროს კედლის ერთ მხარეზე ის მინიმალური გასაცხელებელი ფართის R რადიუსი, რომელიც უზრუნველყოფს (9) განტოლების გამოყენების შესაძლებლობას.

ლიტერატურა

1. ვახტანგ გომელაური. სითბოს და მასის გადაცემის თეორიის საფუძვლები. - თბილისი, განათლება, 1974, 260 გვ.
2. 6. ქვემოთვილი, თ. ნაცვლიშვილი. თბოგამტარობის სასაზღვრო ამოცანების ანალიზური მეთოდები. - თბილისი, სტუ, 1992, 100 გვ.
3. Фихтенгольц Г.М. Курс дифференциального и интегрального исчисления. -М: Наука, т.2, 1969. 322 с.

SUMMARY

PROCEDURE TO DETERMINE THE COEFFICIENT OF THERMAL CONDUCTIVITY (λ) IN NON-STATIONARY TEMPERATURE REGIME. PART I

Kevkhishvili N.A. Jishkariani T.S. and Javshanashvili N.B.

Georgian Technical University

Non-stationary thermal conductivity processes are widely used in many machinery and devices in the field of equipment and installation where the temperature periodically varies. To ensure their reliable operation, the temperatures of individual structural components at each point in time must be determined in advance, that's because to specify how long it will take for the temperature to reach the required value in the specified area of this component since a certain temperature environment is created around it. It is necessary to take into account the daily variability of temperature and the implementation of non-stationary thermal conductivity processes, as well as to determine the temperature regime in buildings, determine heat losses from the walls of the building, implement energy-saving measures and develop appropriate strategies. Solving the non-stationary thermal conductivity tasks requires the use of a relatively complex mathematical application, therefore, it is associated with significant difficulties. Usually, the theory of non-stationary thermal conductivity refers to the method of separation of variables or the so-called Laplace transformation, which involves the use of operational counting methods. The article presents a method for determining the thermal conductivity into a non-stationary temperature field using a thermal wave flow velocity.

Keywords: thermal conductivity coefficient, non-stationary temperature field.

**ბუნებრივი გაზის ოდორიზაციის ხარისხის პონტოლის
მოწყობილობის შესახებ**

გახაშვილი ქ.ა., მესტგირიშვილი ჭ.ა., იაშვილი ნ.გ.

საქართველოს ტექნიკური უნივერსიტეტი

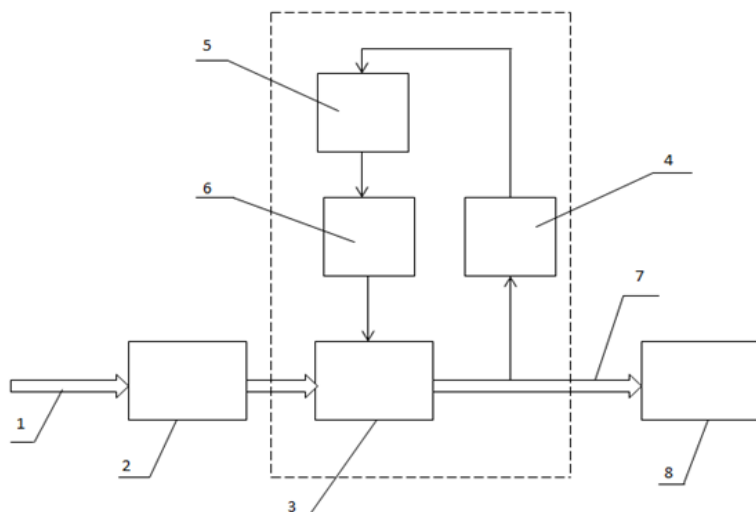
ბუნებრივი გაზი (იგივე მეთანი), რომელსაც მოიხმარს მოსახლეობა უსუნო გაზია. ბინაში მეთანის გაფონვის აღმოსაჩენად არსებობს მეტად მარტივი, საიმედო და აპრობირებული ხერხი: ბუნებრივ გაზს უმატებენ მძაფრი, უსიამოვნო სუნის მქონე ნივთიერებას, რომელსაც ოდორანტი ეწოდება. შესაბამისად, პროცესს ბუნებრივი გაზის ოდორიზაცია ეწოდება.

ჩვეულებრივ მაგისტრალური გაზის ოდორიზაციას ატარებენ გაზის მოსახლეობისათვის მიწოდების წინ გაზგამანაწილებელ სადგურებში (გგს). საყოფაცხოვრებო გაზის ოდორიზაციისათვის გამოიყენება სხვადასხვა ტიპის ნივთიერებები ოდორანტები: კაპტანი, პენ-კაპტანი, ეთილმერკაპტანი, ბუთილმერკაპტანი და სხვა.

ყველა სახის ოდორანტს წაჟუნება შემდგინ მთავარი მოთხოვნები:

- ოდორანტი არ უნდა იყოს ადამიანის ჯანმრთელობისათვის მომწამვლელი და სახიფათო;
- ოდორანტის დამატებით ბუნებრივმა გაზმა უნდა შეიძინოს სპეციფიკური სუნი რომელიც მკეთრად უნდა განსხვავდებოდეს სხვა სუნებთან;
- ოდორანტი არ უნდა იწვევდეს გაზის მიღების და დანადგარების კორზიას.

საყოფაცხოვრებო გაზში დამატებული ოდორანტის რაოდენობა უნდა იყოს ისეთი, რომ მისი კონცენტრაცია საკმარისი აღმოჩნდეს ნორმალური ყნოსვის მქონე ადამიანის მიერ შეგრძებისათვის და ამავე დროს გაზის მოცულობითი კონცენტრაცია არ უნდა აღემატებოდეს აფეთქების ქვედა ზღვარის 1/5-ს. პრაქტიკულად გამოთვლილია, რომ ეს მნიშვნელობა შეადგენს 10-დან 30-მდე გრამს 1000 m^3 გაზზე. დამატებული ოდორანტის რაოდენობა დამოკიდებულია მრავალ ფაქტორზე: გაზის ტემპერატურაზე, წნევაზე, გაზგაუგანილობის ქსელის მდგომარეობაზე, მის სიგრძეზე, გაზის ნაკადის ხაზოვან სიჩქარეზე, თვით ოდორანტის სახეზე და ხარისხზე.



ნახ. 1. ოდორიზაციის ადგილი მომხმარებლისათვის გაზის მიწოდების ქსელში

1. მაგისტრალური გაზი;
2. გამანაწილებელი სადგური;
3. ოდორიზაციის მოწყობილობა;
4. დოზირების ბლოკი;
5. ოდორანტის ჭურჭელი;
6. ოდორიზაციის საკონტროლო ხელსაწყო;
7. ოდორიზებული გაზი;
8. მომხმარებელი.

არსებობს მეთანის ოდორიზაციის რამდენიმე ხერხი: გაზის ნაკადში ოდორან-გის წვეთოვანი შეყვანა; გაზის ნაკადში ოდორანგის ფიტილური ხერხით დამატება; გაზის ნაკადში ოდორანგის ბარბოტაჟული მეთოდით შეყვანა.

ბუნებრივი გაზის ოდორიზაცია არ არის მარტივი პროცესი, შესაბამისად, ოდორიზაციის დანადგარი საკმაოდ რთულია. ამიტომ აუცილებელია ოდორიზაციის პროცესის როგორც ცალკეული ოპერაციის კონტროლი, ასევე ავტომატიზაციის კომპლექსური სისტემის შექმნა.

ბუნებრივი გაზის ოდორიზაციის ადგილი მომხმარებლისათვის გაზის მიწოდების ქსელში ნაჩვენებია ნახ. 1-ზე.

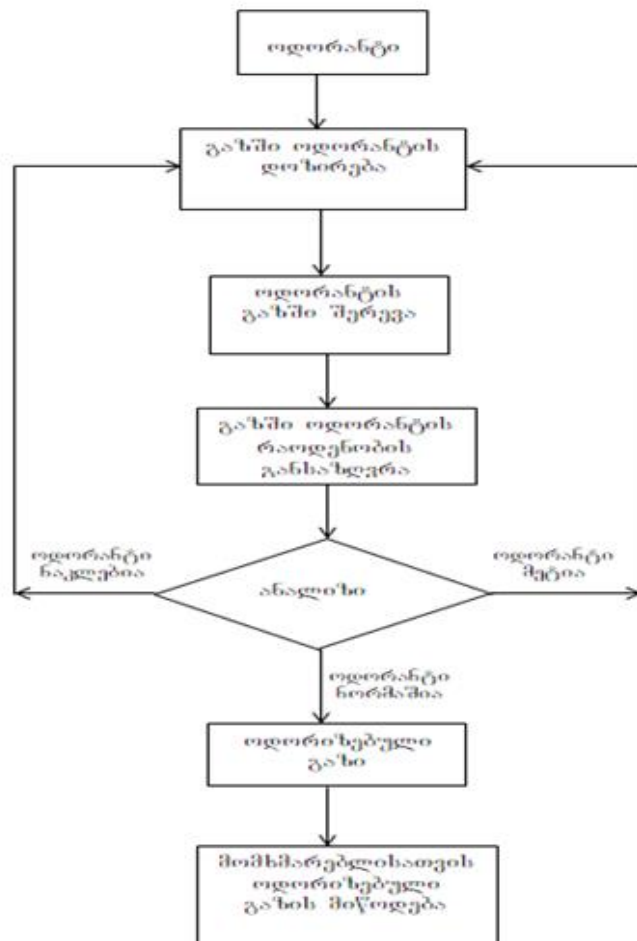
თვით ოდორიზაციის ახასიათებენ ოდორანგის შენახვის ჭურჭელის ტევადობით, წარმადობით, ტუმბოს სიმძლავრით და ოდორიზაციის პროცესის ოპერაციების კონტროლის დონით.

გაზგამანაწილებელ სადგურებში ოდორიზაციის პროცესის შემდეგ მოითხოვება სპეციალური მოწყობილობის ოდორანგის კონცენტრაციის განსაზღვრის ანალიზორის დაყენება, რომლის დანიშნულებაა განსაზღვროს ოდორიზებულ გაზში ოდორანგის (მერკაპტანის) კონცენტრაცია. მოწყობილობა მუშაობს ავტომატურად, მომსახურე პერსონალის გარეშე და არ მოითხოვს ტექნიკურ მომსახურებას.

ოდორიზაციის ხარისხის განსაზღვრა შესაძლებელია აგრეთვე სპეციალური ხელსაწყოთი: გაზის სუნის ინტენსივობის ინდიკატორით.

ინდიკატორი არსებული სტანდარტის შესაბამისად, განსაზღვრავს ბუნებრივი გაზის ოდორიზაციის ხარისხს, რომელიც გამოიხატება ქსელებით, რომელიც შესაძლებელია დავაკავშიროთ ოდორანგის რაოდენობასთან რომელიც იზომება მგ/მ³-ში. ინდიკატორი მუშაობს გაზის სუნის განსაზღვრის ელექტროქიმიური მეთოდით.

ბუნებრივი გაზის ოდორიზაციის პროცესის ზოგადი ალგორითმი მოცემულია ნახ. 2-ზე.



ნახ.2. ბუნებრივი გაზის ოდორიზაციის პროცესის ზოგადი ალგორითმი

არსებობს ოდორიზაციის ავტომატიზაციის სხვადასხვა სტრუქტურის მქონე მოწყობილობები და სისტემები, მაგრამ მათვის საერთოა შემდეგი შემადგენელი ნაწილები: ოდორანტის მოცულობა (ჭურჭელი); დოზირების ბლოკი; წინასწარი და სუფთა გაწმენდის ფილტრები; ოდორანტის მიწოდების სენსორი; ვენტილაციის მოწყობილობა; გაზის ხარჯმზომი; ხარისხის კონტროლის ხელსაწყო და დაგაზიანების კონტროლის ხელსაწყო. მართვა ხორციელდება მიკროპროცესორული ბლოკით.

მართალია ასეთი სისტემის ცალკეული ელემენტები რეალიზებულია არსებულ დანადგარებში, მაგრამ სრული მოცულობით ოდორიზაციის ავტომატიზაციის კომპლექსური სისტემა ჯერ ჯერობით არ არსებობს. ავტომატიზაციის კომპლექსური სისტემის აუცილებელი შემადგენელი ძირითადი მოწყობილობებია: ელექტრომაგნიტური სარქელი, ფილტრიანი ტუმბო, დონის სენსორი და ორკედლიანი ჭურჭელი ოდორანტისათვის.

ამჟამად მიმდინარეობს მუშაობა ამ ცალკეულ მოწყობილობების სრულყოფაზე. განსაკუთრებით ეს ეხება ოდორანტის დონის განსაზღვრის ინტელექტუალურ სენსორს, რომელიც ეფუძნება ჰიდროსტატიკურ მეთოდს, რადგან ეს მეთოდი საშუალებას იძლევა მიკროპროცესორული ბლოკით განისაზღვროს წნევის ქვეშ მყოფ ჭურჭელში სითხის (ოდორანტის) დონე და მოცულობა (მასა). კონსტრუქციულად ოდორიზაციის დანადგარი შედგება ორი ნაწილისაგან: ტექნოლოგიური ბლოკი და მართვის ბლოკი.

ყოველივე ზემოთ აღნიშნულის გათვალისწინებით ჩამოყალიბებული იქნა გაზის ოდორიზაციის პროცესის ავტომატიზაციის სისტემისადმი ძირითადი მოთხოვნები:

- ოდორიზაციის პროცესის უწყვეტი კონტროლი;
- ოდორიზაციის დანადგარის მუშაობის კორექტირება;
- არასტანდარტულ სიტუაციებში ოპერატიულად რეაგირება;
- ოდორიზაციის ხორმის განუწყვეტელი კონტროლი;
- დანადგარში წარმოქმნილი შეფერხებებისა და ავარიული სიტუაციების გამოვლენა;
- მართვის ცენტრში ინფორმაციის გადაცემა.

ლიტერატურა

1. <http://mingas.ru/2010/11/odorizaciya-prirodnogo-gaza/>, «Одоризация природного газа (системы альтернативного контроля уровня одоризации природного газа)».
2. ГОСТ 5542-2014 «Газы горючие природные промышленного и коммунально-бытового назначения», М., Стандартинформ, 2015.
3. Ковалев Б.К. Некоторые проблемы одоризации газа. Вестник Газпроммаша, Выпуск 1, 2017.
4. Рыбкин Д.Е. Контроль одоризации: нос или прибор? -М., Газ России, 2014, № 3.
5. ГОСТ 22387.5-2014 «Газ для коммунально-бытового потребления. Методы определения интенсивности запаха», М., Стандартинформ, 2016.

SUMMARY

ON THE DEVICE FOR QUALITY CONTROL OF NATURAL GAS ODORIZATION

Makhashvili K.A., Mestvirishvili Sh.A. and Iashvili N.G.

Georgian Technical University

The article examines the issues of determining the quality of the process of adding odorant in natural gas. The place of odorization in the network of household gas supply to the consumer is shown. A general algorithm for gas odorization is given. The main requirements for the microprocessor of the odorization quality control device are formulated.

Keywords: gas odorization, odorant, quality control, microprocessor device.

**საინჟინრო დაზანგული მინერალების სულფიდიზაციის ინტენსივიკაცია
ელექტროშიმიური მეთოდით**

გიგინეიშვილი ა.ა., თევზაძე დ.მ.

საქართველოს ტექნიკური უნივერსიტეტი

სპილენძის დაუანგული მადნები ხასიათდებიან სიმყიფით, მიწიანობით, სპილენძის მინერალების კოლომორფული სტრუქტურით, რაც განაპირობებს მეორადი შლამების წარმოქმნას და ფლოტაციის პროცესზე უარყოფითად გავლენას.

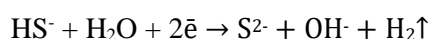
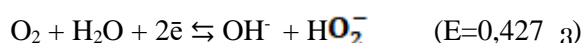
სპილენძის დაუანგული მადნების გადამუშავების ერთ-ერთი მეთოდია დაუანგული მინერალების ზედაპირის წინასწარი სულფიდიზაცია და გამოიყენება აღვილად და საშუალოდ გასამდიდრებელი მადნებისათვის.

სულფიდრილური შემკრებები დაუანგულ მინერალებთან გამოყენებისას წარმოქმნიან არა მტკიცე აფსკს, რაც განაპირობებს რეაგნების ხარჯის მკვეთრ ზრდას.

მინერალების ზედაპირზე წარმოშობილი აფსკის გასამყარებლად იყენებენ ჩვეულებრივ სულფიდიზაციას. ხშირად მიმართავენ ინტენსიურ სულფიდიზაციას მადნის დაფქვას ნატრიუმის სულფიდში სხვადასხვა ტემპერატურული რეჟიმით. ეს მეთოდები ძვირად ღირებული და რთულია და ვერ უხრუნველყოფს ფლოტაციის მაჩვენებლების სერიოზულ გაუმჯობესებას. პრაქტიკაში ხშირად გამოიყენება გოგირდოვანი ნატრიუმი. გოგირდოვანი ნატრიუმით სულფიდიზაციის პროცესის მექანიზმი კარგად არის შესწავლილი და ემყარება სპილენძის დაუანგული მინერალების ზედაპირის სულფიდში გადავყანას [1].

გოგირდოვანი ნატრიუმი წყალსხნარში იქანება და წარმოქმნის თიოსულფატ, სულფიტ და სულფატ იონებს. ამ იონების მავნე გავლენის შემცირებისა და სულფიდური იონების რაოდენობის გაზრდისათვის ხშირად ზრდიან ხსნარის ტუტიანობას. ამით შესაძლებელი ხდება უარყოფითი მხარისკენ გადაწევა. ამ პარამეტრების სასურველი მიმართულებით შეცვლა განვახორციელეთ გოგირდოვანი ნატრიუმის წყალსხნარის ელექტროქიმიური დამუშავებით.

გოგირდოვანი ნატრიუმის წყალსხნარის ელექტროქიმიური დამუშავება კათოდზე აღდგენის გზით ამცირებს წყალში გასხნილი უანგბადის კონცენტრაციას [2] და ზრდის სულფიდური იონების კონცენტრაციას.



მოყვანილი რეაქციები კინეტიკურად მდგრადია დროის მცირე პერიოდი. ელექტროქიმიური დამუშავების შემდეგ თავდაპირველი წონასწორობა სწრაფად აღდგება, ამიტომ ეფექტურობის მისაღებად საჭიროა დამუშავებული წყალსხნარი უმუალოდ მივაწოდოთ ფლოტაციის პროცესს.

ცხრ. 1-ში მოცემულია ელექტროქიმიური დამუშავების შედეგად მიღებული სულფიდ იონების კონცენტრაცია.

ცხრილი 1. ელექტროქიმიური დამუშავების შედეგად მიღებული სულფიდ იონების კონცენტრაცია

დასახელება		0,5 % გოგირდოვანი ნატრიუმის ხსნარი		
დაძაბულობა U, კ	სულფიდ ვერცხლისწყლიანი ელექტროდის პოტენციალი, მვ	PH	HS ⁻ , მგ/ლ	S ²⁻ , მგ/ლ
0,0	-770	10,9	1905	50,5
0,5	-785	11,1	1895	63,0
1,5	-780	11,15	1892	75,0
5,0	-784	11,3	1890	130,0

ცხრილის მონაცემებიდან ჩანს, რომ წყალხსნარის ელექტროქიმიური (კათოდური) დამუშავება მკვეთრად ზრდის მასულფიდირებელი სულფიდური იონების კონცენტრაციას.

ცხრ. 2-ში მოყვანილია გოგირდოვანი ნატრიუმის 3 %-იანი წყალხსნარის იონური შემადგენლობის ცვალებადობა ელექტროქიმიური დამუშავების შემდეგ.

გოგირდოვანი ნატრიუმის 3 %-იანი ხსნარის შემადგენლობამ გვიჩვენა, რომ ელექტროქიმიური დამუშავების შემდეგ კათოდურში მკვეთრად იმატა სულფიდური და ჰიდროსულფიდური მასულფიდირებელი იონების რაოდენობამ და მკვეთრად შემცირდა სულფატ-იონების კონცენტრაცია 2410 მგ/ლ-დან 680 მგ/ლ-მდე.

**ცხრილი 2. 3 %-იანი წყალხსნარის იონური შემადგენლობის
ცვალებადობა ელექტროქიმიური დამუშავების შემდეგ**

პროდუქტები	იონების შემცველობა, მგ/ლ		
	S ²⁻ , HS ⁻ , H ₂ S	S ₂ O ₃ ²⁻	SO ₄ ²⁻
საწყისი ხსნარი	9015	640	2410
კათოდური	9510	772	680
ანოდური	8350	1175	3020

გოგირდოვანი ნატრიუმის წყალხსნარის ელექტროქიმიური დამუშავება ზრდის ხსნარში ჰიდროსულფიდური და სულფიდური იონების რაოდენობას. დადგინდა, რომ დამუშავების ყველაზე ოპტიმალური პერიოდი იწყება, როდესაც კათოდურ ჰიდროსულფიდური შეადგენს 0,5 კ.

გოგირდოვანი ნატრიუმის აღდგენითი უნარის გაძლიერება საშუალებას იძლევა შევამციროთ საფლოტაციო პულპის უნგვა-აღდგენითი პოტენციალი, რაც თავის მեრივ ზრდის მიხერალის ზედაპირზე თავისუფალი ელექტრონების რაოდენობას.

ცხრ. 3-ში მოცემულია დამოკიდებულება დამუშავებულ 5 %-იან გოგირდოვან ნატრიუმსა და მინერალის ზედაპირზე თავისუფალი ელექტრონების კონცენტრაციას შორის.

**ცხრილი 3. დამოკიდებულება დამუშავებულ 5 %-იან გოგირდოვან ნატრიუმსა
და მინერალის ზედაპირზე თავისუფალი ელექტრონების კონცენტრაციას შორის**

დაძაბულობა U, კ	დრო t, წთ	ელექტრონების კონცენტრაცია $n \times 10^{-14}$, სმ ³
		ელექტროქიმიური დამუშავების რეჟიმი
0,0	0	24,0
0,5	15	48,0
3,0	15	52,0
5,0	15	54,0

ცხრილში მოყვანილი მაჩვენებლებიდან გამომდინარე, ელექტროქიმიური დამუშავების შემდეგ დაჭანგული მინერალის ზედაპირზე თავისუფალი ელექტრონების რაოდენობა დაახლოებით 2-ჯერ იზრდება.

მოყვანილი შედეგებიდან გამომდინარე შეგვიძლია გავაკეთოთ დასკვნა, რომ გოგირდოვანი ნატრიუმის წყალხსნარის ელექტროქიმიური დამუშავება საშუალებას გვაძლევს 1,5-ჯერ გავზარდოთ ხსნარში პიდროსულფიდური და სულფიდური იონების რაოდენობა და შევამციროთ საფლოტაციო პულპის ქანგა-ალდენითი პოტენციალი.

ლიტერატურა

1. Абрамов А.А. Флкционные методы обогащения. т.IV, 2008, 707с.
2. Стуруа Р.И. Флотация руд с применением интенсивных электрических воздействий. –Тбилиси, Ганатлеба, 1987, 149 с.

SUMMARY

INTENSIFICATION OF SULPHIDATION OF OXIDIZED COPPER MINERALS BY ELECTROCHEMICAL METHOD

Gigineishvili A.A. and Tevdzadze D.M.

Georgian Technical University

Preliminary sulphidation of oxidized minerals is one of the methods for processing of oxidized copper ores. For sulphidation of mentioned minerals the sulphuric sodium is mainly used. Electrochemical treatment of aqueous solutions of sulphuric sodium increases the amount of hydrosulfide- and sulfide-ions in the solution. Research has shown that electrochemical treatment of aqueous solution of sulphuric sodium allows the increase of the amount of hydrosulfide- and sulfide-ions in the solution by a factor of 1.5 and reduces the redox potential of flotation pulp.

Keywords: sulphidation, oxidized copper minerals, electrochemical treatment.

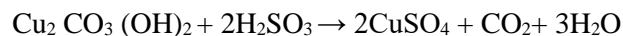
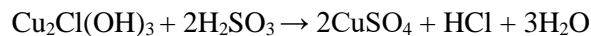
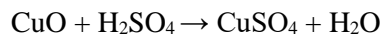
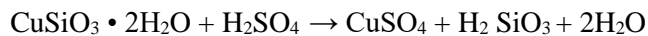
გარიმაზისა და მამდიდრებელი ფაპიტის ჩამდინარე წყლებიდან მიუაღწი
საილენის ამოპრეზის შესაძლებლობის შესრულება

გიგინეიშვილი ა.ა., თევზაბე დ.მ.

საქართველოს ტექნიკური უნივერსიტეტი

მადნეულის საბადოზე ბუნებრივ პირობებში წარმოებს სპილენძის მადნების გამოტუტვა და შესაბამისად კარიერიდან ჩამდინარე წყლებში გვხვდება სპილენძის იონების დიდი რაოდენობა.

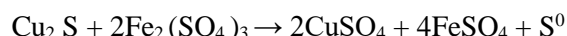
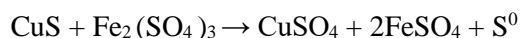
სპილენძის დაუანგული მინერალებისა და მათი ზედაპირების გასსნა გოგირდმჟავიან სუსტ ხსნარში მიმდინარეობს სპილენძის წარმოქმნით.



რაც შეეხება კუპრიტს Cu_2O გოგირდმჟავაში მთლიანად იხსნება მხოლოდ ჟანგბადის არეში.

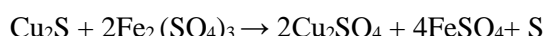
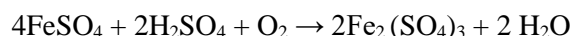
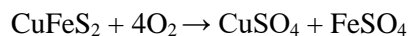
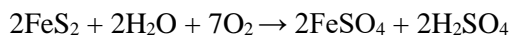


რაც შეეხება მეორად სულფიდურ სპილენძის მადნებს იხინი იხსნებიან ხსნარში რკინის იონების არსებობისას.



შედარებით ძნელად იხსნება სპილენძის მადნები, რომლებიც წარმოდგენილია ალუმოსილიკატებით, ალუმინოფოსფატებით და რკინის ჰიდროფიზიკით.

მიწისქვეშა წყლებში სპილენძის მინერალების გამხსნელად გვევლინება რკინის სულფატი, რომელიც წარმოქმნება ქალკოპირიტისა და პირიტის წყლის გარემოში დაუანგვით.

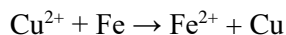


გამოტუტვის დიფუზიას ადგილი აქვს ხელის სასაზღვრო შრეში მინერალების გამყოფ საზღვარზე. დიფუზიის პროცესის სიჩქარეზე დიდ გავლენას ახდენს მყარი ფაზეს ფართი, რომლის სიდიდე უკუპროპორციულ დამოკიდებულებაშია მარცვლის დიამეტრთან [1,2].

სპილენბის გამოტუტვის სიჩქარეზე ასევე დიდ გავლენას ახდენს ხელის ტემპერატურის გავლენა. ხელის ტემპერატურის გაზრდა 20°C -დან 60°C -მდე გახსნის სიჩქარეს ზრდის $40 \div 60\%$ -ით.

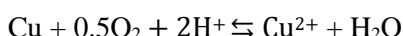
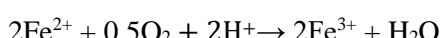
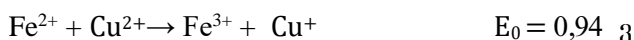
შემუშავებული ტექნოლოგიური სქემით შესაძლებელი გახდა კონცენტრატში სპილენბის მაქსიმალური ამოკრეფა. ამასთან კუდებში დანაკაგმა შეადგინა 6,0 %. ფლოტაციის კუდების გაყოლილი წყლის ქიმიურმა ანალიზმა უჩვენა, რომ მასში 1 ტ მადანზე გადათვლისას შეადგენს 100 გრ მეტალურ სპილენბს და საწყისი მადნიდან 1,2 % ამოკრეფას კარიერის ე.წ. „მჟავე წყლებში” ქიმიური ანალიზით დადგინდა, რომ სპილენბის შემცველობა საშუალოდ შეადგენს 1225 მგ/ლ. ამასთან წლიური დებიტი შეადგენს 1200000 მ². მეტალურ სპილენზე გადათვლით „მჟავე წყლებს” წელიწადში მოყვება 1470 ტ სპილენი. ამდენად აქტუალურია ამ წყლებიდან სპილენბის ამოკრეფა.

კარიერის წყლებში არსებული სპილენბის ცემენტაცია წარმოებს რკინის ფხვნილის საშუალებით.



ცემენტაციის პროცესში ანოდს წარმოადგენს დამლექი ლითონი (რკინა), ხოლო კათოდს ხელის დასალექი ლითონი (სპილენბი).

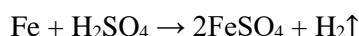
ცემენტაციის პროცესში გარდა მირითადი რეაქციებისა შეიძლება მიმდინარეობდეს შემდეგი რეაქციები



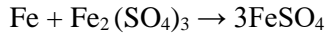
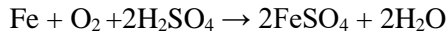
ცემენტაციის სიჩქარე, სპილენბის სრული დალექვა, სპილენბის ნალექის ხასიათი, რკინის ხარჯი, და სხვა პარამეტრები დამოკიდებულია მთელ რიგ ფაქტორებზე, როგორიცაა ხელის მჟავიანობა, დამლექის ხარჯი, არაორგანული ნივთიერებების ფაქტურა, ქლორის იონების კონცენტრაცია, ნაკადის სიჩქარე, და ხელის ტემპერატურა [2].

როგორც გამოკვლევებმა გვიჩვენა რკინის საშუალებით სპილენბის ცემენტაცია ხორციელდება pH-ის ფართო მნიშვნელობის დროს და განაპირობებს რკინის სხვადასხვა ხარჯს.

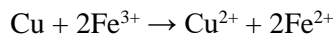
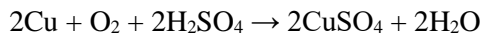
როგორც ცნობილია, pH-ის მცირე მნიშვნელობის ($\text{pH} = 1 \div 2.5$) დროს ადგილი აქვს რეაქციას



ამ შემთხვევაში ადგილი აქვს რკინის დიდი რაოდენობით ხარჯვას. ხელის უნგბადის არსებობის შემთხვევაში ადგილი აქვს შემდეგ რეაქციებს:



ხსნარში რკინის ნაკლოვანებისას პულპაში ჟანგბადის იონების ან სამვალენტიანი რკინის არსებობისას ცემენტაციის პარალელურად მიმდინარეობს სპილენძის დაჟანგვაც და შესაბამისად რკინის იონები გადადიან ხსნარში



რეაქციის ჟანგვა-აღდგენითი პოტენციალი დამოკიდებულია ხსნარის pH-ზე. ძლიერ მჟავე არეში ცემენტაციის სიჩქარე მცირდება, რაც განპირობებულია ხსნარში H^+ კათონის მომატებით, რომელიც ხელს უშლის სპილენძის იონების მიგრაციას კათოდისაკენ.

სპილენძის ცემენტაციის სიჩქარე დამოკიდებულია დამლექი ნივთიერების ფართზე და ხსნარში სპილენძის იონების კონცენტრაციაზე. დამლექის ხედრითი ფართი უკუპროპორციულია მისი დიამეტრისა, რაც უფრო მცირეა სისხო, მით უფრო სრულყოფილად და სწრაფად მიმდინარეობს ცემენტაცია.

ცემენტაციის სიჩქარის სტაბილურობისათვის ჩატვირთული დამლექი ნივთიერების რაოდენობა უკუპროპორციულ დამოკიდებულებაშია მისი ზედაპირის ხედრით ფართთან ან ფხვნილის საშუალო დიამეტრიც კვადრატის პროპორციულია.

ცემენტაციის პროცესში, როგორც წესი, გამოიყენება ფხვნილისებრი თუჭის ბურბუშელა ან ღრუბლისებრი რკინა სისხოთი $0.1 \div 1$ მმ-მდე. თეორიულად ფარდობა რკინისა სპილენძთან გამოითვლება მათი ატომური წონებიდან $\text{Fe : Cu} = 56 : 64 = 7 : 8$ პრაქტიკულად რკინის ხარჯი აიღება მეტი, რადგანაც ადგილი აქვს სხვა თანმხელებ რეაქციებს.

კვლევებმა გვიჩვენა, რომ ფარდობა რკინისა სპილენძთან აიღება 1:2.5-დან 1:3-მდე. ვინაიდან, ფლოტაციის კუდების წყალში სპილენძი წარმოდგენილია $\text{Cu}^{2+} / \text{Cu}^+$ იონების სახით, ამიტომ სპილენძის ცემენტაციას ჩვეულებრივ აწარმოებენ რკინის ბურბუშელათი. წყლის ნაკადს აწოდებენ კასეტებს, რომლებშიც მოთავსებულია რკინის ბურბუშელა. კასეტებში გავლის შემდეგ წყალში სპილენძის შემცველობა დაცა 1,2 მგ/ლ-მდე. ოპერაციაში მეტალური სპილენძის ამოკრეფამ შეადგინა 98.7 %.

ფლოტაციის კუდებიდან სპილენძის ამოკრეფის მაღალმა მაჩვენებელმა გვიჩვენა კარიერის ჩამდინარე წყლებიდან სპილენძის ამოკრეფის შესაძლებლობა.

მეტალური ფხვნილს (ბურბუშელას), რომელსაც აქვს მაქსიმალური აქტივობა და დიდი ზედაპირი, გამოიყენება უზრუნველყოფს ცემენტაციით მიღებული სპილენძის მაღალ ხარისხს. ძვირადღირებული რკინის ფხვნილის შეცვლის მიზნით შესწავლილი იქნა რკინის ჯართისა და რკინაშემცველი მეტალების გამოიყენების შესაძლებლობა.

ხსნარიდან სპილენძის ამოკრეფის პროცესის ინტენსიფიკაციისათვის და ძირიდირებული რკინის ბურბუშელას შესაცვლელად შესწავლილი იქნა სპილენძშემცველი ხსნარებიდან სპილენძის ცემენტაციის შესაძლებლობა შიგა ელექტროლიზით.

ტექნიკური შედეგი მიიღწევა კათოდისა და ანოდის გამოყენებით. კათოდად გამოიყენება ცემენტატორის აბაზანა (სასურველია ტიტანის კორპუსი), ხოლო ანოდად ვიყენებოთ აბაზანაში ჩატვირთული რკინის ან სხვა რკინის შემცველ ჯართს. აბაზანა იგსება სპილენძშემცველი ხსნარით და გაწარმოებოთ ცემენტაციას. ცემენტირებული სპილენძი იღებება აბაზანის ფსკერზე და პროცესის დასრულების შემდეგ ნალექს მოვრეცხავთ და ვაშრობთ.

ცემენტატორის მუშაობისას აბაზანაში ხსნარი მიმდინარე დაღექვის რეაქციის გამო სწრაფად ცხელდება, რაც თავის მხრივ ზრდის სპილენძის გამოლექვის პროცესის სიჩქარეს.

საინტერესოა აბაზანიძან ჩამოტვირთული რკინის ჯართი, რომელშიც კონცენტრირდება ძვირფასი ლითონები და შეადგენს ცალცალკე შესწავლის საგანს.

ამგვარად, სპილენძის შემცველი ხსნარიდან სპილენძის ცემენტაციის პროცესის ინტენსიფიკაცია შესაძლებელია შიგა ელექტროლიზით და ძვირადღირებული რკინის ფხვნილის ან ბურბუშელის რკინის ჯართით შეცვლით.

ლიტერატურა

1. Авдохин В.М. Основы обогащения полезных ископаемых. –М., Горная книга, Том.1, 2014, 417с.
2. აგლაძე თ. გველესიანი ქ. ჩხიაძე გ. ხუგაშვილი ვ. პიდრომებალურგია. -თბილისი, ტექნიკური უნივერსიტეტი, 2007, 201 გვ.

SUMMARY

STUDY OF THE POSSIBILITY OF EXTRACTION OF METALLIC COPPER FROM SEWAGE OF THE QUARRY AND OF CONCENTRATING PLANT

Gigineishvili A.A. and Tevzadze D.M.

Georgian Technical University

At Madneuli deposit the leaching of copper ores takes place in natural conditions. Respectively, the great amount of copper-ions are thrown into sewage. Iron sulfate is used for solving of copper minerals in underground waters. Copper cementation in quarry waters is carried out by means of iron powder. To intensify the process of copper extraction from the solution and for replacement of costly iron chips the possibility of copper cementation from copper containing solutions by internal electrolysis was studied. The research has shown that intensification of copper cementation process from copper containing solutions is possible by internal electrolysis and by replacement of costly iron pounder or chips by iron scrap.

Keywords: quarry, concentrating plant, sewage, copper, electrolysis.

**აღმონის ფუძეშრებზე ელექტრონულ-სხივური ტექნოლოგიით მიღებული
ტანცალისა და ნიღბიურის დანაზარების პლეგა**

ანანიაშვილი ხ.ო.

საქართველოს ტექნიკური უნივერსიტეტი

შესავალი

თანამედროვე ეპოქაში ინდუსტრიის, კერძოდ მანქანათმშენებლობის, ავიაციის, სარაკეტო და კოსმოსური ტექნოლოგიის, ბირთვული ენერგეტიკის, ელექტრონიკის, მედიცინის და სხვა სფეროების განვითარებთან ერთად იქმნება ინოვაციური მასალები და ვითარდება ტექნოლოგიები. ამ მხრივ აღსანიშნავია ნაკეთობის ზედაპირზე განსხვავებული მასალის დანაფარების დატანის აქტუალობა, რაც განაპირობებს საექსპლუატაციო მახასიათებლების გაუმჯობესებას.

დანაფარების წარმოების სხვადასხვა მეთოდი არსებობს. მათ შორის ფართოდ გამოიყენება ელექტრონულ-სხივური ტექნოლოგია, რომლის უპირატესობებიდან განსაკუთრებით აღსანიშნავია: მასალების ფართო სპექტრის, მათ შორის ყველაზე ძნელდნობადი ელემენტებისა და ქიმიური ნაერთების საკმაოდ მაღალი სიჩქარეებით გახურება დნობისა და აორთქლების ტემპერატურებამდე; დანაფარის მიღების შესაძლებლობა ნებისმიერ მასალაზე, ფუძეშრესთან საუკეთესო შეჭიდულობის, რეგულირებადი სტრუქტურისა და თვისებების უზრუნველყოფით და სხვ.

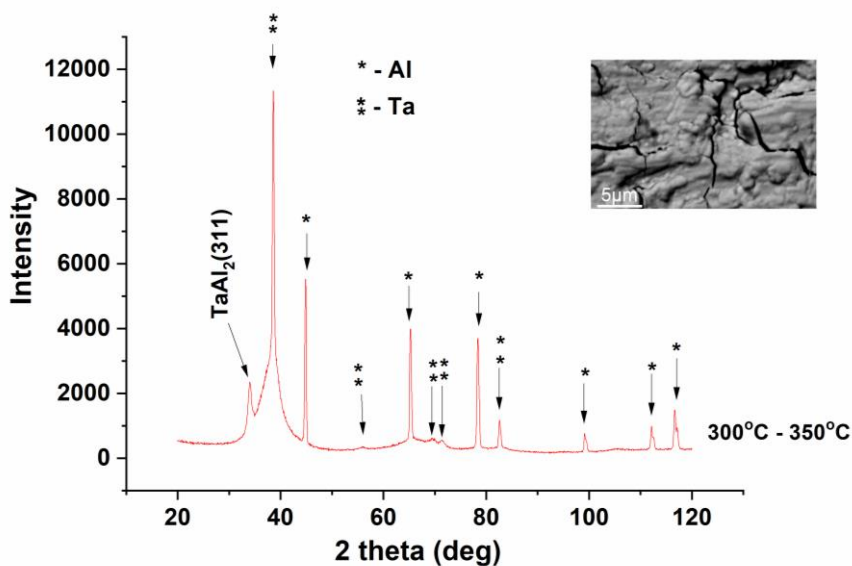
წინამდებარე ნაშრომში შემოთავაზებული ტექნოლოგიით მიღებულმა ნიობიუმისა და ტანტალის დანაფარებმა ალუმინის ფუძეშრეზე შეიძლება ფართო გამოყენება პპოვოს მანქანათმშენებლობაში, ავიამშენებლობაში, ენერგეტიკაში, სარაკეტო და კოსმოსურ ტექნოლოგიებში, მიკროელექტრონიკაში და სხვ. როგორც სუფთა, ისე ალუმინითან ინტერმეტალური ნაერთების სახით მიღებულმა დანაფარებმა ნეიტრონული და გამა გამოსხივების მიმართ მოსალოდნელი მაღალი რადიაციული მდგრადობის გამო შეიძლება გავრცელება პპოვოს ატომურ რეაქტორებში, რადიაციული ნარჩენების შესანახ და გადასატან კონტენირებში, ხოლო ადამიანის ქსოვილთან საუკეთესო შეთავსებადობის გამო – სამედიცინო სფეროში.

ძირითადი ნაწილი

სამუშაოში მოყვანილია ალუმინის ფუძეშრეებზე ნიობიუმის (ტანტალის) ელექტრონული სხივით აორთქლებისა და ორთქლის ნაკადის ოპტიმალურ ტემპერატურულ დიაპაზონებში შემდგომი კონდენსაციის გზით მიღებული დანაფარების ზედაპირის მორფოლოგიისა და ფაზური შედგენილობის შესწავლა; ფუძეშრისა და დანაფარის სტრუქტურულ-გეომეტრიული ფაქტორების ანალიზი. ნიმუშების მიღება და კვლევა განსხორციელდა წყაროებში მოცემული მოწყობილობისა და მეთოდების გამოყენებით [1-3].

განხორციელებულია ალუმინის ფუძეშრეებზე ტანტალისა და ნიობიუმის დანაფარიანი ნიმუშების კვლევა.

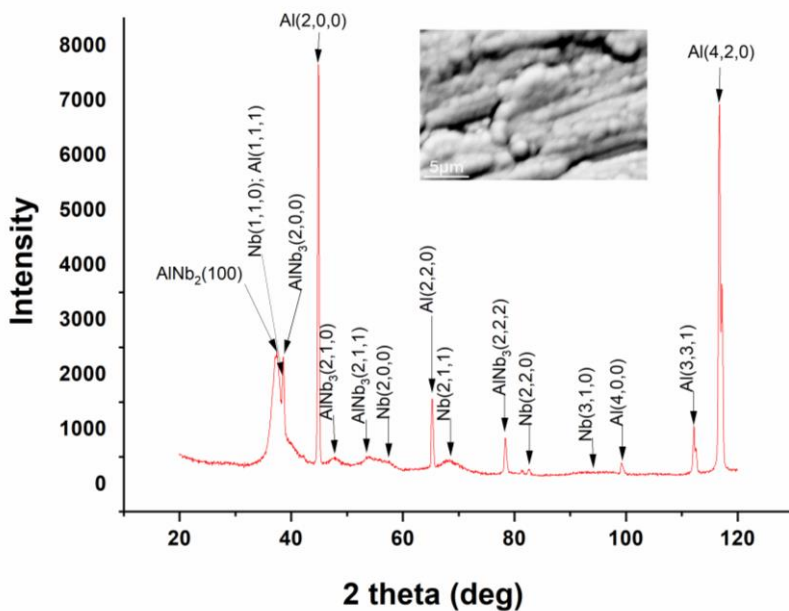
ნახ.1-ზე ნაჩვენებია ალუმინის ფუძეშრეზე ტანტალის კონდენსაციის ოპტიმალური ტემპერატურული ინტერვალის მახლობლობაში ნიმუშის დიფრაქტოგრამა და დანაფარის ზედაპირის მორფოლოგია. 300 – 350 °C ტემპერატურულ ინტერვალში გამოვლენილია ჩამოყალიბებული მულტიფაზური სისტემა, რომელიც შედგება სუფთა Ta (დანაფარი), Al (ფუძეშრე) და Ta₂Al ინტერმეტალური ნაერთისაგან, რომელსაც ტეტრაგონური კრისტალური გისოსი გააჩნია.



ნახ. 1. ალუმინის ფუძეშრეზე ტანტალის დანაფარის დიფრაქტოგრამა და ზედაპირის მორფოლოგია ($t_{cond} \approx 300 - 350^\circ\text{C}$)

ნიმუშის ზედაპირის მორფოლოგიის შესწავლისას დაბალ ტემპერატურულ ზონაში ($300^\circ - 350^\circ\text{C}$) გამოვლენილია ფირში არსებული პირველადი ბზარები, თუმცა ფუძეშრესა და დანაფარს შორის შეჭიდულობის ხარისხი საკმაოდ მაღალია (1, 4-სკალიანი შეფასებით, სადაც 1 საუკეთესო მაჩვენებელია) [3].

ნახ. 2-ზე წარმოდგენილ ალუმინის ფუძეშრეზე ნიობიუმის დანაფარის შედარებით დაბალ ტემპერატურულ ზონაში ($t_{cond}=250 - 320^\circ\text{C}$) გამომჟღავნებულია როგორც ფუძეშრისა და დანაფარის მაქსიმუმები, ისე სისტემაში ცნობილი AlNb_2 -ის და AlNb_3 -ის მაქსიმუმები.

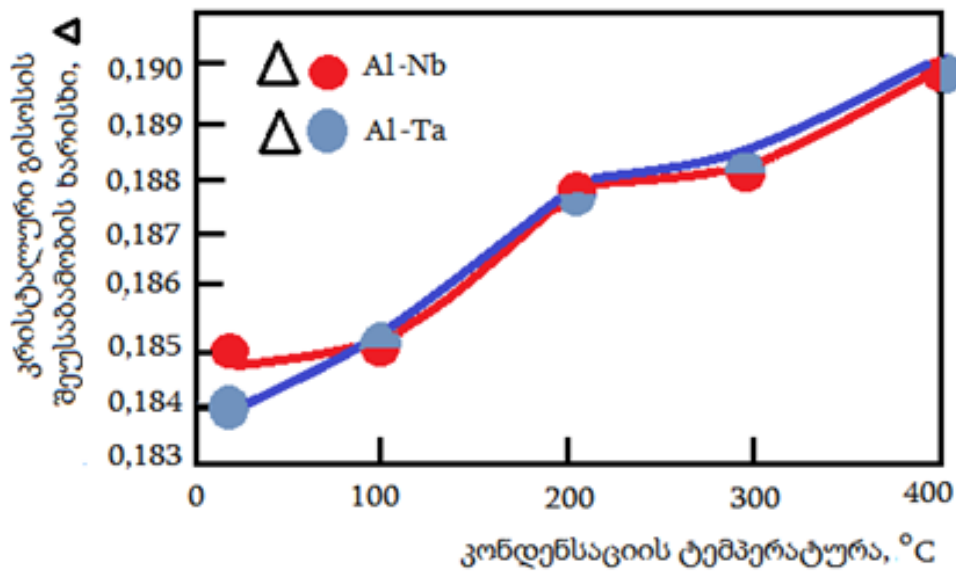


ნახ. 2. ალუმინის ფუძეშრეზე ნიობიუმის დანაფარის დიფრაქტოგრამა და ზედაპირის მორფოლოგია ($t_{cond} \approx 300 - 350^\circ\text{C}$)

აღნიშნულ ზონაში ჩამოყალიბებულ კონდენსირებულ შრეში არ არის გამომედავნებული ბზარები ან სხვა სახის დეფექტები. დანაფარი შედგენილია წაგრძელებული კონგლომერატებისგან. ნიმუში უძლებს 12–14 ნიშანცვლად გადადუნვას.

ერთ-ერთი უმთავრესი ფაქტორი, რომელიც დანაფარის გამოყენების პირობებს და მისი მიღების ტექნოლოგიის შერჩევის სისტორეს განაპირობებს, არის ნაკეთობაში ნარჩენი ძაბვების სიღიდუ. მიუხედავად ამისა, ფუძეშრესთან კონდენსირებადი ფაზის შეზრდისათვის უმთავრეს განმსაზღვრელ ფაქტორს, ფუძეშრესა და დანაფარს შორის დამაკმაყოფილებელი ადგეზიის უზრუნველყოფის თვალსაზრისით, მაინც კრისტალური გისოსების სტრუქტურულ-გეომეტრიული შესაბამისობის ხარისხი უნდა წარმო ადგენდეს, რაც, უპირველეს ყოვლისა, გულისხმობს იმ სიბრტყეების გეომეტრიულ მსგავსებას, რომელთა შეზრდაც მიმდინარეობს, ხოლო მათი პერიოდების ფარდობითი განსხვავება არ უნდა აღემატებოდეს 15%: $\Delta=(a_1-a_2)/a_1$, სადაც a_1 არის მასალის კრისტალური გისოსის, ხოლო a_2 – კონდენსირებადი ფაზის კრისტალური გისოსის პერიოდი [4,5].

ამ მხრივ, ალუმინის ფუძეშრეზე ძნელდნობადი ლითონების – ნიობიუმისა და ტანტალის კონდენსაციის პროცესში რთულ სიტუაციას აქვს ადგილი, რაც ორი ძირითადი მოვლენით არის განპირობებული: ჯერ ერთი, ალუმინის მაღალი ქიმიური აქტიურობის გამო ფუძეშრის ოპტიმალური ტემპერატურის ზედა ზღვარს ზემოთ ინტენსიურად ვითარდება კონდენსაციით სტიმულირებული რეაქტიული დიფუზიის პროცესები, რაც მნიშვნელოვლად ზღუდავს კონდენსირებული ფირის დასმის ოპტიმალურ ტემპერატურულ არეალს და მეორე, აღნიშნულ ინტერვალში ფუძეშრისა და კონდენსირებული ფაზების კრისტალური გისოსების შეუსაბამობის ხარისხი მეტად მაღალია და მნიშვნელოვლად აღემატება ლიტერატურულ წყაროებში მითითებულ ზედა ზღვარს (15%, [4]): როგორც მე-3 ნახაზზე წარმოდგენილი დიაგრამებიდან გამომდინარეობს, ოთახის ტემპერატურაზე $\Delta Al-Nb=0,185$, ხოლო $\Delta Al-Ta=0,184$.



ნახ. 3. ალუმინის ფუძეშრებისა და ნიობიუმისა და ტანტალის კონდენსატების კრისტალური გისოსების შეუსაბამობის ხარისხის დამოკიდებელება კონდენსაციის ტემპერატურაზე

იმ შემთხვევაში, როდესაც ფუძეშრისა და დანაფარის კრისტალური გისოსის პეროდებს შორის განსხვავება მნიშვნელოვანია, გისოსის დრეკადი დამახინჯება გარკვეულ სიდიდემდე განვითარდება და კონდენსირებული ფირის სისქის განუხრელი ზრდის პირობებში ფაზათა შორის საზღვარზე დაძაბულობა გარკვეულ ზღვრულ მნიშვნელობას მიაღწევს. ასეთ შემთხვევაში, თუ არსებობს დისლოკაციის წყარო, შემოვა შეუსაბამობის დისლოკაცია, რაც უნერგეტიკულად უფრო მომგებიანია და ხელს შეუწყობს დრეკადი დაფორმაციის დონისა და ფაზათა გამყოფ ზედაპირზე ენერგიის შემდგომ შემცირებას.

ალუმინის ფუძეშრეზე ნიობიუმისა და ტანტალის დანაფარების მიღების ოპტიმალური ინტერვალი დაბალტემპერატურულ დიაპაზონს მოიცავს, რაც განაპირობებს ფენებს შორის მკვეთრი ჰეტეროსაზღვრების ჩამოყალიბებას და სტრუქტურული დეფექტების რაოდენობის შემცირებას. ამიტომ ასეთ პირობებში შეუსაბამობის დისლოკაციის ჩამოყალიბების ძირითად მექანიზმად დაცურების მექანიზმი განიხილება, რომელიც უფრო დაბალტემპერატურულ პირობებში რეალიზდება გადაცოცების მექანიზთან შედარებით [6].

ამგარად, განხილული მასალის ანალიზი საფუძველს იძლევა დაგასიგნათ, რომ ალუმინის ფუძეშრეზე $200 - 390^{\circ}\text{C}$ ინტერვალში ნიობიუმისა და $200 - 320^{\circ}\text{C}$ ინტერვალში ტანტალის კონდენსაციის პირობებში ექსპერიმენტულად დადგენილი დადებითი ეფექტი განპირობებული უნდა იყოს „ფუძეშრე – კონდენსატი“ ფაზათა გამყოფ ზედაპირზე ფუძეშრესა და კონდენსირებულ ფაზებს შორის ნახევრადკოკერებული სასაზღვრო ზონის ჩამოყალიბებით.

დასკვნა

1. რენტგენოსტრუქტურული ანალიზით ფუძეშრეებსა და კონდენსატებს შორის Al, Ta და Nb მაქსიმუმებთან ერთად, გარდამავალ ზონებში გამოვლენილია აგრეთვე შემდეგი შეალებული ნაერთები: ალუმინის ფუძეშრეზე ტანტალის კონდენსაციის შედეგად – Ta_2Al , ალუმინის ფუძეშრეზე ნიობიუმის კონდენსაციის შედეგად – AlNb_2 -ის და AlNb_3 .

2. დანაფარების სტრუქტურულ-გეომეტრიული ფაქტორების გათვალისწინებით ალუმინის ფუძეშრეებსა და ნიობიუმისა და ტანტალის დანაფარებს შორის კარგი შეჭიდულობის ხარისხი განხორციელებულია ფაზათა გამყოფ ზედაპირზე ნახევრადკოკერებული კავშირით.

„ძვლუება განხორციელდა შოთა რუსთაველის საქართველოს ეროვნული სამუცნიერო ფონდის ფინანსური მხარდაჭერით IPhDF-18-736, სპეციალური დანიშნულების ფუძეშრეზე ფუნქციონალური დანაფარების მიღების ტექნოლოგიის შემუშავება“

ლიტერატურა

1. M.N. Okrosashvili, G.L. Razmadze, T.P. Lomaya, T.O. Loladze, A.B. Peikriashvili. Технология получения покрытий Ni, Nb и Ta на алюминиевой подложке. /სტუს შრომები, №3(497). თბილისი, 2015, გვ. 161-175;
2. ხატია ანანიაშვილი, მიხეილ ოქროსაშვილი, თამარ ლოლაძე. სპილენძის ფუძეშრეზე ნიობიუმის და ტანტალის დანაფარების მიღების ტექნოლოგია. /სტუს შრომები, №3(513), თბილისი, 2019, გვ. 98-110;
3. Khatia Ananiashvili, Mikheil Okrosashvili, Tamar Loladze, Natalia Valko, Tomasz N. Koltunowicz. Structure and Properties of Tantalum Coatings Obtained by Electron Beam Technology on Aluminum Substrates. Applied Sciences, 2020, Volume 10, Issue 11, 3737, MDPI, Basel. <https://doi.org/10.3390/app10113737>;

4. Барвинок В.А. Управление напряженным состоянием и свойства плазменных покрытий. - М.: Машиностроение, 1990, сс. 384.
5. Л.С. Палатник, В.К. Сорокин. Материаловедение в микроэлектронике. -М, Энергия», 1978, 277 с.
6. Лошкарев Иван Дмитриевич. Напряженное состояние и дислокационная структура пленок GaAs, GaP и GeSi на кремнии. Диссертация на соискание ученой степени кандидата физико-математических наук. Институт физики полупроводников им. А.В. Ржанова Сибирского отделения Российской академии наук. Новосибирск – 2013.

SUMMARY

STUDY OF TANTALUM AND NIOBIUM COATINGS ON ALUMINUM SUBSTRATES OBTAINED BY ELECTRON-BEAM TECHNOLOGY

Ananiashvili Kh.O.

Georgian Technical University

Coatings of refractory metals are formed by electron beam evaporation and deposition of tantalum and niobium powders on aluminum substrates at the temperatures experimentally defined. The morphology of the coatings was studied; the phase composition of the "substrate-condensate" transition zone was studied by diffraction analysis; the presence of intermetallic compounds between aluminum substrates and condensates - Ta₂Al, AlNb₂ and AlNb₃ are revealed. The mechanism of phase merging is analyzed. The obtained metal coatings have good adhesion to the substrate, which is a result of a semi-coherent connection between the Al substrates and Ta (Nb) condensed phases on the interface boundary.

Keywords: eb-technology, coatings, substrate, condensate, morphology, x-ray diffraction, adhesion

**პოლინაფთოლეგანზიმიდაზოლების ზორაოლიმერის იზოთერმული
თერმობრაგიმეტრიული პროცესის პლევა ღრმა გაკუშმში**

ორმოცაბე ნ.შ., ბიბილეიშვილი დ.გ., მესხიშვილი გ.გ.

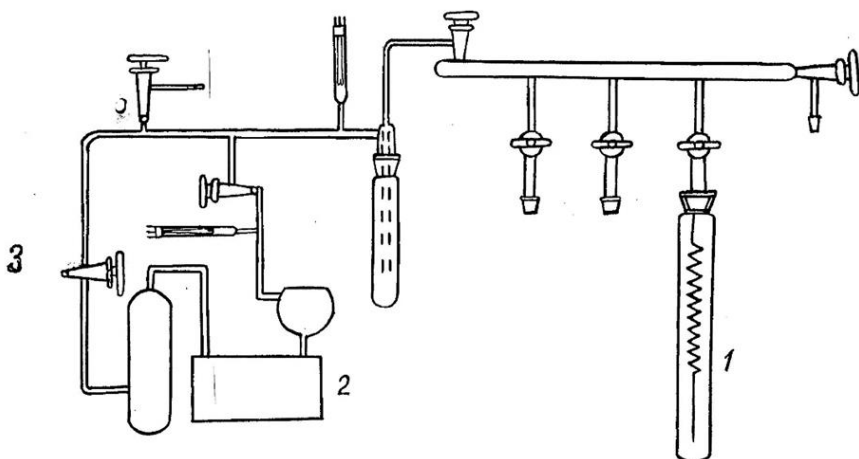
**აკაკი წერეთლის სახელმწიფო უნივერსიტეტი
საქართველოს ტექნიკური უნივერსიტეტი**

პოლინაფთოლენბენზიმიდაზოლების (პნბი) ფიზიკურ-მექანიკური თვისებების კომპლექსი როგორც მაღალ, ასევე დაბალ ტემპერატურაზე, თერმო-, თბო-, სითბო-, სინათლის-, რადიაციული და ქიმიური მდგრადობა სინთეზის ახალ მეთოდურ გადაწყვეტილებებთან ერთად, სხვადასხვა ახალი ასორტიმენტის მასალების: აფსკების, საფარების მიღების საშუალებას იძლევა. ასევე დიდ ასპარეზს უქმნის ელექტრონიკური პიბრიდულ ინტეგრალურ სქემებში ფეხათაშორისი საიზოლაციო მასალების შექმნას [1-4].

ჩატარებულმა ინტენსიურმა კვლევამ გვიჩვენა, რომ თერმომდგრადი პოლიმერების პნბის საფუძველზე აფსკრარმომქმნელი სისტემების მისაღებად საჭიროა: გამოყენებული იქნას ამ პოლიმერების სინთეზის საფეხურებრივი მეთოდი, რაც იმაში მდგომარეობს, რომ სინთეზის პირველ საფეხურზე N-მეთილ-2-პიროლიდონის არეში ნაფთალინ-1,4,5,8-ტეტრაკარბონის მჟავების დიანალიდრიდების ბის(ო-ფენილენდიამინებთან) დაბალტემპერატურული პოლიკონდენსაციის პირობებში მიიღება აფსტარმომქმნელი ფორპოლიმერი პოლი[(ო-ამინო)ფენილ]ნაფთალიმიდი (პანი), ხოლო მეორე საფეხურზე – მყარ ფაზაში თერმული პოლიკონდენსაციით მიმდინარეობს შიდამოლეკულური ციკლოდეპიდრატაცია პნბი-ის მაკრომოლეკულური ჯაჭვის წარმოქმნით.

როგორც ცნობილია, რეაქციის სიჩქარის ან გარდაქმნის ხარისხის შესაფასებლად, საკმარისია რეაქციაში მონაწილე ერთ-ერთი საწყისი ან წარმოქმნილი კომპონენტის კონცენტრაციის განსაზღვრა. პოლინაფთოლენბენზიმიდაზოლების (პნბი) თერმული პოლიციკლოკონდენსაციის პროცესის კინეტიკის შესაფასებლად მიზანშეწონილად მივიჩნიეთ დაბალმოლეკულური ნივთიერების – წყლის გამოყოფის სიჩქარის გაზომვა რეაქციის τ მომენტისათვის.

პოლინაფთოლენბენზიმიდაზოლების მისაღებად ფორპოლიმერის (პანი)-ის პოლიციკლოკონდენსაციის შედეგად წარმოქმნილი დაბალმოლეკულური პროდუქტის – წყლის გამოყოფის სიჩქარის გაზომვას იზოთერმულ პირობებში გაწარმოებდით ღრმა ვაკუუმში მაკ-ბენის ტიპის სასწორით რომლის სქემა მოცემულია (ნახ. 1).



**ნახ. 1. ღრმა ვაკუუმის დანადგარის – მაკ-ბენის სასწორის სქემა
1 – სასწორის მილი; 2 – მინის დიფუზიური ტუმბო; 3 – ვაკუუმის ონკანი;**

ექსპერიმენტული ნაწილი

ფორკოლიმერის პანი-ის ნიმუშები აფსკები და ფხვნილები ნარჩენი გამსხველის მოცილების მიზნით წინასწარ ექვემდებარებოდა ექსტრაქციას დიეთილის ეთერით 48 საათის განმავლობაში. ხოლო თვით ექსტრაგენტის მოცილება ხდებოდა ნიმუშების შრობით ვაკუუმში (10^{-2} მმ ვერცხლისწყლის სვეტი) 100 °C-ზე, შემდეგ კი დრმა ვაკუუმში ($10^{-5} - 10^{-2}$ მმ ვერცხლისწყლის სვეტი) 150 °C, ორგანული გამსხველების მოცილებას ვამოწმებდით აირ-თხევადი ქრომატოგრაფული მეთოდის საშუალებით.

გასუფთავებულ და გამომშრალ პოლიმერის აფსკებს ან ფხვნილს ვათავსებდით კვარცის ჯამში, რომელიც ყუნწით ჩამოკიდებული იყო კვარცისგან დამზადებულ სპირალზე, ეს უკანასკნელი კი მოთავსებული იყო მაკ-ბენის სასწორის მიღწი (1). ღრმა ვაკუუმში წყლის გამოყოფის კინეტიკის პლევას ვაწარმოებდით მინის დიფუზიური ტუბის (2) საშუალებით შექმნილ ღრმა ვაკუუმში. სისტემაში ერთი და იგივე ტემპერატურის შენარჩუნება კონტაქტური თერმომეტრით ხდებოდა ან ელექტრონული თერმორეგულიატორით და თერმოწყვილის გამოყენებით ± 2 °C სიზუსტით. თერმომეტრს ან თერმოწყვილს ვათავსებდით თერმულ აბაზანად გამოყენებულ ვუდის შენადნობში. რეაქციის ტემპერატურას ვაკონტროლებდით ხელსაწყოს სარეაქციო არეში (1) მოთავსებული თერმომეტრით.

კვარცის სპირალების საკალიბრო მრუდის აგებას ვაწარმოებდით წონის თანმიმდევრული თანდათანობით გაზრდით 10გ - 100გ-მდე და შემდეგ ასეთივე უკუთანმიმდევრული თანდათანობითი განტვირთვით. სპირალის მგრძნობიარობას ვსაზღვრავდით ფორმულით $\alpha = 10/\Delta l$ გგ/მმ, სადაც Δl სპირალის გაჭიმვაა (საშუალო) გამოწვეული ტვირთის 10 გგ-ით გაზრდით. სპირალის გაჭიმვას და შექმნვას ვაფიქსირებდით კათეტომეტრით KM-6 0,005 მმ სიზუსტით.

გამოყენებული სპირალის მგრძნობიარობა იყო 4,18 და 4,57 მგ/მმ. ნიმუშიდან სორბციული წყლის მაქსიმალურად მოცილების მიზნით პოლიმერის 40 ÷ 60გ წონაქს რეაქციის წინ ვაშრობდით 150 °C - ღრმა ვაკუუმში მუდმივ წონამდე მიყვანით. წონის დანაკარგი შეადგენდა α_Δ (მგ):

$$\alpha_\Delta = \Delta l_c / \Delta l$$

სადაც Δl_c – შრობის პროცესში სპირალის შექმნვაა მმ-ში. შესაბამისად პოლიმერის ჭეშმარიტი წონა არ შეადგენს;

$$\alpha_0 = \alpha - \alpha_\Delta$$

სადაც α პოლიმერის საწყისი წონაკია, მგ-ში.

რეაქციის თითოეულ მომენტში გარდაქმნის ხარისხი p განისაზღვრება, წყლის მოლების რაოდენობით, რომელიც გამოიყოფოდა რეაქციის ღროში $\tau (n\tau)$ შეფარდებული წყლის მოლების იმ რაოდენობასთან, რომელიც თეორიული გაანგარიშებით უნდა გამოყოფილიყო მოცემულ წონაკში, მიმდინარე თერმული შიდამოლექულური ციკლოდეპიდრატაციის ღროს, ანუ

$$p = n\tau / n_0$$

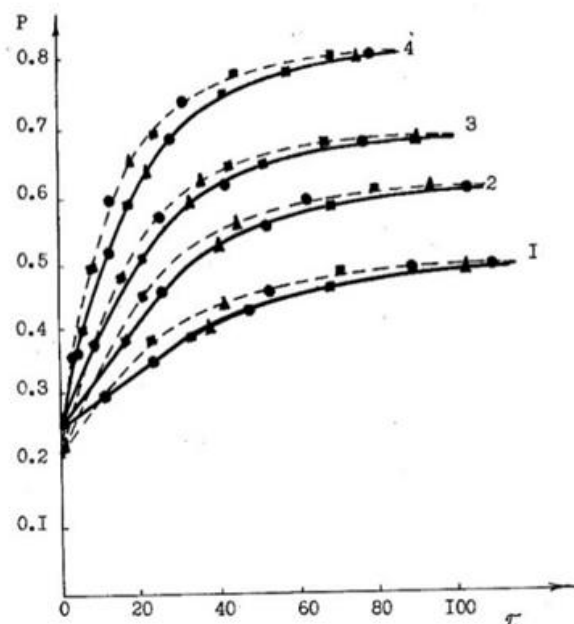
რადგან, $n\tau = \Delta l \cdot \alpha / M_{\text{წყ}}$

მაშინ, $P = \Delta l \cdot \alpha / M_{\text{წყ}}$

სადაც, n_0 - არის პანი-ის წონაკში ო-ამინონაფთალიმიდის ფრაგმენტების რეაქციისუნარიანი მოლების რიცხვია, განსაზღვრული ჩვენს მიერ შემუშავებული $^{13}\text{C} - \{\text{H}\}$ ბირთვულ მაგნიტური რეზონანსის სპექტროსკოპიული მეთოდის [1,2] გამოყენებით, $M_{\text{წყალი}}$ - წყლის მოლებულური მასაა, Δl - სპირალის დამოკლებაა რეაქციის პროცესის τ - ღროში.

გარდაქმნის ხარისხის სიზუსტე დამიტირებულია კვარცის სპირალის მგრძნობიარობით და შეადგენდა $\pm 0,5\%$.

ფორპოლიმერის მაკრომოლკულებში შიდამოლგაულური პოლიციკლიზაციის რეაქციის კინეტიკური მრუდები კოორდინატებში $(P - \tau)$ მოცემულია ნახ. 2-ზე, ხოლო კინეტიკური მასასიათებლების ექსპერიმენტული მონაცემების ტიპიური გამოთვლის შედეგები მოცემულია ცხრილში.



ნახ. 2. სხვადასხვა რგოლიანი პოლიმერების შიდამოლგაულური პოლიციკლიზაციის რეაქციის კინეტიკური მრუდები:

იზოთერმული თერმოგრავიმეტრით ■, აირ-ქრომატოგრაფიული ● და ბირთვულ მაგნიტური რეზონანსის სპექტროსკოპიული მეთოდით ▲, T რეაქციის : 1 – 200; 2 – 220, 3 – 240 და 4 – 260 °C.

პოლი[(ო-ამინო)ფენილ]ნაფთალიმიდის ნიმუშის თერმული პოლიციკლიზაციის რეაქციის კინეტიკური მასასიათებლების გამოთვლის მაგალითის ტიპიური სქემა იზოთერმული თერმოგრავიმეტრიული მეთოდით (რეაქციის ტემპერატურა 260 °C)

რეაქციის დრო, წთ	$\Delta \ln, \text{მმ}$	$m\tau, \text{მგ}$	$n\tau$	P	$1/1 - P$	$K_p 10^{-4}, \text{წ}^{-1}$
4	0,005	0,024	0,001	0,268	0,135	12,94
8	0,066	0,316	0,017	0,485	0,288	13,80
10	0,074	0,351	0,019	0,501	0,301	11,54
14	0,085	0,405	0,022	0,547	0,343	9,39
20	0,100	0,477	0,026	0,600	0,397	7,61
27	0,120	0,572	0,032	0,671	0,482	6,84
30	0,125	0,596	0,033	0,689	0,507	6,48
35	0,130	0,620	0,034	0,705	0,530	5,80

სპირალის მგრძნობიარობა – 4,76 მგ/მმ, პოლიმერის წონაცი – 25 მგ, პოლიმერის წონაცი შრობის შემდეგ – 23,55 მგ, პოლიმერის წონაციდან თეორიულად გამოსაყოფი წყლის მოლების რაოდენობა – 0,0746 მოლი.

პოლინაფთოილენბენზიმიდაზოლების ფორპოლიმერის პოლი[(ო-ამინო)ფენილ]-ნაფთალიმიდის იზოთერმული თერმოგრავიმეტრიული პროცესის კვლევის შედეგები დრმა ვაკუუმში, სრულ თანსვედრაშია სხვა მეთოდებით: აირ ქრომატოგრაფიული თუ ბირთვულ მაგნიტური რეზონანსის სპექტროსკოპიით მიღებულ შედეგებთან, რაც კარგად ჩნდს ამ პროცესის კვლევის შედეგების საფუძველზე ნახ. 2-ზე გამოსახული კინეტიკური მრუდებით.

ლიტერატურა

1. Коршак В.В., Берестнева Г.Л., Петровский П.В., Ормоцадзе Н.Ш., Русанов А.Л. и др. Исследование постадийного синтеза поли(нафтоиленбензимидазолов). //Высокомолек. соед., М., 1981, т.(A), 23, сс. 730-735.
2. Ормоцадзе Н.Ш. Синтез форполимеров полинафтоиленбензимидазолов и исследование пленок полученных на основе этих полимеров. // Тезисы докладов V-ой республиканской конференции по химии. Тбилиси, 2004, с.142
3. ბ. ორმოცაძე, გ. მესხებაშვილი, დ. ბიბილეშვილი. 8th Internanational Conference “biomaterials and nanobiomaterials: Recent Advances Safety-Toxicology and ecology Isssus”, Including Russian –Hellenic Workshop and School of Young Scientists, Preparation of insulting films of niu class on the basis of polynaphtoilenebenzimidazoles. 2017, 07-14 მაისი, ირაკლიონი, კრეტა-საბერძნებელი, P 24, www bionanotox.
4. Ормоцадзе Н.Ш., Бибилиешвили Д.В. Исследование возможности применения полимеров полинафтоиленбензимидазолов для получения термостойких покрытий. //Тезисы докладов международной научной конференции «КОЛХА», Кутаиси, 2009, сс.155-157.
5. Ормоцадзе Н.Ш. Получение и исследование покрытий на основе фор полимеров полинафтоиленбензимидазолов. // Тезисы докладов республиканской научно-технической конференции «Современные достижения прикладной химии и технологии», Кутаиси, 2009, сс. 300-304.

SUMMARY

RESEARCH OF ISOTHERMAL THERMOGRAVIMETIC PROCESS OF THE PREPOLYMER OF POLYNAPHTHOYLENEBENZIMIDAZOLES IN HIGH VACUUM

Ormotsadze N.Sh., Bibileishvili D.V. and Meskhishvili M.M.

Akaki Tsereteli State University, Kutaisi

Georgian Technical University

For obtaining of film forming systems on the basis of thermally stable polymers- PNBI, step-by-step method of synthesis of mentioned polymers must be used. At the first step of synthesis film forming prepolymer-poly[(o-amino)phenyl] naptalimide (PAN) is obtained in the medium of N-ethyl-2-pyrolidone at low-temperature polycondensation of dianhydrides of the acids of naphthalene-1,4,5,8-tetracarbon with bis(o-phenylene-diamines). And at the second step- intramolecular cyclodehydration takes place by thermal polycondensation in solid phase with formation of macromolecular chain of PNBA. To estimate the reaction rate or transformation degree, the determination of the concentration of one of the reagents is sufficient. For obtaining of polynaphtoylenebenzimidazoles measurement of release rate of water - low molecular product, formed as a result of polycyclocondensation of prepolymer (PAN), was carried out in isothermal conditions by Mak-Ben balances. The results of research of isothermal/thermogravimetric process of PAN in high vacuum are in total accordance with the results obtained by other methods - air chromatography or nuclear magnetic resonance.

Keywords: prepolymer, polynaphtoylenebenzimidazole, thermogravimetry, high vacuum.

BACTERICIDAL PROPERTIES OF METAL-CONTAINING PHILLIPSITES

Tsitsishvili V.G., Dolaberidze N.M., Kutsiava N.A., Khutishvili B.T. and Mirdzveli N.A.

I. Javakhishvili TSU, P. Melikishvili Institute of Physical and Organic Chemistry

Georgian Technical University

Abstract: Metal-containing zeolite adsorbents and ion exchangers are promising for environmental protection and medical application. Silver-, copper-, and zinc-containing micro-mesoporous materials have been prepared on the basis of natural phillipsite from Shukhuti (Western Georgia) using ion-exchange reactions between zeolite and a salt of a transition metal in the solid phase followed by washing. Synthesized adsorbent-ion-exchangers show bactericidal activity towards *Escherichia coli*. Strong bacteriostatic activity of modified zeolites was testified by the Kirby-Bauer test.

Keywords: Silver-, Copper-, Zinc-containing zeolites, *Escherichia coli*.

Bactericidal zeolite sorbents have a wide application based on the combination of their sorption-detoxification and antibacterial properties. The goals of the work include creation of new, pure nanocrystalline zeolite phases by phillipsite characterized by high ion-exchange capacity and selectivity to bactericidal cations, exceeding of clinoptilolite.

Preparation of metal-containing zeolites (MZs): Ion exchange was carried out as follows: powder of natural phillipsite (NP) and the corresponding salt were mixed in different weight ratios (from 1:1 to 1:6) and thoroughly grinded in an agate mortar for 5-10 minutes, depending on the cationic form and weight ratio. The solid mixture was then transferred to a filter and washed with distilled water until the absence of nitrate or chlorine anions, after which the modified samples were first dried in air and then at 100-105°C in a thermostat; samples with a maximum silver content are labeled as AgP, with a maximum copper and zinc content called CuP and ZnP, respectively.

Release of metals from zeolites and antibacterial activity: The determination of the amount of metals released from MZs in normal saline solution (9 g of NaCl in 1 L of deionized water) was carried out under static conditions in a thermostatic bath (Grant Instruments OLS26 Aqua Pro) at a temperature of 37 ± 0.1 °C, without stirring or shaking. Sampling for analysis was carried out after 1, 3, 6 and 24 hours after loading 0.1 gram of zeolite in 100 ml of saline.

The antibacterial activity of NP and MZs was tested against Gram-negative bacteria *Escherichia coli*. Before testing the antibacterial activity all dry zeolite products were sterilized at 70°C for 2 hours in a dry sterilizer. No microbial contamination of the prepared samples was found. Luria Bertani (LB) medium sterilized by autoclaving (121°C, 15 min) prior to the antibacterial activity tests was used as a growing medium, bacteria were grown aerobically in LB broth at 37°C for 12 hours, the culture was centrifuged twice (10,000 rpm), and the cells were washed and suspended in distilled water. 1 cm³ of the prepared biomass suspension of approximately 10⁷ colony-forming units (CFU) per cm³ was inoculated into the Schott's bottles with 100 cm³ of autoclaved saline, and zeolite samples in a concentration of 0.1 g/100 cm³ were added. The bottles were incubated in a thermostatic water bath with shaking at 105 rpm for 24 hours at 37 ± 0.1 °C. The number of viable cells was determined taking 0.1 mL of water + bacteria + zeolite mixture at the beginning of the experiment after 1 hour (the lag phase of bacterial growth), and after 3, 6, and 24 hours (the stationary phase). The aliquots were diluted in distilled water, spread on LB agar plates and incubated at 37°C for 24 hours. Bacterial colonies were counted using microscope.

Bacteriostatic properties of natural and modified zeolite samples were determined by the disk diffusion (Kirby-Bauer) method in standard conditions using the culture of *E. coli* grown on Mueller-Hinton agar medium at 37°C for overnight and placed (10⁹ CFU/cm³) on Mueller-Hinton agar (3 mm deep) poured into 100 mm Petri dishes. 0.2 g of zeolite in the form of pellets with 8 mm in diameter was placed into the plates. The plates were incubated at 37°C over 5% CO₂ medium and, finally, the width of inhibition zone of each sample in the plates was measured at the end of the first day. All experiments on antibacterial activity of NP and MZs were done in triplicate. The values obtained were averaged to give the final data with standard deviations.

Release of metal ions: The amount of silver ions released after 6 hours (Table 1) corresponds to concentration of 0.067 mM, which is higher than the minimal inhibitory concentration (MIC) value

for silver ions toward *E. coli*, 3.996 mg Ag in dm³ [1] or 0.037 mM. On the contrary, the amount of copper and zinc ions released after 24 hours corresponds to concentration of 0.45 and 0.5 mM, respectively, lower than MIC value for copper and zinc ions toward *E. coli*, 1 mM [2].

Bactericidal activity: Table 2 shows the relative number of viable cells of *E. Coli* suspended in water after their contact with natural and modified phillipsites in relation to the number of cells at the beginning of the experiment; results of the Kirby-Bauer test are given in the Table 3.

Table 1. The leaching of metals from modified phillipsites

Ions	Ag ⁺ from AgP (mg/L)	Cu ²⁺ from CuP (mg/L)	Zn ²⁺ from ZnP (mg/L)
In 1 hour	<5	<5	5.2±1.2
In 3 hours	<5	8.5±2.5	12.7±2.5
In 6 hours	7.2±1.5	16.2±3.2	23.0±5.5
In 24 hours	20.6±4.5	28.7±4.5	32.4±6.6

Table 2. The change in the relative number of viable cells of *E. coli* in time

Sample	NP	AgP	CuP	ZnP
At the beginning	100	100	100	100
After 1 hr	102.5±4.2	72.0±4.1	85.0±5.0	93.2±6.5
After 3 hr	98.3±3.5	23.6±2.8	42.0±2.5	51.6±4.7
After 6 hr	99.6±4.5	0	12.0±2.0	30.4±2.2
After 24 hr	100.5±4.8	0	0	0

Table 3. Bacteriostatic properties of NP and MZs against *E. coli*

Sample	Diameter of inhibition zone (mm)
Petri dish with <i>E. coli</i> only (check)	0 – confluent growth
Petri dish with <i>E. coli</i> and NP	0 – confluent growth
Petri dish with <i>E. coli</i> and AgP	18.6±0.7
Petri dish with <i>E. coli</i> and CuP	15.7±1.0
Petri dish with <i>E. coli</i> and ZnP	16.3±0.9

CONCLUSION: The obtained MZs can be used as bactericidal adsorbents and ion exchangers for medical purposes, as well as for cleaning and disinfecting water and soil.

REFERENCES

- Mulley G, Jenkins ATA, Water field NR 2014. Inactivation of the antibacterial and cytotoxic properties of silver ions by biologically relevant compounds. PLoS ONE, [Online]. 9(4): e 94409 (Available: <https://doi.org/10.1371/journal.pone.0094409>).
- Navarro CA, von Bernath D, Jerez CA 2017. Heavy metal resistance strategies of acidophilic bacteria and their acquisition: Importance for biomining and bioremediation. Biological Research, 46(4): 363-371.

БАКТЕРИЦИДНЫЕ СВОЙСТВА МЕТАЛЛСОДЕРЖАЩИХ ФИЛЛИПСИТОВ

Цицишвили В.Г., Долаберидзе Н.М., Куциава Н.А., Хуцишвили Б.Т., Мирдзвели Н.А.

ТГУ им. Ив. Джавахишвили, Институт физической и органической химии им. П.Г. Меликишвили
Грузинский Технический Университет

Металлсодержащие цеолитные адсорбенты и ионообменники перспективны в медицине и для защиты окружающей среды. Микромезопористые материалы, содержащие серебро, медь и цинк, были приготовлены на основе природного филлипсита из Шухути (Западная Грузия) с использованием ионообменных реакций между цеолитом и солью переходного металла в твердой фазе с последующей промывкой. Синтезированные адсорбент-иониты проявляют бактерицидную активность по отношению к *Escherichia coli*. Сильная бактериостатическая активность модифицированных цеолитов была установлена с помощью теста Кирби-Бауэра.

Ключевые слова: серебро-, медь-, цинксодержащие цеолиты, *Escherichia coli*.

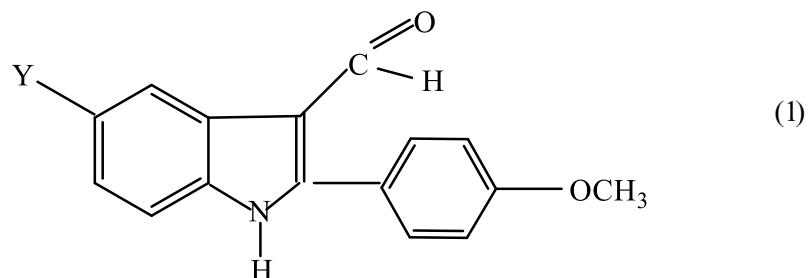
**ზოგიერთი 3-ფორმილ-2-ფენილეთილეთერის
მათემატიკურ-ტიმიური ბაზოპალევა**

წიგწივაძე თ.ო., ცეცაძე ნ.რ.

საქართველოს ტექნიკური უნივერსიტეტი

ტოპოლოგიური ინდექსების (მოლეკულური დესკრიპტორების) მეთოდი ფართოდ გამოიყენება მათემატიკურ ქიმიაში მოლეკულებისა და მათი გარდაქმნების გამოსაკვლევად [1,2]. ტოპოლოგიური ინდექსების მნიშვნელოვანი ნაწილი აგებულია მოლეკულური გრაფების თანაზიარობის მატრიცებისა და მათი მოდიფიცირებული სახესხვაობების ბაზაზე. ასეთი ტიპის მატრიცებს მიეკუთვნება: რნბ-, ქვაზი-რნბ-, ფსევდო-რნბ- და ეპ-მატრიცები და სხვ. [3-5].

წვენს მიერ მიღებული ზოგიერთი 3-ფორმილ-2-ფენილმეთილეთერი ინდოლი მათემატიკურ-ქიმიურად გამოვიყვლიეთ ქვაზი-რნბ-მატრიცის ($\tilde{\Delta}$) მეთოდით. ეს მარიცა იგება შემდეგი ალგორითმის საფუძველზე: ქვაზი-რნბ-მატრიცის დიაგონალური ელემენტებია სტრუქტურულ ფრაგმენტებში შემავალ ქიმიურ ელემენტთა რიგობრივი ნომრების ჯამები, ხოლო არადიაგონალური ელემენტები – სტრუქტურულ ფრაგმენტებს შორის ქიმიური ბმების ჯერადობები. ზოგადად, საკვლევი ნივთიერებები შეიძლება ასე ჩავწეროთ:



სადაც: $Y \equiv H, CH_3, Cl$.

X არის მოლეკულის მთავარი სტრუქტურული ფრაგმენტი.
შესაბამის ქვაზი-რნბ-მატრიცას აქვს სახე:

$$\begin{vmatrix} Z_y & 1 \\ 1 & Z_x \end{vmatrix} \quad (2)$$

წვენ შევისწავლეთ $lg(\Delta(\tilde{\Delta}))$ გამოყენების შესაძლებლობა ტოპოლოგიურ ინდექსად ზოგიერთი 3-ფორმილ-2-ფენილმეთილეთერი ინდოლებისთვის.

ცხრილში $lg(\Delta(\tilde{\Delta}))$, $T_{ლլ}$. და $R_{მდგ}$. წარმოდგენილია სამი ნაერთისთვის:

ნაერთი	$\lg(\tilde{\Delta}(\text{რნბ}))$	$T_{\text{ლღ.}} \text{ } ^\circ\text{C}$	$R_{\text{მდგრ.}}$
	3,07	122	0,38
	3,34	143	0,4
	3,6	(170)	(0,42)

ჩაწერილია ორი კორელაციის განტოლება:

$$T_{\text{ლღ.}} = 90 \lg(\tilde{\Delta}(\text{რნბ})) - 154 \quad (3)$$

$$R_{\text{მდგრ.}} = 0,07 \lg(\tilde{\Delta}(\text{რნბ})) + 0,17 \quad (4)$$

კორელაციის კოეფიციენტი r შესაბამისად ტოლია 0,992, 0,991.

ამრიგად, ჯაფეს კრიტერიუმის [6] მიხედვით ადგილი აქვს ბრწყინვალე კოლერაციას.

თლდ. და $R_{\text{მდგრ.}}$. 3-ფორმილ-5-ბრომ-2-ფენილმეთილეთერი ინდოლისთვის გამოვლილია თეორიულად (3) და (4) ფორმულის საფუძველზე.

ლიტერატურა:

- გ. გამზიანი, ნ. კობახიძე, მ. გვერდწითელი. ტოპოლოგიური ინდექსები. -თბილისი, თბილისის უნივერსიტეტის გამომცემლობა, 1995, გვ. 25.
- გ. ლეგიშვილი, დ. ასათიანი. მოლექულური დისკრიპტორები ელემენტორგანულ ნაერთთა ქმიაში. - თბილისი, თბილისის უნივერსიტეტის გამომცემლობა, 1998, გვ. 23.
- M. Gverdtsiteli, G. Gamziani, I. Gverdtsiteli. The Contiguity Matrices of Molecular Graphs and their Modifications. -Tbilisi, Tbilisi Univ. Press, 1996, p. 21.
- Н.Н. Сидамонидзе, К.Т. Купатадзе, М.И. Гвердцители. Теоретическое исследование корреляции „структурно-свойства” в рамках методов ПНС, квази- ПНС и ЭМ- матриц. //Прикладная физика, 2009, №6, сс. 36-39.
- ნ. ცეცაძე, ნ. ნარიმანიძე, ი. ჩიკვაძე. ზოგიერთი 3-ფორმილ-2-არილინდოლის სინთეზი და კონდენსაციის რეაქციები. /ქეოთხე რესპუბლიკური სამეცნიერო მეთოდური კონფერენცია ქმიაში. თბილისი, 29-31 ოქტომბერი, 2002, გვ. 33.
- მ. გვერდწითელი. ფიზიკური ორგანული ქმიას რჩეული თავები. -თბილისი, თბილისის უნივერსიტეტის გამომც., 1982.

SUMMARY

MATHEMATICAL-CHEMICAL INVESTIGATION OF SOME DERIVATIVES OF 3-FORMYL-2-PHENYLMETHYL ETHERINDOLE

Tsivtsivadze T.I. and Tsetsadze N.R.

Georgian Technical University

Linearly-some derivatives of 3-Formyl-2-phenylmethyl ether-indole were studied within the scope of quasi-ANB-matrix method. Two correlation equations were constructed and investigated. Calculations show that correlations are brilliant.

Keywords: 3-Formyl-2-phenylmethyl ether-indole, quasi-ANB-matrices, correlation equation.

ИЗМЕНЕНИЯ БЕЛКОВОГО КОМПЛЕКСА В ПРОЦЕССЕ ВЛАГОТЕПЛОВОЙ ОБРАБОТКИ МАСЛИЧНОГО МАТЕРИАЛА

Кварцхава Г.Р., Сирадзе М.Г., Дзнеладзе С.Дж.

Грузинский технический университет

В процессе влаготепловой обработки масличных семян наблюдается интенсивная окраска мезги, жмыха и шрота. В свое время это явление объясняли процессом карамелизации сахара. Однако некоторые исследования показали, что указанное потемнение продуктов переработки мякти предопределяется преимущественно меланоидиновыми соединениями, т. е. продуктами сахароаминных реакций [1-3].

Меланоидиновые соединения продуктов производства растительных масел представляют собой сложную смесь веществ непосредственного взаимодействия редуцирующих и инвертных сахаров с лизином и другими аминокислотами белков. Наиболее интенсивное накопление меланоидиновых соединений с вовлечением в реакцию сложных сахаров (с предварительным их распадом) происходит при температуре выше 120 °C [4-6].

На основе данных собственных исследований в табл. 1 приведены результаты, характеризующие влияние температуры на увеличение интенсивности окраски жмыхов и шротов семян подсолнечника и связывание сахаров белковыми веществами в результате сахароаминных реакций.

Таблица 1. Влияние температуры на увеличение интенсивности окраски жмыхов и шротов семян подсолнечника

Способы извлечения масла	Температура мезги или шрота в шнековом испарителе, °C	Снижение содержания сахаров по отношению к весу сухой обезжиренной мякти, %	Приращение интенсивности окраски по фотометру по отношению к окраске исходной мякти, %
В прессах ЕП, МП-21 и др.	120 – 130	2,5 – 3,8	40 – 45
	110 – 115	1,9 – 2,4	35 – 39
	102 – 105	0,9 – 1,7	20 – 22
По схеме форпрессование – непрерывная экстракция	95 – 105	0,6 – 1,3	3 – 15

Как видно из данных, представленных табл. 1, при температуре 110 – 130 °C за счет реакции взаимодействия белков и сахаров содержание сахаров снижается на 1,9 – 3,8 % от веса сухой обезжиренной мякти, т. е. сахароаминная реакция приводит в заимному уничтожению сахаров и аминокислот, главным образом лизина.

В результате сахароаминной реакции могут иметь место потери сухого вещества мякти, распадающейся до летучих продуктов (H_2O , CO_2 , NH_3).

Отмечено, что одновременно с потерей сухого вещества мякти происходит соответственное увеличение общего содержания азота и сильно перегретых объектах (шрот, жмых).

Таким образом, сахароаминная реакция не только снижает товарное качество жмыхов и шротов, но приводит к значительным потерям сахаров и аминокислот, а также к увеличению сырьевых потерь.

В процессе жарения изменение белковых веществ выражается в денатурации их, т. е. потере первоначальных свойств нативного белка. Степень денатурации различных белков семени различна и зависит от режима жарения. Особый интерес с технологической и народнохозяйственной точек зрения представляет вопрос денатурации растворимых белков (в воде, 10 %-ном растворе $NaCl$ и 0,2 %-ном растворе $NaOH$), так как эти белки являются наиболее подвижными в процессе производства и обуславливают кормовую ценность жмыхов и шротов.

Являясь наиболее усвояемыми, растворимые белки жмыхов и шротов в кормовом рационе животных определяют их продуктивность. Отсюда видно, как важно знать те

изменения в этой группе белковых веществ, которые происходят в процессе производства растительных масел вообще и при жарении в особенности.

В табл. 2 приведены результаты собственных наблюдений за изменением содержания растворимых белков при подготовке к форпрессованию хлопковой мякти в жаровне без увлажнения (при сухом способе жарения), в условиях пребывания мезги в жаровне в течение 57 – 62 мин при температуре мезги, поступающей в пресс 90 – 95°C.

Таблица 2. Изменение содержания растворимых белков при подготовке к форпрессованию хлопковой мякти

Показатели, %	Наименование продукта			
	Мятка здоровых семян, поступающая в жаровню	Мезга мякти из здоровых семян при выходе из жаровни	Мятка дефектных семян, поступающая в жаровню	Мезга мякти из дефектных семян при выходе из жаровни
влажность	6,53	6,09	7,02	6,78
Содержание белков в пересчете на абс. сухое обезжиренное вещество:				
– растворимых в H ₂ O	6,68	3,73	3,86	3,56
– растворимых в 10%-ном растворе NaCl	14,25	18,47	6,60	7,48
– растворимых в 0,2%-ном растворе NaOH	23,17	13,85	18,60	23,86
– всего растворимых	44,10	36,06	29,06	24,90
– общее	46,84	47,12	46,39	48,11
Содержание растворимых белков, % к общему их количеству	94,2	76,53	62,63	51,80

Как видно из данных табл. 2, при обработке в жаровне мякти здоровых семян содержание растворимых белков снизилось с 94,2 % до 76,53 %, а при обработке мякти из дефектных семян — 62,68 % до 51,80 %.

Результаты проведенных исследований денатурации белков в процессе обработки мякти в жаровне на прессовых заводах при переработке семян сои приведены в табл. 3.

Таблица 3. Денатурация белков в процессе обработки мякти при переработке семян сои

Наименование продукта	Влажность, %	Температура мякти и мезги, °C	Содержание водо- и солерастворимых белков*, %	Относительная степень денатурации**, %
Мятка	12,8	25	44,18	86,1
мезга	4,4	122	6,12	"
Мятка	13,0	28	43,69	70,7
мезга	4,3	114	12,81	"
Мятка	11,8	25	49,50	61,4
мезга	4,4	114	19,12	"
Мятка	11,6	26	48,75	52,4
мезга	4,8	102	23,19	"

* в пересчете на абс. сухое и обезжиренное вещество

** к исходному содержанию

Как видно из данных, приведенных в табл. 3, степень денатурации белков при жарении сои колеблется в довольно широких пределах, причем с повышением температуры приготовления мезги и увеличением влажности ее степень денатурации возрастает. Особенно велика

степень денатурации белковых веществ при обработке мякти фараппаратными способами, в которых применяются высокие увлажнения и температура.

Установлено, что при соответствующем сочетании температуры, влажности и давления происходит расщепление образующихся нерастворимых белковых веществ до водо- и щелочерасторимых продуктов.

Большие изменения белковых веществ масличных семян происходят не только при интенсивной влаго-тепловой обработке мякти, но и в ходе ее прессования в шнековых прессах даже при небольших влажностях (0,9 – 1,0 %). Важнейшим фактором, определяющим весьма быструю денатурацию белков при прессовании в шнековых прессах, является не давление, а трение частиц мякти между собой и о рабочие части пресса.

Таким образом, при переработке масличных семян прессовым способом в результате влаго-тепловой обработки и отжима масла в шнековых прессах происходит ряд изменений белковых веществ, важнейшими из которых являются тепловая денатурация (изменение уникальной структуры белковых молекул), межмолекулярные взаимодействия белков с сахарами (меланоидиновая реакция), приводящие, как было сказано, к снижению растворимости белковых веществ; расщепление денатурированных белковых веществ до водо- и щелочерасторимых продуктов.

ЛИТЕРАТУРА

1. Манана Сирадзе, Ирине Бердзенишвили. Масла растительные. Химический состав и совершенствование технологии рафинации. (Монография). - Тбилиси, Технический университет, 2017, 84 с.
2. Манана Сирадзе. Исследование состава хлопкового масла закавказских сортов семян хлопчатника и совершенствование режимов его рафинации. Диссертация на соискание ученой степени кандидата технических наук. Ленинград, Всесоюзный научно-исследовательский институт жиров (ВНИИЖ), 1987, с. 17.
3. Беззубов А.П. Химия жиров. М.: Пищевая промышленность, 1975, с.119, 124.
4. Ржехин В.П. Взаимодействие сахаров и белковых веществ масличных семян в процессе маслодобывания. Маслобойно-жировая промышленность, 1966, №6. с.3.
5. Паронян В.Х. Технология жиров и жирозаментелей. – М.: ДелоПринт, 2006, 186 с.
6. Щербаков В.Г. Биохимия и товароведение масличного сырья. -М.: Пищевая промышленность, 1979, 336 с.

SUMMARY

CHANGES IN THE PROTEIN COMPLEX IN THE PROCESS OF THERMAL – MOISTURIZING PROCESSING OF OILSEED MATERIAL

Kvartskhava G.R., Siradze M.G. and Dzneladze S.J.

Georgian Technical University

It has been established that during the processing of oil seeds as a result of thermal – moisturizing processing, a number of changes in protein substances occur, the most important of which are thermal denaturation, intermolecular interactions of proteins with sugars, leading to decrease the solubility of protein substances; splitting of denatured protein into water- and alkali-soluble products.

Keywords: thermal – moisturizing processing, protein, denaturation, intermolecular interactions, alkali-soluble products.

**ზენოლური ნიგოდირებაში სხვადასხვა ტექნოლოგიური ხერხის გამოყენებით
დამზადებულ ნახევრადულ პროცესების შესრულების მიზანი**

ებელაშვილი ნ.ვ., უთურაშვილი ე.ა., კეკელიძე ი.ა.

**საქართველოს აგრარული უნივერსიტეტი
საქართველოს ტექნიკური უნივერსიტეტი**

ფენოლურ ნაერთებს ეკუთვნის უმნიშვნელოვანესი როლი წითელი დვინოების ფერის, ექსტრაქტულობისა და გემური თვისებების ჩამოყალიბებაში; მათი კონცენტრაცია განაპირობებს წითელი დვინოების ხარისხს, ტიპიურობასა და ანტიოქსიდანტურ აქტიურობას. ფენოლური ნივთიერებები მკვეთრად ამცირებენ გულ-სისხლდარღვთა დაავადების, შაქრიანი დიაბეტი 2-ის, სხვადასხვა სახის სიმსიცნური პროცესებისა და მრავალრიცხოვან სხვა დაავადების განვითარების რისკს. ფენოლური ნივთიერებებიდან მაღალი ანტიოქსიდანტური აქტიურობით გამოირჩევა: (+)-კატებინი, (-)-ჰეიკატებინი; ყავის, ქლოროგენის, პროტოკატების, იასამნის, სინაპის, ფერულის მჟავები; კემპფეროლი, კვერცეტინი, მირიცეტინი, რესვერატროლი. საერთაშორისო ბაზარზე წითელ დვინოებებზე მზარდი მოთხოვნა განპირობებულია სწორედ მათი ანტიოქსიდანტური აქტიურობით. ანტიოქსიდანტურ აქტიურობასა და ფენოლურ ნივთიერებებს შორის არსებული დადებითი კორელაციიდან გამომდინარე, მხოლოდ იმ წითელ დვინოებს აქვთ ანტიოქსიდანტური უფაქტი, რომლებშიც მაღალია ამ კომპონენტების კონცენტრაცია. ფენოლური ნივთიერებების რაოდენობა კი დამოკიდებულია ყურძნის ჯიშზე, ვაზის ზრდის ადგილზე, დამზადების ტექნოლოგიაზე [1-12].

სამუშაოს მიზანია დურდოს მაცერაციის სხვადასხვა ტექნოლოგიური ხერხის გამოყენებით ფენოლური კონცენტრაციის მაღალი კონცენტრაციის წითელი ნახევრადტებილი დვინოების საცდელი ნიმუშების დამზადება, საკონტროლო ნიმუშის დამზადება არსებული (სტანდარტული) ტექნოლოგიით; ნიმუშებში ფენოლური ნაერთების ფართო სპექტრის გამოკვლევა და მათი ურთიერთშედარება.

ფენოლური ნაერთების კონცენტრაციის გაზრდისთვის წითელი ნახევრადტებილი დვინის საცდელი ნიმუშების დასამზადებლად, პირველად ჩვენ მიერ არის გამოყენებული ტექნოლოგიური ხერხები ცალ-ცალკე და კომბინირებულად: ალკოჰოლური დუღილის ჩატარების წინ, დურდოდან ტკბილის სხვადასხვა ნაწილის მოკლება; დურდოს გაცხელება.

კვლევის ობიექტები იყო საფერავიდან დამზადებული წითელი ნახევრადტებილი დვინის საკონტროლო და ოთხი საცდელი ნიმუში.

საკონტროლო ნიმუში დამზადდა არსებული (სტანდარტული) ტექნოლოგიით: კლერტგაცლილი საფერავის დურდოს ალკოჰოლური დუღილი 25–28 °C-ზე მშრალი საფუვრის გამოყენებით; მაღუდარი დურდოს გამოწეხა, როდესაც დაუდედარი შაქრის რაოდენობა 8–9%-მდე, მაღუდარი ტკბილის შენახვა დაბალ ტემპერატურაზე, დვინომასალის ლექიდან გადაღება როდესაც დაუდედარი შაქრის რაოდენობა 5%-მდე, და მისი შენახვა დაბალ ტემპერატურაზე გოგირდის დიოქსიდის (30გ გ/ლ) გამოყენებით.

საცდელი №1 – კლერტგაცლილი დურდოს გაცხელება 65 °C-ზე, დურდოს 25 °C-მდე გაგრილების შემდეგ მისი ალკოჰოლური დუღილი და შემდგომი ტექნოლოგიური პროცესები ჩატარდა საკონტროლო ნიმუშის ანალოგიურად;

საცდელი №2 – კლერტგაცლილი დურდოდან მისი მოცულობის ნახევარი ტკბილის მოკლება, დარჩენილი დურდოს ალკოჰოლური დუღილი და შემდგომი ტექნოლოგიური პროცესები ჩატარდა საკონტროლო ნიმუშის ანალოგიურად;

საცდელ №3 – კლერტგაცლილი დურდოდან მისი მოცულობის ნახევარი ტკბილის მოკლება, დარჩენილი დურდოს გაცხელება 65 °C-ზე, დურდოს 25 °C-მდე

გაგრილების შემდეგ მისი ალკოლური დუღილი და შემდგომი ტექნოლოგიური პროცესები ჩატარდა საკონტროლო ნიმუშის ანალოგიურად;

საცდელი №4 – კლერტგაცლილი დურდოდან მისი მოცულობის 1/3 ტკბილის მოკლება, დარჩენილი დურდოს გაცხელება 65°C -ზე, დურდოს 25°C -ზე გაგრილების შემდეგ მისი ალკოლური დუღილი და შემდგომი ტექნოლოგიური პროცესები ჩატარდა საკონტროლო ნიმუშის ანალოგიურად.

საკონტროლო და საცდელ ნიმუშებში საერთო ფენოლური ნივთიერებების ჯამური რაოდენობის გამოკვლევა ჩატარდა [13] ფოლინ-ხოკალტუს რეაქტივის გამოყენებით: დურდოდან გამოწნებების შემდეგ, ლინიომასალების 3, 6, 9 და 12 ოვით შენახვის შემდეგ. კატეხინების, ფენოლკარბონმჟავების, ანტოციანების რაოდენობის გამოკვლევა ჩატარდა მაღალეფექტური სითხური ქრომატოგრაფიის მეთოდის გამოყენებით [14].

კლევის შედეგები მოცემულია ცხრ. 1 და 2-ში.

კლევის ობიექტებში ჩვენ მიერ იდენტიფიცირებულია და რაოდენობრივად განსაზღვრულია ფენოლური კომპონენტები: მალვიდინ-3-გლუკოზიდი, (+) - კატეხინი და (-) - ენიკატენინი; ფენოლკარბონმჟავები: გალის, ქლოროგენის, განილის, ყავის, იასამინის, პ-კუმარის და დარიჩინის; ვანილინის ალდეჰიდი.

გამოკვლევის შედეგებმა გვიჩვენა, რომ ფენოლური ნივთიერებების რაოდენობა საცდელ ნიმუშებში საკონტროლოსთან შედარებით გაცილებით მაღალია.

ფენოლური ნივთიერებების მაღალი შემცველობით გამოირჩევა საცდელი ნიმუში №3, რომლის დამზადებისას გამოყენებული იყო ტექნოლოგიური ხერხები: ალკოლური დუღილის ჩატარების წინ კლერტგაცლილი დურდოს მოცულობის ნახევარი ტკბილის მოკლება და დარჩენილი დურდოს გაცხელება 65°C -ზე. მასში საერთო ფენოლების ჯამური რაოდენობა, საკონტროლოსთან შედარებით 2,4-ჯერ მაღალია. ერთი წლის ხანგრძლივობით შენახვისას ნიმუშებში ფენოლური ნივთიერებების ჯამური რაოდენობა მცირდება ამ კომპონენტების დაუნაგვის, პოლიმერიზაციის, ცილა-ტანატის წარმოქმნისა და ნალექში გადასვლის პროცესების მიზანარეობის შედეგად.

ცხრილი 1. ფენოლური ნივთიერებების ჯამური რაოდენობის (მგ/ლ) დინამიკა საფერავის ნახევრადტებილი დგინის ნიმუშებში დურდოდან გამოწნებების შემდეგ და 12 ოვით შენახვის პროცესში

დგინის ნიმუშები	დურდოდან გამოწნებების შემდეგ	შენახვიდან 3 ოვის შემდეგ	შენახვიდან 6 ოვის შემდეგ	შენახვიდან 9 ოვის შემდეგ	შენახვიდან 12 ოვის შემდეგ
საკონტროლო	3017.30	2715.57	2471.27	2249.34	2045.34
საცდელი – №1	4147.00	3741.34	3378.44	3067.63	2760.93
საცდელი – №2	5720.00	5142.28	4669.19	4248.97	3866.65
საცდელი – №3	7150.00	6434.56	5849.05	5322.64	4841.85
საცდელი – №4	6417. 125	5756.95	5180.75	4662.45	4242.99

ფენოლური კომპონენტების გამოკვლევა მაღალეფექტური სითხური ქრომატოგრაფიის მეთოდით ჩატარდა დგინის ნიმუშების დამზადებიდან ერთი წლის შემდეგ საკონტროლო და საცდელ №3 ნიმუშში (ცხრილი 2).

მიღებული შედეგების ანალიზმა გვიჩვენა, რომ ფენოლური ანტიოქსიდანტების ჯამური რაოდენობა საცდელ ნიმუშში, საკონტროლოსთან შედარებით, 83,8 %-ით მაღალია. მასში საკონტროლოსთან შედარებით, მატულობს: მალვიდინ-3-გლუკოზიდის რაოდენობა – 52,6 %-ით, ფენოლკარბონმჟავების ჯამური რაოდენობა – 82,4 %-ით, ვანილინის ალდეჰიდის რაოდენობა – 45,9 %-ით, კატეხინების ჯამური რაოდენობა – 75,2 %-ით.

ბა, იასამნის და ყავის მუავის რაოდენობა – 2-ჯერ, ვანილის მუავის რაოდენობა – 3,5-ჯერ. საკონტროლოსთან შედარებით, მაღალი იყო საცდელი ნიმუში №3-ის სადგურების შეფასების მაჩვენებელიც.

ცხრილი 2. ფენოლური კომპონენტები (მგ/ლ) ნახევრადტებილი ღვინის ნიმუშებში

ფენოლური კომპონენტები, მგ/ლ	საკონტროლო	საცდელი – №3
გალის მუავა	12.39	14.52
(+)- კატეინი	102.036	213.91
ქლოროგენის მუავა	1.17	1.32
ვანილის მუავა	3.65	12.988
ყავის მუავა	7.083	16.410
იასამნის მუავა	3.468	7.220
(-) -ეპიკატეინი	155.842	318.175
ვანილინის ალდეჰიდი	1.940	2.830
პ-ტემარის მუავა	0.460	1.160
დარინინის მუავა	3.430	4.110
ფენოლკარბონმუკების ჯამი	31.651	57.728
კატეინების ჯამი	257.878	532.085
მაღვიდინ-3-გლუკოზიდი	184.2	281.1
ფენოლური ანტიოქსიდანტების ჯამი	473.729	870.913

ნახევრადტებილი წითელი ღვინოების დამზადების ტექნოლოგიურ პროცესში ალკოჰოლური დუღილის ჩატარების წინ კლერტგაცლილი დურდოს მოცულობის ნახევარი ტემპილის მოკლება და დარჩენილი დურდოს გაცხელება 65°C -ზე მნიშვნელოვნად ზრდის დგინოში ანტიოქსიდანტური ფენოლური კომპონენტების კონცენტრაციას და შესაბამისად გულ-სისხლძარღვთა, სიმსივნური და მრავალრიცხოვან სხვა დაავადებათა პრევენციის ეფექტს.

ლიტერატურა

- M. Nardini, M. D'Aquino, G. Tomassi, V. Gentili, D.M. Felice, C. Scaccini, Inhibition of human low-density lipoprotein oxidation by caffeic acid and other hydroxycinnamic acid derivatives. // J. Free Radic. Biol. Med. 19, 1995, pp.541-552.
- Ritchey J.G., Waterhouse A., A Standard Red Wine: Monomeric Phenolic Analysis of Commercial Cabernet Sauvignon Wines. //Am.J.Enol.Vitic. 50, 1999, pp.91-100.
- J.F. Harbertson, M.S. Mireles, E.D. Harwood, K.M. Weller, C.F. Ross, Chemical and sensory effects of signee, water addition, and extended maceration on high brix must. //Am. J. Enol. Vitic. 60, 2009, pp.450-460.
- S.A. Palma-Duran, A. Vlassopoulos, M. Lean, L. Govan, E. Gombet, Nutritional intervention and impact of polyphenol on glycohemoglobin (HbA1c) in nondiabetic and type 2 diabetic subjects: systematic review and meta-analysis. //J. Critic. Rev. Food Sci. Nutrit. 57, 2017, pp. 975-986.
- J. Guilford, J.M. Pezzuto, Wine and health: a review. // Am. J. Enol. Vitic. 62, 2011, pp. 471-486.
- Plavsa T., Jurinjak N., Antunovic D. Percuric O. and Kovalevic K. The Influence of Skin Maceration Time on the Phenolic Composition and Antioxidant Activity of Red Wine Teran (*Vitis vinifera L.*) Food Technol. Biotechnol. 50, 2012, pp.152-158.
- Rodrigues A., Ricardo-Da-Silva J., Lucas C., and Laureano O. Effect of Winery Yeast Lees on Touriga Nacional Red Wine Color and Tannin Evolution. //Am. J. Enol. Vitic. March 64; 2013, pp.98-109.
- L.F. Casassa, Ch.W. Beaver, M. Mireles, R.C. Larsen, H. Hopfer, H. Heymann, J.F. Harbertson, Influence of fruit maturity, maceration length, and ethanol amount on chemical and sensory properties of merlot wines. // Am. J. Enol. Vitic. 58, 2013, pp.437-449.
- N.V. Ebelashvili, L.P. Shubladze, I.A. Kekelidze, Variations of bioactive substances in red wines produced by different technological techniques of enzyme maceration. // J. Georg. Eng. New 71, 2014, pp.72-74.
- I. A. Kekelidze, N.V. Ebelashvili, M.Sh. Japaridze, Prospectivity of enriched with phenolic compounds red dessert wines production in Georgia. // J. Georg. Eng. New, 76, 2015, pp.120-124.
- I. Kekelidze, N. Ebelashvili, M. Japaridze, B. Chankvetadze, L. Chankvetadze Phenolic antioxidants in red dessert wine produced with innovative technology. /Annals of Agrarian Science, 16, 2018, pp.34-38.

12. A.P.S. Lucena, R.J.B. Nascimento, J.A.C. Maciel, J.X. Tavares, J.M. Barbosa-Filho, E.J. Oliveira, Antioxidant activity and phenolics content of selected Brazilian wines. // J. Food Compos. Analys. 23, 2010, pp.30-36.
13. Валуйко Г. Биохимия и технология красных вин. –Москва, Пищевая промышленность, 1973, 298 с.
14. Bonerz D. Nikfardjam M. and Creazy G., A New RP-HPLC Method of Polphenols, Anthocyanins, and Indole-3-Acetic Acid in Wine. //Am.J.Enol.Vitic. 59:1, 2008, pp.106-109.

SUMMARY

PHENOLIC COMPOUNDS IN RED SEMI-SWEET WINES PRODUCED VIA APPLICATION OF VARIOUS TECHNOLOGICAL TECHNIQUES

Ebelashvili N.V., Uturashvili E.A. and Kekelidze I.A.

Agricultural University of Georgia

Georgian Technical University

Phenolic compounds in red semi-sweet wines produced via application of various technological techniques were studied. The research objects were tested and control samples of semi-sweet wines produced from Saperavi grape. The control sample was produced via standard technology; the four test samples – via separate and combined application of various technological techniques with the aim to increase the phenolic content: removal of various amounts of juice from the must right before alcoholic fermentation; heating of the must. It was found that the highest amount of phenolic compounds was in that test sample, in production of which there were applied the following technological techniques: removal of the juice in amount of the half volume of the destemmed must right before alcoholic fermentation and heating of the remained must to 65°C. The total amount of phenolics in the samples was studied by the *Folin-Ciocalteu* method; the amount of malvidin-3-glucoside, phenol carbonic acids, catechins and vanillin aldehyde - via application of the High Performance Liquid Chromatography method. In the best test sample, compared to the control, there were increased concentrations of phenolics, such as: the total amount of phenolic compounds – by 83.8%, the amount of malvidin-3-glucoside – by 52.6%, the total amount of phenol carbonic acids - by 82.4%, the total amount of catechins – 2-times as much, the amount of vanillic acid - 3.5-times; the amount of vanillin aldehyde – by 45.9%; in the test sample, compared to the control, higher was as well the tasting evaluation assessment.

Keywords: semi-sweet red wine, phenolic compounds.

შპეციალური და მცირებული წესით დამზადებულ ქართულ
ღვინოების შიმიური პარამეტრების ბანაზღვრა

სორდია ე.პ., ქარცხაგა გ.რ.

საქართველოს ტექნიკური უნივერსიტეტი

მევენახეობა და მეღვინეობა საქართველოს მეურნეობის მნიშვნელოვანი დარგია. დღითიდღე უფრო აქტუალური ხდება ქვევრის ღვინის წარმოება. ქვევრის ღვინო საკმაოდ პოპულარულია საზღვარგარეთაც, ამიტომ გახდა მნიშვნელოვანი მაღალხარისხიანი ღვინის მიწოდება მომხმარებლისთვის.

კვლევის მიზანი იყო დაგვეფიქსირებინა ის განსხვავებები, რითაც გამოიჩინიან ქვევრის ღვინოები ევროპული წესით დამზადებული ღვინოებისაგან და ამით მეტად გაგვეწია პოპულარიზაცია ქვევრის ღვინისთვის. წარმოგვეხინა ქვევრის ღვინის სიმდიდრე და გამოგვეკვეთა მისი დადებითი გავლენა ჯანმრთელობაზე.

ქვევრის ღვინის დაყენების ტექნოლოგია გულისხმობს ქვევრში ტკბილის ალკოჰოლურ დუღილს დურდოზე, კლერტან ან კლერტის გარეშე, და მასთან ერთად დაყოვნებას ჰერმეტულად დახურულ პირობებში დაახლოებით 5–6 თვე. ასეთი ტიპის ღვინის უპირატესობა დიდწილად დამოკიდებულია სწორედ ქვევრზე. ის ქიმიური პროცესები, რომელიც მიმდინარეობს ქვევრში ღვინის დუღილისა და დაყენების დროს, განაპირობებს ქვევრის ღვინისთვის დამახასიათებელ გემოს, არომატს და გარეგნობას.

ქვევრის კიდევ ერთი მნიშვნელოვანი უპირატესობა არის ტემპერატურის შენარჩუნება, რაც ბუნებრივად ხდება, არ სცილდება შენახვის დადგენილ ზღვარს, და მხოლოდ რამდენიმე გრადუსით იცვლება. ტემპერატურულ რეჟიმს განსაკუთრებული უწადება ეთმობა არა მარტო შენახვისათვის, არამედ ის მნიშვნელოვანია ალკოჰოლური დუღილის პროცესის წარმართვისათვის [1].

ქვევრი, ღვინის შენახვის გარდა, მონაწილეობს დუღილის და დაღვინება-დავარებების პროცესში. ამ ჭურჭელში ღვინის დაყენებისას ღვინოში მიმდინარე ყაელა პროცესი ქრონოლოგიურად ბუნებრივად მიმდინარეობს, რასაც ქარხნულ პირობებში სხვადასხვა დანადგარები და ქიმიური დანამატები ესაჭიროება.

საკვლევ ობიექტად შერჩეულ იქნა ჩინურის, ცოლიკოურის და მანავის მწვანეს ევროპული წესით და ქვევრში დამზადებული ღვინოები (ღვინოები დამზადებულია კლერტის გარეშე, ბუნებრივ საფუვრებზე).

არსებობს ღვინის ფართო ასორტიმენტი, თუმცა არის ნივთიერებები, რომლებიც ცნობილია ყველა ტიპის ღვინოში. ისინი წარმოადგენენ ღვინის ძირითად ნივთიერებებს და გავლენას ახდენენ ღვინის ხარისხზე. ამ მიზნით კვლევის ფარგლებში განისაზღვრა ძირითადი ქიმიური პარამეტრები: ეთილის სპირტი, ტიტრული მჟავიანობა, მქროლავი მჟავიანობა, საერთო ექსტრაქტი, შაქრები, თავისუფალი SO₂, შეკავშირებული SO₂, წყალბადიონთა კონცენტრაცია (pH), ხვედრითი წონა. ერთმანეთს შედარდა ევროპული ტიპის და ქვევრის ღვინოები და გამოიკვეთა მათ შორის განსხვავებები. ღვინის ხარისხის შეფასებაში თითოეულ ამ პარამეტრს განსაკუთრებული მნიშვნელობა ენიჭება, ამიტომაც არის მათი განსაზღვრა მნიშვნელოვანი.

ექსპერიმენტი ჩატარდა საქართველოს ტექნიკური უნივერსიტეტის აგრარული მეცნიერებების და ბიოსისტემების ინჟინერინგის ფაკულტეტის ბაზაზე არსებულ ლაბორატორიაში. ქიმიური კვლევები განხორციელდა საქართველოში მოქმედი სტანდარტის შესაბამისად. თითოეული ცდა ჩატარდა 3-ჯერადი განმეორებით და აღებულ იქნა საშუალო მნიშვნელობა. ექსპერიმენტით მიღებული შედეგები მოცემულია ცხრილში.

ქვევრის და ეგროპული წესით დამზადებულ ღვინოებში ქიმიური პარამეტრების
მნიშვნელობები

ანალიზის სახეობა	ჩინური (ეგროპული)	ჩინური (ქვევრი)	ცოდნილობი (ეგროპული)	ცოდნილობი (ეგროპული)	განაგის მანგანეზი (ეგროპული)	განაგის უნგენერი
ეთილის სპირტი, (%)	11,6	12,18	11,11	12,26	10,62	12,18
ტიტრული მჟავიანობა, (გ/ლ)	4,99	5,07	8,01	4,85	4,34	5,14
მქროლაცი მჟავიანობა, (გ/ლ)	0,42	0,51	0,51	0,84	0,51	0,84
საკროო ექსტრაქტი	19,9	25,9	18,3	25,4	16,2	27,6
შაქრები, (გ/ლ)	1,8	2,4	0,6	1,95	0,78	2,01
თავისუფალი SO ₂ , (მგ/ლ)	13,39	8,96	8,96	10,24	17,92	10,24
შეკავშირებული SO ₂ , (მგ/ლ)	96	47,36	66,56	48,64	92,16	62,72
pH	3,22	3,47	2,9	3,77	3,35	3,92
ხვედრითი წონა	0,991	0,994	0,991	0,995	0,99	0,996

სპირტის შემცველობას დიდი მნიშვნელობა აქვს ღვინის ხარისხის განსაზღვრისათვის, განსაკუთრებით სუფრის ღვინისთვის. სპირტი წარმოიქმნება უურძნის წვენის ალკოჰოლური დუღილის დროს, შაქრის დაშლის შედეგად:

$C_6H_{12}O_6=2CO_2+2CH_3CH_2OH$. ეთილის სპირტი ნორმალური რაოდენობით აღიზიანებს უჯრედთა სისტემას და ზრდის ფერმენტების გამოყოფას ცოცხალ ორგანიზმში [2]. შაქრის კონცენტრაციის ზრდით ალკოჰოლის ანტისეპტიკური თვისება იზრდება. ეთანოლის შემცველობა მოქმედებს ღვინის შენახვის საკითხზეც. იცავს ღვინოს დაგადებებისგან. ღვინო, რომელიც ალკოჰოლის დაბალი მაჩვენებლით ხასიათდება ადვილად ავადდება საფურვებითა და ბაქტერიებით [3].

საქართველოს სუფრის ღვინოები სპირტს შეიცავს 10–13%-მდე, რაც დამოკიდებულია უურძნის შაქრიანობაზე. როგორც ცხრილის მონაცემებიდან ჩანს, ჩვენ მიერ შესწავლილ ღვინოებში ეთილის სპირტის შემცველობა ევროპული წესით დამზადებულ ღვინოებში მერყეობს 10,62–11,60 %-მდე, ხოლო ქვევრის ღვინოებში 12,18-დან 12,26 %-მდე, ევროპული ტიპის თეთრი ღვინოების შედარებით დაბალი სპირტიანობა განაპირობებს ღვინის სიმსუბუქეს, სინაზეს და ღვინო მეტად ხალისიანია. კახური ტიპის ღვინისთვის დამახასიათებელია სპირტის შედარებით მაღალი შემცველობა, რადგან უურძნი იკრიფება სრულ სიმწიფეში და ქვევრის ღვინოები დამზადებულია ჭაჭაზე დუღილით. როგორც წესი, კლერტსა და ღვინოს შორის ხდება წყლისა და ეთილალკოჰოლის ურთიერთმიმოცვლა, რაც იწვევს ჭაჭაზე დაგარგებული ღვინის განზავებას და ალკოჰოლის მოცულობითი წილის შემცირებას. რადგანაც ჩვენ ღვინოები დაგამზადეთ კლერტის გარეშე, მოსალოდნებლი იყო ეთილალკოჰოლის მეტი შემცველობა. მიღებული შედეგებით დგინდება, რომ ჩვენ მიერ გაანალიზებული ქავრის ღვინოები შედარებით მეტ ეთილალკოჰოლს შეიცავს, ვიდრე იმავე ჯიშის ევროპული ტიპის ღვინოები. სპირტიანობის უფრო დაბალი ან მაღალი შემცველობა არღვევს ღვინის ტიპურობას და შედარებით დაბალ შეფასებას იღებს [4]. ეთანოლი ღვინოს ძალას, სირბილეს და სითბოს მატებს. დაბალი კონცენტრაციის დროს აძლევს შედარებით მოტკბო გემოს და ითვლება როგორც შედარებით სუსტ ღვინოდ. მაღალი შემცველობა კი იწვევს მწველ გემოს, ღვინო ზედმეტად ძარღვიანი და ტლანქია.

ღვინის ხარისხის ერთ-ერთი მაჩვენებელია ტიტრული მჟავიანობა. საერთო მჟავიანობა შეადგენს ღვინოში არსებული მჟავების თავისუფალ მჟავა ფუნქციათა ჯამს [3]. სხვადასხვა ტიპის ღვინისთვის ის განსხვავდება და ძირითადად განპირობებულია უურძნის ჯიშებ, მევენახობისა და მეღვინეობის მეთოდებზე, ასევე

განსაზღვრავს გემურ თვისებებს. ტიტრული მუნიციპალიტეტი მნიშვნელოვანია დვინის გამძლეობის თვალსაზრისით, აუმჯობესებს შენახვის პროცესებს. აფერხებს მიკრო-ორგანიზმების გავრცელებას. დვინის ბიოქიმიური მდგრადობა განპირობებულია მუნიციპალიტეტით. მნიშვნელოვანია დვინის, ვაშლის და ლიმონის მუნიციპალიტეტი ტერიტორიაზე გადმოდის დვინოში. მათი რაოდენობა მცირდება ალკოჰოლური დუღილის და დვინის დამუშავების და შენახვის პროცესში. დვინო, რომელიც დარიბი მუნიციპალიტეტით ადგილად ავადდება და მოსალოდნელია დეგრადაცია შედარებით ადრე. დაბალმუნიციპალიტეტი და დუნეა, ხოლო ზედმეტად მაღალმუნიციპალიტეტი აგრესიულად ითვლება, ნორმალურ ზედვრებში კი დვინოს ანიჭებს სიხალისეს. გარდა ზემოთ ჩამოთვლილი მუნიციპალიტეტისა, ალკოჰოლური დუღილის დროს წარმოიქმნება რძის მუნიციპალიტეტი. ტიტრული მუნიციპალიტეტი სუფრის დვინოებში და მუნიციპალიტეტი გადაანგარიშებით მერყეობს 4–9 გ/ლ-მდე. როგორც ცხრილის მონაცემებიდან ჩანს, ჩვენ მიერ შესწავლილ ნიმუშებში ევროპული ტიპის დვინოებში ტიტრული მუნიციპალიტეტი და დვინომუნიციპალიტეტი გადაანგარიშებით მერყეობს 4,34–8,01 გ/ლ, ხოლო ქვევრის დვინოებისთვის 4,85–5,15 გ/ლ.

მქროლავი მუნიციპალიტეტი წარმოადგენს დვინოში არსებული მცირე რაოდენობით მმარმუნავას რიგის ცხიმოვანი მუნიციპალიტეტის ერთობლიობას [3]. ამ ჯგუფის მუნიციპალიტეტი და გენერაციული მუნიციპალიტეტის განვითარების სამართლებრივი მუნიციპალიტეტი არის მმრის მუნიციპალიტეტი. რაც დვინოში დიდი რაოდენობით განვითარება. ეს მუნიციპალიტეტი განვითარება ალკოჰოლური დუღილის დროს საფურვების და სხვა ორგანიზმების მიერ. მათი რაოდენობა შესაძლებელია მოიმატოს დვინის შენახვის დროს.

თეთრ დვინოში მქროლავი მუნიციპალიტეტი არ უნდა აღემატებოდეს 1,0 გ/ლ-ს. როგორც ცხრილის მონაცემებიდან ჩანს, ჩვენ მიერ გამოკვლეულ დვინოებში მქროლავი მუნიციპალიტეტი მერყეობს შემდეგ ზედვრებში: ევროპული ტიპის დვინოებში 0,42–0,51 გ/ლ, ხოლო ქვევრის დვინოებში მერყეობს 0,51–0,84 გ/ლ-მდე. მქროლავი მუნიციპალიტეტი შემცველობა ქვევრის დვინოებში მცირდით, მაგრამ მაინც მეტია ევროპული ტიპის დვინოსთან შედარებით, რაც განაპირობებულია იმით, რომ ქვევრის დვინოები მდიდარია შემადგენელი ნივთიერებების მეტი რაოდენობით, თუმცა მქროლავი მუნიციპალიტეტი ამ ოდენობით შემცველობა არ იწვევს დვინის გემოვნურ თვისებებზე ზეგავლენას [4].

სუფრის დვინოებში საერთო ექსტრაქტი მერყეობს 12–30 გ/ლ. გამოკვლეულ, ევროპული ტიპის დვინოებში საერთო ექსტრაქტი არის 16,2–19,9 გ/ლ-ის ფარგლებში, ხოლო ქვევრის დვინოებში 16,2–25,9 გ/ლ-მდე. საერთო ექსტრაქტის მაღალი შემცველობა და დამატებულია უჭაჭოდ ის ნაკლები რაოდენობით შეიცავს ექსტრეტოვან ნივთიერებებს. ქვევრის დვინო კი უფრო სხეულიანია, ჭაჭაზეა დაუკავშირდებული და მეტი ექსტრაქტოვან ნივთიერებებს შეიცავს. დვინის ექსტრაქტზე გავლენას ახდენს ეკოლოგიური პირობები იმ ადგილისა, სადაც უურებენ დაიკრიფა, ასევე დვინის დაყენების ტექნიკაზე და შენახვის პირობებზე. ექსტრაქტი გავლენას ახდენს დვინის შინაარსზე, სხეულზე, პარმონიულობაზე და სხვ.

შაქრების შემცველობა დვინოები განსაზღვრავს დვინის ტიპს. სუფრის თეთრი დვინოებისთვის ოპტიმალურ შაქრიანობად მიჩნეულია 18–20%. რაც მაღალია ტერიტორიული განაპირობებები გემოს სისრულეს და სირბილეს. ჩვენ მიერ გამოკვლეულ ევროპული ტიპის დვინოებში მერყეობდა 0,6–1,8 გ/ლ, ქვევრის დვინოებში კი 1,95–2,4 გ/ლ.

სულფიტაციის არის გოგირდის დიოქსიდის გარეგული რაოდენობის შეტანა დვინოში, რომლის მიზანია დაღვინების პროცესი წარიმართოს კარგად და უზრუნველყოს შენახვის პირობები. SO₂ ანტისეპტიკია, ხასიათდება ანტიოქსიდაზური ანტიოქსიდანტური თვისებებით, უზრუნველყოფს ხელის შემშლელი მავნე მიკროორგანიზმების დათრგუნვას ალკოჰოლური დუღილის ხორმალურად წარმართვისათვის, მოქმედებს მიკროორგანიზმების სხვადასხვა ფუნქციაზე, მაღალი დოზით მთლიანად სპობს მათ, თუმცა მისი გამოყენებისას სიფრთხილე უნდა გამოვიჩინოთ, რადგან მაღალი დოზით ტოქსიკურია [3]. ევროპული ტიპის დვინოებში თავისუფალი SO₂ მერყეობს

8,96–17,92 მგ/ლ, შეკავშირებული SO_2 66,56–96,0მგ/ლ, ქვევრის დვინოებში თავისუფალი SO_2 მერყეობს 8,96–10,24 მგ/ლ, შეკავშირებული SO_2 47,36–62,72 მგ/ლ.

pH დვინის მნიშვნელოვანი მაჩვენებელია, რადგან ის განსაზღვრავს დვინის სტაბილურობას. წყალბადიონთა კონცენტრაცია დვინოში დაავადებათა წინააღმდეგ ბრძოლის უნარიანობის მაჩვენებელიცაა. მისი შემცველობა დვინოში დამოკიდებულია საერთო მეავიანობაზე, განსაკუთრებით კი დვინის მეავაზე. ევროპული ტიპის დვინისთვის pH-ის მნიშვნელობა მერყეობს 3,41–3,60, ხოლო კახური ტიპის თეთრი დვინოებისთვის დამახასიათებელია 3,51–3,70. გამოკვლეულ ევროპული ტიპის დვინოებში pH არის 2,9–3,35; ხოლო კახური ტიპის დვინოებში 3,47–3,92. pH-ის მაღალი შემცველობა შეიძლება აისხას დვინოებში მაღალი მეავიანობის მაჩვენებლით.

დვინის ხარისხში ასევე მნიშვნელოვანია ხვედრითი წონა. ხვედრითი წონის რაოდენობა განპირობებულია უურძნის ჯიშზე, დვინის შედგენილობაზე, დაყენების წესზე, ასაგზე და სხვა. ევროპული ტიპის დვინის ხვედრითი წონა შედარებით მცირეა ქვევრის დვინოებთან შედარებით. ხვედრითი წონის სიმცირე განპირობებულია დვინის დაყენების ტექნოლოგიაზე, რომლის დროსაც დაყენება ხდება უჭაჭოდ, რის გამოც ნაკლებად შეიცავენ ექსტრაქტოვან ნივთიერებებს, ვიდრე ჭაჭაზე დადუღებული დვინოები. როგორც ლიტერატურიდანაა ცნობილი, თეთრ დვინოებთან შედარებით წითელი დვინის ხვედრითი წონა უფრო მეტია, რაც განპირობებულია საღებავ ნივთიერებათა შემცველობით. გამოკვლეულ ევროპული ტიპის დვინოებში ხვედრითი წონა მერყეობს 0,990–0,991-მდე, ხოლო ქვევრის დვინოებში 0,994–0,996-მდე.

ჩატარებული ქიმიური მახასიათებლების განსაზღვრით დადასტურდა, რომ ჩვენ მიერ შერჩეული ვაზის ჯიშებიდან ქვევრის და ევროპული წესით დამზადებულ დვინოებს გააჩნია მაღალხარისხის ხვევრისთვის დამახასითებელი ქიმიური და ორგანოლებრივური თვისებები.

ლიტერატურა

1. ულრის მერცი, იაგო ბიტარიშვილი, ფრანც რეგნერი, მარტინ დარტინგი, იოპანეს ბურგარტი, იქნ პეტროლდი, ბერტ პოლდზაიტცი. ქვევრის დვინის იდენტობა. საქართველოს ქვევრის დვინის კლასტერის წევრების პრაქტიკის მაგალითზე. თბილისი, 2017, 3-31 გვ.
2. კოლებ ნაგარი, ფრანსუაზ ლანგლადი. ენოლოგია. 2004, 7-10, 134-148, 189-206 გვ.
3. ს. ვ. დურმიშიძე. ენოქიმია. თბილისი, განათლება, 1970, გვ. 183–213.
4. შ. შათორიშვილი. მედვინეობა, თბილისი, საქ. სახ. აგრარული უნივერსიტეტი, 2005, 169 გვ.

SUMMARY

DETERMINATION OF CHEMICAL PARAMETERS IN „QVEVRI“ AND EUROPEAN RECIPE GEORGIAN WINES

Sordia E.K. and Kvartskhava G.R.

Georgian Technical University

As part of the study, Chinuri, Tsolikouri, Manavi greens and „Qvevri wines“ were selected according to European recipe. The main chemical parameters were determined in the wines: ethyl alcohol, titratable acidity, volatile acidity, total extract, sugars, free SO_2 , bound SO_2 , pH, specific weight. European and qvevri wines were compared and the differences between them were revealed. Each of these parameters is of particular importance in the evaluation of wine quality.

Keywords: qvevri, wine, chemical parameters.

**შგვმრის და მცროკული ფასით დამზადებულ ქართულ ღვინოების სამრთო
ზენოლების და ანტიოქსიდანტობის შესრულება**

სორდია ე.პ.

საქართველოს ტექნიკური უნივერსიტეტი

დვინის დამზადებას განსაკუთრებული ადგილი უჭირავს არამარტო საქართველოში, არამედ მთელ მსოფლიოში. დიდი მნიშვნელობა აქვს მაღალხარისხიანი ღვინის წარმოებას და ასორტიმენტის ზრდას. ყურძნის შედგენილობის, მისი ტექნოლოგიური გადამუშავების ხასიათის და სხვა მრავალი ფაქტორების ცვლილებების შესაბამისად ღვინომასალები მკეთრად განსხვავდებიან ერთმანეთისაგან ფერის, გემოს, გამჭვირვალობის, სტაბილურობის და სხვა ხარისხობრივი მაჩვენებლებით.

დღითოდღე უფრო პოპულარული ხდება ქვევრის ღვინო, როგორც საქართველოში, ასევე მის ფარგლებს გარეთ. ქვევრის ღვინოები ევროპული წესით დამზადებული ღვინოებისგან გამოირჩევიან ფერით, გემოთი და სხვა მაჩვენებლებით. ამიტომ მნიშვნელოვანია იმ განსხვავებების დაფიქსირება, რითაც გამოირჩევა ქვევრის ღვინო სხვა ტექნოლოგიით დამზადებული ღვინოებისაგან.

დვინის ხარისხის შეფასებაში მნიშვნელოვანი როლი ენიჭება ფენოლურ ნივთიერებებს. ფენოლური ნივთიერებები განიცდიან სხვადასხვა გარდაქმნას, აქტიურად ზემოქმედებენ ღვინის ტიპიურ ოვისებებზე: გემოზე, არომატზე, ფერზე და გამჭვირვალობაზე და დიდ გავლენას ახდენენ მათ ფორმირებაში. ფენოლური ნივთიერებები მონაწილეობას დებულობენ ღვინის დამზადება-შენახვის ყველა ეტაპზე მიმდინარე როლი ბიოქიმიური პროცესების წარმართვაში [1].

ჩვენი კვლევის მიზანს წარმოადგენდა ღვინოების საერთო ფენოლური ნივთიერებების განსაზღვრა და იმ განსხვავების დაფიქსირება, რითაც გამოირჩევიან ქვევრის ღვინოები ევროპული წესით დამზადებული ღვინოებისგან.

საკვლევ ობიექტად შერჩეულ იქნა ჩინურის, ცოლიკოურის და მანავის მწვანეს ევროპული წესით და ქვევრში დამზადებული ღვინოები (ღვინოები დამზადებულია კლერტის გარეშე, ბუნებრივ საფუვერებზე). ექსპერიმენტული კვლევები ჩატარებულ იქნა საქართველოს ტექნიკური უნივერსიტეტის აგრარული მეცნიერებების და ბიოსიტემების ინიციენტინგის ფაკულტეტზე არსებულ ლაბორატორიაში. კვლევის ფარგლებში განისაზღვრა საერთო ფენოლური ნივთიერებების შემცველობა, ასევე ტანინები და ანტიოქსიდანტობა. ამ პარამეტრებით ქვევრის ღვინოები შედარდა იმავე ჯიშის ევროპული წესით დამზადებულ ღვინოებს.

საანალიზო ღვინოებში საერთო ფენოლური ნივთიერებები განისაზღვრა საექტროფოტომეტრული მეთოდით, ფოლინ-ჩოკალტეუს რეაქტივის გამოყენებით. დამზადდა ფენოლების საკალიბრო ხსნარი გალის მეავას გამოყენებით. ლურჯი ფერის ინტენსივობა გაზომილ იქნა 760 ნმ-ზე FIBER OPTIC SPECTROMETER CECIL CE9500 AQUARIUS-ის საექტროფოტომეტრზე. ღვინის ნიმუშებში არსებული საერთო ფენოლური ნივთიერებების კონცენტრაცია განისაზღვრა საკალიბრო ხსნარის ოპტიკურ სიმკვრივესთან შედარებით. შედეგები მოყვანილია ცხრ. 1-ში.

ცხრილი 1. ღვინოებში საერთო ფენოლური ნივთიერებების შემცველობა

№	საანალიზო ღვინო	საერთო ფენოლური ნივთიერებები, მგ/ლ
1	ჩინური (ევროპული წესით დამზადებული)	212,2
2	ჩინური (ქვევრში დამზადებული)	2003,5
3	ცოლიკოური (ევროპული წესით დამზადებული)	214,9
4	ცოლიკოური (ქვევრში დამზადებული)	1779
5	მანავის მწვანე (ევროპული წესით დამზადებული)	250,2
6	მანავის მწვანე (ქვევრში დამზადებული)	2051,0

საერთო ფენოლური ნივთიერებების გარდა ღვინოში მნიშვნელოვანია ტანინების განსაზღვრა. უმეტეს შემთხვევებში, ახალგაზრდა ღვინოებს ახასიათებთ ტანინის დაუჯანგავი ფორმების მაღალი შემცველობა, ისინი რეაქციაში შედიან პირის ღრუში არსებულ ცილებთან, კარგავენ ცხიმოვან თვისებებს, რაც იწვევს პირის გამოშრობის შეგრძენებას – სიმწყლარტეს. თუ გემო ზედმეტად არის გამოხატული, ის არასასიამოვნოა. სიმწყლარტის შეგრძენება დამოკიდებულია ტანინების რაოდენობაზე. წიწვის ტანინები განაპირობებენ ღვინის სტრუქტურასა და სხეულს, ხოლო კანის ტანინები ღვინის სირბილესა და ხავერდოვნებაში დებულობენ მონაწილეობას. ღვინოების დავარგებისას ტანინების დაუჯანგის შედეგად მათი გემო ხდება უფრო რბილი, ხავერდოვანი ელფერით. ისინი უაღრესად მნიშვნელოვან როლს ასრულებენ ქანგვა-აღდგენით პროცესებში კახური ტიპის ღვინის დამზადებისას. ტანინის განსაკუთხებული როლი აქვს დაძველებული ღვინის შეფერვაში, რომელიც პრაქტიკულად არ შეიცავს ანტოციანებს [1].

ადსანიშნავია, რომ ჩვენ კვლევაში წარმოდგენილი საანალიზო ქვევრის ღვინოები დამზადებულია კლერტის გარეშე, რაც კიდევ უფრო საინტერესოს ხდის მათ ამ კუთხით.

ღვინოში ტანინები განისაზღვრა პერმანგანატის საშუალებით ტიტრაციული მეთოდით. შედეგები მოცემულია ცხრ. 2-ში.

ცხრილი 2. ტანინების შემცველობა საანალიზო ღვინოებში

№	საანალიზო ღვინო	ტანინები, გ/ლ
1	ჩინური (ევროპული წესით დამზადებული)	0,204
2	ჩინური (ქავერში დამზადებული)	1,77
3	ცოლიკოური (ევროპული წესით დამზადებული)	0,216
4	ცოლიკოური (ქავერში დამზადებული)	1,812
5	მანავის მწვანე (ევროპული წესით დამზადებული)	0,204
6	მანავის მწვანე (ქავერში დამზადებული)	2,37

ფენოლური ნივთიერებები ხასიათდებიან ანტიოქსიდანტებით, ამიტომ საერთო ფენოლების კონცენტრაცია პირდაპირ კავშირშია ანტიოქსიდანტურ აქტივობასთან. დღესდღეობით იზრდება ინტერესი ანტიოქსიდანტების მიმართ, განსაკუთრებით მათი, რომლებიც შექმნილია ადამიანის ორგანიზმში თავისუფალი რადიკალების საგარაულო მავნე ზემოქმედების თავიდან ასაცილებლად, აგრეთვე ცხიმის და საკვების სხვა შემადგენელი ნაწილის გაუარესების მიმართ [2].

ანტიოქსიდანტებმა მნიშვნელოვანი უურადდება მიიპყრეს რადიკალებისა და ჟანგვითი სტრესის, კიბოს პროფილაქტიკისა და მკურნალობის შერიც. მათი საშუალებით ხდება უჯრედების ბუნებრივი გზით დაცვა უანგბადის აქტიური ფორმების ზემოქმედებისგან. სხეული ბუნებრივად ახდენს სხვადასხვა საკვები ნივთიერებების ცირკულირებას მათი ანტიოქსიდანტური თვისებების გამოსაყენებლად და წარმოქმნის ანტიოქსიდანტურ ენზიმებს ამ დამანგრეველი ჯაჭვური რეაქციების საკონტროლოდ. მნიშვნელოვანია ისეთი პროდუქტების მიღება, რომლებიც მეტი ანტიოქსიდანტური აქტივობით გამოირჩევიან, მაგალითად, ფენოლური ნაერთები, რომლის წარმოქმნაც ადამიანის ორგანიზმს არ შეუძლია. ვაზის ყველა ნაწილი, ფესვი, ღერო, ფოთოლი, მტევანი მდიდარია ფენოლური ნაერთებით და ხასიათდება ანტიოქსიდანტური თვისებებით [3].

ჯამური ანტიოქსიდანტების კონცენტრაციის განსასაზღვრავად გამოყენებულ იქნა FRAP მეთოდი. საქეტროფოტოტომეტრის მეშვეობით განისაზღვრა შთანთქმის ინტენსივობის ცვლილება, რომელიც მიმდინარეობს რკინის სამვალენტიანი იონების (TPTZ-Fe^{3+}) აღდგენით ორგალენტიან იონებად (TPTZ-Fe^{2+}) ანტიოქსიდანტების თანაბისას. ანტიოქსიდანტური აქტივობა გამოისახება ასკორბინის მჟავას რაოდენობრივ აქცივალენტებში. საკონტროლოდ გამოყენებულ იქნა ბუფერული ხსნარი, შესადარებლად კი ასკორბინის მჟავა. ცხრ. 3-ში მოცემულია ანტიოქსიდანტური აქტივობის აქცივალენტი მილიგრამებში, ასკორბინის მჟავაზე გადაანგარიშებით.

ცხრილი 3. ანტიოქსიდანტების განსაზღვრა საანალიზო დვინოებში

№	საანალიზო დვინო	ანტიოქსიდანტება, მგ/ლ
1	ჩინური (გეროპული წესით დამზადებული)	149,28
2	ჩინური (ქვევრში დამზადებული)	2239,19
3	ცოლიკოური (ევროპული წესით დამზადებული)	149,28
4	ცოლიკოური (ქვევრში დამზადებული)	2545,21
5	მანავის მწვანე (ევროპული წესით დამზადებული)	111,95
6	მანავის მწვანე (ქვევრში დამზადებული)	2935,0

როგორც ცხრ. 1-ის მონაცემებიდან ჩანს, ქვევრის დვინოები გამოირჩევა საერთო ფენოლების მაღალი შემცველობით. ჩინურის ევროპული წესით დამზადებულ დვინოში საერთო ფენოლები 212,2 მგ/ლ-ია, როცა იმავე ჯიშის ყურძნის ქვევრის დვინოში ეს რიცხვი 2003,5 მგ/ლ-ს აღწევს. მსგავსი განსხვავება შეიმჩნევა ასევე ცოლიკოურის და მანავის მწვანეს დვინოებში. ცოლიკოურის ევროპული წესით დამზადებულ დვინოში საერთო ფენოლები 214 მგ/ლ-ია, ხოლო ქვევრის დვინოში 1779 მგ/ლ. მანავის მწვანეს ევროპულად დამზადებულ დვინოში 250,2 მგ/ლ-ია, ქვევრის დვინოში 2051,0 მგ/ლ.

ასევე შეიმჩნევა განსხვავებები ტანინის შემცველობაშიც. მიუხედავად იმისა, რომ ქვევრის დვინოები დამზადებულია კლერტის გარეშე, ევროპული წესით დამზადებულ დვინოებით, ტანინის მაღალი შემცველობით გამოირჩევა. როგორც ცხრ. 2-ის მონაცემებიდან ჩანს, ჩინურის ევროპული წესით დამზადებულ დვინოში ტანინების შემცველობა 0,204 გ/ლ-ია, ქვევრის დვინოში 1,77 გ/ლ. ცოლიკოურის ევროპული წესით დამზადებულ დვინოში 0,216 გ/ლ, ქვევრის დვინოში კი 1,812 გ/ლ. მანავის მწვანეს ევროპულად დამზადებულ დვინოში 0,204 გ/ლ, ხოლო იმავე ჯიშის ყურძნის ქვევრის დვინოში 2,37 გ/ლ.

როგორც ესაკერიმენტებმა აჩვენა, დაფიქსირდა მჭიდრო კავშირი ფენოლური ნივთიერებების რაოდენობასა და ანტიოქსიდანტები თვისებების მქონე ნაერთების რაოდენობას შორის. დვინოები, რომლებიც ხასიათდებიან საერთო ფენოლების მაღალი მნიშვნელობით, ასევე გამოირჩევიან მაღალი ანტიოქსიდანტები აქტივობით. ცხრ. 3-ის მონაცემებიდან ჩანს, რომ ჩინურის, ცოლიკოურის და მანავის მწვანეს ქვევრში დამზადებულ დვინოებში მათი რაოდენობა მერყეობს 111,95–2935 მგ/ლ-მდე.

გამოგრაფიული მდებარეობა, კლიმატი, ნიადაგის ტიპი, ყურძნის ჯიში, ვაზის ზრდის გარემო ფაქტორები და დამუშავების ტექნოლოგია განსაზღვრავს დვინის ფიზიკურ-ქიმიურ მახასიათებლებს შორის განსხვავებას. ასევე მნიშვნელოვანი ფაქტორია ჭურჭელი რომელშიც მზადდება დვინო. ქვევრს, დვინის სხვა ჭურჭელთან შედარებით, მნიშვნელოვანი უპირატესობები გააჩნია. ის გავლენას ახდენს დვინის ჩამოყალიბებაში, მონაწილეობს დუღილისა თუ დაღვინება-დავარგების პროცესში. ქვევრში ტემპერატურული რეჟიმი ბუნებრივად არის დაცული და შენახვის დადგენილ ზღვარს არ სცილდება და იგი ზამთარსა და ზაფხულში მცირედ იცვლება. ტემპერატურულ რეჟიმს არა მარტო დვინის შენახვისათვის, არამედ ალკოჰოლური დუღილის პროცესისთვისაც ძალზე დიდი მნიშვნელობა აქვს.

ქვევრის გარშემო არსებული ნიადაგი იმ მიკროკლიმატს ქმნის, რომელიც ქვევრზე ახდენს ზეგავლენას. რაც უფრო მეტად იძლევა ნიადაგი აერაციის საშუალებას, მით უფრო უკეთესია ქვევრის სისუფთავისთვის. ქვევრში დვინის მორევისას დვინო მდიდრდება უანგბადით, შესაბამისად იცვლება დვინის ფერი და განსხვავდება შესაბამისი ჯიშის ევროპული წესით დამზადებული დვინისგან. ჩინურის ევროპული ტიპის დვინო არის ღია ჩალისფერი, ქვევრის დვინო კი მუქი ფერისაა. ცოლიკოურის ევროპულად დაყენებული დვინო გამჭვირვალე, მკრთალი მოყვითალობალისფერია, ქვევრის დვინო კი შედარებით მუქი ჩალისფერი. მანავის მწვანეს ევროპული წესით დამზადებული დვინო მომწვანო ღია ჩალისფერია, აქვს ხალისიანი, ნაზი, ჰარმონიული გემო. კახური წესით დამზადებული დვინო კი მუქი ჩაისფერია, იგი უფრო სრული, მდიდარი დვინოა, არომატი უფრო ძლიერი და სასიამოვნო აქვს.

ქვევრში მორევის პროცესი მიმდინარეობს დღე-ღამეში 4–5-ჯერ, რაც ხელს უწყობს ექსტრაქციას. დაჭყლეტილ მასაზე (კანი, წიპტა, რბილობი) ზემოქმედება ებმარება მაცერაციას და ღვინო მდიდრდება ფენოლური ნაერთებით. როგორც ქიმიურმა ანალიზებმა აჩვენა, საერთო ფენოლების შემცველობა ქვევრის ღვინოში ბევრად მეტია იმავე ჯიშის ევროპული წესით დამზადებულ ღვინოებში. ღვინის გამდიდრებას ფენოლური ნაერთებით ასევე ხელს უწყობს ქვევრში ღვინის ხანგრძლივი პერიოდით დაყოვნება, რადგან რამდენიმე თვის განმავლობაში ქვევრში არსებული წიპტა და კანი ამდიდრებს ღვინოს, როგორც ფენოლური ნაერთებით, ასევე ანტიოქსიდანტებით.

ფენოლური ნაერთების შემცველობით და ასევე ანტიოქსიდანტებით განსაკუთრებით მდიდარია წითელი ღვინოები. ჩარის, გალანაკის, კოტანიდის, დიანელოუს, გეკას სტატიაში შედარებულია კვიპროსის 12 სხვადასხვა ღვინო. 11 წითელ და 1 თეთრ ღვინოში გაანალიზებულია საერთო ფენოლები. თეთრ ღვინოში საერთო ფენოლები 208 მგ/ლ-ს შეადგენს, ხოლო წითელ ღვინოებში მერყეობს 973–1979 მგ/ლ-ის ფარგლებში. ამ მონაცემებთან შედარებით, ჩვენ ექსპერიმენტში გაანალიზებული თეთრი ღვინოები, თაგინი მნიშვნელობებით, აჭარბებს საერთო ფენოლების შემცველობით კვიპროსის წითელ ღვინოებს. როგორც ცხრ. 1-ის მონაცემებიდან ჩანს ქვევრის თეთრ ღვინოებში მათი მნიშვნელობა მერყეობს 1779–2051,0 მგ/ლ-მდე [4].

საკვლევი თეთრი ღვინოები შევადარეთ საბერძნეთის წითელ ღვინოებს. გოუგულიასის, პაპაჩატზის, კალორიზოუს, შოულიერის მიერ გაანალიზებულია საბერძნეთის 16 წითელი ღვინო. როგორც სტატიაშია მოყვანილი ღვინოებში საერთო ფენოლური ნივთიერებები მერყეობს 1360–3970 მგ/ლ-ის ფარგლებში. ამ კონკრეტულ შემთხვევაში, ჩვენ მიერ გამოკვლეული თეთრი ღვინოები, საერთო ფენოლური ნივთიერებების შემცველობით, თამამად შეიძლება დავაყენოთ წითელი ღვინოების გვერდით [5].

ღვინოები შევადარეთ ასევე ბრაზილიის, კერძოდ, Rio Grande De Sul-ის წითელ ღვინოებსაც. კარლოს ეუგენიო დაუდტის, ალინე დე ოლივიერა ფოგაცას სტატიაში გაანალიზებულია საერთო ფენოლური ნივთიერებების შემცველობა და წითელ ღვინოებში მერყეობს 1552–2792 მგ/ლ-მდე. ამ შემთხვევაშიც ჩვენი ქვევრის თეთრი ღვინოები მნიშვნელოვან ადგილს იკავებს წითელი ღვინოების გვერდით [6], არ ჩამოუვარდება ასევე ჩინეთის Cabernet Sauvignon-ის და Merlot-ის წითელ ღვინოებს. ბაო ჯიანგის, უენ-ვენ ჟანგის მიერ გამოკვლეულ ღვინოებში საერთო ფენოლური ნივთიერებების შემცველობა 860,2–2710,4 მგ/ლ-ს შეადგენს. ჩვენს ღვინოებში კი მერყეობს 1779–2051,0 მგ/ლ-მდე [7].

საერთო ფენოლური ნივთიერებების მაღალი შემცველობით გამოირჩევა ასევე ქართული ყურძნის ჯიშისგან დამზადებული ღვინო საფერავი. ლიტერატურული მონაცემების მიხედვით, საფერავის ქვევრის ღვინოში საერთო ფენოლური ნივთიერებები 1121 მგ/ლ შეადგენს [8]. ამ მნიშვნელობას არ ჩამორჩება ჩვენ მიერ გაანალიზებული თეთრი ღვინოები, პირიქით, აჭარბებს კიდეც, ცოლიკოურის ქვევრის ღვინოში საერთო ფენოლური ნივთიერებები შეადგენს – 1779 მგ/ლ-ს, ჩინურის ქვევრის ღვინოში – 2003,5 მგ/ლ-ს, ხოლო მანავის მწვანეს შემთხვევაში ქვევრის ღვინოში საერთო ფენოლების შემცველობა 2051,0 მგ/ლ შეადგინა.

მიღებული შედეგების და ასევე ლიტერატურული მონაცემების შედარების საფუძველზე შეიძლება ითქვას, რომ ჩვენ მიერ გამოკვლეული, თეთრი ყურძნისგან დამზადებული ქვევრის ღვინოები გამოირჩევიან საერთო ფენოლების მაღალი შემცველობით და ახასიათებთ მაღალი ანტიოქსიდანტური მოქმედება.

შესაბამისად სწორად დაგეგმილი მარკეტინგის შემთხვევაში ქვევრში დამზადებულ ქართულ თეთრ ღვინოებს დიდი პოტენციალი აქვთ საერთაშორისო ღვინის ბაზარზე.

ლიტერატურა

1. ებედაშვილი ნანა. ბიოლოგიურად აქტიური ნივთიერებების გამოკვლევა ვარდისფერი და ცქრიალა ღვინოების დამზადების პროცესში მათი ტექნოლოგიების სრულყოფის მიზნით. 2006, 25-30 გვ.
2. Aurelia Magdalena Pisoschi, Gheorghe Petre Negulescu. Methods for Total Antioxidant Activity Determination. 2011, 1-6 pp.
3. Deepshikha Gupta. Methods for determination of antioxidant capacity. 2015, 546-566 pp.
4. Charis M. Galanakis, Anestis Kotanidis, Maria Dianellou, Vassilis Gekas. Phenolic Content and Antioxidant Capacity of Cypriot Wines. 2015, 126-136 pp.
5. Gougoulias N., Papachatzis A., Kalorizou H., Chouliara A., Chouliaras N. STUDIES OF TOTAL PHENOL CONTENTS, ANTHOCYANS AND ANTIOXIDANT ACTIVITY OF SOME GREEK RED WINES. 2010, 269-274 pp.
6. Carlos Eugenio Daudt, Aline de Oliveira Fogaca. Phenolic compounds in Merlot wines from two wine regions of Rio Grande do Sul, Brazil, 2013, 355-359 pp.
7. Bao Jiang, Zhen-Wen Zhang. Comparison on Phenolic Compounds and Antioxidant Properties of Cabernet Sauvignon and Merlot Wines from Four WineGrape-Growing Regions in China. 2012, 8804-8819 pp.
8. Kekelidze N, Kekelidze T, Akhalbedashvili L, Maisuradze G, Kvirkvelia B, Tsotadze G, Mskhiladze A, Lipartiani V. and Jalaghania S. The content of antioxidants - Phenolic compounds, in red winesof Georgia "Kindzmarauli" and "Saperavi", 2018, pp.18-23.

SUMMARY

STUDY OF TOTAL PHENOLS AND ANTIOXIDANTS IN „QVEVRI“ AND EUROPEAN RECIPE GEORGIAN WINES

Sordia E.K.

Georgian Technical University

Wine is an important product that requires to be constantly supplied in high quality. As part of the study, Chinuri, Tsolikouri, Manavi greens and „Qvevri wines“ were selected according to traditional standard methods. The content of the total phenols as well as tannins and antioxidants have been determined. With these parameters „Qvevri wines“ have been compared to the same variety wines made by standard methods. According to the results obtained, it can be deduced that the „Qvevri wines“, made from the white grapes, are characterized by high content of total phenols and by a high antioxidant action.

Keywords: georgian wine, qvevri wine, total phenol, antioxidant activity.

ღვინის არომატული ნაერთები

მახვილაძე თ.გ.

საქართველოს ტექნიკური უნივერსიტეტი

შესავალი

სენსორული მახასიათებლიდან, ღვინის ხარისხის განმსაზღვრელი მნიშვნელოვანია ფაქტორია მისი არომატი, რომელიც ერთ-ერთ მნიშვნელოვან როლს ასრულებს მომხმარებლის მიერ ღვინის შესყიდვის პროცესში [1].

ღვინის არომატი წარმოიქმნება არასტაბილური ნაერთების მრავალფეროვანი ჯგუფების ერთობლივი მოქმედებით. ღვინის ბუქეტის ათასამდე სხვადასხვა არასტაბილური ნაერთია შესწავლილი, რომელთა კონცენტრაციაც რამდენიმე ნანოგრამიდან მილიგრამ/ლიტრამდე მერყეობს [2,3]. *Vitis vinifera*-ს ჯიშები მათი არომატულობიდან გამომდინარე არსებობს მარტივი არომატების (რომლებიც არ ხასიათდებიან გამორჩეული არომატით) და არომატული ჯიშების ჯგუფები (რომლებიც თავისუფალი არომატული ნაერთების მცირე რაოდენობით (ნგ/ლ) შემცველობით ხასიათდებიან) [4].

ბოლო პერიოდში შეიცვალა მომხმარებელთა მიღვომა ღვინის შესყიდვისას, ყურადღება ექცევა ღვინის ჯანმრთელობის მახასიათებლისა და სენსორული კმაყოფილების მიმართულებების. სწორედ ამიტომ, მნიშვნელოვანი ხდება ღვინის ფერმენტაციის ახალი გზების ძიება, რომელიც გააძლიერებს და გამოავლენს ღვინის ახალ, განსხვავებულ ბუკეტს. თანამედროვე მომხმარებლების ამ გამოწვევისას, განსაკუთრებით საყურადღებოა რა გავლენას ახდენს ქართული ყურძნის ჯიშებზე ღვინის დამზადების მეთოდები, რომლებიც უნიკალურია და მნიშვნელოვან გავლენას ახდენს ღვინის ქიმიურ შემადგენლობაზე. საქართველოში გავრცელებულია ღვინის დამზადების რამდენიმე მეთოდი: „კახური წესი“, „იმერული წესი“ და „ევროპული წესი“. ღვინის დუღილის და დაგარგების ამ განსხვავებული მეთოდების დროს ხდება ღვინის თავისებური მახასიათებლების ჩამოყალიბება, რომელთა შედარებითი კვლევა არის მნიშვნელოვანი [4-6].

ღვინის არომატის წარმოქნელი არამდგრადი ნაერთების დასადგენად შესწავლილი იქნა რამდენიმე ბიბლიოგრაფიული მონაცემის ბაზა.

ღვინის ყველა არომატი კლასიფიცირდება ოთხ ძირითად ჯგუფად:

1. ვერტიკალური არომატები
2. ალკოჰოლურ დუღილამდე წარმოქმნილი არომატები
3. ალკოჰოლური დუღილის დროს წარმოქმნილი არომატები
4. ალკოჰოლური დუღილის შემდეგ (მომწიფებისას) წარმოქნილი არომატები [7].

1. ღვინის ვერტიკალური არომატების ერთ-ერთი ყველაზე მთავარი კომპონენტია ტერპენები, რომლებიც მიეკუთვნება მცენარეებში ფართოდ გავრცელებული ორგანული ნაერთების დიდ ოჯახს [8]. არომატის წარმოქნელი ნაერთების ამ დიდ კლასს შორის მნიშვნელოვანი ჯგუფებია მონოტერპენები, სესკვიტერპენები და კაროტინები, რომლებიც არაპირდაპირ გავლენას ახდენს ღვინის ბუკეტის ჩამოყალიბებაზე [9].

მონოტერპენები ღვინოში ანგიოთარებენ ხილის, ყვავილებისა და მუსკატის არომატებს. თუმცა, შეიძლება წარმოიქმნას ისეთი არომატებიც, რომლებიც ღვინის ხარისხე უარყოფითად იმოქმედებს. მარცვალში ხდება ტერპენების წარმოქნა და მათი განაწილება დამოკიდებულია ნაერთზე, გერანიოლი და ნეროლი გაცილებით უხვად არიან წარმოდგენილი კანზი ვიდრე ნაყოფის სხვა ნაწილებში, ხოლო ლინალოოლი განაწილებულია მთელ ნაყოფში [9]. ღვინოში ყვავილოვან არომატს ცხარე ტონებით და ლიმონის არომატს განაპირობებს ლინალოოლი, ციტრუსის და ვარდის არომატებს გერანოლი და ნეროლი წარმოქნის ასევე ციტრუსის და ტებილი ყვავილების არომატს [7].

ყურძნებში იდენტიფიცირებულია 57 სხვადასხვა სესკვიტერპენი [9], ეს კომპონენტი ძირითადად შაქრებთან ბმული ფორმითაა წარმოდგენილი და არააქტიურია, მოგვიანებით ღვინის დუღილისას მჟავური ჰიდროლიზის საშუალებით გადადის თავისუფალ არომატულ ფორმაში [10]. მნიშვნელოვან გავლენას ახდენს *Vitis vinifera*-ს

არომატულ პროფილზე და ზოგიერთი სახეობისთვის წარმოქმნის ხის, ყვავილოვან და მცენარეულ არომატებს მისი ფიზიოლოგიური მომწიფების დროს [9,10].

არაიზოპრენოიდები არის კაროტინოიდების ჟანგვითი დეგრადაციის წარმოებულები და სურნელოვანი ნაერთები, რომლებიც ხელს უწყობს დვინოების არომატს [9,11]. მათგან მნიშვნელოვანი ნაერთებია ბ-იონონი (ის არომატი), ბ-დამასცენონი, 1,1,6-ტრიმეთოლ-1,2-დიჰიდრონაფთალენი (TDN)(ნავთის არომატი), (E) -1-(2,3,6-ტრიმეთილფენილ) ბუტა-1,3-დიენი (TPB)(თამბაქოს, ყვავილის არომატი).

მეტოქსიპირაზინები იდენტიფიცირებულია როგორც ყურძენში ასევე ღვინოშიც და წარმოქმნის მცენარეულ ტონებს (ბალახის, ბოსტნეულის). მას შეიძლება ქონდეს უარყოფითი გავლენა ღვინის ხარისხზე [4,12].

ღვინოებში თიოლები და ზოგადად გოგირდის ნაერთები ძირითადად დაკავშირებულია სხვადასხვა არომატებთან [13]. არასტაბილური თიოლები ნაწილობრივ თავისუფლდებიან საფუარის დუღილის დროს უსუნო, არამდგრადი წინამორბედებისგან. მათი წარმოქმნა შეიძლება გაკონტროლდეს როგორც მევენახეობის, ისე ენოლოგიური სწორი პრაქტიკით [14].

2. ალკოჰოლურ დუღილამდე წარმოქმნილი არომატები

ფერმენტაციამდე ღვინის არომატების წარმოქმნას განაპირობებს ყურძნის წინასწარი დამუშავება (მაგ., დაჭყლებული), ალკოჰოლურ დუღილამდე წარმოქმნილი არომატები გვხვდება ძირითადად თავისუფალი ფორმით. არომატული ნაერთები და მათი წინამორბედები დიდი რაოდენობით არის კონცენტრირებული მარცვლის ქანსა და რბილობში. აღნიშნული ნაერთების ექსტრაქციისთვის მიმართავენ მაცერაციის სხვადასხვა ტექნოლოგიას [15,16].

თერმო-მაცერაციისას ყურძნის დამუშავება ხდება მაღალ ტემპერატურაზე დიდი ხნის განმავლობაში და ყურძენი იჭყლიტება ან დაუმუშავებელი ფორმით გამოიყენება. მიკროტალდური მაცერაციის მეთოდი ემყარება უჯრედშიდა წყლის მიერ ენერგიის შებოჭვას და მის გაცემელებას. გაცემელებული წყალი აორთქლდება და წარმოქმნის უზარმაზარ წნევას უჯრედის კედელზე, რის შედეგადაც ხდება უჯრედის კედლის დაზიანება და აქტიური შემადგენლობის მიგრაცია ყურძნის წვენში. კრიო-მაცერაციის დროს ყურძნის ტემპერატურის შემცირება ხდება მინიმუმ -18°C -მდე. ტემპერატურა ნარჩენდება გარკვეული დროის განმავლობაში. ყურძნის უჯრედშორისი წყალი იქცევა ყინულად წარმოქმნილი კრისტალები იწვევს უჯრედის ქსოვილის რღვევას. რისი შედეგადაც ქიმიური ნაერთების მიგრაციას იწყება გარმოში. აღსანიშნავია რომ, კრიო-მაცერაცია ხელს უწყობს ისეთი არომატ წარმოქმნელი ნაერთების მიგრაციას როგორიცაა მონოტერპენები, ხოლო ფენოლური ნაერთების გამოყოფას ზღუდავს [15].

3. ალკოჰოლური დუღილის დროს წარმოქმნილი არომატები

ფერმენტული არომატები, რომლებიც ცნობილია როგორც ღვინის მეორადი არომატები, წარმოიქმნება საფუვრების მოქმედების შედეგად ალკოჰოლური დუღილის დროს და განსაზღვრავს ღვინის ხასიათს [4]. ალკოჰოლური დუღილი, ძირითადად მიღწეული *Saccharomyces cerevisiae*-ით, იწვევს სხვადასხვა ეთერების, უმაღლესი სპირტების, არასტაბილური ცხიმოვანი მჟავების და ალდეჰიდების წარმოიქმნას [17,18]. ღვინის ალკოჰოლური დუღილის არომატების ჯგუფზე მნიშვნელოვანი გავლენა აქვს საფუვრებს, როგორც *Saccharomyces*-ს გვარის ასევე, არა *Saccharomyces*-ს [18].

კვლევებით დადასტურებულია, რომ ნაერთები რომლებიც ხასიათდებიან მაღალი კონცენტრაციით კრავენ ღვინის არომატის ძირითად მატრიცას და არ გამოირჩევიან ინდივიდუალური არომატებით. თუმცა, მათი კონცენტრაციის შემცირება უარყოფითად მოქმედებს ღვინის ხარისხზე. მაგ., ეთანოლის კონცენტრაციის ცვლილებასთან ერთად ხდება ღვინის არომატების შეცვლაც: მცირე ცვლილებისას ღვინის ბუკეტზე არ შეინიშნება განსხვავება; 7 %-მდე შემცირებისას ღვინოში იზრდება ხილის, ყვავილოვანი და მჟავე არომატების ინტენსივობა; 3 %-მდე შემცირებისას კი იკარგება ღვინის არომატი [7,18].

კახური წესით დამზადებული ღვინოების არომატული პროფილი

კახური წესით ღვინის დამზადებისას, ღვინო-ჭაჭას ურთერთქმედების ხანგრძლივობის ზრდის შედეგად თეთრ ღვინოები არის ბუნებრივად სტაბილური, ხდება მუქი ჩაღისფერი, ოქროსფერი ან ჩაისფერი შეფერილობის, გამჭვირვალე, კრიალა და ხასიათდება ხილის ტონქით და ტანინების ზომიერი შემცველობით [6,19]. ამ წესით დამზადებული ღვინოების არომატული ნაერთების ანალიზისას გამოვლინდა არასტაბილური ნაერთები, რომლებიც ძირითადად წარმოადგენენ უმაღლესს სპირტებს, კოილის ეთერებს, მოკლე და საშუალო ჯაჭვის ცხიმოვანი მჟავებს და სხვა. მაგ: 2-ფენილეთანოლი, რომელიც გორულ მწვანეში და საფერავში გვხვდება წარმოქმნის ვარდის არომატს, ხოლო კოილ ლაქტატი განაპირობებს ამავე ღვინოებში ხილის მსგავსი არომატების განვითარებას [5].

4. ალკოლური ღუდილის შემდეგ (მომწიფებისას) წარმოქნილი არომატები

ღვინის არომატის მნიშვნელოვანი ცვლილებები ხდება მომწიფების და დამველების დროს. ეს მოიცავს ყურძნის და/ან საფუარის გარკვეული არომატების დაგარგვას, ჯიშური არომატის შენარჩუნებას, ახალი არომატების წარმოქმნას და ყველაზე მნიშვნელოვანი პროცესი – ხდება არსებული ყველა არომატის ინტეგრაცია პარმონიული და სასიამოვნო ღვინის ბუკეტის შესაქმნელად [20]. ხის კასრში დაძველებისას ღვინის არომატს ემატება ხის ნიუანსები, ხოლო ბოთლში დაძველებისას კი ხდება არომატების დაკარგვა ღვინისწარმოების სხვადასხვა ეტაპზე სინთეზირებული არომატწარმომქმნელი ნაერთების ურთიერთქმედების შედეგად [21, 22].

დასკვნა

ეს ბიბლიოგრაფული მიმოხილვა აერთიანებს ღვინის არომატწარმომქმნელ ნაერთებს, მათ ძირითად ჯგუფებს და სენსორულ გავლენას ღვინის ხარისხები. მათი წარმოქმნა და გააქტიურება ხდება ღვინის წარმოების ყველა ეტაპზე და მოიცავს ყველა საფეხურს ვაზის ჯიშის შერჩევიდან დავარგებული ღვინის შენახვის პირობების კონტროლამდე. თანამედროვე მომხმარებლის მიერ ღვინის შერჩევისას განსხვავებული მიღღომის გამო მნიშვნელოვანია შესწავლილი იქნეს რა გავლენას ახდენს კახური წესით ღვინის დაყენების მეთოდი მის არომატულ კომპლექსზე და იცვლება თუ არა არომატული მატრიცა სხვა გავრცელებულ მეთოდებით ღვინის დამზადებასთან შედარებით.

ლიტერატურა

- Lesschaeve I, Bowen A, Bruwer J-Determining the Impact of Consumer Characteristics to Project Sensory Preferences in Commercial White Wines. //American Journal of Enology and Viticulture/ 2012/ 63: pp. 487-493.
- Moreno-Olivares J. Paladines-Quezada D. Fernández-Fernández J. Bleda-Sánchez J. Martínez-Moreno A. Gil-Muñoz R.-Study of aromatic profile of different crosses of Monastrell white wines. //Journal of the Science of Food and Agriculture 2020, Volume 100, Issue 1, pp. 38-49
- Cheng G. Liu Y. Yue T. Zhang Z. Comparison between aroma compounds in wines from four *Vitis vinifera* grape varieties grown in different shoot positions. / Food Science and Technology, 2015 vol. 35(2), pp. 237-246.
- Visan L. Tamba-Berehoui R M. Popa C. Danaila-Guidea S. Culea R. Aromatic compounds in wines. 2018. Management, Economic Engineering in Agriculture and Rural Development vol. 18, Issue 4. pp. 423-430.
- Vigentini I. Maghradze D. Petrozziello M. Bonello F. Mezzapelle V. Valdetara F. Failla O. Foschino R. Indigenous Georgian Wine-Associated Yeasts and Grape Cultivars to Edit the Wine Quality in a Precision Oenology Perspective. / Frontiers in Microbiology, 2016, vol. 7. pp. 2-13.
- Capece, A., Siesto, G., Poeta, C., Pietrafesa, R., and Romano, P. Indigenous yeast population from Georgian aged wines produced by traditional “Kakhetian” method. /Food Microbiol, 2013, vol. 36, pp. 447-455.
- Styger G. Prior B. Bauer F. Wine flavor and aroma. Journal of Industrial Microbiology & Biotechnology. 2011, vol. 38, issue 9 pp. 1145-1159.
- სამხრია შ. გვერდწითელი მ. ჩიგაიძე ი. კვირიკაძე დ. ორგანული ქიმია. – თბილისი, ივანე ჯავახიშვილის სახელობის თბილისის სახელმწიფო უნივერსიტეტის გამოცემლობა, 2017, 234 გვ.
- Lin J, Massonet M, Cantu D. The genetic basis of grape and wine aroma. Horticulture Research. 2019, 6:81 pp. 2-24.
- Li Z. Howell K. Fang Z. Zhang P. Sesquiterpenes in grapes and wines: Occurrence, biosynthesis, functionality, and influence of winemaking processes.Comprehensive Reviews in Food Science and Food Safety, 2019, vol. 19, Issue 1, pp.247-281.

11. Carrau FM, Boido E, Dellacassa E. Terpenoids in Grapes and Wines: Origin and Micrometabolism during the Vinification Process. *Natural Product Communications*. 2008, Vol. 3, Issue 4, pp.577-592.
12. Allen M. Lacey M. Methoxypyrazines of Grapes and Wines. *Chemistry of Wine Flavor*. American Chemical Society, Washington, DC. 1998, pp. 714(31-38).
13. Roland A. Schneider R. Razungles A. Cavelier F. Varietal Thiols in Wine: Discovery, Analysis and Applications. *Chemical Reviews*. 2011, vol. 111, Issue 11, pp.7355-7376.
14. CoetzeeI C.ToitII W.J. Sauvignon blanc wine: Contribution of ageing and oxygen on aromatic and non-aromatic compounds and sensory composition - A review. *South African Journal of Enology and Viticulture*. 2015, Vol. 36, Issue 3, pp. 347-365.
15. Tartian A. Cotea V. Niculaua M. Zamfir C.A. Colibaba C.Morosanu A.M. The influence of the different techniques of maceration on the aromatic and phenolic profile of the Busuioacă de Bohotin wine. *BIO Web of Conferences* 9.2017.
16. Zhang S, Petersen MA, Liu J, Toldam-Andersen TB. Influence of Pre-Fermentation Treatments on Wine Volatile and Sensory Profile of the New Disease Tolerant Cultivar Solaris. *Molecules*. 2015. Volume 29. Issue 12 pp.21609-21625.
17. Fleet GH. Yeast interactions and wine flavour. //*International Journal of Food Microbiology*, 2003, 86(1-2), pp. 11-22.
18. Belda I. Ruiz J. Esteban-Fernández A. Navascués E. Marquina D. Santos A. Moreno-Arribas MV. Microbial Contribution to Wine Aroma and Its Intended Use for Wine Quality Improvement. *Molecules*. 2017, vol. 22, Issue 2, pp. 1-29.
19. <http://georgianwine.gov.ge/Ge/KvevriWine/Details/2>
20. Del Caro A. Piombino P. Genovese A. Moio L. Fanara C. Piga A. . Effect of Bottle Storage on Colour, Phenolics and Volatile Composition of Malvasia and Moscato White Wines. // *South African Journal of Enology and Viticulture*, 2016, vol. 35, Issue 1, pp. 128-138.
21. Picard M. Tempere S. de Revel G. Marchand S. A sensory study of the ageing bouquet of red Bordeaux wines: A three-step approach for exploring a complex olfactory concept. *Food Quality and Preference* 2015, vol. 42, pp. 110-122.
22. Ugliano M. Oxygen contribution to wine aroma evolution during bottle aging. //*Journal of Agricultural and Food Chemistry*, 2013, vol. 61, Issue 26, pp. 6125-6136.

SUMMARY

WINE AROMATIC COMPOUNDS

Makhviladze T.G.

Georgian Technical University

The aroma of wines is created by various and different interactions between compounds of wine and grapes. The compounds interaction can be synergistic or antagonistic. The wine bouquet is derived from varietal aromas and compounds generated during grape processing for which develop is significantly influenced by *Saccharomyces cerevisiae* and other fermentation microorganisms. The wine aroma is complemented by compound forming during the ageing and storage. This review aims to present a significant overview of the grapes and wine aroma compounds that have been accumulated for nowadays.

Keywords: wine aroma, aroma compounds, varietal aroma, wine fermenton, maceration.

**ბანსხებავეგულ კლიმატურ პირობებში გელურად მოზარდი
კულტურის (*Inula helenium*) შედარებითი შესწავლა**

დემეტრა შვილი მ.ა., ტყემალაძე გ.ჭ.

საქართველოს ტექნიკური უნივერსიტეტი

თანამედროვე მედიცინაში, კულინარიასა და კოსმეტიკაში, ქიმიური საშუალებების გამოყენებით გამოწვეულმა უარყოფითმა შედეგებმა მკვეთრად გაზარდა და ფართო შესწავლის საგნად აქცია ბუნებრივი სამკურნალო, არომატული, სანელებლებიანი, თაფლოვანი და შხამიანი ბალახოვანი მცენარების მიმართ ინტერესი. განსაკუთრებით აქტუალური გახდა ბალახოვანი მცენარეებიდან მიღებული ფიზიოლოგიურად აქტიური ნივთიერებების რაოდენობრივი და თვისობრივი შესწავლა სასურსათო ტექნოლოგიურ პროცესებში მათი შემდგომი გამოყენების მიზნით [1,2]. კვლევა ეფუძნება ბუნებრივ პირობებში მოზარდი კულმუხოს ფესვებიდან ფიზიოლოგიურად აქტიური ნაერთების შემცველობის დადგენას, მიღებასა და რაოდენობრივი მაჩვენებლების განსაზღვრას. ექსპერიმენტისათვის გამოვყენეთ საჩხერის მუნიციპალიტეტის სოფ. სხვიტორსა და გარდაბნის მუნიციპალიტეტის სოფ. ნორიოს ტერიტორიაზე ველურად მოზარდი კულმუხოს როგორც ერთწლიანი, ისე მრავალწლიანი ფესვთა სისტემა. შესწავლილ იქნა მცენარეში არსებული ექსტრაქტული ნივთიერებების, ინულინისა და ეთერზეთების დაგროვების – დინამიკა ასაკის, სეზონისა და ადგილმდებარეობის გათვალისწინებით. ექსტრაგირების დაწყებამდე მოვახდინეთ ნედლეულის წინასწარი დამუშავება გОСТ-15056-89-3-ის შესაბამისად [3]. ექსტრაგენტისა და ნედლეულის თანაფარდობა განვსაზღვრეთ სამი თანაფარდობით: 1:3; 1:6; 1:9. მონაცემები მოცემულია ცხრ.1.

ცხრილი 1. კულმუხოს ექსტრაქტული ნივთიერებების რაოდენობრივი მაჩვენებელები

№	ადგილმდებარეობა	პერიოდი	ექსტრაქტული ნივთიერებების რაოდენობა		
			ეთანოლი 30 %	ეთანოლი 60 %	ეთანოლი 95 %
1.	სხვიტორი – ერთწლიანი	2020 ივნისი	11,13	12,32	10,64
2.	სხვიტორი – მრავალწლიანი	2020 ივნისი	20,22	21,29	19,78
3.	ნორიო – ერთწლიანი	2020 ივნისი	11,25	12,98	10,05
4.	ნორიო – მრავალწლიანი	2020 ივნისი	19,06	20,74	18,55
5.	სხვიტორი – ერთწლიანი	2020 სექტემბერი	11,87	12,04	10,57
6.	სხვიტორი – მრავალწლიანი	2020 სექტემბერი	21,37	22,62	20,65
7.	ნორიო – ერთწლიანი	2020 სექტემბერი	10,99	11,78	11,24
8.	ნორიო – მრავალწლიანი	2020 სექტემბერი	21,89	23,29	20,96

როგორც კვლევიდან ირკვევა, ექსტრაქტული ნივთიერებების ექსტრაგირების მაჩვენებელი სამ სხვადასხვა კონცენტრაციის სპირტყალხსნარში განსხვავებულია: ეთანოლის 30 %-იან ექსტრაგენტში ნივთიერებების ყველაზე დიდი რაოდენობა ერთწლიან ნორიოს ივნისის ნიმუშშია და 11,25 % შეადგენს, რაც სხვიტორის ანალოგიურთან 1,07 %-ით მეტია. სექტემბრის ერთწლიან ნიმუშებში 7,42 %-ით მეტია სხვიტორის ნიმუშში ნორიოსთან შედარებით. ივნისის მრავალწლიან ფორმებში დომინირებს სხვიტორის მასალა 5,74 %-ით. 60%-იანი ეთანოლის შემთხვევაში, სხვიტორთან შედარებით, 5,09 %-ით მეტია ნორიოს ერთწლიან ფორმაში, ხოლო მრავალწლიან ფორმებში ასევე გამოირჩევა სხვიტორი 2,16 %-ით. 95%-იან ექსტრაგენტში, ივნისის ერთწლიან ფორმებში ნიმუში 5,09 %-ით მეტ რაოდენობას ავლენს; ხოლო სექტემბრის ერთწლიანებში გამოირჩევა საჩხერის ვარიანტი (5,97 %-ით). რაც შეეხება მრავალწლიან ფორმებს: ივნისის თვეში სხვიტორის ნიმუში 6,22 %-ით აჭარბებს ნორიოს ნიმუშს, სექტემბრის ფესვთა სისტემაში ექსტრაქტული ნივთიერებების რაოდენობა მცირდით განსხვავდება და 1,48 %-ით მეტია ნორიოს ვარიანტთან

შედარებით. კვლევიდან ირკვევა, რომ ყველაზე მეტი რაოდენობის ექსტრაქტული ნივთიერების ექსტრაგირება ხორციელდება 60%-იანი ეთანოლის პირობებში, სადაც სხვიტორის მრავალწლიან ნიმუშში 22,62 %-ია, ხოლო ნორიოს შემთხვევაში 23,29 %.

ეთერზეთების შემცველობით მსოფლიოფლორის 2500 – 3000 სახეობას გამოყოფენ, რომლებიც ძირითადად *Lamiaceae*, *Apiaceae*, *Astraceae* ოჯახებშია გაერთიანებული. კულმუხო (*Inula Helenium*)- *Astraceae*-ს ოჯახის ერთ-ერთი სახეობაა და ხასიათდება ბიოლოგიურად აქტიური ნაერთების – მრავალკომპონენტული აქროლადი ნივთიერებების დაგროვებით. კულმუხოს ფესვთა სისტემაში შემავალი ეთერზეთები ხასიათდება სამკურნალო თვისებებით: გამოიყენება ბრონქული ასთმის დროს, ხასიათდება ანტიმიკრობული, ანტიჰელმიტური, ანტიფუნგიციდური აქტივობით; ხელს უწყობს დიფტერიის, ტიფოზის, ნაწლავური კოლიბაცილების, სტრეპტოკოკების მკურნალობას; დადებითად მოქმედებს საჭმლის მომნელებელ ორგანოებზე; შლის ცხიმოვან უჯრედებს; ამკვრივებს სისხლძაღვთა სისტემას; ხელს უწყობს ჰორმონული ბალანსის დარეგულირებას; გამოიყენება აგრეთვე როგორც ჰემოსტატიკური საშუალება სახსრებისა და ძვლების მკურნალობის შემთხვევაში [4]. ეთერზეთები აგრეთვე ფართოდ გამოიყენება კოსმეტიკასა და პარფიუმერიაში; სურსათისა და საკონდიტრო პროდუქტების წარმოებაში. მცენარის სიცოცხლისუნარიანობა დამოკიდებულია ეთერზეთების არსებობასა და მათს რაოდენობაზე, გამოიყენება მზის სხივებისაგან დამცავ საშუალებად; ხელს უწყობს მწერების მოზიდვას დამტვერვისათვის. ეთერზეთების თვისება დამყარებულია მათში შემავალ ნაერთთა ერთობლიობა. მცენარეული მასალიდან ეთერზეთების მიღების სკრინინგული მეთოდის გარდა, შემუშავებულია გამოყოფის სამი ძირითადი მეთოდი: დისტილირება, გამოწვლილვა და გამსხველით ექსტრაგირება [5,6].

კვლევა ჩატარდა კულმუხოს ფესვთა სისტემაში არსებული ეთერზეთების რაოდენობრივი მაჩვენებლების დასადგენად. ეთერზეთების შემცველობა განვსაზღვრეთ გОСТ-15056-89-5-ის მიხედვით [3]. ექსპერიმენტულად დავაღინეთ ეთერზეთების რაოდენობრივი შემცველობა რვავე საკვლევ ნიმუშში; მივიღოთ თხევადი სახის, ცხიმოვანიკონსისტენციის ნივთიერება, დამახასიათებელი მომწვანო-ზურმუხებისფერი შეფერილობით. კულმუხოს ფესვთა სისტემაში ეთერზეთების რაოდენობა იცვლება 0,66 %-დან 1,62 %-მდე. აქედან მეტი რაოდენობით ეთერზეთების დაგროვება ხდება ზრდასრულ მცენარეში. მონაცემები მოცემულია ცხრ. 2

ცხრილი 2. ეთერზეთების დაგროვების დინამიკა

№	ადგილმდებარეობა	პერიოდი	ეთერზეთების რაოდენობრივი მაჩვენებელი, %
1	სხვიტორი – ერთწლიანი	2020 ივნისი	0,66
2	სხვიტორი – მრავალწლიანი	2020 ივნისი	1,48
3	ნორიო – ერთწლიანი	2020 ივნისი	0,68
4	ნორიო – მრავალწლიანი	2020 ივნისი	1,6
5	სხვიტორი – ერთწლიანი	2020 სექტემბერი	0,7
6	სხვიტორი – მრავალწლიანი	2020 სექტემბერი	1,51
7	ნორიო – ერთწლიანი	2020 სექტემბერი	0,76
8	ნორიო – მრავალწლიანი	2020 სექტემბერი	1,62

ეთერზეთების რაოდენებრივი მაჩვენებლები ორივე რეგიონის მრავალწლიან ფორმებში ბევრად აღემატება ერთწლიან ნიმუშებს. ნორიოს მრავალწლიანი ივნისის ფორმა ეთერზეთების 0,12 %-ით მეტ რაოდენობას შეიცავს, სხვიტორის ანალოგიურთან შედარებით; ხოლო შემოდგომის ნორიოს ნიმუში 0,11 %-ით მეტია სხვიტორის შემოდგომის ნიმუშთან შედარებით. შედეგები ცხადყოფს, რომ ნორიოს ფესვთა სისტემაში ეთერზეთების რაოდენობა აღემატება სხვიტორის ანალოგიურ ფორმას. მცენარის განვითარების უმნიშვნელოვანეს ფაქტორად გვევლინება ნიადაგის ფიზიკურ/ქიმიური თვისებები, ნიადაგის pH, ჰუმუსისა და მინერალური ნივთიერების შემცველობა, ასევე

კლიმატური პირობები და პიფსომეტრიული [პიფსომეტრია (ბერძ. სიმაღლე + მეტრია) გეოგრაფიულ რეგიონზე დედამიწის ზედაპირის რელიეფის გამოსახვა ფერადი პორიზონტებალების საშუალებით] მონაცემები. ამ გარემოებათა ერთობლიობა იძლევა მცენარის მიერ მათში ნივთიერებათა რაოდენობრივი დაგროვების განსხვავებულ სურათს. მიუხედავად ნორიოსა და სხვიტორის ტერიტორიების განსხვავებულობისა, ველურად მოზარდი კულტურის ფესვებისა და ფესვურების ქიმიურმა კვლევამ აჩვენა მათი პრაქტიკულად ერთნაირი ბიოლოგიური დირებულება.

ლიტერატურა

1. Н.И. Путирский, В.Н. Прохоров. Универсальная энциклопедия лекарственных растений. –Минск, Книжный дом, Махаон, 2000, 656 с.
2. Тихонов М.М., Ковтуник Н.Н. Использование девясила высокого в народном хозяйстве. /Матер. 8-го Всерос. симп. по новым кормовым растениям. -Сыктывкар, 1993, 155 с.
3. ГОСТ 15056-89. Корневища и корни девясила. Технические условия.
4. Р.Б. Аюпова. З.Б. Сакипова. Р.Д. Дильбарханов. Эфирные масла: Достижения и перспективы, современные тенденции изучения и применения. /Вестник КазНМУ, №5(3)-2013, сс. 74-78.
5. К.В. Беляков, Д.В. Попов. Определение сесквитерпеновых лактонов в корневище и корнях девясила высокого (*Inula helenium*). // Фармация, 1999, т.2, №2, сс. 30-32.
6. Р.Б. Аюпова. З.Б. Сакипова. Р.Д. Дильбарханов. Эфирные масла: Достижения и перспективы, современные тенденции изучения и применения. /Вестник КазНМУ, 2013, №5(3), сс. 74-78.

SUMMARY

COMPARISON STUDIES OF WILD *Inula Helenium* IN DIFFERENT CLIMATIC CONDITIONS

Demet rashvili M.A. and Tkemaladze G.Sh.

Georgian Technical University

The root system of wild *Inula Helenium* was researched at the territories of vil. Skhvitori (Sachkhere municipality) and vil. Norio (Gardabani municipality). The dynamics of the accumulation of extragenic and essential oil compounds was studied in accordance with age, season and location. Inspite of the difference between the territories of Norio and Gardabani, the chemical analysis of the roots and rootstocks of wild *Inula Helenium* has shown their practically similar biological importance.

Keywords: *Inula Helenium*, roots and rootstocks, extragenic compound, essential oil compound.

გულმარტინის ნედლ მასალაში ინტერვიუს რაოდენობის განსაზღვრა

დემეტრა შვილი მ.ა.

საქართველოს ტექნიკური უნივერსიტეტი

ინულინი განეკუთვნება ბუნებრივი წარმოშობის მაღალი ენერგეტიკული მნიშვნელობის პოლისაქარიდებს. ინულინს შეიცავს 15 სახეობის მცენარეთა ოჯახი, რომელთაგან აღსანიშნავია *Liliaceae*, *Astraceae*, *Polemoniaceae*. ინულინი წარმოიქმნება მცენარის ფოთლებში ფოტოსინთეზის შედეგად და გროვდება ლეროებსა და ფესვებში. კულმუხოს გარდა, ინულინით განსაკუთრებით მდიდარია ზოგიერთი მცენარის (გეორგინა, ტოპინამბური, არტიშო) – ძველ რომში ფართოდ გამოიყენებოდა როგორც მავნე ნივთიერებებისაგან ორგანიზმის გამწმენდი ეფექტური საშუალება) მიწისქვეშა ორგანოები – ფესვები (*Radices*) და ფესვურები *Rhizomata* [1]. უჯრედებში ინულინი მოთავსებულია ვაკუოლებში სფერული კრისტალების სახით [2]. ინულინი მსოფლიოში ყველაზე შესწავლილი პრებიოტიკია, შედგება ფრუქტოზის ჯაჭვებისაგან (10-დან 36-მდე) ფურანოზულ ფორმაში და ერთი გლუკოზისაგან პირანოზულ ფორმაში. ერთმანეთთან დაკავშირებულია გლიკოზიდური ბმებით [3]. წარმოებაში დამზადებული ინულინი შეიცავს მონათესავე ნახშირწყლებს, მაგალითად: ფეხვდოინულინს, ინულენს, ლევულინსა და სხვ. ჰიდროლიზდება ფრუქტოზად [4,5]. ინულინი, სახამებლისა და გლიკოგენის მსგავსად, საკმაოდ მდგრადია ტუტების მიმართ.

საკვლევ ობიექტად შევარჩიეთ საქართველოში ფართოდ გავრცელებული, ველურად მოზარდი ბალახოვანი მცენარე კულმუხო. კულმუხო აღიარებულია ოფიციალური მედიცინის მიერ, როგორც მრავალწლიანი კრიპტოფიტი, რომელიც ხასიათდება გარე სამყაროსთან მაღალი შეთვისებადობით (ბერძ. Kritos – ნიშნავს საიდუმლოს, დაფარულს; მცენარე განვითარებისათვის სასიცოცხლოდ მნიშვნელოვან ფორმებს – კვირტებსა და ამონაფართა დაბოლოებებს – ნიადაგისა ან წყალასატევების ფსკერზე მაღავს.

კულმუხო, როგორც ინულინის წყარო, რაოდენობრივი მონაცემების დასადგენად, შევარჩიეთ ბუნებრივი კლიმატური პირობებით განსხვავებული ორი რეგიონი: აღმოსავლეთ საქართველოს გარდანის მუნიციპალიტეტის სოფ. ნორიო და დასავლეთ საქართველოს საჩხერის მუნიციპალიტეტის სოფ. სხვიტორი. საანალიზოდ ავილეთ რვა ვარიანტი: სხვიტორი-მრავალწლიანი; სხვიტორი-ერთწლიანი; ნორიო-მრავალწლიანი; ნორიო-ერთწლიანი – გაზაფხულისა და შემოდგომის ნიმუშები. პირველადი გადამუშავების შემდეგ განვახორციელეთ საკვლევი ნიმუშების შრობა მათში ტენიანობის დასადგენად. განსაზღვრას ვაწარმოებით გოსტ 24027.2-80-ის შესაბამისად შემდეგი ფორმულით:

$$W = \frac{(m - m_1)}{m} \times 100$$

სადაც W არის ნიმუში წყლის შემცველობა %-ში; m – გამოსაშრობი ნედლეულის საწყისი წონა; m_1 – გამომშრალი მასალის წონა.

ტენიანობის საშუალო მაჩვენებელი რვავე ნიმუში იცვლება 9,1%-დან 18,63%-მდე. კულმუხოს ფესვები და ფესვურებში შემავალი ინულინის რაოდენობრივი მაჩვენებლები განვსაზღვრეთ სპექტრომეტრიული მეთოდით 498 ნმ ტალღის სიგრძეზე FIBER OPTOC SPEQTROMETER CECIL CE 9500 Aquarius-ის გამოიყენებით. კულმუხოს ნედლეულში ინულინის გარდა ლოკალიზებულია თავისუფალი შაქრები (ფრუქტოზიდები). ინულინი საკმაოდ კარგად იხსნება წყალში; ხოლო 96% სპირტში ის არ იხსნება. ფრუქტოზიდები კი კარგად იხსნება როგორც წყალში, ისე 96%-იან სპირტში. ეს უდევს საფუძვლად მცენარეში ინულინის პროცენტული მაჩვენებლის დადგენას. მეთოდი ეფუძნება მჟავა გარემოში რეზორციის თანამყოფობისას ინულინის დაშლის შედეგად წარმოქმნილი ფრუქტოზის რეზორციის კრონერთქმედების პროდუქტების

ოპტიკური სიმკვრივის განსაზღვრას. ქლორწყალბადმაჟავას ზემოქმედებით ინულინის ერთი მოლეკულა იხლიჩება 34–35 მოლეკულა ფრუქტოზად და ერთ მოლეკულა გლუკოზად. მოცემულ პირობებში რეზორცინაზე ურთიერთქმედება შედის მხოლოდ ფრუქტოზა. ამრიგად, არსებობს პირდაპირი დამოკიდებულება ინულინის კონცენტრაციასა და მისი ჰიდროლიზის შედეგად წარმოქმნილ ფრუქტოზას შორის [6]. ფრუქტოზიდებისა და ფრუქტოზანების [ფრუქტოზიდები D-ფრუქტოზის გლიკოზიდებია, ფრუქტოზანები იგივეა, რაც ფრუქტანები, გლიკანები და შედგება მხოლოდ – D-ფრუქტოზის ნაშთებისაგან. ფრუქტოზანები ორი ტიპისაა: 1. ინულინის ტიპის ფრუქტოფურანოზული ნაშთები დაკავშირებულია ერთმანეთთან $\beta(2 \rightarrow 1)$ გლიკოზიდური ბმებით. 2. ლევანის ტიპის – ფრუქტოფურანოზული ნაშთების $\beta(2 \rightarrow 6)$ გლიკოზიდური ბმებით. ადრელევანებს ფრუქტოფრუქტოზანები ეწოდებოდა] განსაზღვრა ინულინის შემცველობაზე აბსოლუტურად მშრალ ნედლეულში პროცენტულად (X) იანგარიშება შემდეგი ფორმულით:

$$X = \frac{A \times 200 \times 100 \times 25 \times 10}{498 \times m \times (100 - W)}$$

სადაც A – მეორე ხსნარის (ნიმუშის) ოპტიკური სიმკვრივე; m – ნედლეულის მასა, გრამებში; W – ნედლეულის სინოტივე, %.

ცხრილი 1. სხვიტორისა და ნორიოს ტერიტორიაზე მოზარდი კულმუხოს მიერ ინულინის დაგროვების დინამიკა

№	ნიმუშის დასახელება	დაკვირვების პერიოდი	ინულინის დაგროვების დინამიკა, %
1.	სხვიტორი-მრავალწლიანი	2020 წლის ივნისი	20,97
2.	სხვიტორი-მრავალწლიანი	2020 წლის სექტემბერი	23,68
3.	ნორიო-მრავალწლიანი	2020 წლის ივნისი	21,11
4.	ნორიო-მრავალწლიანი	2020 წლის სექტემბერი	25,78
5.	სხვიტორი-ერთწლიანი	2020 წლის ივნისი	12,61
6.	სხვიტორი-ერთწლიანი	2020 წლის სექტემბერი	14,02
7.	ნორიო-ერთწლიანი	2020 წლის ივნისი	13,56
8.	ნორიო-ერთწლიანი	2020 წლის სექტემბერი	15,89

ნორიოსა და საჩხერის ტერიტორიაზე ველურად მოზარდი კულმუხოს რვავა საკვლევ ნიმუში ინულინის რაოდენობრივი შემცველობა განსხვავებულია. ნიმუში აღებულია ვეგეტაციის ერთსა და იმავე პერიოდში. სხვიტორის მრავალწლიან ნიმუშებში ივნისის თვესთან შედარებით სექტემბრის საკვლევ მასალაში ინულინის რაოდენობრივი მაჩვენებელი გაზრდილია 11,45 %-ით; ნორიოს საკვლევი მასალის სეზონური ცვალებადობა 18,12 %-ით იძლევა მეტობას, რაც 6,67 %-ით მეტია სხვიტორის ანალოგიურთან. რაც შეეხება ერთწლიან ნიმუშებს, სხვიტორის შემთხვევაში შემოდგომის ნიმუში ინულინის რაოდენობა გაზრდილია 10,06 %-ით; ხოლო ნორიოს ნიმუში 14,67 %-თ, რაც სხვიტორის ნიმუშთან შედარებით 4,54 %-თ მეტია. ამრიგად, ზაფხულთან შედარებით შემოდგომის ნიმუშებში ინულინის დაგროვების დინამიკა ორივე რეგიონისათვის ზრდიდა, მაგრამ ნორიოს, როგორც ერთწლიან, ისე მრავალწლიანი ფორმისათვის სხვიტორის ანალოგიურთან შედარებით შეინიშნება უფრო მეტი ინულინის დაგროვების ტენდენცია (ცხრ. 1). აღნიშნულის მიზეზი სავარაუდო ორივე რეგიონისათვის ნიადაგის განსხვავებული შედეგინდობისა და კლიმატური პირობების შედეგია.

მცენარის ზრდა-განვითარებაზე მოქმედებს ნიადაგის ფიზიკური და ქიმიური თვისებები. როგორც ცხრ. 2-ის მონაცემებიდან ჩანს, ნიადაგები ხასიათდება შემდეგი მაჩვენებლებით:

ცხრილი 2. სხვიტორისა და ნორიოს ნიადაგის ფიზიკურ-ქიმიური ანალიზი

ნიადაგის ადგილმდებარეობა	pH	მშრალი ნაშთი, %	მოძრავი ფოსფორი, მგ/100გ	ჰემუსი, %	საერთო აზოვი, %
ნორიო	7,97	0,089	7,72	3,16	0,29
სხვიტორი	7,81	0,116	20,2	2,78	0,29

სხვიტორის ნიადაგის pH=7,81, ხოლო ნორიოს – 7,97. განსხვავება 0,16 %-ია, ვლინდება მცირედი გადახრა ტუბიანობისაკენ. მცენარე ნიადაგის რეაქციის მიმართ ავლენს მდგრადობას. ჰემუსის შემცველობა მცირედ განსხვავებულია – სხვიტორის ნიადაგისათვის 2,78 %-ია; ხოლო ნორიოს შემთხვევაში 3,16 %. სხვაობა 0,38 %-ს შადგენს. მოძრავი ფოსფორი სხვიტორის ნიადაგში არის 20,2 მგ/100გ, ხოლო ნორიოს ნიადაგში – 7,72 მგ/100გ, ანუ (12,48 მგ/ლ-ით მეტი). გამოდის, რომ სხვიტორის ნიადაგში ფოსფორის შემცველობა 161,6 %-ით მეტია ნორიოს ნიადაგთან შედარებით (12,48·100/7,72). შედგენილობის მიხედვით, ორივე ნიადაგი ხასიათდება დაახლოებით ერთნაირი მაჩვენებლებით. ნორიოს ნიადაგში მოძრავი ფოსფორის ნაკლებმა შემცველობამ არ იმოქმედა ინულინის დაგროვებულ რაოდენობაზე. ეს კი მიუთითებს, რომ ბუნებრივ საკვლევ სავარგულებზე მოზარდი კულმუხოს განშტოებული ფესვთა სისტემის შემწოვი ზედაპირი სრულად იყენებს ნიადაგში მისთვის არსებულ, აუცილებელ მიკრო- და მაკროელემენტებს, აგრეთვე სხვა საჭირო საკვებ ნივთიერებებს, რომლებსაც მცენარე შთანთქავს ნიადაგიდან. მშრალი ნაშთის შემცველობა ორივე ნიადაგში ძალიან მცირეა, რაც მიანიშნებს, ნიადაგების დაუმდაშებლობაზე.

კულმუხოს ფესვთა სისტემის მიერ ნივთიერებათა შეწოვის უნარი აისახება მცენარის ვეგეტაციურ და გენერაციულ ორგანოებში დაგროვებულ ნივთიერებათა რაოდენობრივ შემცველობაზე. ცხადია, ორივე რეგიონში მოზარდი კულმუხო ხასიათდება ბიოლოგიურად აქტიურ ნივთიერებათა დაგროვების ერთნაირი დინამიკით.

ლიტერატურა

1. Шматков Д.А., Беляков К.В., Попов Д.М. //Фармация, 1998, №6, сс.17-20.
2. Dietaryfiber, inulinand oligo fructoze: a review comparing the ar physiological effects. //Crit Revfood Sci Nutr. 1993, 33-#2, 148 р.
3. Moeau M. C., Thomassen M., Ducluzeau R., Raubaund p. //Reprod Nutr Dev., 1986, -#26, pp. 745-753.
4. Митрофанова И.Ю., Яницкая А. В. Перспективы применения инулина в медицинской и фармацевтической практике. //Вестник новых медицинских технологий, 2012, т. XIX, #2 , сс. 45-47.
5. Митрофанова И.Ю., Яницкая А. В. Определение суммарного содержания полифруктанов и динамика их накопления в корневищах и корнях девясилавысокого (*Inula helenium l.*), произрастающего в Волгоградской области. // Химико – фармацевтический журнал, 2013, т.47, №3, с. 47.
6. И.В. Пшукова, Д.А. Коновалов, В.А. Карпенко, Л.В. Лигай, С.А. Кулешова. Фитохимическое и фармакологическое изучение корней подсолнечника однолетнего. //Химия растительного сырья, 2014, №2, сс. 189-194.

SUMMARY**QUANTITATIVE DETERMINATION OF INULINE IN RAW MATERIAL OF *Inula Helenium*
Demetrašvili M.A.****Georgian Technical University**

To determine the inuline quantitative data in raw material of *Inula Helenium* the two regions with different climatic conditions has been studied: vil. Norio (Gardabani municipality, East Georgia) and vil. Skhvitori (Sachkhere municipality, West Georgia). Quantitative indises of inuline in roots and rootstocks of *Inula Helenium* were determined by spectrophotometric methods ($\lambda=498$) nm by the use of device Fiber OPTOC Spectrometer CECIL CE 9500. In both regions wild *Inula Helenium* is characterized by similar dynamics of accumulation of biologically active compounds.

Keywords: *Inula Helenium*, roots, rootstock, humidity, inuline, soil.

შპს კვების მრეველობაში

შილდელაშვილი ი.ი., დაღოლიშვილი გ.შ., ბუიშვილი გ.თ.

იაკობ გოგებაშვილის სახელობის თელავის სახელმწიფო უნივერსიტეტი

ხილი და მათი გადამუშავების შედეგად მიღებული პროდუქტები ხასიათდებიან მაღალი კალორიულობით, ვიგამინების, შაქრების, ბიოლოგიურად აქტიური ნივთიერებების, ორგანული მქავების შემცველობით, რის გამოც დიდ როლს ასრულებენ ადამიანის რაციონალური კვების საქმეში, აგრეთვე აქვთ სამკურნალო მნიშვნელობაც. მათგან მზადდება ჯემი, ხილფაფა, კომპოტი, ლიქიორი, მურაბა და სხვა. გელური ხილისგან დამზადებული პროდუქტები არაფრით ჩამოუვარდებიან ხილ-ბოსტნეულის პროდუქტს და ორგანიზმისათვის არიან მეტად აუცილებელი ნივთიერებების მიმწოდებელი [1,4].

ამ მხრივ დიდი ყურადღება ექცევა ქაცვის კულტურას. ლიტერატურული მონაცემების მიხედვით იგი ეკუთვნის ქაცვისებრთა ოჯახს (*Equisetaceae*), არის დაბუქებული ტიპის დატოტვილი მცენარე, ყვავილობს გაზაფხულზე აპრილში და მაისში, ხოლო სიმწიფის აგროვადად მიწნეულია აგვისტო, სექტემბერი. ნაყოფი მწიფდება თანმიმდევრულად, საქართველოში არის საკმაოდ გავრცელებული მცენარე, გავრცელების არეალის მიხედვით ის შეიძლება შეგვხვდეს როგორც მთის ფერდობზე, ასევე ბარში, საკვებად გამოიყენება დამწიფებული ნაყოფი. ამ კულტურის ძირის ას არის, რომ მის შემადგენლობაში შედის ვიგამინები განსაკუთრებით სჭარბობს კაროტინოდები, β და α კაროტინი, C, E, B₁, B₂, B₆, P ვიგამინი, შაქრები, მთრიმლავი ნივთიერებები, ფლავონოიდები, ფოლიუმის მქავა, შეიცავს მაკრო და მიკრო ელემენტებს, სასარგებლობა ამ მცენარის როგორც ნაყოფი, ისე ფოთოლი და ქერქი. ქაცვები გააჩნია ანტიკარცენოგენური, ანემიის საწინააღმდეგო, ანტისეპტიკური, თრომბოლიტური თვისებები. [1]

ნაშრომი ეხება აღმოსავლეთ საქართველოში გავრცელებული ქაცვის სხვადასხვა ფორმების შესწავლას, მათი კვების მრეწველობაში გამოყენების მიზნით, კერძოდ, ჩვენს მიერ 2018–2019 წლებში შესწავლილი იქნა ქაცვის კულტურის ორი ფორმა: ფორმა N1 და ფორმა N2, განვსაზღვრეთ ქაცვის ამ ფორმებში ტექნიკური მაჩვენებლები, რომლებიც მოცემულია ცხრ. 1-ში.

ცხრილი 1. ქაცვის ნიმუშების ტექნიკური მაჩვენებლები

წლები	საშ. წონა, გრ	ნაყოფის ხვედრითი წონა, გრ/სმ ³	ნაყოფის ზომები	
			h	d
2018	0,51	1,049	10,05	9,04
2019	0,68	1,308	10,15	9,6

განვსაზღვრეთ აგრეთვე ქაცვის ნაყოფის ქიმიური შედგენილობა, რომელიც მოცემულია ცხრ. 2-ში.

ცხრილი 2. ქაცვის ნაყოფის ქიმიური შედგენილობა

ქაცვის ნაყოფის ქიმიური შედგენილობა %	ფორმა N1	ფორმა N2
სინესტე	84,2	85,2
მშრალი ნივთიერება რეფრაქტორებით	9,60	10,0
საერთო შაქრები	6,05	6,0
საქართვა	0,11	0,10
ტიტრული მქავიანობა (ვაშლმქავაზე გადაანგარიშებით)	1,9	1
მთრიმლავი და მდებავი ნივთიერებები მგ%	0,20	0,21
საერთო პექტინი	0,6	0,38
ნაცარი	0,42	0,57
ვიგამინი C მგ%	41	36

მოვახდინეთ აგრეთვე ქაცვის ნატურალურ წვენში მიკროელემენტების შემცველობის განსაზღვრა, რომელიც მოცემულია ცხრ. 3-ში.

ცხრილი 3. მიკროელემენტების შემცველობის განსაზღვრა ქაცვის ნატურალურ წვენში

მიკროელემენტების დასახელება	მგ/100 გრ
სპილენძი	0,01
ნიკელი	0,245
მანგანუმი	2,2
მოლიბდენი	0,001
ქრომი	0,001
ბარიუმი	0,08
ვანადიუმი	0,039
კობალტი	0,001
სტრონციუმი	0,048
ტიტანი	0,065
თუმთია	0,024
რკინა	3,0

ექსპერიმენტის შედეგებმა დაადასტურეს რომ ადმოსავლეთ საქართველოში გავრცელებული ქაცვის ორივე ფორმა გამოირჩევა შაქრების, ტიტრული მჟავიანობის, C ვიტამინის და მიკროელემენტების მაღალი შემცველობით, რამაც საშუალება მოგვცა შერჩეული ფორმებიდან ოჯახურ პირობებში დაგვემზადებინა ორი სახის პროდუქცია: დაქუცმაცებული ქაცვი შაქრით და ქაცვი საკუთარ წვენში.

წვენს მიერ საოჯახო პირობებში დამზადდა ორი სახის პროდუქცია: დაქუცმაცებული ქაცვი შაქრით და ქაცვი საკუთარ წვენში. გარეცხვის და გასუფთავების შემდეგ ნედლი თანაბარი შეფერილობის ნაყოფი მოვათვსეთ ცხავში წყლის მოცილების მიზნით გადავიტანეთ ქვაბში, ჩავჭყლიტეთ და გავაცხელეთ 65 °C-მდე. 1 კგ. ქაცვის მასაზე დავუმატეთ 1 კგ. შაქრი, კარგად ავურიეთ და კვლავ გავაცხელეთ 70 °C-მდე, შემდეგ დავაფასოვეთ წინასწარ მომზადებულ 400 გრამიან მინის ჭურჭელში, დავახურეთ სახურავი და გავუკეთეთ პასტერიზაცია 10–15 წუთის განმავლობაში.

ქაცვი საკუთარ წვენში – გადარჩეულ და გარეცხილ ნაყოფს ვყრით გასტერილებულ მინის ქილებში და ვასხავთ 60–65 °C-ზე გაცხელებულ წვენს, ვხუფავთ და ვუკეთებთ პასტერიზაციას 400 გრამიან ქილას 10 წუთის განმავლობაში.

წვენს მიერ გამზადებულმა პროდუქციამ თავისი ორგანოლეპტიკური, სასაქონლო ხარისხის მიხედვით დააკმაყოფილა მოქმედი სტანდარტის მოთხოვნები.

აქედან გამომდინარე მიზანშეწონილად მიგვაჩნია ქაცვის კულტურის დანერგვა და გაშენება ადმოსავლეთ საქართველოში, სადაც ნიადაგობრივი და ბუნებრივი პირობები იძლევა ამის საშუალებას.

ლიტერატურა

- ა. ნიურაძე, ა. ბურუმიშვილი. საქართველოს გარეული ხილი და მისი სამრეწველო გამოყენება. –თბილისი, საბჭოთა საქართველო, 1979.
- ი. ჩხარტიშვილი. მანდარინისა და ველურად მოზარდი ნაყოფიდან ნატურალური ახალი სახის პროდუქტების მიღების ტექნიკური აღმოჩენები. ავტორუფერატი. თბილისი 2005.
- თ. მაღლაკელიძე, ნ. ჩირაძე. ხილის და ბოსტნეულის დაკონსერვების ტექნოლოგია. – თბილისი, 2005.

SUMMARY

BUCKTHORN-IN THE FOOD INDUSTRY

Shildelashvili I.I., Gagolishvili M.Sh. and Buishvili G.T.

Iakob Gogebashvili Telavi State University

Buckthorn culture was studied for its use in the food industry. Various forms of buckthorn were selected for the experiment generalized in Eastern Georgia, namely, Form N1 and Form N2. From the selected forms, the content of total sugar, titratable acidity and vitamin C is distinguished by Form N1, both forms are distinguished by high content of trace elements. From the selected forms of buckthorn we made two types of products: Shredded buckthorn with sugar and buckthorn in its own juice. These products meet the requirements of the current standard according to their organoleptic and commercial qualities.

Keywords: pasteurization, organoleptic, standard, rational, riddle.

შვემო ქართლის ობიექტის მუნიციპალიტეტის ნიადაგში არსებული საკვები
ელემენტებისა და მათი ლითონების ანალიზის შედებები

კაპანაძე ი.გ.

საქართველოს ტექნიკური უნივერსიტეტი სსიპ ეროვნული სატყეო სააგენტო

მცენარის ნორმალური ზრდა-განვითარებისთვის, გარდა ნახშირბადის (C), წყალბადის (H) და ჟანგბადისა (O) საჭიროა მაკრო- და მიკროელემენტები. ნიადაგი არის მცენარისათვის შესათვისებული მაკრო- და მიკროელემენტების ძირითადი წყარო. მაკროელემენტები: აზოტი (N), ფოსფორი (P), კალიუმი (K), კალციუმი (Ca) და სხვა მცენარეს დიდი რაოდენობით სჭირდება, ხოლო მიკროელემენტები: მაგნიუმი (Mg), რკინა (Fe), სპილენდი (Cu), კადმიუმი (Cd), ტყვია (Pb), თუთია (Zn), მოლიბდენი (Mo), ბორი (B). მანგანუმი (Mn), ნატრიუმი (Na) და სხვა კი მცირე რაოდენობით. მცენარისათვის მნიშვნელობა აქვს იმას, თუ რა ფორმით იმყოფება ნიადაგში საკვები ნივთიერებები, რადგან დადგენილია, რომ მცენარე შეითვისებს მხოლოდ განსაზღვრულ ფორმაში მყოფ საკვებ ნივთიერებებს. აგროქიმიური გამოკვლევებით დადგენილია, რომ საქართველოს ძირითადი ტიპის ნიადაგები ძლიერ განსხვავდებიან ერთმანეთისაგან ძირითადი საკვები ელემენტების აზოტის, ფოსფორის და კალიუმის საერთო და მოძრავი ფორმების შემცველობის მიხედვით, მუხსის კორომების ნიადაგები მიეკუთვნებიან ყომრალი ტიპის ნიადაგებს. ლიტერატურული წყაროებიდან ცნობილია, რომ ყომრალ ნიადაგებს ახასიათებთ გადიდებული საერთო კალიუმის შემცველობა 1,7 – 2,0 %; ნიადაგი დარიბია ან საშუალოდ არის უზრუნველყოფილი აზოტით; დარიბია მოძრავი ფოსფორით; პიდროლიზური აზოტი 7 – 10 მგ ფარგლებშია; მოძრავი ფოსფორი 8 – 15 მგ 100 გ ნიადაგში; რაც შეეხება გაცვლით კალიუმს მისი რაოდენობა გადიდებული ან მაღალია – 17 – 25 მგ 100 გ ნიადაგში [1,2].

ჩვენ მიერ გაკეთებული ნიადაგის ჭრილებიდან ცალკე აღებული იქნა ნიადაგის ნიმუშები 0 – 20 სმ სიღრმიდან საკვები ელემენტებისა და მძიმე ლითონების შესასწავლად. ლაბორატორიული ანალიზის შედეგად განისაზღვრა გაცვლითი კალიუმის შემცველობა (მგ/კგ), მძიმე ლითონებიდან: კადმიუმის – Cd (მგ/კგ), სპილენდის – Cu (მგ/კგ, ტყვიის – Pb (მგ/კგ) შემცველობა.

აგროქიმიაში გამოიყენება კალიუმის საერთო და შესათვისებელი ფორმების შეფასებისათვის შემდეგი ინდექსები (ცხრილი 1)

ცხრილი 1. ნიადაგების უზრუნველყოფა საკეთი ელემენტებით, მგ/კგ

ნიადაგების გრადაცია	საერთო ფორმები, %	შესათვისებელი ფორმები, მგ/კგ
კალიუმი		
დაბალი	<1	<200
საშუალო	1–1,5	200–400
მაღალი	>1,5	>400

ჩვენს მიერ გამოკვლეული ნიადაგის ნიმუშებში ნათლად ჩანს, რომ კალიუმის შესათვისებელი ფორმის (K_2O) შემცველობა საკმაოდ მაღალია – 460,0 – 641,0 მგ/კგზე (ცხრ. 2).

ცხრილი 2. ბოლნისის რეგიონის მუხის ტყის კორომების ნიადაგებში კალიუმის შემცველობა (მგ/კგ)

ნიადაგის ნიმუში №	რეგიონი	სანიმუშო ფარ. №	სიღმე, სმ.	K ₂ O შესათვისებელი ფორმა
1	ბოლნისი	სან.ფ. № 10	(0–20)	460,0
2	ბოლნისი	სან.ფ. № 19	(0–20)	503,5
3	ბოლნისი	სან.ფ. № 27	(0–20)	482,6
4	ბოლნისი	სან.ფ. № 29	(0–20)	626,2
5	ბოლნისი	სან.ფ. № 13	(0–20)	641,0
6	ბოლნისი	სან.ფ. № 23	(0–20)	636,40

მიღებული მონაცემების შედარება კალიუმის საერთო ($>1,5\%$) და შესათვისებელი ფორმების შეფასების გრადაციასთან (>400 მგ/კგ) გვიჩვენებს, რომ კვლევის შედეგად მიღებული მონაცემები მაღალია. შეგვიძლია ვიგარაუდოთ, რომ კალიუმის შემცველობა მუხნარების განახლებას ხელს არ უშლის, პირიქით დადებითად უნდა მოქმედებდეს და ეს უკანასკნელი შესაძლოა გამოწვეული იყოს კლიმატის ცვლილებებით.

მძიმე ლითონები პრიორიტეტული დამაბინძურებლებია, რომელთა შესწავლა აუცილებელია. ჩვენს მიერ ნიადაგებში მძიმე ლითონების შემცველობის შესწალის მიზანი იყო, დაგვედგინა არის თუ არა ნიადაგი დაბინძურებული და ახდენს თუ არა ის გავლენას მუხის აღმონაცენ-მოზარდზე, ზოგადად მუხის განახლებაზე. სხვადასხვა სამეცნიერო ნაშრომების მიხედვით, მძიმე ლითონებით დაბინძურებას ადგილი აქვს საავტომობილო მაგისტრალების მომიჯნავე ნიადაგებზე. ბოლნისის რეგიონის მაგალითზე ვრცელი აკლევებია ჩატარებული [3,4,5].

სასიცოცხლო გარემოს (ბიოსფეროს) მეტალებით გაჭუჭყიანების ანთროპოგნურ ფაქტორებს შორის მნიშვნელოვანი როლი ავტოტრანსპორტს მიეკუთვნება. შესაბამისად აქცენტი გადატანილია ინტენსიური საავტომობილო მიმოსვლის ზოლში ნიადაგების ეკონომიკურ მდგომარეობაზე. დადგენილია, რომ გარემოს ეკოსისტემებში ტყვიის საერთო შემცველობის ნახევარზე მეტი ეთილირებული ბენზინის წვის შედეგად ხდება, ანუ უშუალოდ არის დაკავშირებული ავტოტრანსპორტის გამონაბოლქოთან, რასაც, ბუნებრივია, პირველ რიგში, ატმოსფერული ჰაერის და ნიადაგის გაჭუჭყიანება მოსდევს [3]. ავტორთა კვლევით [4] საავტომობილო მაგისტრალების მომიჯნავედ განლაგებულ სასოფლო-სამეურნეო სავარგულებზე ნიადაგების, ტოქსიკური მეტალების შემცველობა სახიფათო ზღვარს აღწევს და ჯერადობით აღმატება საერთაშორისო და საქართველოს ნორმატივებით დაწესებულ ზღვრულად დასაშვები კონცენტრაციების სიდიდეებს.

საქართველოში მიღებულია ევროკავშირის ქვეყნების ნორმირების გათვალისწინებით მძიმე ლითონების გრადაციები (ცხრ. 3). მაღალსაშიში ლითონებისთვის გამოიყენება ზღვრულად დასაშვები კონცენტრაციების (ზდ.) მინიმალური მნიშვნელობა, ზომიერად საშიშებისთვის – ზდკ საშუალო, ხოლო დაბალსაშიში მეტალებისთვის – ზდკ მაქსიმალური მნიშვნელობა.

ცხრ. 3. მძიმე ლითონებისთვის საქართველოს ნიადაგების გრადაციები (მგ/კგ)

კლემენტი	ნიადაგების ეკოლოგიური მდგომარეობა					
	საგან-გაშო	განსაკუთრებული	გაწონას-წორებული	კრიტიკული	დამაკმაყოფილებელი	დასაშვები
მაღალსაშიში მძიმე ლითონები						
კადმიუმი	>3	3-1	1	1 – 0,5	0,5 – 0,1	<0,1
ზომიერადსაშიში მძიმე ლითონები						
სპილენძი	>140	140 – 100	100	100 – 75	75 – 50	<50
დაბალსაშიში მძიმე ლითონები						
ტყვია	>200	200 – 150	150	1500 – 100	100 – 75	<75

ცხრილი 4. ბოლნისის რეგიონის მუხის ტყის კორომების ნიადაგებში მძიმე ლითონების შემცველობა

ნიადაგის ნიმუში №	რეგიონი	სანიმუშო ვარ. №	სიღრე, სმ	Cu სპილენდი	Cd კადმიუმი	Pb ტყია
1	ბოლნისი	სან.ფ. № 10	(0 – 20)	0,82	0,16	1,23
2	ბოლნისი	სან.ფ. № 19	(0 – 20)	0,92	0,45	0,75
3	ბოლნისი	სან.ფ. № 27	(0 – 20)	1,05	0,68	0,99
4	ბოლნისი	სან.ფ. № 29	(0 – 20)	1,24	0,94	2,17
5	ბოლნისი	სან.ფ. № 13	(0 – 20)	0,45	0,50	2,86
6	ბოლნისი	სან.ფ. № 23	(0 – 20)	0,89	0,90	2,49

ცხრ. 4-ში მოცემულია ბოლნისის რეგიონის მუხის ტყის კორომების ნიადაგებში მძიმე ლითონების შემცველობა, მონაცემებიდან ჩანს სპილენდის შემცველობა საკვლევ ნიადაგებში საკმაოდ მცირება და მერყეობს 0,82 – 1,24 მგ/კგ-ზე. საქართველოს ნიადაგებისათვის მიღებული მძიმე ლითონების გრადაციების ნორმების მიხედვით (ცხრ. 3) სპილენდის შემცველობა დასაშვები ნორმის ფარგლებშია (<50). კადმიუმის შემცველობა 0,16 – 0,94 მგ/კგ-ის ფარგლებშია და რეკომენდირებული გრადაციების მიხედვით დასაშვები ნორმის ფარგლებშია (<0,1). ტყვიის შემცველობაც 0,75 – 2,86 მგ/კგ-ის ფარგლებშია და ცხრილი 3-ის მიხედვით დასაშვები ნორმის ფარგლებშია (<75).

გამოკვლევებმა გვიჩვნა, რომ შესწავლილი ნიადაგები მძიმე ლითონებით (Cd, Cu, Pb) დაბინძურებული არ არის, მათი შემცველობა არ აღემატება ე.წ. ზღვა. მიღებულ შედეგებზე დაყრდნობით შეიძლება ითქვას, რომ აღნიშნულ სანიმუშო ფართობებზე აღებულ ნიადაგის ნიმუშებში მძიმე ლითონებით დაბინძურება არ არის და მისი შემცველობა ნორმის ფარგლებშია. მუხნარების განახლების არადამაკმაყოფილებელი მდგომარეობა არ არის გამოწვეული ნიადაგური ფაქტორებით და ამის მიხეხი შესაძლებელია გამოწვეული იყოს სხვა ფაქტორებით.

ლიტერატურა

- თხელიძე ა. ლიპარტელიანი რ. მუმლაძე ნ. ხომასურიძე დ. დანელია გ. სოფლის მეურნეობის ქიმიზაცია და გარემოს დაცვა. თბილისი, საზოგადოება ცოდნა, 2009, 187 გვ.
- თხელიძე ა., საქართველოს მირითადი ტიპის ნიადაგების აგროქიმიური დახასიათება, 2019, <https://agrokavkaz.ge/fermerta-skola/saqarthvelos-dzirithadi-tipis-niadagebis-agroqimiuri-dakhasiatheba.html>
- გაჩეხილაძე ნ. ქვემო და შიდა ქართლის გეოლოგიურ სუბსტრატზე განვითარებულ ნიადაგებში ტოქსიკური ლითონების განაწილების განვითარებათა კვლევა. საქართველოს ტექნიკური უნივერსიტეტი, ავტორული კვლევა, თბილისი, 2013.
- ზვიადაძე უ., გაჩეხილაძე ნ. თბილისი-ბოლნისის სააგრომობილო გზის ზოლში ნიადაგების გეოგეოქიმიური მდგომარეობის შეფასება. //სამთო ქურნალი, 1(28), თბილისი, 2012, გვ. 8-11.
- ზვიადაძე უ., გაჩეხილაძე ნ. ქვემო ქართლის სააგრომობილო გზისპირა სავარგულებზე ბოსტნეულის ეპოლოგიური მდგომარეობა. /სტუ-ს შრომები №4(486), თბილისი, 2012, გვ. 21-26.

SUMMARY

THE RESULTS OF ANALYSIS OF NUTRIENTS AND HEAVY METALS IN THE SOIL OF OAK TREE STANDS OF KVEMO KARTLI REGION

Kapanadze I.G.

Georgian Technical University

LELP National Forestry Agency

In order to identify the reasons for the delay in the natural regeneration of oak tree stands in the Kvemo Kartli region, soil samples were taken separately from soil incisions made in the sample plots to study the nutrients and heavy metals form a depth of 0-20 cm. Laboratory analysis determined the content of exchange potassium (mg/kg), from heavy metals: cadmium – Cd (mg/kg), copper – Cu (mg/kg), lead – Pb (mg/kg). Comparison of the obtained data with the gradation of the evaluation of general and forms for assimilation of potassium shows that the potassium content does not influence on the renewal of oak tree stands. Also, the copper content is with the permissible norm, as well as the lead and cadmium content are within the permissible norm according to the recommended gradations. Based on the data obtained, the unsatisfactory condition of the oak tree stands renewal is not caused by soil factors.

Keywords: soil, oak stand, heavy metals, analysis, sample plots, exposition, endemic.

აპთვისებიან სიმსიცხვითა მეტასტაზიტუმის ახალი ინკიდიტორების
შემძლია რეპრეზავაციათა დამზობი შიმირობისათვის

ჩიგოგიძე ნ.შ., ნადირაძე ი.შ., წიგწიგაძე გ.პ., ჩიგოგიძე ე.ნ., წიგწიგაძე თ.ი.

**საქართველოს ტექნიკური უნივერსიტეტის ბიოლოგიურად აქტიურ
ნიგორებათა პლანის სამცნიერო ცენტრი
საქართველო-ისრაელის ერთობლივი კლინიკა „გიდმედი“
ქაგასიის საერთაშორისო უნივერსიტეტი**

ონკოლოგიური დაავადებებით ავადმყოფთა უმეტესობა მეტასტაზების-გან, რომლებიც იჭრებიან სასიცოცხლოდ მნიშვნელოვან ორგანოებში და ძნელად ემორჩილებიან თერაპიის რადიკალურ მეთოდებს. ამიტომ მეტასტაზირებიან სიმსიცხეებთან ბრძოლა არის კიბოს თანამედროვე ქიმიოთერაპიის პირველი რიგის ამოცანა [1-10].

ონკოდაავადებულთა თერაპიის ტრადიციული მეთოდები, მკურნალობის მუდმივი სრულყოფისა და მაღალი დადგებითი შედეგების მიუხედავად, ჯერ კიდევ ვერ აღწევენ სასურველ შედეგებს. აუცილებელია ახალი, დღემდე უზვეულო მიღგომები მეტასტაზირების პრობლემებისა და თერაპიული ეფექტების მიღების ხერხებისადმი, სიმსიცხური უჯრედების კანონზომიერად წარმოშობილი თვისებების ყველა სახეობის გათვალისწინებით:

1. უჯრედული ზედაპირის მოდიფიკაცია;
2. სიმსიცხურ უჯრედთა მემბრანების სტრუქტურათა ცვლილება;
3. ზედაპირული ადსორბცია;
4. სიმსიცხურ უჯრედთა ძვრადობისა და ადჰეზიის უნარის მომატება;
5. შიდაუჯრედოვანი ფერმენტების (ენზიმების) პროდუქციის აქტივაცია;
6. ფერმენტული რეაქციების მიმდინარეობა, შიდაუჯრედული რიბოსომის მუშაობა და ნუკლეინმჟავების სტრუქტურების რეგულაცია განისაზღვრება მეტალკომპლექსებისათვის და გარემომცველ პირობათა იოანების ბუნებით;
7. ავთვისებიან უჯრედებში მნიშვნელოვან შემცირებულია ლიპიდების წარმოქმნა, თანდათანობით კარგვადი ფოსფოლიპიდების სპეციფიკურობა;
8. სიმსიცხურ უჯრედებისთვის დამახასიათებელია ატფ მოლეკულების ანომალურად დიდი რიცხვი, საწყის ნორმალურ უჯრედებთან შედარებით;
9. ავთვისებიან უჯრედებში შეცვლილი მიმოცვლითი პროცესების მიმდინარეობა და მათში შემცირებული ჟანგვითი პროცესების ინტენსიობა;
10. როგორც ქიმიკოს-ბიოარაორგანიკოსებს, ჩვენ აუცილებლად მიგვაჩნია ეურადღების გამახვილება სისხლის პლაზმის უზვეულო სტერეოქიმიური თავისებურების-თვის ონკოავადმყოფებში, აგრეთვე იმაზე, რომ სიმსვინური უჯრედიდან გამოყოფილ იქნას მარჯვნივმბრუნვაზე D-გლუტამინმჟავა. ცნობილია, რომ ერთი და იმავე ნივთიერების ოპტიკური ანტიპოდები ფიზიკურ-ქიმიური თვისებებით ერთმანეთისაგან განურჩეველია, მაგრამ მკეთრად განსხვავდებიან თავიანთი ფიზიოლოგიური მოქმედებით. მაგალითად, პრეპარატ სარკოლიზინის მარცხნივმბრუნვაზე ფორმა სიმსიცხეთა ზოგიერთი ტიპის თერაპიის დროს აქტიურია, ხოლო მარჯვნივმბრუნვაზე – არააქტიურია.

ბიოლოგიური მოქმედების სპეციფიკურობის მიზეზი მდგრმარეობს იმაში, რომ ცოცხალი ორგანიზმები თავად არიან აგებული ოპტიკურად აქტიური, ასიმეტრიული მასალისგან. ამასთან, ცოცხალ ორგანიზმებს უნარი აქვთ მუდმივად აწარმოონ ასიმეტრიული მასალები, გარდამჟნან ოპტიკურად არააქტიური ნივთიერებები ოპტიკურად აქტიურში. დავამატებთ, რომ რაც მეტია ქიმიური ნაერთის მოლეკულაში ნახშირბადის ასიმეტრიული ატომები, მით მაღალია მისი ბიოლოგიური აქტიურობა [11].

სამწუხაროდ, შევნიშნავთ, რომ სხვადასხვა სპეციალობის მეცნიერთა მიერ მოპოვებული მრავალი საინტერესო ფაქტი, რომელიც თან ახლავს ონკოდაავადებებს, დღემდე ისევე დარჩა შეუმჩნეველი და გადაუწყვეტელი.

ავთვისებიან სიმსიგნეთა მეტასტაზირების პროცესი, რომელიც იმყოფება ხანგრძლივი მეთვალყურეობის ქვეშ ორგანიზმში შედგება მომდევნო ეტაპების რთული ჯაჭვებისგან:

- 1) ერთეული სიმსიგნური უჯრედების ან მათი ჯგუფების ჩამომორქბა პირველადი სიმსიგნისგან;
- 2) ამ უჯრედების გადატანა სისხლით ან ლიმფით წვრილ სისხლძარღვებში;
- 3) სიმსიგნეთა უჯრედების ფიქსაცია ორგანოებში;
- 4) ხელსაყრელ პირობებში მათი პროლიფერაციის დაფიქსირება მეტასტაზის ავტონომიური ზრდით.

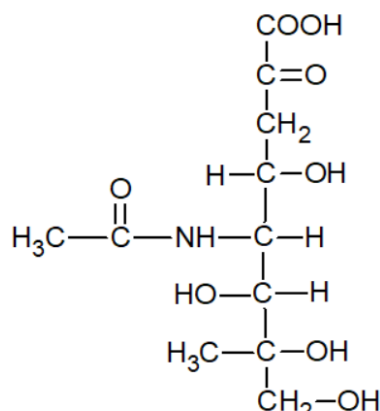
სიმსიგნური უჯრედების ჩამოცილება წარმოადგენს უწყვეტ პროცესს. ასეთი უჯრედების პლაზმურ მემბრანებზე წარმოიქმნება ფიბრინი. ჯერ კიდევ 1903 წ. პირველად მ. შმიდტმა აჩვენა, რომ სიმსიგნური უჯრედები მიეწებება ფილტვების კაპილარების ენდოთელიუმს და აქ მათ გარსშემოერტყმება ფიბრინის წვრილი ქსელი.

სიმსიგნური უჯრედების ადჰეზია (მწებვარება) განპირობებულია ფიბრინის შრით, რომელიც ფარავს მის ზედაპირს. სიმსიგნური უჯრედების ადჰეზიაში უშუალო მონაწილეობას ღებულობს გლიკოპროტეინის ორი ზედაპირი – ლამინინი და ფიბრონექტინი. სახელდობრ, ფიბრინი იკავებს მთავარ ადგილს სიმსიგნეთა მეტასტაზირების მექანიზმში. პისტოლოგიურმა გამოკვლევებმა გვიჩვენა, რომ ენდოთელიუმი კარგავს თავის ნორმალურ სტრუქტურას, როდესაც სიმსიგნური უჯრედი მიეწებება (მიემაგრება) მას თრომბის სახით [1,3-10].

ენდოთელიუმსა და სიმსიგნიან უჯრედებს შორის ურთიერთდამოკიდებულება წარმოადგენს ცენტრალურ პრობლემას მეტასტაზირების განვითარებაში. უჯრედები, რომლებიც მიემაგრებიან სისხლძარღვების ენდოთელიუმს, ზოგჯერ თვითნებურად იშლება ან მრავალი წლის განმავლობაში რჩება არააქტიური. უჯრედთა უკანასკნელს ტიპს „უწოდებენ „მთვლემარეს““. მთვლემარე სიმსიგიანი უჯრედების რეაქტივაციის მიზეზია: სტრესები, ტრამვები, პორმონალური ბალანსის ცვლილებები, კანცეროგენური ნივთიერების ზემოქმედება და ფიზიკური აგენტები (გამოსხივების სხვადასხვა სახე). სიმსიგნური უჯრედების მიერ გამოყოფილი ფერმენტი ჰიალურონიდაზა (გავრცელებული ფაქტორი) ხელს უწყობს მათ გამოყოფას პირველადი სიმსიგნური კვანძიდან და სხვა ადგილებში დამაგრებას.

ჯანმრთელი უჯრედების გარდაქმნას სიმსიგნურში თან ახლავს მისი ზედაპირის სტრუქტურის მკაფიო ცვლილებები. ჯანმრთელი უჯრედები წარმოქმნიან მოწესრიგებულ ქსოვილს თავისი უნარის წყალობით შეიგრძნონ მეზობელი უჯრედების არსებობა და მათთან მიმოცვალონ ინფორმაციები პლაზმური მემბრანების საშუალებით.

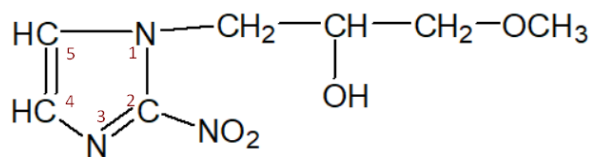
სიალის მჟავას (N-აცეტილნეირამინის მჟავა) გაზრდილი შემცველობა სიმსიგნური უჯრედების ზედაპირზე იწვევს არა მხოლოდ მათი გლიკოპროტეინის შედგენილობის ცვლილებას, არამედ ხილული სტრუქტურის ცვლილებასაც [22].



სიალის მჟავა (*NeuNAc*)

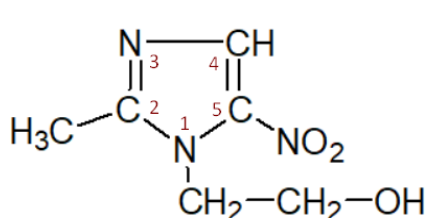
ავთვისებიანი უჯრედები წვეულებრივ წარმოადგენებ მდგრად პიპოქსიურ (მთლიანად ანაერობული) უჯრედებს, როგორც ქიმიოთერაპიული პრეპარატების მოქმედების, ასევე რადიაციის მიმართ, მაგრამ არის ნივთიერებათა ჯგუფი – ნიტროიმიდაზოლი, რომლებიც მათზე ახდენენ ციტოსტატიკურ ეფექტს. გარდა ამისა, რაც ძალიან მნიშვნელოვანია, ეს ნივთიერებები სიმსივნურ უჯრედებს აქცევენ რადიაციის მიმართ მგრძნობიარებს. სიმსივნურ უჯრედებში, ალბათ, ნიტროჯგუფი აღდგება ნიტროქსილ – ანიონის (NO_2^-) რადიკალურ ჯანმრთელ (აერობულ) უჯრედებში ეს პროცესი არ მიმდინარეობს და ამიტომ ისინი არ ზიანდებიან ნიტროიმიდაზოლებით [16, 17, 21, 22].

თავად ნიტროიმიდაზოლის ჯგუფის შეიძლება დაიყოს სამკურნალო საშუალებების ორ ქვეჯგუფად: I ქვეჯგუფი – 2-ნიტროიმიდაზოლის წარმოებულები, ამ მატერიალის ძველი პრეპარატი:

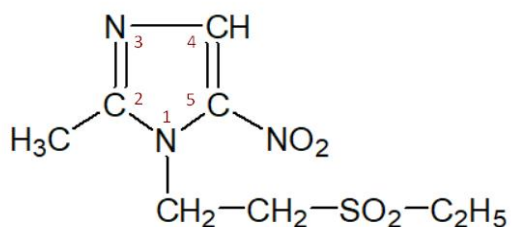


მიზონიდაზოლი

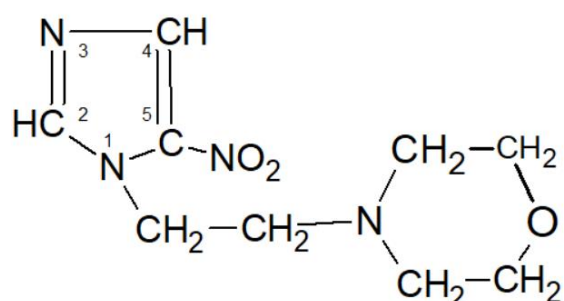
II ქვეჯგუფი – 5-ნიტროიმიდაზოლის წარმოებულები, ამ მატერიალის სამი პრეპარატი



მეტრონიდაზოლი



ტინიდაზოლი

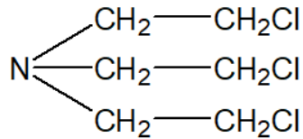


ნაქსოჯინი

მოცემული პრეპარატები ახდენენ რადიომასენსიბილიზებელ მოქმედებას ავთვისებიან უჯრედებზე და მათ უნიშნავენ ავადმყოფს სხივური თერაპიის მიმართ მგრძნობელობის ასამაღლებლად. უნდა აღინიშნოს, რომ 2-ნიტროიმიდაზოლის წარ-

მოებული – პრეპარატი მიზონიდაზოლი, უშუალოდ თავად ახდენს სიმსივნურ უჯრედებზე ციტოსტატიკურ ეფექტს [21, 22].

ონკოდააგადებათა თანამედროვე ქიმიოთერაპიის ერა იწყება 1942 წლიდან [15, 21, 39], როდესაც შეუდგნენ იპრიტის ანალოგ აზოტის კლინიკურ გამოცდას



რომელიც ახდენდა სპეციფიკურ ციტოტოქსიურ ზემოქმედებას ლიმფოიდურ ქსოვილებზე და ავლენდა სიმსივნის საწინააღმდეგო აქტიურობას თაგვების ლიმფოსარკომის დროს [15].

შემდგომ იქნა სინთეზირებული აზოტური იპრიტის რიგი წარმოებულები, რომელთაგან ნაწილმა გამოყენება პპოვა ფარმაცევტული პრეპარატების სახით. ამ ჯგუფის პრეპარატები, მოქმედების მქანიზმის მიხედვით, განიხილება როგორც მაალკირებელი ნივთიერებები. შემდგომ მიღებულ იქნა სხვა ქიმიური ჯგუფების ციტოტოქსიკური მაალკირებელი ნივთიერებები. შემდგან ექვსი ათეული წლის განმავლობაში, დღემდე, ყველა გამოვლენილი და მიღებული ონკოპრეპარატები ჩართულია სხვადასხვა ქიმიური სტრუქტურისა და სხვადასხვა ფარმაკოლოგიური (ბიოლოგიური) მოქმედების სამკურნალო საშუალებებში. ყველა ისინი კლასიფიცირებულია შემდეგ ჯგუფებად [8,15-17,21]:

- 1) მაალკირებელი ნივთიერებები;
- 2) ანტიმეტაბოლიტი;
- 3) სხვადასხვა ქიმიური ჯგუფის სინთეზიკური პრეპარატები;
- 4) ფერმენტები, გამოყენებული ონკოლოგიურ დააგადებათა სამკურნალოდ;
- 5) სიმსივნის საწინააღმდეგო ანტიბიოტიკები;
- 6) მცენარეული წარმოშობის ალკალინოდები, პოლიფენოლები და სხვა ნივთიერებები, რომლებიც გავლენას ახდენენ ციტოტოქსიკურ მოქმედებაზე;
- 7) ინტერფერონები და ინტერლეიკინები;
- 8) პორმონალური პრეპარატები და მათი ანტაგონისტები.

თითოეულ ონკოდააგადებულს სიმსივნური პროცესი აქვს ინდივიდუალურ-თავისებური. ონკოდააგადებულის სიმსივნური პროცესი აქვს ინდივიდუალურ-თავისებური. ონკოდააგადებათა თავისებურებებზე დამოკიდებულებით, მისი მიმდინარეობის, ეფექტურობისა და გადამტანობის მიხედვით სიმსივნის საწინააღმდეგო პრეპარატებისთვის შეირჩევა მათი გამოყენების სქემები, დოზები, კომბინაციები სხვა პრეპარატებთან და ა.შ. [39]. ქიმიოთერაპიის შერჩევა, როგორც წესი, გამოიყენება ოპერაციისა და სხივური თერაპიის შემდეგ. მკურნალობის ეფექტურობის ამაღლების მიზნით სიმსივნის საწინააღმდეგო პრეპარატებს ხშირად იყენებენ არსებულ საშუალებათა კომბინაციების სახით – მოქმედების სხვადასხვა მექანიზმით [2].

სიმსივნის საწინააღმდეგო პრეპარატები იწვევენ სხვადასხვა გვერდით ეფექტს: გულისრევას, პირდებინებას, ანორექსიას, დიარეას და სხვა მოვლენებს, რომლებიც ხელს უშლიან ქიმიოთერაპიის ჩატარებას. ონკოპრეპარატების უმცესობისთვის დამახასიათებელია ისეთი გვერდითი ეფექტები, როგორიც არის ჰემოპოეზის დათრგუნვა, რომელიც ძლიერდება კომბინირებული თერაპიის დროს. სიმსივნის საწინააღმდეგო ანტიბიოტიკები ხასიათდება კარდიოტოქსიკურობით და ნეფროტოქსიკურობით, ხოლო პორმონალური პრეპარატები, მათი ანალოგები და ანტაგონისტები იწვევს პორმონალურ დისბალანსს. რიგი ონკოპრეპარატების დამახასიათებელი თავისებურებაა მათი იმუნოსუპრესიული მოქმედება, რომელიც ასუსტებს ორგანიზმის იმუნიტეტს და აადვილებს ინფექციური გართულებების განვითარებას. ამიტომ ბოლო ათწლეულში შეიქმნა და მოქმედებაშია მრავალი დამხმარე სამკურნალო საშუალება, რომლებიც ხელს უწყობენ ძირითადი ონკოპრეპარატების ეფექტურობას [21].

სიმსივნეთა მრავალსახეობა, მრავალი სხვადასხვაგარად მოქმედი ონკოქიმიოპრეპარატი, მოითხოვს პრაქტიკაში გამოყენებულ იქნას ბევრი ექსპერიმენტული

მეთოდი და ეტალონურ სიმსივნეთა ფართო სპექტრი. რეალური წარმატებების მიუხედავად, ონკოლოგიურ დაავადებათა ქიმიოთერაპია დღეს ჯერ კიდევ დგას გადაუჭრელი პრობლემების გვერდით:

1) ჯერ არ არის შექმნილი უნივერსალური სამკურნალო პრეპარატი კიბოს მრავალი ფორმის თერაპიისთვის;

2) სიმსივნე მკურნალობის დროს იძენს მდგრადობას კონკრეტული პრეპარატის მოქმედების მიმართ;

3) სისხლის სუსტი ცირკულაცია სიმსივნის ქსოვილში ართულებს პრეპარატის მიტანას სიმსივნეში;

4) სიმსივნის საწინააღმდეგო პრეპარატების უმრავლესობა ახშობს ნებისმიერი ქსოვილის ზრდას, ამიტომ სუსტი სპეციფიკურობის გამო, ისინი მცირედეფექტურია ნელა მზარდ სიმსივნეთა შემთხვევაში;

5) ასეთი პრეპარატები ახდენენ დამაზიანებელ მოქმედებას იმ ჯანმრთელ ქსოვილებზეც, რომელთათვის დამახასიათებელია უჯრედთა სწრაფი დაყოფა, მაგალითად, ძვლის ტინი.

ამის შედეგად წარმოიშვა ახალი სიტუაცია, როდესაც უფექტური სიმსივნის საწინააღმდეგო პრეპარატის სინთეზისთვის აუცილებელია არსებითად ახალი მიღომა მათ შესაქმნელად.

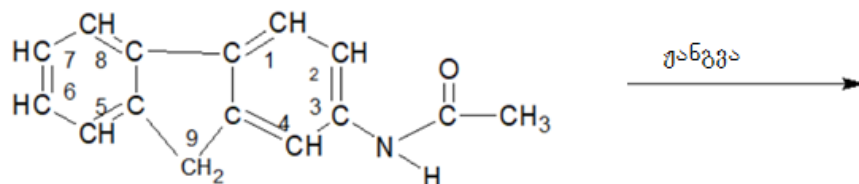
ქიმიოთერაპიის სრულყოფისათვის ონკოდაავადებას უნდა მოეძებნოს მკურნალობისთვის უფრო შერჩევითი მეთოდები და ასევე შეიქმნას სიმსივნის საწინააღმდეგო სამკურნალო საშუალებათა ახალი სპეციფიკური ჯგუფები. რაც მეტი გვეცოდინება ფაქტი განსხვავებების შესახებ სიმსივნურ და ნორმალურ უჯრედებს შორის, მით უფრო ადვილად მოვახდეთ ქიმიურ ნაერთთა სინთეზის სქემების კონსტრუირებას, რომლებსაც ექნებათ შერჩევითი მოქმედების უნარი.

ჩვენ ხელახლა გადავხედეთ სიმსივნურ და ჯანმრთელ უჯრედებს შორის ფიზიკურ და ქიმიურ ფაქტორებს შორის მთელ განმასხვავებელ კომპლექსს. სწორედ ეს განსხვავებები წარმოადგენენ რეალურ სამიზნეს სიმსივნურ უჯრედებთან მიზანმიმართული ბრძოლისთვის.

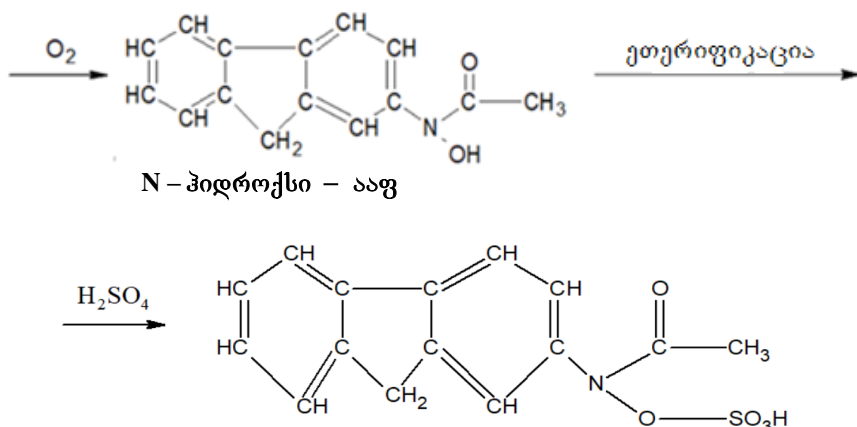
მეტასტაზების წარმოქმნა მჭიდროდ არის დაკავშირებული ურთიერთდამოკიდებულებასთან სიმსივნურ უჯრედებსა და სისხლძარღვების ენდოთელიუმს შორის ფიზიკურ-ქიმიურ დონეზე. ადამიანის სხვადასხვა სიმსივნის უჯრედები განსხვავდება საწყისი ნორმალური უჯრედებისგან თავისი ელექტრული მუხტით. ჯანმრთელი უჯრედების ნორმალური მემბრანული პოტენციალი შეადგენს 90-100 მვ, სიმსივნურ უჯრედებში ის მცირდება 40 მვ-მდე. ავთვისებიან უჯრედთა პოტენციალის ასეთი შემცირება მათ უფლებას აძლევს მკვეთრად შეზღუდონ უცხო ნივთიერებათა შიგნით შეღწევა. ეს ძლიერ აძლევს სიმსივნის საწინააღმდეგო საშუალებათა მოქმედებას. ნორმალურ უჯრედებს უნარი აქვთ დაარეგულირონ თავისი მემბრანული პოტენციალი [8, 18-20, 27, 30].

სიმსივნის უჯრედთა ავთვისებიანობის ამაღლებას თან ახლავს მათი უარყოფითი ელექტრული მუხტის გადიდება. კანცეროგენული ნივთიერებები ხელს უწყობენ უჯრედთა ელექტრონული მუხტის ამაღლებას [8]. კანცეროგენები შეიძლება განისაზღვროს როგორც ნივთიერებები, რომლებიც ხელს უწყობენ სიმსივნეთა წარმოქმნას მათი მოქმედების მექანიზმისგან დამოუკიდებლად.

ზოგიერთ კანცეროგენს უნარი აქვს გამოვიდეს ლიგანდის (მახელატირებელი აგენტი) როლში და შეაკავშიროს მეტალთა იონები წყალხსნარებში ან არაწყალხსნარებში. სხვა კანცეროგენები, რომლებსაც არ აქვთ უნარი კოორდინაციაში შევიდნენ მეტალთა იონებთან, მეტაბოლიზმის შედეგად გარდაიქმნებიან ტიპურლიგანდებად. მაგალითის სახით მოვივანოთ არომატული ამიდის (2-აცეტილ-3-ამინოფლუორენი, ააფ) ქიმიური გარდაქმნის სქემა N-ჰიდროქსიბოგირდმექავა ეთერის (ააფ) ჟანგვის შედეგად, რომელიც წარმოადგენს საბოლოო კანცეროგენს და ძლიერ ლიგანდს [18]:



2-აცეტილ-3-ამინოფლუორენი (ააფ)

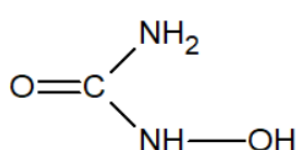


N - პიდროქსი – გოგირდმება ეთერი ააფ
საბოლოო კანცეროგენი და ძლიერი ლიგანდი

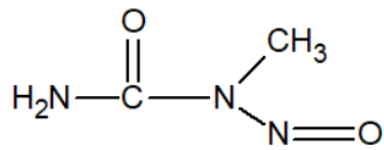
აუცილებელია აღინიშნოს, რომ ავთვისებიანი უჯრედები კონკურენციას უწევენ ნორმალურს აუცილებელი საკვები პროდუქტებისათვის, მათ რიცხვში მეტალთა იონებისათვის. სიმსივნური უჯრედები იმარჯვებენ ამ კონკრეტულ ბრძოლაში მეტალებისათვის, რადგან ისინი იყენებენ უფრო ძლიერ ლიგანდებს, ვიდრე ჯანმრთელი უჯრედები [25-28].

სიმსივნის საწინააღმდეგო პრეპარატები მიეკუთვნება ტიპურ ლიგანდებს და უნარი აქვთ წარმოქმნაზე კომპლექსები მეტალთა იონებთან ორგანიზმებში. ამ პრეპარატებიდან ბევრის სიმსივნისსაწინააღმდეგო აქტივობა იზრდება, თუ მათ შევიყვანთ ორგანიზმში მეტალების კოორდინაციული ნაერთების სახით.

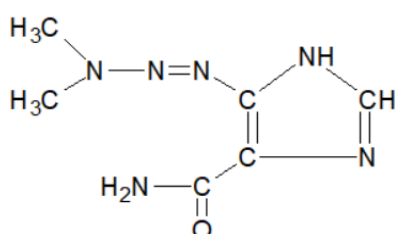
მოვიყვანოთ ზოგიერთი ცნობილი სიმსივნისსაწინააღმდეგო პრეპარატის სტრუქტურული ფორმულები [21]:



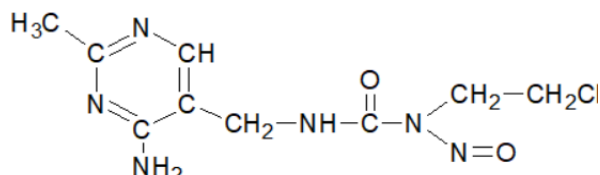
პიდროქსიკარბამიდი (პიდრეა)



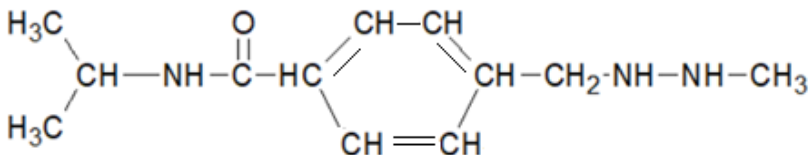
ნიტროზომეთილშარდოვანა (მეტინური)



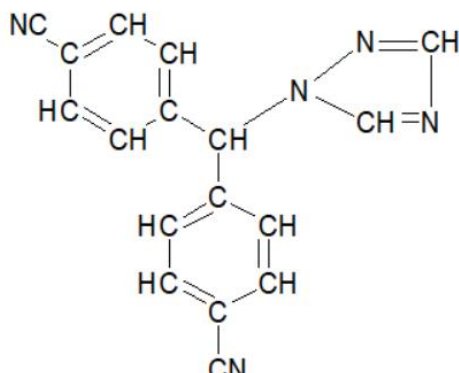
დეტიცენი



ნიდრანი



ნატულანი (ფუძე)



ფემარა

როგორც ვხედავთ, ყველა მოყვანილი ფორმულა წარმოადგენს ტიპურ ლი-განდებს, რომლებსაც კოორდინაციის უნარი აქვთ მეტალის იონებთან ორგანიზმში.

სიმსივნისსაწინააღმდეგო პრეპარატებს არ აქვთ უნარი წარმოქმნას მტკიცე ბმები მეტალთა იონებთან და მეტაბოლურად გარდაიქმნებიან ორგანიზმში ნაერთებად, რომლებსაც უქნებათ ლიგანდებისათვის დამახსასიათებელი თვისებები.

შეიძლება, აგრეთვე შეთავაზება იმისა, რომ პოტენციურად სიმსივნის-საწინააღმდეგო პრეპარატები შეიძლება მოიქმნოს ლიგანდებს შირისაც, რომლებიც წარმოქმნიან საკმაოდ მტკიცე ბმებს მეტალთა მცირედ დაჭანგულ იონებთან.

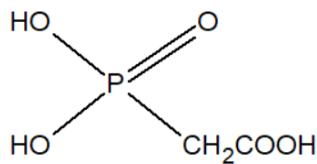
აღსანიშნავია, რომ მარტელას კონცეფციით მეტალის კანცეროგენობა დაკავშირებულია მის ელექტროდადებით ხარისხთან [12], ე.ი. ცნება „მეტალის კანცეროგენობა“ მიეკუთვნება არა ელექტრის როგორც ასეთს, არამედ მის გარკვეულ ფიზიკურ-ქიმიურ მდგომარეობას (იონ-კომპლექსების უანგვის ხარისხს).

ელექტროდადებით მეტალთა იონები წარმოქმნიან ლაბილურ კომპლექსებს, რომლებიც მეტი ნაწილით არ არიან კანცეროგენები. მეტალთა იონები დაბალი ელექტროდადებითობით წარმოქმნიან ბმებს ბიოლიგანდთა დონორულ ჯგუფებთან და უნარი აქვთ განიცადონ მხოლოდ მცირე ხარისხით მიმოცვლითი რეაქციები სხვა ლიგანდებთან, რომლებიც იმყოფებიან ბიოლოგიურ სისტემებში, რაც განაპირობებს ამ კატიონთა კანცეროგენურ მოქმედებას.

ამიტომ მახედატირებელი აგენტების გამოყენება სამკურნალო პრეპარატებში გამართლებულია და პერსპექტიული. გარდა ამისა, კომპლექსნაერთების დამატება, ონკოლოგიურ დაავადებათა თერაპიის დროს, ამაღლებს სიმსივნისსაწინააღმდეგო ქიმიოპრეპარატების მოქმედების ეფექტს.

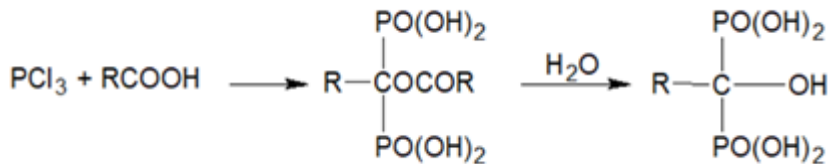
ზემოაღნიშნულიდან გამომდინარე, შეიძლება გაკეთდეს ძალიან მნიშვნელოვანი დასკვნა, რომ სიმსივნისსაწინააღმდეგო პრეპარატების აქტივობა დაკავშირებულია მათ ლიგანდურ თვისებებთან ან უნართან გარდაიქმნას ორგანიზმში ეფექტურ ლიგანდებად.

ნუკლეინმჟავათა სინთეზის ინპიბიტორთა ჯგუფს მიეკუთვნება ფოსფონატები. მაგალითად, ფოსფონომეთარმჟავას უნარი აქვს მოახდინოს ვირუსთა დნმ – პოლიმერზის ინპიბიტება.

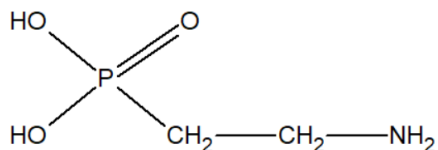


უკანასკნელ ათწლეულში მსოფლიოში შემოთავაზებულია დიფოსფონატების მწერივი ფარმაცევტული პრეპარატების სახით – ზოგიერთი სახეობის სიმსივნეთა ძვლებში მეტასტაზირების რისკით. მემბრანების განჭოლვის რეგულირებით, დიფოსფონატები ხელს უწყობენ სიმსივნის საწინააღმდეგო პრეპარატების ტრანსპორტირებას უჯრედება.

გთავაზობთ დიფოსფონატების ქიმიური სინთეზის საერთო სქემას:

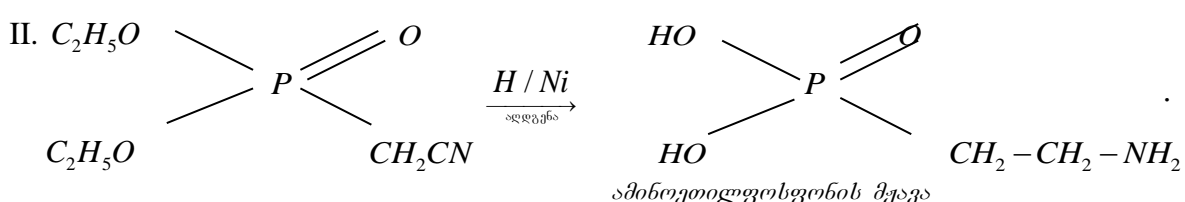
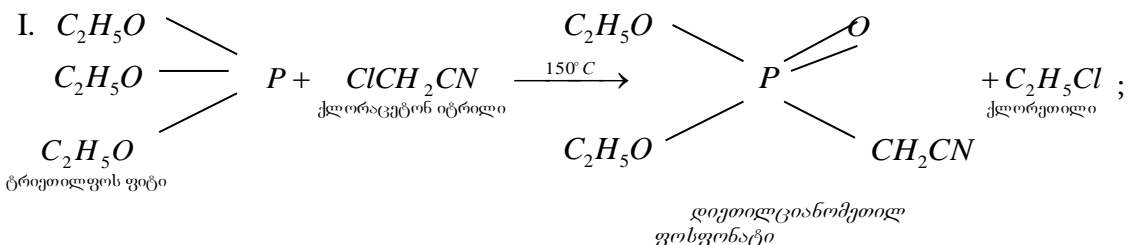


განსაკუთრებულ ინტერესს, ჩვენი აზრით, წარმოადგენს ამინოეთილფოსფონის მჟავა აეფ(ცილიატინი), რამდენადაც იგი გახვდება ბიოლოგიურ ორგანიზმებში:



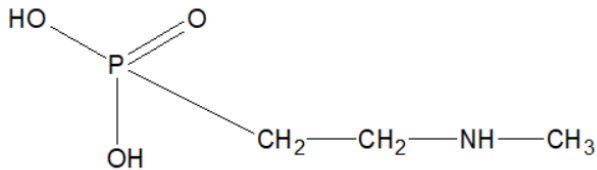
ამინოეთილფოსფონის მჟავა – თეთრი ქრისტალური ნივთიერებაა, კარგად ისხნება წყალში და მცირედ – ორგანულ გამსხნელებში. ძალიან მდგრადი ქიმიური ნივთიერებაა, რომელზეც არ მოქმედებს ხისტი პიდროლიტური პირობები, მაგალითად, უძლებს 8 საათის განმავლობაში გახურებას 120°C გარემოში $5N_{NaOH}$ ან 48 საათი 150°C დროს გარემოში $8N_{HCl}$ [13, 14]. აეფ ნაპოვნია იაპონიის ზღვის ანემონიებში და ზოგიერთ მოლუსკებში. Tetrahymena 15% ორგანიზმში ფოსფორი სულ არის აეფის სახით.

აეფ ქიმიური სინთეზი ხორციელდება ორი სტადიის სახით:

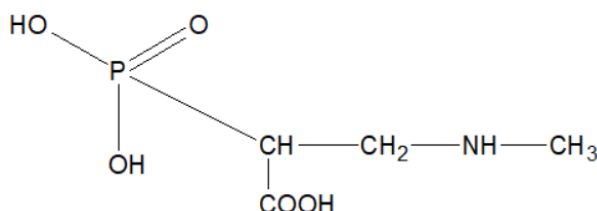


ამინოეთილფოსფონის მჟავას ბაზაზე ჩვენს მიერ შემუშავებულია პერსპექტიული ტრანსპორტის მახელატირებელი აგენტების სინთეზის მეთოდიკები.

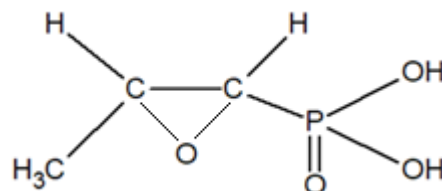
ბუნებაში სხვა იშვიათად შემხვედრი ფოსფონატები, რომელთა წარმოებულების სინთეზი წარმოადგენს ჩვენთვის პრაქტიკულ ინტერესს, არის:



2-მეთილ-ამინოეთილფოსფონის მჟავა



3-ამინო-2-ფოსფონოპროპიონის მჟავა



ანტიბიოტიკი ფოსფონომიცინი
(-)-ცის-ეპოქსი-1,2-პროპილფოსფონმჟავა

1964 წლიდან, როზენბერგის მიერ [26] ზოგიერთი სიმსივნის მიმართ პლატინის მარტივი კომპლექსების ეფექტურობის აღმოჩენის შემდეგ, დაიწყო მიზანმიმართული კვლევები მეტალთა კოორდინაციული ნაერთების სინთეზისა და პრაქტიკული გამოყენების მიმართულებით. ეფექტური აღმოჩნდა ორგალენტიანი პლატინის კოორდინაციული ნაერთები, რომელთა ფიზიოლოგიური მომედება დამოკიდებულია მათ აღნაგობაზე: აქტიური აღმოჩნდა მხოლოდ ცის-იზომერები, ხოლო ტრანს-იზომერებს სიმსივნისაწინააღმდეგო მოქმედება არ აღმოაჩნდათ.

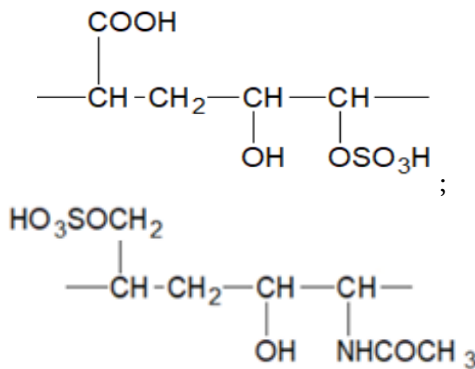
შემდგომ აღმოჩენილი იქნა ნიკელის, პალადიუმის, როდიუმის, ირიდიუმის კომპლექსები მსგავსი ბიოაქტიური ეფექტებით [16, 17, 29, 40].

აუცილებელია ხაზგასმით აღინიშნოს, რომ კომპლექსური ნაერთების სტერეოქიმიური თავისებურებანი მნიშვნელოვნად დამოკიდებულია ცენტრალური ატომ-კომპლექსების საკოორდინაციო რიცხვზე [28, 31, 60].

გარდა ამისა, აღსანიშნავია, რომ ჩვენს მიერ უკანასკნელ პერიოდში მიღებული იქნა სპილენძისა (III) და ოუთიის კოორდინაციული ნაერთები ანტიმიკოზებთან და ანტიპროტოზოინებთან – სამკურნალო პრეპარატებთან. ამ კომპლექსნაერთების მედიკო-ბიოლოგიური კვლევების შედეგად დადგენილ იქნა, რომ განწესით ზემოაღნიშნული ნაერთების ანტიპროტოზოული და ანტიბაქტერიალური აქტიურობის ზრდასთან ერთად, შეიმჩნეოდა აგრეთვე სრულიად ახალი ციტოტოქსიკური აქტიურობის გავლენა ავთვისებიანი უჯრედების მიმართ, რომელიც არადამახასიათებელია თავად ლიგანდებისათვის [48-52].

ზემოთქმულთან დაკავშირებით საინტერესო იყო ბრძოლა მეტასტაზირებასთან კომპლექსურად, სიმსივნურ და ჰომოლოგიურ ნორმალურ უჯრედებს შორის ელექტრონულ პოტენციალებში განსხვავების გამოყენებით. 2009–2010 წწ. ზღურბლზე ჩვენში განვითარებულ იდეა, ავთვისებიანი უჯრედების უარყოფითი ელექტრონული პოტენ-

ციალის გათვალისწინებით, გამოგვევენებინა უარყოფითი მრავალმუხტიანი გრძელ-ჯაჭვიანი ორგანული იონები სიმსივნური უჯრედები კონკურენტ-ბლოკატორის სახით. ამასთან, ვარაუდობდით ჩაგვეტარებინა სინთეზი და მაკრომოლეკულის შიგნით აგვეშენებინა პეპტიდის მოლეკულის ფრაგმენტები.



ეს საშუალებას მოგვცემდა გაგვეძლიერებინა სიმსივნურ უჯრედთა მოწყვა-დობა (სუსტი ადგილი, ნაკლი) ფიბრინილიტიკური მოქმედების სარჯზე, რაც შეეწინააღმდეგებოდა მეტასტაზიორებიად უჯრედების ადგეზიას ენდოთელიუმზე. გარდა ამისა, მსგავსი მაკრომოლეკულური პოლიანიონები თავად არიან სიმსივნური უჯრე-დების კონკურენტები მეტალთა კატიონებზე და იძულებულს ხდიან მათ განიცადონ შიმშილი საკვებ პროდუქტებზე.

სიმსივნეთა მეტასტაზიორების სინთეზური ინპიბიტორების ახალი კლასის შექმ-ნას, რომელსაც საფუძვლად უდევს პროფესორების ი. ნადირაძისა და ნ. ჩიგოგიძის აღმოჩენა (მეცნიერ-კონსულტანტი, პროფესორი თ. წივწივაძე), შეერწყა სიმსივნური უჯრედების კონკურენტული შიმშილის პრინციპი მრავალდონიან (მრავალიარუსიან) ქიმიოთერაპიის პრინციპს, რაც ითვალისწინებდა ციტოლიტური მექანიზმების გაშ-ვებას მათ ლოკალიზაციებთან შერჩევით სიმსივნურ უჯრედებში [52-55].

სინთეზური ნაერთების ამ კლასმა მიიღო სახელწოდება მრავალმუხტიანი ანიონაქტიურ სიმსივნეთა მეტასტაზიორების (მაიმ-ი) ინპიბიტორი [57, 58].

„მრავალმუხტიანი“-ს ტერმინის ქვეშ იგულისხმება მაკრომოლეკულაში რამდე-ნიმე ფუნქციონალური ჯგუფის – $\text{COOH}, -\text{OSO}_3\text{H}, -\text{SO}_3\text{H}, -\text{PO(OH)}_2$ და სხვისი არსებობა, რომლებსაც უნარი აქვთ წარმოქმნას ძლიერტუტე მეტალების ცეზიუმი>-რუბიდიუმი>კალიუმი ორგანული მარილები. „მაიმ“-ის მოლეკულების პიდროვილობა გაპირობებულია მოცემული ფუნქციონალური ჯგუფების არსებობით. ბიოლოგიურ გარემოებში (სითხეებში) ამ ნივთიერებებს უნარი აქვთ დისოცირების გრძელჯაჭვიანი ორგანული ანიონების, აგრეთვე ცეზიუმისა Cs^+ და რუბიდიუმის Rb^+ , წარმოქმნით. „მაიმ“-ეს შეუძლიათ ერთდროულად ურთიერთქმედება ლიპოფილურ და პიდრო-ვილურ უჯრედთა სტრუქტურებთან, რაც განსაზღვრავს მათ ბიოლოგიურ აქტიუ-რობას და ლირებულებას.

ისნება ფართო შესაძლებლობა მრავალრიცხოვან ანიონაქტიურ მაკრომოლეკუ-ლების სინთეზში, აგრეთვე თერაპევტული თვისებების მრავალსახეობა, რომელთა ვარიორება შეიძლება სივრცითი აღნაგობის მაკრომოლეკულების პიდროვობურ უბანზე და კომბინაციებით ფუნქციონალური ჯგუფებისა მისი პიდროვილური ნაწილის მოქლ სიგრძეზე [23, 24].

მიზანმიმართული სინთეზის გზით მაიმ-ებს შეიძლება მიეცეს ანტიაგრეგან-ტული, ანტიკოაგულაციური ან ფიბრინოლიტიკური თვისებები იმისათვის, რომ შეეწი-ნააღმდეგოს სიმსივნური უჯრედების ადგეზიას. ენდოთელიუმის სიმსივნური უჯრე-დების ადგეზიას ასევე ეწინააღმდეგება ესა თუ ის ერთნაირი უარყოფითი მუხტი.

ძლიერტუტე მეტალები ცეზიუმი და რუბიდიუმი არიან სინერგისტები, ე.ი. აძლიერებენ ურთიერთქმედებას. ამავე დროს, ცეზიუმი და რუბიდიუმი [37] შედიან კალიუმის ქვეჯგუფში, არიან მისი ანალოგები. ეს საშუალებას აძლევს მათ, სხვა ელემენტებისგან განსხვავებით, შეიქრან სიმსივნურ უჯრედებში.

„მაიმ“-ის სინთეზირება შეიძლება როგორც ცეზიუმისა და რუბიდიუმის მონომარილების, ასევე ბიბიროვული კომპლექსური მოლეკულების სახით, რომელთა სტრუქტურებში ერთდროულად შედიან ცეზიუმისა და რუბიდიუმის ატომები განსაზღვრული თანაფარდობით. პრეპარატები კარგად ისხნება წყალში, რაც უზრუნველყოფს სამკურნალო საშუალებათა მაღალ ხელმისაწვდომობას ორგანიზმის ბიოლოგიურ გარემოში.

როგორც ცნობილია, წყლის მოლეკულები ერთმანეთთან შეკავშირებულია წყალბადური ბმებით და ნივთიერებები ისხნება წყალში მათი უნარის წყალობით – გაწყვიტოს ეს ბმები და წარმოქმნას ახალი ბმები წყლის მოლეკულებთან. ამფიფილური მოლეკულები წყალში იმყოფება დინამიკური წონასწორობის მდგომარეობაში, რადგან მათი ჰიდროფობური უბანი უწყვეტად გამოიდევნება წყლის მოლეკულებით, რომლებიც მიისწრაფვიან შეუერთდნენ ერთმანეთს. წყლის ეს თვისებები საფუძვლად უდევს არასპეციფიკურ ადსორბციას, რამდენადაც ამფიფილური ნივთიერებები იკავებენ ნებისმიერ მათთვის მისაწვდომ ზედაპირს, დამოუკიდებლად მისი ქიმიური ბუნებისა [45, 46].

სამკურნალო პრეპარატების მოქმედებისას უფრო მნიშვნელოვან როლს ასრულებს სპეციფიკური ადსორბცია. იგი დამახასიათებელია ჰიდროფილური ნივთიერებებისთვის, რომლებიც მიისწრაფვიან გამოვიდნენ წყლიდან და განთავსდნენ ზედაპირზე, აქვთ რა კომპლექსნებალური ხასიათი. კომპლექსნაერთების მარტივ მაგალითად, შეიძლება გამოდგეს ანიონის მიზიდვა დადებითად დამუხტული ზედაპირის უბნის მიერ, ხოლო კატიონისა – უარყოფითად დამუხტული. ასეთ შემთხვევაში იონი იქნება ძლიერ ადსორბირებული, ვიდრე არაიონიზირებული მოლეკულა.

შედაგარემოს ფიზიკურ-ქიმიურ პირობებში უჯრედითა ძვრები ახდენენ არსებით გავლენას მათ შემდგომ გადაგვარებას სიმსივნეში.

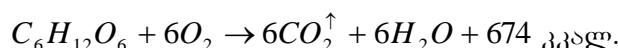
ნორმალური ჯანმრთელი უჯრედისთვის ოპტიმალურად ითვლება $pH = 7,35$ მნიშვნელობა. ნორმაში pH გარეუჯრედოვანი სითხისა ქვევე 7,36-7,44 ზღვრებში. pH -ის მუდმივობა შენარჩუნებულია ორგანიზმის ბუფერული სისტემებით [19,30]. გამონაკლისს შეადგენს pH -ის მნიშვნელობა უჯრედის შიგნით მიკროსამყაროს კუჭის ჯირკვალი – 1,7-2,0; წინამდებარე ჯირკვალი – 4,5; ოსტეობლასტებში – 8,5-მდე [18-20].

სიმსივნური უჯრედებისთვის დამახასიათებელია უფრო მჟავა გარემო pH -ის მნიშვნელობის თანდათხობით შემცირებით 7,2-დან 6,5-მდე. უფრო ბოლო სტადიებზე ონკოდაავადებები, სიმსივნური უჯრედების ავთვისებიანობის გაზრდით მათი pH შეიძლება შემცირდეს 5,7-6,0-მდე. წინამდებარე ჯირკვალის უჯრედშიდა სითხის pH -ის დაბალი მნიშვნელობა (4,5) გვაფიქრებინებს შესაძლო მიზეზზე, თუ როგორ ხდება მოცემული უჯრედების შედარებით ადვილი და ხშირი გადაგვარება სიმსივნურში.

კვების განწესით, რომელიც აუცილებელია უჯრედული სტრუქტურების ასაგებად და გასაზრდელად, უჯრედში მუდმივად ხდება მიმოცვლის ისეთი პროცესი, როგორიცაა სუნთქვა, რომლის შედეგად უჯრედი ლებულობს მისთვის აუცილებელ ენერგიას [32, 33].

უჯრედების სუნთქვა დაკავშირებულია ჰაერის თავისუფალი ჟანგბადის გამოყენებასთან (სუნთქვის ასეთ ტიპს ეწოდება აერობული). სუნთქვის პროცესი საშუალებას აძლევს უჯრედებს მოიპოვონ აუცილებელი ენერგია გლუკოზის გახლების ხარჯზე – მარტივ ნაერთებამდე – წყალი და ნახშირორჟანგი [18, 20, 30, 32, 33].

ერთი გრამ-მოლეკულის (180გ გლუკოზა) $C_6H_{12}O_6$ აერობული ჟანგვა შეიძლება წარმოდგენილი იქნეს განტოლებით:



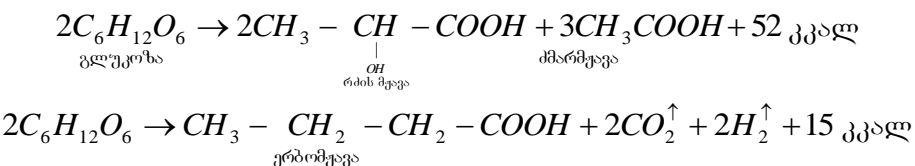
როგორც განტოლებიდან ჩანს, 1გ – მოლი გლუკოზის აერობული გახლებისას გამოიყოფა დიდი რაოდენობის სითბური ენერგია – 674 კგალ.

ჯანმრთელი უჯრედი უანგბადის მოთხოვნის შემცირებით ერთი მესამედით იწვევს ნორმალური უჯრედის გადაგვარებას სიმსივნურში. თავისი სიცოცხლის უზრუნველყოფისთვის, უანგბადის უკმარისობის პირობებში, უჯრედი იძულებულია გადავიდეს ნივთიერების გახლებაზე ანაერობულ პირობებში. ნორმალური უჯრედი უბრუნდება უვოლუციურ, უფრო პრიმიტიულ კვების, ზრდისა და გამრავლების ფორმებს რთული შიდამოლექულური ქიმიური გარდაქმნების ხარჯზე. ეს უკანასკნელი ხორციელდება ფერმენტების სპეციფიკური სისტემით. გადაგვარებული (სიმსივნური) უჯრედები ხდება ანაერობული (პიპოქსიური).

ნახშირწყლების ფერმენტაციული გახლება ანაერობულ პირობებში არის დუღილის პროცესი. დუღილის პროცესში წარმოიქმნება არა მხოლოდ წყალი და ნახშირორეანგი, არამედ რიგი უფრო რთული ნივთიერებები: რძის, ერბოს, პროპიონის და სხვა მჟავები.

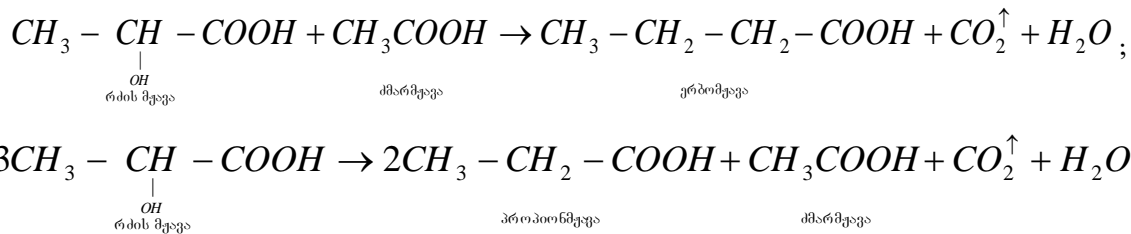
გლუკოზის ფერმენტაცია უანგბადის არარსებობისას იწვევს რძისა და სხვა მჟავების წარმოქმნას.

მაგალითები მსგავსი ქიმიური გარდაქმნებისას:



როგორც ჩანს, გამოთავისუფლებული ენერგიის რაოდენობა სუნთქვის ანაერობულ პროცესში ბევრად ნაკლებია, ვიდრე აერობული სუნთქვის დროს. სწორედ, ეს გარემოება იწვევს იმას, რომ სიმსივნური უჯრედები თავისი სიცოცხლისუნარიანობის უზრუნველყოფისათვის იძულებულია მოიხმაროს გლუკოზა და კალიუმის იონები დიდი რაოდენობით. ამ დროს გამომუშავებული რძის მჟავა ამცირებს pH -ის მნიშვნელობას სიმსივნური უჯრედის შიგნით მჟავურ მსარეს და ერთდროულად ახდენს დამაზიანებელ ეფექტს მემკვიდრეობით აპარატზე. იშლება ნუკლეინმჟავების უნარი კონტროლი გაუწიონ უჯრედოვან დაყოფას და სიმსივნური უჯრედები დებულობენ უკონტროლო გამრავლების შესაძლებლობას. გარდა ამისა, რძემჟავა იწვევს ძლიერ ადგილობრივ ტკივილს, აგრეთვე შლის უჯრედოვან ფერმენტებს, რომლებიც აუცილებელია ნორმალური ოქსიგენაციის პროცესისათვის.

ქიმიური გარდაქმნების მაგალითები რძის მჟავას მონაწილეობით:



ბიოქიმიური გარდაქმნების შედეგად წარმოქმნილი ერბომჟავა, პროპიონმჟავა, მმარმჟავა და სხვა მჟავები, აგრეთვე ხელს უწყობენ დაჟანგონ ონკოუჯრედებისა და მეტასტაზების შიგაუჯრედული გარემო.

ჩვენს მიერ შემოთავაზებული „მაიმ“-ი ავთვისებიანი უჯრედების მიმართ ხასიათდება ორმიმართულებიანი მიზნობრივი ზემოქმედებით:

ა) ბლოკირება ფიბრინში გახვეული დამცავი ფენისგან, რომელიც მოწყდება ბლასტომური უჯრედის პირველადი სიმსივნური კერიდან;

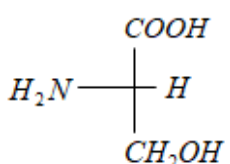
ბ) ტრანსპორტი და მიტანა „გაშიშვლებული“ სიმსივნური უჯრედის შიგნით, რომელიც გატუტიანებულია Cs^+ და Rb^+ კატიონებით, რაც იწვევს ამ უჯრედთა

სრულ განადგურებას. საყურადღებოა ის, რომ ჯანმრთელი უჯრედები უპირატესობას აძლევენ კატიონების K^+ შთანთქმას.

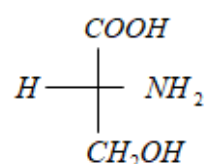
„მაიმ“-ების ასეთი შერჩევითი მოქმედება შესამჩნევად განსხვავდება გამოყენებული ტრადიციული ქიმიოპრეპარატებისგან.

პერსპექტიული სამკურნალო პრეპარატების ძიება და შექმნა ახალი ქიმიური ნაერთების ბაზაზე წარმოადგენს ძალიან ხანგრძლივ და ძირადლირებულ პროცესს, რომელიც მოითხოვს შეუპოვარ შრომას და სპეციალისტთა ერთობლივ ძალისხმევას.

სიმსივნეთა მეტასტაზირების ახალი ინპიპიტორების კლასის პირველი წარმომადგენელი არის ჩვენ მიერ სინთეზირებული პრეპარატი ამფიცეზინი [56]. კატიონების Cs^+ და Rb^+ დანიშნულების ადგილზე მისატან საშუალებად გამოყენებულია 2-ამინო-3-ჰიდროქსიპროპიონმჴავა (ჰიდროქსიამინომჴავა სერინი), რომელსაც აქვს ოპტიკური იზომერები:

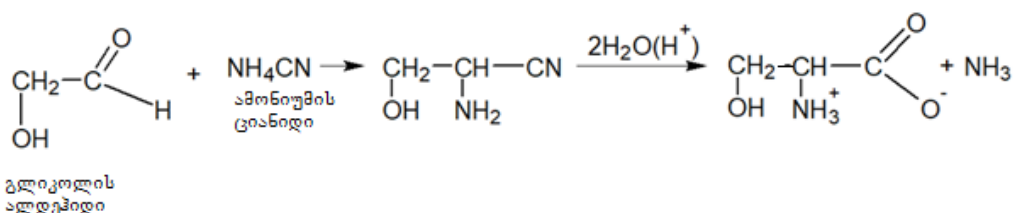


L-სერინი



D-სერინი

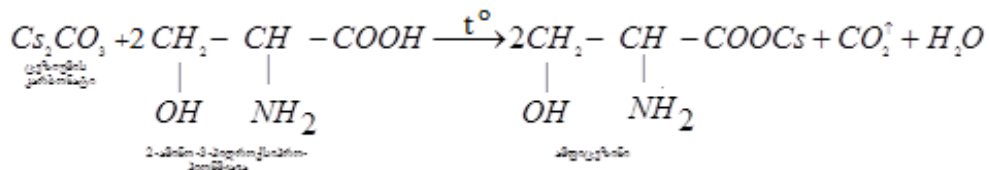
მოვიტანოთ სერინის ქიმიური სინთეზის სქემა გლიკოლის ალდეჰიდიდან:



სადღეისოდ სერინის მიღება ხდება დიდი რაოდენობით უფრო ხელმისაწვდომი და ექონომიკური ბიოტექნოლოგიური სერხით.

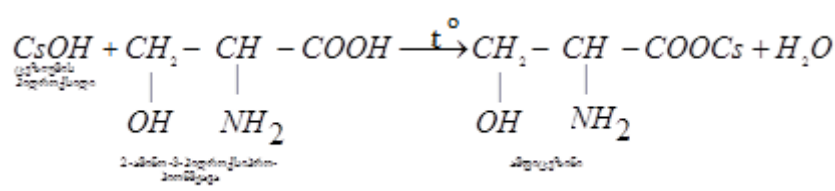
პრეპარატ ამფიცეზინის ქიმიური სინთეზის სქემა [56].

1)

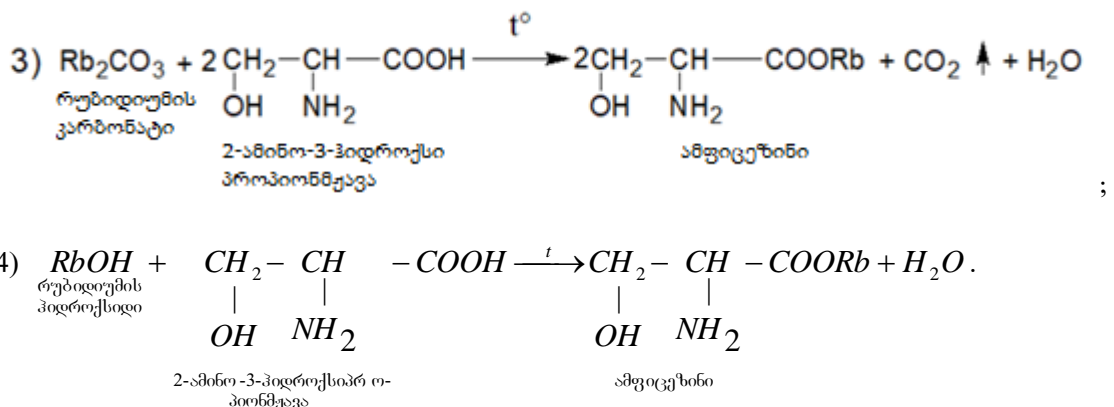


;

2)



;



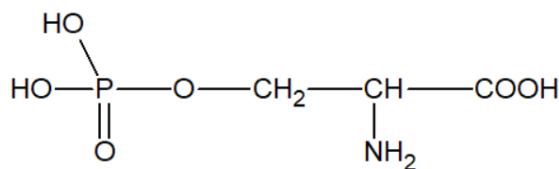
პრეპარატ ამფიცეზინის ფარმაცევტული კომპოზიცია შეიცავს 70% სერინატის ცენტრული + 30% სერინატის რუბიდიუმის. ამფიცეზინის მიღება შეიძლება შინაგანად (per os) ტაბლეტების სახით და წყალს სნარებით. დაუშეგებელია შიდაგუნთოვანი და ინტრავენური (შიგავენური) შეუვანა ამფიცეზინისა. არ არის ტოქსიკური პრეპარატი, კარგად იტანს ადამიანის ორგანიზმი.

თუმცა, მკაცრად რომ ითქვას, სერინი არ ითვლება გრძელჯაჭვიან მაკრომოლექსულად, მაგრამ თავად „მაიმ“-ის კონცეფციის შემოწმების მიზნით ჩვენი არჩევანი მასზე შეჩერდა. ამას ხელი შეუწყო რიგმა მოსაზრებებმა კვლევის პირველ ეტაპზე:

1) სერინის ნარჩენები მონაწილეობები რიგი მნიშვნელოვანი ფერმენტების აქტიური ცენტრების წარმოქმნაში: ტრიასინი, ქიმოგრიასინი, ტრომბინი, ხოლინეტჩრაზი, ღვიძლის კარბოქსილესტერაზი და სხვ., რომლებიც უზრუნველყოფენ მათ ფუნქციას;

2) სერინის ნარჩენების ჰიდროქსილური ჯგუფი ადგილად წარმოქმნის წყალბადურ ბმებს, რომლებიც აუცილებელია ფერმენტთა მაკროსტრუქტურების კატალიზური აქტივობის შესანარჩუნებლად;

3) სერინიდან შეიძლება ადგილად მიგიდოთ ფოსფორილსერინი, რომელიც შეიცავს ფოსფორს, შეკავშირებულს კოვალენტურ $P-O$ ბმასთან;



4) სერინი უზრუნველყოფს ორგანიზმის იმუნური სისტემის გაძლიერებას, მონაწილეობს ანტისეულის გამომუშავებაში, აგრეთვე სტიმულს აძლევს γ -ინტერფერონის ლიმფოციტების წარმოქმნას;

5) სერინის შეუძლია შეასრულოს მახელატირებელი აგენტის როლი;

6) მონაწილეობს სიგნალების უჯრედშორის გადაცემის მექანიზმებში;

7) სერინი – მნიშვნელოვანი ამინომჟავაა უჯრედული ენერგიის გამოსამუშავებლად;

8) სერინი მონაწილეობას დებულობს უჯრედული მემბრანის წარმოქმნაში.

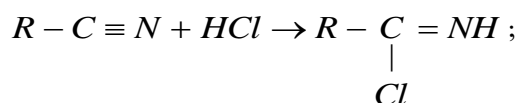
ამფიცეზინის შემდგომმა მედიკო-ბიოლოგიურმა გამოცდამ სხვადასხვა კონცენტრაციებში $D60p4$ უჯრედული ხაზის ფიბრობლასტების ატიპურ კულტურაში გვიჩვენა, რომ ჩვენმა არჩევანმა გაამართლა მაღალი შედეგებით. ამფიცეზინი, როგორც „მაიმ“-ის მარტივი მოდელი, ძალიან დადებითად წარმოაჩინა თავისი *in vitro* კვლევებში, რომელიც ჩატარდა 2018 წლის ზაფხულში ვირუსული თერაპიის ლატგიის საერთაშორისო ცენტრში (ქ. რიგა). ამფიცეზინის გამოცდის შედეგებმა გვიჩვენა, რომ სიმსივნურ უჯრედებზე მისი ციტოლიტიკური აქტივობა დამოკიდებულია გამოყენებულ

დოზაზე და კონტაქტის დროზე ავთვისებიან უჯრედებთან. ატიპური უჯრედების ზრდის ინპიბიციის მაქსიმალური ეფექტი (93,5 %) შეიმჩნეოდა კონტროლთან შედარებით (ჯანმრთელი უჯრედები) კულტივაციის დროის განმავლობაში 96 სთ 0,237 % კონცენტრაციის დროს.

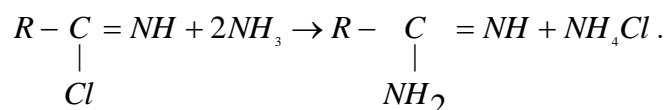
ამჟამად ჩვენს მიერ დამთავრებულია მუშაობა „მაიმ“-ის მეორე თაობაზე. Cs^+ და Rb^+ -ის ძლიერტუტე კატიონების ახალი გადამტანების სახით შემოთავაზებულია აზოტშემცველი ნივთიერებების ძალიან პერსპექტიული კლასი – ამიდინები, რომებიც ავლენენ მაღალ მრავალფუნქციურ ბიოლოგიურ აქტივობას.

მოვიყვანთ ამიდინების ქიმიური სინთეზის ორსაფეხურიან სქემას:

- 1) იმიდოქლორიდების მჟავათა მიღება



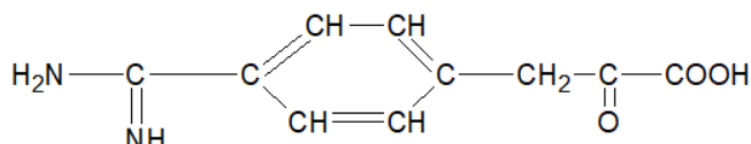
2) ამიდინების მიღება



„მაიმ“-ის მეორე თაობაში გამოვიყენებთ თრომბინისა და ანტიაგრეგანტის ფერმენტთა ინპიბიტორებს, რომლებიც შეიცავენ თავისუფალ ბოლო ამიდინის დაჯგუფებას.

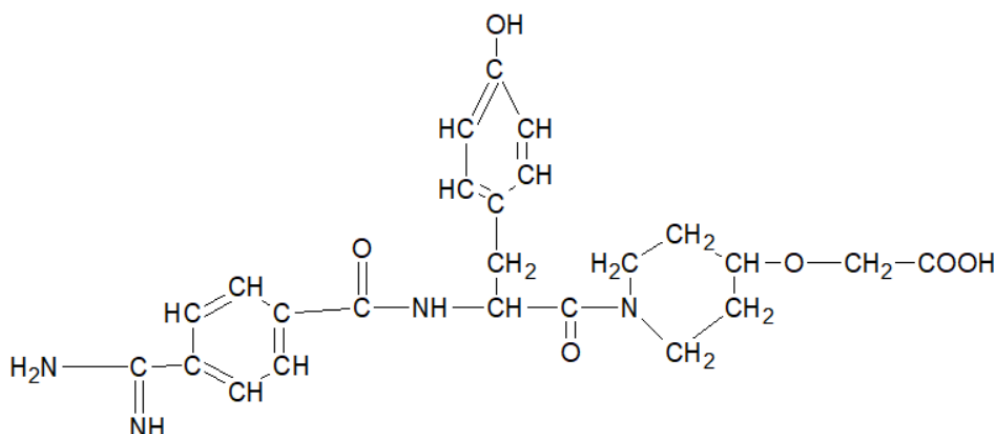
კატიონების Cs^+ და Rb^+ -ის გადამტანთა კონკრეტული მაგალითები მე-2 თაობის „მაიმ“-ი.

I. თრომბინის ფერმენტთა ინპიბიტორები:



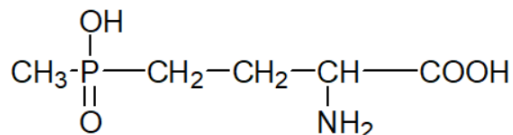
4 – ამიდინოფენილპიროფურმნისმჟავა

II. სინთეზური ანტიაგრეგანტი:



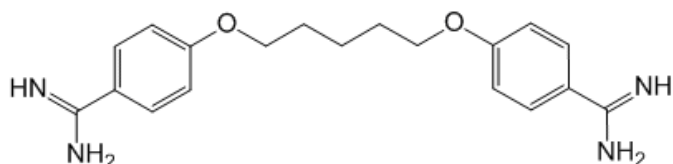
ლამიფიბანი

III. 2-ამინო-4-(მეთილფოსფინო) – ერბომჟავა



ამ ბოლო ნივთიერებამ მოსალოდნელია გამოავლინოს ანტიბაქტერიული აქტივობა.

წარმოვადგენთ რა ამიდინებს, ვთვლით აუცილებლად გიჩვენოთ უძლიერესი ანტიმიკრობული პრეპარატი პენტამიდინი, რომელიც გამოიყენება აფრიკული ტრიპანოსომოზის, ლეიშმანიოზის, ბაბეზიოზის პროფილაქტიკისა და პნევმონიის სამკურნალოდ.



პენტამიდინი

ნაშრომის დასკვნით ნაწილში განვიხილავთ „მაიმ“-ის არსებით უპირატესობას სხვა სიმსიგნის საწინააღმდეგო პრეპარატების მიმართ:

- 1) არჩევითობისა და სპეციფიკურობის ამაღლება ავთვისებიანი უჯრედების ახალი ინპიბიტორების მოქმედებაში;
- 2) მოცემული ქიმიოპრეპარატების ტოქსიკურობის შემცირება;
- 3) მათი გამოიყენების შესაძლებლობა მცირე კონცენტრაციებით პროფილაქტიკური მიზნით ხანგრძლივი დროით;
- 4) კარგი შეთავსებადობა სხვა სიმსიგნის საწინააღმდეგო სამკურნალო საშუალებებთან და თერაპიის მეთოდებთან;
- 5) პრაქტიკულად შეუზღუდავი შესაძლებლობა მათ მოდიფიკაციებსა და ქიმიურ სინთეზში;
- 6) ხელმისაწვდომობა მოსახლეობის ფართო მასებისათვის.

ლიტერატურა

1. Балицкий К.П., Воронцова А.Л., Лисняк И.А. и др. Метастазирование опухолей: Патогенетические аспекты / АН УССР. Институт проблем онкологии им. Р.Е. Кавецкого. - Киев, Наукова думка, 1991, 200с.
2. Гершанович М.Л. Осложнения при химио- и гормонотерапии злокачественных опухолей. -М., Медицина, 1982, 224с.
3. Андреенко Г.В. Фибринолиз. -М., Изд-во МГУ, 1979.
4. Зубаиров Д.М. Биохимия свертывания крови. -М., Медицина, 1978.
5. Чазов Е.И., Лакин К.М. Антокоагулянты и фибринолитические средства. -М., Медицина, 1977.
6. Фибринолиз: Современные фундаментальные и клинические концепции /Пер. с англ./ Под ред. П.Дж. Гаффни, С. Балкув-Улотина/. -М., Медицина, 1982, 240с.
7. Проблемы и гипотезы в учении о свертывании крови /Под ред. О.К. Гаврилова. -М., Медицина, 1981, 288с.
8. Вольф М., Рансбергер К. Лечение ферментами /Пер. с англ. -М., Мир, 1976, 232с.
9. Надираძэ И.Ш. Синдром Мачабели в онкологии. -Тбилиси, Chronograph, 2000.
10. Надираძэ И.Ш. Внутрисосудистое свертывание крови у больных со злокачественными новообразованиями. //Хирургия, 1983, №9, с. 131-134.
11. Потапов В.М. Стереохимия. -М., Химия, 1976, 696с.
12. Дятлова Н.М., Темкина В.Я., Попов К.И. Комплексоны и комплексонаты металлов. -М., Химия, 1988, 544с.
13. Корбридж Д. Фосфор: Основы химии, биохимии, технологии /Пер. с англ. -М., Мир, 1982, 680с.
14. Фосфор в окружающей среде / Пер. с англ. -М., Мир, 1977, 760с.

15. Лос К. Синтетические яды /Пер. с нем. - М., Изд-во ИЛ, 1963, 258с.
16. Вартанян Р.С. Синтез основных лекарственных средств. -М., Медицинское информационное агентство, 2004, 845с.
17. Мокрушин В.С., Вавилов Г.А. Основы химии и технологии биоорганических и синтетических лекарственных веществ.- СПБ., Проспект Науки, 2018, 496с.
18. Тюкавкина Н.А., Бауков Ю.И. Биоорганическая химия. -М., Медицина, 1991, 528с.
19. Николаев А.Я. Биологическая химия. -М., Высшая Школа, 1989, 495с.
20. Овчинников Ю.А. Биоорганическая химия. М., Просвещение, 1987. – 815с.
21. Машковский М.Д. Лекарственные средства. – 15-е изд. -М., Новая Волна, 2005, 1200с.
22. Альберт А. Избирательная токсичность. Физико-химические основы терапии. Пер. с англ.- М., Медицина, 1989. т. 1-2.
23. Помогайло А.Д., Уфлянд И.Е. Макромолекулярные металлохелаты. -М., Химия, 1991, 310с.
24. Ионы металлов в биологических системах. Под. ред. Х.М. Зигель.- М., Мир, 1982, 72с.
25. Уильямс Д. Металлы жизни. -М., Мир, 1975, 236с.
26. Хьюз М. Неорганическая химия биологических процессов. Пер. с англ.-М., Мир, 1983, 416с.
27. Болдырев А.А. Биологические мембранны и транспорт ионов. -М., Наука, 1986.
28. Методы и достижения бионеорганической химии. Под. ред. К. Мак-Олиффа. -М., Мир, 1978, 416с.
29. Басоло Ф., Джонсон Р. Химия координационных соединений. -М., Мир, 1996, 180с.
30. Граник В.Г. Основы медицинской химии. -М., Вузовская книга, 2001, 384с.
31. Биологические аспекты координационной химии. Под. ред. К.Б. Яцимицкого.- Киев, Наукова думка, 1979.
32. Райлс А., Смит К., Уорд Р. Основы органической химии. -М., Мир, 1983, 352с.
33. Гудман М., Морхауз Ф. Органические молекулы в действии. -М., Мир, 1977, 336с.
34. Гауптман З., Грефе Ю., Ремане Х. Органическая химия /Пер. с нем. -М., Химия, 1979, 832с.
35. Несмеянов А.Н., Несмеянов Н.А. Начала органической химии. Книга первая и вторая. -М., Химия, 1969-1970, 664с, 824с.
36. Шарло Г. Методы аналитической химии. Часть вторая. Количественный анализ неорганических соединений. -М., Химия, 1969. Общие методы определения щелочных металлов калия, рубидия, цезия, с.797-798.
37. Рипан Р., Четяну И. Неорганическая Химия. Том 1. Химия металлов. -М., Мир, 1971, 560с.
38. Полюдек-Фабини Р., Бейрих Т. Органический анализ. Пер. с нем.-Л., Химия, 1981, 624с.
39. Шеллеи К., Экхардт Ш., Немет Л. Лекарственное лечение опухолевых заболеваний. -Будапешт, Изд-во АН Венгрии, 1975, 413с.
40. Координационная химия редкоземельных элементов /Под ред. В.И. Спицына, Л.И. Мартыненко. - М., МГУ, 1979, 254с.
41. Химия поверхностно-активных веществ и комплексонов. -Калинин, КГУ, 1984, 120с.
42. Файнгольд С., Кууск А., Кийк Х. Химия анионных и амфолитных азотсодержащих поверхностно-активных веществ. -Таллин, Валгус, 1984.
43. Абрамзон А.А. Поверхностно-активные вещества. -Л., Химия, 1981.
44. Абрамзон А.А., Зайченко Л.П., Файнгольд С.И. Поверхностно-активные вещества. -Л., Химия, 1988, 200с.
45. Адамсон А.В. Физическая химия поверхностей. -М., Мир, 1979.
46. Фридрихсберг Д.А. Курс колloidной химии. -Л., Химия, 1984.
47. Поверхностные явления и поверхностно активные вещества. Справочник /Под ред. А.А. Абрамзона и Е.Д. Щукина. -Л., Химия, 1984.
48. ჩიგოგიძე ნ., ჯაფარიძე რ. ახალი, პერსპექტიული ნაერთების სინთეზი თბილდავადებათა ქმითერაბინისთვის. /საერთაშორისო სამეცნიერო-პრაქტიკული კონფერენცია, ფუნქციონალური დანიშნულების კვების პროდუქტების წარმოების ინვაციური ტექნოლოგიები. ქუთაისი, 2015, გვ. 426.
49. ჩიგიძე ნ.შ., ციცვაძე თ.ი., ნაძირაძე ი.შ., კლდიაშვili რ.შ., პეტრიაშვili ჯ.დ., ჯაპარიძე რ.დ. Противоопухолевая активность комплексов меди Cu^{2+} с клотримазолом как следствие формирования специфической пентакоординационной структуры. //Georgian Engineering News. №1 (vol. 77), 2016, сс.123-128.
50. ჩიგოგიძე ნ.შ., წიგწივაძე თ.ი., ნაძირაძე ი.შ., პეტრიაშვili რ.შ., ჯაფარიძე რ.ჯ. საციფიკური კონფორმაციული სტრუქტურის გავლენა კლოტრიმაზოლის ბიოგომბლექსთა ვიტოტოქსიკური აქტიურობის გაძლიერებაში. //საქართველოს საინინირო სიახლეები (GEN), №2 (vol. 78), 2016, გვ. 112-119.
51. წიგწივაძე თენებიზ, პეტრიაშვili უ.უ. ჯაფარიძე რ.უ. ჩიგოგიძე ნოდარ, კლოტრიმაზოლი რეზო. სოკოს საწინააღმდეგო პრეპარატ კლოტრიმაზოლთან ზოგიერთი ბიოგებალის კომპლექსნაერთები. -თბილისი, სტუ, 2017, 106 გვ.

52. Chigogidze N.Sh., Petriashvili J.D., Japaridze R.J. Searching and synthesis of new chelating derivatives of the thiourea as antitumor remedies. /3rd International conference on Pharmaceutical sciences. „Looking towards the future, honoring the past”. Tbilisi, Georgia, 2015, p. 102-103.
53. Nadiradze I.Sh., Chigogidze N.Sh. Amphicezin – in principle new inhibitor of malignant tumors metastasis. /International Clinical Conference „Modern Approaches of diagnostics and Treatment”. Batumi, Georgia, 18-20/2019 September.
54. ნადირაძე ირაკლი, ჩიგოგიძე ნინო. მეტასტაზირების ახალი კლასის ინპიბიტორების შექმნა ონკოლოგიურ ავადმყოფთა ქიმიოთერაპიისათვის. //ქართი, №72, 2016, გვ. 30-32.
55. ნადირაძე ირაკლი, ჩიგოგიძე ნინო. კიბოს დამარცხების რეალური პერსპექტივები. //ქართი, №70, 2015, გვ. 26-28.
56. საქართველო. პატენტი (გამოგონება) P2019 7005B, 17-07-2019. მეტასტაზირების ახალი ინპიბიტორების შექმნა ონკოლოგიურ ავადმყოფთა ქიმიოთერაპიისათვის. გამოგონებელი: ნადირაძე ირაკლი, ჩიგოგიძე ნინო.
57. ჩიგოგიძე ნინო. სიმსივნერი უჯრედების თვისებები და ახალი მიღებომა სიმსივნერი წარმონაქმნების ქიმიოთერაპიაში. //„ოჯახის მკურნალი”, №10, 2019, გვ. 32-35.
58. ნადირაძე ირაკლი, ჩიგოგიძე ნინო. ავთვისებიან სიმსივნეთა ოპერაციის შემდგომი მეტასტაზირების პრინციპები. //ოჯახის მკურნალი №1, 2019, გვ. 8-12.
59. საქართველო. დეპონირების დამადასტურებელი მოწმობა 6811, 19.12.2016. ნადირაძე ირაკლი, ჩიგოგიძე ნინო. სამეცნიერო სტატია: Отрицательные многозарядные длинноцепочечные органические ионы в качестве ингибиторов метастазирования при терапии онкозаболеваний.
60. წივწივაძე თენგიზი, მახხოშვილი რევაზი, ჩიგოგიძე ნინო, კლდიაშვილი რევაზი, სხილაძე რევაზი, სულაძე გვლიძე გია. მცხნარეულ ალკალინიდებთან კიბოსსანინადმდეგო ბიოკორდინაციული ნეართების სინთეზი, აღნაგობა და თვისებები. //საქართველოს მეცნიერებათა ეროვნული აკადემიის მაცნე, ქმითი სერია, 2012, ტ. 38, №4, გვ. 317-324.

SUMMARY

TO CREATE OF NEW INHIBITORS OF CANCER CHEMOTHERAPY-SAVING MALIGNANT TUMORS METASTASIS

Chigogidze N.Sh., Nadiradze I.Sh., Tsivtsivadze V.P., Chigogidze E.N. and Tsivtsivadze T.I.

Biologically Active Substances Scientific Center of Georgian Technical University

Georgia-Israel Joint Clinic „Gidmed“

Caucasus International University

The evidence is determined not by quantity but by weight. The article describes the problems of combating the metastasis of malignant tumors which in themselves are very active and timely. Issues of sequences of malignant tumors metastasis processes in the body are presented. There is also shown the role of fibrin in the mechanism of tumors metastasis. The whole complex of differences between normal and tumor cells is reanalyzed. Particular attention is paid to various physical-chemical factors between tumor and healthy cells. The history of the introduction of modern anti-cancer chemotherapy is discussed (from 1942). Modern classification of anti-tumor drugs of different chemical structure and pharmacological action is suggested. Own data on a substantially new approach to create specific metastasis inhibitors for saving oncology chemotherapy is presented. A new class of synthetic multicharge anionactive tumors metastasis (maim) has been discovered. Their multifunctional action on the tumor cell is discussed. A patent has been got for the first drug of given class-Amphicezine that does not damage the normal healthy cells of the body. The research works of the second generation on maim has been completed. Where the inhibitors of thrombin and antiaggregant enzymes are transmitters of cesium and rubidium strong alkaline cations. They contain free marginal amide groups. The connection between active oncodrugs and their ligand features has been shown or the connection between effective ligands in the body that have the ability to transform. The concept is discussed “Carcinogenicity of metal-complex generator”, also the role of some complexes in regulation of cell membrane penetration in cancer patients. There are presented the synthesis scheme made by the authors and the synthesis scheme of metastasis inhibitors there. As a result of medical biological researches, completely new cytotoxic activity of copper and zinc complex compounds is identified 5-with nitroimidazole derivative that is determined by the coordination number of the central metal-complex generator, which in turn, determines the stereochemical properties of complex configurations.

Keywords: cancer, chemotherapy, malignant tumor, amphicezine.

საქართველოში ადაპტირებული ეპონაული ჯიშის თხების ზრდა-ბანკითარების
და ლაშტაციის მონაცემების შესწავლა

ქვენტი თბ., ღლილგაშვილი გ.ა.

საქართველოს ტექნიკური უნივერსიტეტი

შინაური თხები ერთ-ერთი უძველესი შინაური ცხოველებია, რომლებიც ადა-
მიანმა პირველად მოიშინაურა. მეთხეობა იძლევა არა მარტო ადამიანისათვის მეტად
საჭირო და სასარგებლო საკვებ პროდუქტებს (ხორცს, რძეს, ქონს), არამედ მრეწ-
ველობისათვის ისეთ ძვირფას ნედლეულს, როგორიცაა: თივთიკი, მატყლი და ტყავი.

თხის რძე ითვლება საუკეთესო საკვებად ბავშვებისა და ავადმყოფი ადამიანე-
ბისათვის. მასში დიდი რაოდენობით შედის ალბუმინი, კაზინი, მინერალური მარი-
ლები, ფოსფორი, კობალტი, ვიტამინები – A, B, D. იგი ყველაზე ახლოსაა დედის
რძესთან.

თხის რძეზე არანკლებ სასარგებლო და გამორჩეული პროდუქტია თხის
ხორცი, ის შეიცავს 20% პროტეინს და მცირე რაოდენობით ცხიმს. თხის ხორცში
ქოლებების დაბალი რაოდენობა მას დიეტური ხორცის სტატუსს ანიჭებს.

მსოფლიოში მერძეული მიმართულების ერთ-ერთ ყველაზე მაღალპროდუქ-
ტიულ ჯიშებად ითვლება ზანენის და ალპური ჯიშის თხები. ორივე ჯიში გამოყ-
ვანილია ევროპის ალპებში. ზანენის ჯიში პირველივე ლაქტაციისას გვაძლევს
3,5–4,0 ლიტრ რძეს დღე-დამეში, მაქსიმალური – 8,0 ლიტრი, ხოლო წლიური – 3000
ლიტრი. ალპური ჯიშის წლიური მონაწველი არის 1200–1600 ლიტრი.

ჩვენი კვლევის მიზანი იყო დაგვეღინა, რამდენად რენტაბელურია ამ ჯიშების
მოშენება საქართველოში, როგორ გადიან ადაპტაციას, როგორია ნამატი სულადობის
ზრდა-განვითარება, როგორ თანაფარდობაშია აქ ადაპტირებული ჯიშებისაგან
მიღებული პროდუქტიული მაჩვენებელი სტანდარტულთან.

ვიკვლევდით ორ ფერმაში არსებულ 100 თხას, ქალაქ რუსთავის შემოგარენსა
და მცხეთის მუნიციპალიტეტის სოფელ გალავანში.

ცდაში გამოყენებული იყო 10 მირთადი განაზომის და საკონტროლო წველის
ცდის მეთოდები. ზრდა-განვითარების მონაცემებს ვითვლიდით დაბადებიდან და
შემდგომ ყოველ ორ თვეში, 8 თვემდე. მიღებულ შედეგებს ვადარებდით დედების და
ჯიშის სტანდარტულ მონაცემებთან.

ცხრ. I-ში მოცემულია ზანენის დედის, მათგან მიღებული ნამატი სულადობის
და ჯიშის სტანდარტული განაზომების მონაცემები. მოზარდების ზრდა-განვითარების
კოეფიციენტის და ცოცხალი მასის ზრდის დინამიკის შესწავლამ გვიჩვენა, რომ
დაბადებიდან 4 თვემდე მიმდინარეობს ინტენსიური ზრდა, ხოლო 8 თვემდე ზრდის
კოეფიციენტი შემცირებულია. ასეთი არათანაბარი ზრდის ტემპი ნაწილობრივ განპი-
რობებულია ცხოველთა პოსტემბრიონული განვითარების საერთო კანონზომიერებით,
ნაწილობრივ კი კვებით, კერძოდ, 4 თვის ასაკამდე თიქნები დებულობენ, როგორც
დედის რძეს, ასევე მწვანე ბალას, რაც განაპირობებს მათ ინტენსიურ ზრდას.

4-იდან 6 თვემდე, ზრდის ტემპი კლებულობს, რაც განპირობებულია დედისა-
გან ასხლებით. 6-დან 8 თვემდე საძოვარზე მწვანე მასა იკლებს, ამიტომ მოზარდის
ზრდა-განვითარება მიმდინარეობს 4-დან 6 თვის პერიოდის მატების პროპრციულად.

ცხრილი 1, 2-ის მონაცემებიდან ჩანს, რომ მოზარდი თხების ზრდა-განვითა-
რება, მათ დედებთან და სტანდარტულ მონაცემებთან მიმართებაში, სავსებით დამაკ-
მაფოვილებლად მიმდინარეობს. 2 თვის ასაკში ზანენის თიქნის ნამატი (რუსთავის
ფერმა) დედასთან მიმართებაში არის 12%, 4 თვის – 39%, 6 თვის – 50%, ხოლო
8 თვის – 60%. ალპური თხის (მცხეთის ფერმა) ანალოგიური მონაცემები შემდეგია:
2 თვის – 9%, 4 თვის – 36,7%, 6 თვის – 41,2%, 8 თვის – 53%. აქედან ჩანს, რომ
ალპური თხის თიქნის პროცენტული ნამატი დედასთან მიმართებაში ოდნავ მეტია,
ვიდრე ზანენის, რის მიზეზადაც შეგვიძლია მივიჩნიოთ რუსთავის ფერმის სულა-
დობის მცირე ჩამორჩენა განვითარებაში, მცხეთის სულადობასთან შედარებით, რაც
მცხეთაში საკვები ბაზის და მოვლა-შენახვის უკეთესი პირობებითაა განპირობებული.

ცხრილი 1. ზაანენის ჯიშის დედის, ნამატი სულადობის და სტანდარტის განაზომები (რუსთავი)

ზაანენი დედის, ნამატი სულადობის და სტანდარტის განაზომები (რუსთავი)												
	სასახი	სქესი	სიმაღლე მინდაოში (სმ)	სიმაღლე გუდის სიგრძე (სმ)	ტანის ირიბი სიგრძე (სმ)	მკერდის სიგრძე (სმ)	მკერდის სიგრძე (სმ)	გეგმის ირგვლივი (სმ)	ნების ირგვლივი (სმ)	თავის სიგრძე (სმ)	ცოცხალი გასა (კმ)	გაზიარების თარიღი
2 ოვე	♀	33,5	35,0	44,5	13,0	12,5	39,0	6,0	12,0	7,3	7,00	28.03.2020
	♂	34,0	36,0	51,0	12,5	14,0	42,0	6,5	13,0	7,8	8,60	28.03.2020
4 ოვე	♀	39,0	40,0	58,0	14,0	13,0	44,0	7,0	15,0	8,0	26,0	02.05.2020
	♂	42,0	43,0	62,0	15,0	15,0	47,0	7,0	16,0	8,9	28,0	02.05.2020
6 ოვე	♀	53,0	55,0	71,0	17,0	16,0	52,0	7,0	16,0	10,0	31,9	10.07.2020
	♂	57,0	60,0	75,0	19,0	18,0	58,0	8,0	17,5	10,9	34,7	10.07.2020
8 ოვე	♀	61,0	64,0	80,5	22,0	21,4	64,0	8,0	18,9	12,0	34,7	05.09.2020
	♂	64,0	65,0	78,0	20,6	18,4	61,0	8,0	18,0	12,2	41,8	05.09.2020
დედა		66,0	68,0	83,0	33,0	18,0	92,0	9,0	25,0	14,0	70,0	28.03.2020
სტანდარტი		75,0	76,0	81,0	30,0	17,0	88,0	10,0	24,0	13,0	75,0	

ცხრილი 2. ალპური ჯიშის დედის, ნამატი სულადობის და სტანდარტის განაზომები (მცხეთა)

ალპური დედის, ნამატი სულადობის და სტანდარტის განაზომები (მცხეთა)												
	სასახი	სქესი	სიმაღლე მინდაოში (სმ)	სიმაღლე გუდის სიგრძე (სმ)	ტანის ირიბი სიგრძე (სმ)	მკერდის სიგრძე (სმ)	მკერდის სიგრძე (სმ)	გეგმის ირგვლივი (სმ)	ნების ირგვლივი (სმ)	თავის სიგრძე (სმ)	ცოცხალი გასა (კმ)	გაზიარების თარიღი
2 ოვე	♀	32,00	33,00	44,00	14,00	10,00	38,00	7,00	11,00	9,00	6,5	07.03.2020
	♂	36,00	37,00	46,00	15,00	11,00	40,00	6,50	10,00	8,00	7,0	07.03.2020
4 ოვე	♀	47,00	48,00	50,00	16,00	12,00	53,00	7,00	12,00	9,00	24,4	10.05.2020
	♂	49,00	51,00	55,00	16,00	11,00	54,00	7,00	12,00	10,00	26,8	10.05.2020
6 ოვე	♀	53,0	55,0	71,0	17,0	12,0	55,0	7,0	14,0	10,0	28,0	18.07.2020
	♂	57,0	60,0	75,0	19,0	13,0	57,0	8,0	16,0	10,9	30,1	18.07.2020
8 ოვე	♀	58,0	59,0	76,0	21,0	13,0	64,0	8,0	19,0	12,0	35,0	01.09.2020
	♂	62,0	63,0	78,0	24,0	15,0	67,0	8,0	20,0	12,2	38,6	01.09.2020
დედა		72,00	75,00	92,00	32,00	19,00	95,00	11,00	25,00	16,00	73,00	07.03.2020
სტანდარტი		75,0	76,0	80,0	30,0	17,0	85,0	9,0	23,0	13,0	70,0	

დედა სულადობის მერძეული პროდუქტიულობის დასადგენად გამოვიყენეთ საკონტროლო წველის ცდა.

ცხრილი 3. საკონტროლო წევლა ზაანენის ჯიშის თხა საიდ/ნ 338 (მცხეთა)

საქონტროლო წელი ზამონი საიდ/ნ 338 (მცხეთა)								
თვეების რაოდენობა	წელის დრო	მონაწელი კგ					რძის ხარისხი	
		I გონიაწელი 20 სთ	II გონიაწელი 19 სთ	III გონიაწელი 20 სთ	IV გონიაწელი 19 სთ	ჯეოგია 38	ციფრის რაოდენობა %	ციფრის რაოდენობა %
1	02.05.2020	1,2	1,5	1,4	1,7	5,8	3,9	3,0
2	02.06.2020	1,1	1,4	1,4	1,6	5,5	3,8	2,9
3	02.07.2020	1,1	1,5	1,3	1,7	5,6	4,0	3,0
4	02.08.2020	1,8	2,0	1,7	2,0	7,5	4,1	3,0
5	02.09.2020	1,5	2,0	1,7	1,9	7,1	3,7	2,8
6	02.10.2020	1,4	1,8	1,5	1,8	6,5	3,5	2,7
ჯამი		6,3				38		

ცხრ. 3-ის მონაცემებიდან ირკვევა, რომ მცხეთის ფერმაში ზაანენის ჯიშის მაქსიმალური მონაწველი დაფიქსირდა მე-4 და მე-5 ლაქტაციისას. ეს შეგვიძლია ავსესნათ ამ პერიოდში საძოვარზე მწვანე მასის სიუხვით და კვების რაციონში ბოსტნეული კულტურების სისტემატიური დამატებით. მე-6 ლაქტაციის მონაწველი ოდნავ დაბალია, რაც საძოვარზე ბალახის შემცირებით და მშრალ საკვებზე გადაყვანით აიხსნება. თუ გავითვალისწინებთ, რომ ზაანენის ჯიშის თხებში საშუალო დღე-დამური მონაწველი სტანდარტულად 3,5–5,0 ლიტრია, მაქსიმალური კი – 8 ლიტრი. მცხეთის ფერმაში ზაანენის მაქსიმალური დღე-დამის საშუალო მონაწველი 3,8 ლიტრი, სავსებით დამაკმაყოფილებლად შეგვიძლია მივიჩნიოთ.

ცხრილი 4. საკონტროლო წველა ალპური ჯიშის თხა საიდ/ნ 10308 (რუსთავი)

თვეუბის რაოდენობა		შეკლის ღრუ		მონაწველი ქბ				რძის ხარისხი	
1	07.05.2020	1,0	1,3	1,2	1,4	4,9	3,8	2,7	
2	07.06.2020	1,1	1,6	1,0	1,5	5,2	3,5	2,9	
3	07.07.2020	1,0	1,5	1,2	1,5	5,2	3,2	2,9	
4	07.08.2020	1,5	1,8	1,7	1,9	6,9	3,4	3,0	
5	07.09.2020	1,5	2,0	1,6	1,9	7,0	3,2	2,8	
6	07.10.2020	1,2	1,6	1,3	1,7	5,8	3,6	2,6	
		ჯამი		35,0					
		საშუალო მონაწველი		5,8					

მე-4 ცხრილის მოცემულობით ალპური ჯიშის მაქსიმალური მონაწველი 3,6 ლიტრია, რაც ოდნავ ჩამორჩება მცხეთის ზაანენის მაჩვენებელს. საერთო ჯამში, მცხეთის ფერმის პროდუქტიულობა მცირედ აღემატება რუსთავისას, რაც პირდაპირ კავშირშია მოვლა-შენახვის და კვების უკეთეს პირობებთან.

კვლევის ფარგლებში განვსაზღვრეთ რძის ქიმიური შემადგენლობა (ცხრ. 3 და 4), კერძოდ, რძეში ცხიმისა და ცილის რაოდენობა. მიღებული შედეგები ცხადყოფს, რომ ორივე ჯიშში, სტანდარტთან მიმართებაში, ცილის და ცხიმის რაოდენობა ნორმაშია.

ჩვენს მიერ მოპოვებული მასალების ანალიზზე დაყრდნობით შეგვიძლია გავაკეთოთ დასკვნა, რომ აღნიშნული ჯიშები გამოირჩევიან მაღალი გენეტიკური პოტენციალით, რაც დასტურდება მათი კარგი ადაპტაციის უნარით სხვადასხვა გარემო და მოვლა-შენახვის პირობებში. ხოლო ზრდა-განვითარების და პროდუქტიული მონაცემების გაუმჯობესებისათვის აუცილებელია მათი უზრუნველყოფა სრულფასოვანი, დაბალისებული საკვები ბაზით და მოვლის უკეთესი პირობებით. ჩვენი კვლევის შედეგებზე დაფუძნებით შეგვიძლია ფერმერებს მივცეთ რეკომენდაციები საქართველოში ამ ჯიშების მოსაშენებლად, რაც დარგის გრძელვადიანი წინსვლისა და განვითარების საწინდარი გახდება.

ლიტერატურა

1. დლილვაშვილი ვასილ. საქართველოს მეთხობა. –თბილისი, აღმაშენებელი, 1996, გვ. 5-33.
2. დლილვაშვილი ვასილ. მეთხობის დარგისა და პროდუქტების წარმოების ტექნიკური თბილისი, ვეტერინარია, 2001, გვ. 5-9.
3. Звонарев Н. М. Прибыльное разведение коз. Породы, кормление, уход. –Москва, Центрполиграф, 2011, сс. 32-35.
4. Laura Childs (2011). The Joy of Keeping Goats: The Ultimate Guide to Dairy and Meat Goats. Arkansas, 2011, pp. 23-25.
5. Martha Maeda. How to Raise Dairy Goats. Atlantic Publishing Group inc. Florida, 2020, pp. 8-10.
6. Ludwig Lorrick. Saanen Goats as Pets. Saanen Goats care, housing, interacting and health. IMB Publishing (November 18, 2014)

SUMMARY

STUDY ON GROWTH, DEVELOPMENT, AND LACTATION IN EUROPEAN BREEDS OF GOATS ADAPTED TO GEORGIA

Zhghenti T.G. and Ghlighvashvili V.A.

Georgian Technical University

The aim of this study was to investigate the adaptability, growth, development and productivity of high-yielding dairy breeds (Saanen and Alpine) brought from Europe to Georgia; compare the data with standard data of the breeds. The study was carried out on goat farms in the suburbs of Rustavi and in the village of Galavani, Mtskheta municipality. Up to 100 goats, both adult and young, have been involved in the study. To observe the goat growth cycle, we used the method of taking ten major measurements, and the control milking experiment to determine lactation productivity. The study has shown that the increment is developing well, compared to mother does and standard data, and their productivity is close to standard. Thus, we can conclude that if we create better conditions for these breeds of care and storage than they were on the farms presented here, their data will be improved. We will be able to provide farmers with advice and recommendations based on the results of this study on the breeding of these breeds, which will contribute to the long-term progress and development of the industry in Georgia.

Keywords: saanen goats, alpine goats, increments.

საქართველოს ტექნიკურ უნივერსიტეტში არსებობს მოწინავე ტექნოლოგიური პროფილის ორგანიზაცია – მემბრანული ტექნოლოგიების საინჟინრო ინსტიტუტი, რომლის შექმნა დაკავშირებულია საქართველოში ამ დარგის პიონერის ბატონ ვასილ ბიბილეიშვილის სახელთან. იგი იყო მეცნიერი ქიმიური პროცესებისა და აპარატების დარგში, ტექნიკის მეცნიერებათა კანდიდატი, აშშ კალიფორნიის მეცნიერებისა და ტექნიკის საერთაშორისო აკადემიის ნამდვილი წევრი (1997წ.), მრავალი გამოგონებისა და პატენტის ავტორი.

ვ. ბიბილეიშვილმა 1992 წელს ჩამოაყალიბა მემბრანული ტექნოლოგიების საინჟინრო ინსტიტუტი და საფუძველი ჩაუყარა მეტად აქტუალურ სამეცნიერო-კვლევით და რაც მთავარია საინჟინრო ტექნიკურ სამუშაოებს. მისი ხელმძღვანელობით შეიქმნა ახალი მემბრანული ელემენტები, მოდულები, დანადგარები და მემბრანული ნანოტექნოლოგიები, რომლებიც დაცულია პატენტით, როგორიც წარმოებებთან ერთობლივი სამუშაოების ბაზაზე დამზადებულია და დანერგილია სხვადასხვა დანიშნულების 70-მდე მემბრანული ნანოსისტემა კვებისა და ფარმაცევტიული მრეწველობისათვის და სხვა

ინსტიტუტში წლების განმავლობაში მიმდინარეობს სამეცნიერო-კვლევითი და საცდელ-საკონსტრუქტორო სამუშაოები ეკოლოგიისა და მდგრადი განვითარების მიმართულებით. სწორედ ამ საკითხებისადმი არის მიძღვნილი მემბრანული ტექნოლოგიების საინჟინრო ინსტიტუტის თანამშრომელთა სამეცნიერო სტატიები რომლებსაც გთავაზობთ.

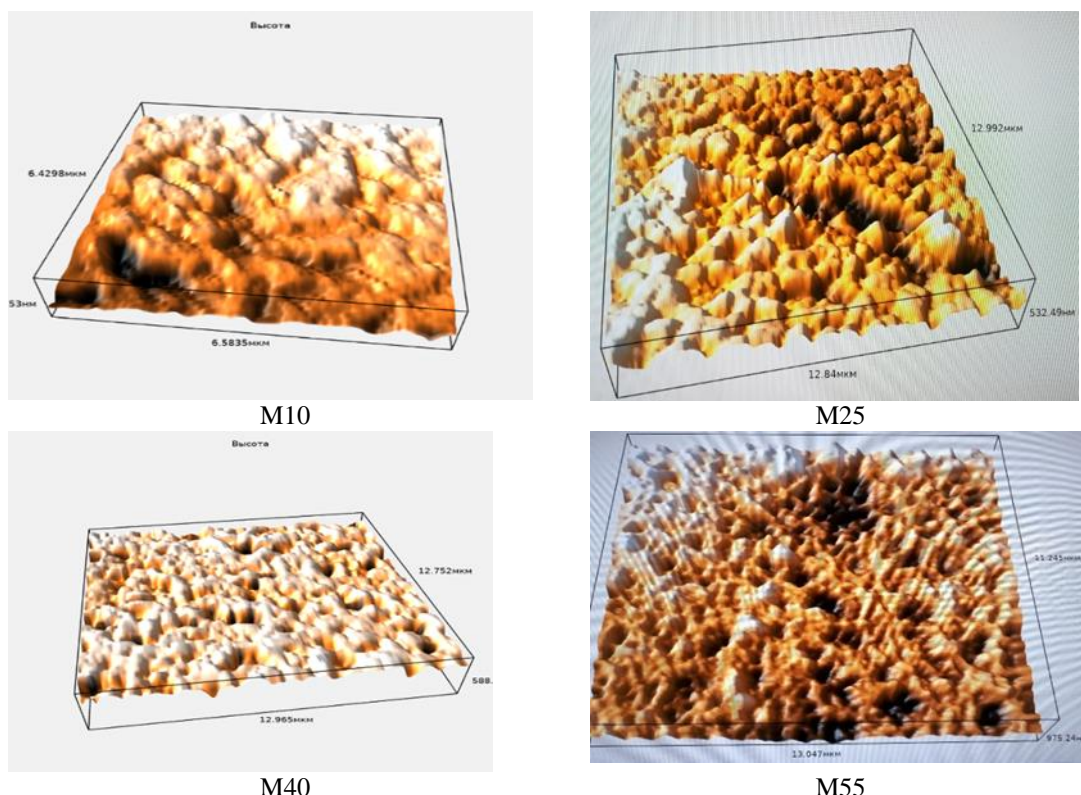
პოაგულანტის ფემაპრატურის ბაზლენა მემბრანის მოწყოლობისა და სვედრით ჟარმაღობაზე

ბიბილეიშვილი გ.გ., კუკურაშვილი მ.გ., ჯაგაშვილი ზ.დ.

საქართველოს ტექნიკური უნივერსიტეტის მემბრანული ტექნოლოგიების საინჟინრო
ინსტიტუტი

არაგამსსნელით ინდუცირებული ფაზური ინვერსიის მეთოდში კოაგულანტის ტემპერატურა განაპირობებს ფაზური დაყოფის მექანიზმს, რაც საბოლოოდ განსაზღვრავს მიღებული მემბრანების მორფოლოგიას, ფორის ზომებს, მისი ფორმირებისას და ხვედრით წარმადობას [1,2]. მემბრანის ზედაპირების შესწავლამ მასკანირებელი ზონდური მიკროსკოპის სშუალებით აჩვენა, რომ საკოაგულაციო აბაზანაში კოაგულანტის 10°C , 25°C , 40°C და 55°C ტემპერატურაზე მიღებული M10, M25, M40 და M55 მემბრანების ზედაპირების ტოპოგრაფიული გამოსახულებები განსხვავდებულია (სურათი). მემბრანების ზედაპირებს გააჩნია ტიპიური „ბორცვი-დაბლობი“სტრუქტურა. M10 მემბრანების ზედაპირზე დია პიკები (ბორცვი) და მუქი პიკები (დაბლობი) არათანაბრად არის განაწილებული, კოაგულანტის ტემპერატურის ზრდის მიხედვით ზედაპირის რელიეფი იცვლება. M25, M40 მემბრანის ზედაპირზე მატულობს პიკების სიმუტრიულობის ელემენტები და M55 მემბრანის ზედაპირზე მუქი და დია ფერის პიკები თანაბრად არის განაწილებული მთელ ფართობზე.

მაღალ ტემპერატურაზე კოაგულანტი-წყლის პოლიმერი-გამსსნელთან შეხების საზღვარზე წარმოიქმნება კონვექციული ნაკადები, რომლის ეფექტურობა უკავშირდება არაგამსსნელი ტენდენციას სწრაფად შეერთოს გამსსნელს, ამიტომ წყლის მოლეკულები სწრაფად დიფუნდირებს პოლიმერის სსნარში, არაგამსსნელის შედინების თანაფარდობა მაღალია გამსსნელის გადინებასთან შედარებით [2].



მემბრანის SEM მიკროგრაფიული 3D გამოსახულება: M10, M25, M40, M55 მიღებული
კოაგულანტის 10°C , 25°C , 40°C , 55°C ტემპერატურაზე

მაღალ ტემპერატურაზე წყლის პოლიმერი-გამსხველთან შეხების საზღვარზე წარმოიქმნება კონვექციული ნაკადები, რომლის ეფექტურობა უკავშირდება არაგამსხველის ტენდენციას სწრაფად შეერიოს გამსხველს, ამიტომ წყლის მოლეკულები სწრაფად დიფუნდირებს პოლიმერის სსნარში, არაგამსხველის შედინების თანაფარდობა მაღალია გამსხველის გადინებასთან შედარებით [3,4]. დიფუზიის დიდი სიჩქარის გამო ჩქარდება ფაზური დაყოფის და გამოლექვის პროცესი, ჩნდება სტრუქტურაწარმომქმნელი ცენტრები და ფორმირდება ლია ფორების მქონე სტრუქტურა ფორების დიდი რიცხვით (სურათი, M55, ცხრილი). დაბალ ტემპერატურაზე დიმეთილაცეტამიდი (დმაა) იმაზე სწრაფად გადაღის საკოაგულაციო აბაზანაში, ვიდრე წყალი დიფუნდირებს პოლიმერის სსნარში, ამიტომ დიფუზია დაბალი სიჩქარით მიმდინარეობს, რაც განაპირობებს ფაზური ინვერსიის პროცესის შეფერხებას მცირდება წყლის კოაგულაციური შესაძლებლობა, ამიტომ გამჭარების პროცესი შედარებით ნელა წარიმართება და მიღებული მემბრანა ხასიათდება ფორების მცირე რიცხვით (სურათი, M10, M25, ცხრილი) [3,4].

კოაგულანტის 10°C , 25°C , 40°C და 55°C ტემპერატურაზე მიღებული მემბრანების ფორების საშუალო დიამეტრი, ფორიანობა და ხვედრითი წარმადობა

მიღებული მემბრანა	M10	M25	M40	M55
ფორების საშ. დიამეტრი, მკ	0,22	0,28	0,34	0,38
ხვედრითი წარმადობა, ლ/მ ² სთ	640	2400	2777	3600
ფორიანობა, %	36,12+0,47	22,34+0,28	48,23+0,38	68,45+0,18

როგორც ცხრილის მონაცემებიდან ჩანს, კოაგულანტის ტემპერატურის მომავალი 10 °C-დან 55°C -მდე მემბრანების ფორის ზომები იზრდება 0,22 მკ-დან 0,38 მკ-მდე, ფორიანობა მატულობს 36,12%-დან 68,45%-მდე, ხოლო ხვედრითი წარმადობა იზრდება 640ლ/მ² სთ-დან 3600 ლ/მ² სთ-მდე.

ამრიგად, საკოაგულაციო აბაზანაში კოაგულანტის ტემპერატურას გააჩნია მემბრანების ფორიანობის და ხვედრითი წარმადობის რეგულირების ეფექტი.

ლიტერატურა

1. Vankelecom, I. F. J.; De Smet, K.; Gevers, L. E. M.; Jacobs, P. A. In Nanofiltration: Principles and Applications; A. I. Schafer, A. G. Fane, T. D. Waite, Eds.; Elsevier: Oxford, UK, 2005; Chapter 3, pp 33– 65.
2. Mulder, M. Basic Principles of Membrane Technology, 2nd ed.; Kluwer Academic: Dordrecht, 2003; Chapter 3, pp. 71–156.
3. Costa, A.R.; de Pinho, M.N. Effect of membrane pore size and solution chemistry on the ultrafiltration of humic substances solutions. //J. Membr. Sci. 2005, 255, pp. 49–56.
4. Aroon, M. A., Ismail, A. F., Montazer-Rahmati, M. M., Matsuura, T., Morphology and permeation properties of polysulfone membranes for gas separation: Effects of non-solvent additives and co-solvent. Separation and Purification Technology, 2010, 72, pp.194-202.

SUMMARY

EFFECT OF THE TEMPERATURE OF THE COAGULANT ON THE MORPHOLOGY AND PRODUCTIVITY OF THE MEMBRANE

Bibileishvili G.V., Kezherashvili M.G. and Javashvili Z.D.

Engineering Institute of Membrane Technology, Georgian Technical University

The effect of the temperature of the non-solvent on the morphology, pore size, the frequency of its distribution and specific productivity of the membranes obtained on the basis of polyethersulfones and polyethylene glycol by wet method of phase inversion has been studied. As a result of the research it was found, that at the process of the phase inversion by variation of the temperature of the non-solvent the regulation of its viscosity and of the diffusion coefficient of solvent-non-solvent alloying the prediction of the morphology and structure of the film.

Keywords: polyethersulfones, non-solvent, membranes, structure, phase inversion.

**პოლიმერული კომპოზიტის გახსნის ფაზაერატურის
ბაზუნა მემარანის თვისებები**

ბიბილეიშვილი გ.გ., კუკურაშვილი მ.გ., ჯაგაშვილი ზ.დ.

**საქართველოს ტექნიკური უნივერსიტეტის მემბრანული ტექნოლოგიების საინჟინრო
ინსტიტუტი**

პოლიმერული კომპოზიტის მომზადების პირობების გავლენის შესწავლა მნიშვნელოვან ფაქტორს წარმოადგენს მაღალი წარმადობის მქონე მემბრანების მიღების პროცესში [1,2]. მემბრანების მისაღები პოლიმერული კომპოზიტია წარმოადგენს პოლიდისპერსიულ სისტემას, რომელშიც არსებული ნაწილაკების ზომების, პოლიდისპერსიულობის ინდექსის მნიშვნელობები დამოკიდებულია ხსნარის მომზადების პირობებსა და გახსნის ტემპერატურაზე (ცხრილი 1). პოლიმერულ კომპოზიტიში ნაწილაკების ზომა, კონცენტრაცია და პოლიდისპერსიულობის ხარისხი განისაზღვრა 25 °C, 40 °C, 55 °C და 70 °C-ზე მომზადებულ 100 გ/ლ, 50 გ/ლ, 25 გ/ლ, 10 გ/ლ და 5 გ/ლ კონცენტრაციის ხსნარებისთვის. პოლიმერის გახსნის პროცესის მონიტორინგი ხორციელდებოდა პოლარიზაციულ-ინტერფერენციული ოპტიკური მიკროსკოპით, ხოლო გახსნის პარამეტრები: ნაწილაკების ზომა, კონცენტრაცია და პოლიდისპერსიულობის ხარისხი Zetasizer Nano Zen 3690-ანალიზატორით. პოლიმერული კომპოზიტის გახსნის ტემპერატურის მომატებით ხსნარის პოლიდისპერსიულობის ხარისხი მცირდება 1-დან 0,33-მდე, მაკრომოლეკულების ზომა 67,45 ნმ-დან 13,15 ნმ-მდე. 70 °C-ზე მომზადებული ხსნარიდან მიღებული მემბრანის ხვედრითი წარმადობა აღემატება 25 °C, 40 °C, 55 °C ტემპერატურაზე მომზადებული ხსნარიდან დამზადებული მემბრანების ხვედრით წარმადობას და შეადგენს 2510 ლ/მ² სთ.

ცხრილი 1.პოლიმერული კომპოზიტის შედგენილობა გახსნის 25 °C, 40 °C, 55 °C, 70 °C ტემპერატურის დროს და მიღებული მემბრანების ხვედრითი წარმადობები

პოლიმერული კომპოზიტის მომზადების T °C	ნაწილაკების ზომა Z-average(d-ნმ)	პოლიდისპერსიულობის ხარისხი PDI	საკოაგულაციო აბაზანის T °C	ხვედრითი წარმადობა, ლ/მ ² სთ
25	67,45	1	20	1200
40	57,12	0,9	20	1877
55	24,68	0,5	20	2188
70	13,15	0,33	20	2510

25 °C, 40 °C, 55 °C, 70 °C ტემპერატურაზე გახსნილი პოლიმერული კომპოზიტი მიღებული მემბრანული აფსეკები შესწავლილი იქნა მასკანირებელი ზონდური მიკროსკოპით. სურათზე გამოსახულია 25 °C და 70 °C ტემპერატურაზე მომზადებული კომპოზიტი მიღებული მემბრანების ზედაპირების მიკროგრაფიული გამოსახულება. ორივე ნიმუშის ზედაპირი წარმოადგენს ქაფისმაგვარ მატრიცას, დიაფერის წარმონაქმნები სურათზე ინტერპრეტირდება, როგორც ზედაპირი და მუქი ფერი, როგორც ფორმები. ა-ნიმუშის ზედაპირზე მუქი და დია უბნები არათანაბრად არის განაწილებული, ჭარბობს დია ფერი, რაც ზედაპირზე ფორმების მცირე რაოდენობაზე მიუთითებს. ბ-ნიმუშის ზედაპირზე დია და მუქი ფერები თანაბრად არის განაწილებული, რაც მემბრანის ზედაპირის ერთგვაროვნებაზე და ფორმანობაზე მეტყველებს. მაღალ ტემპერატურაზე მომზადებულ პოლიმერულ კომპოზიტი ნაწილაკების ზომების, დისპერსიულობის ინდექსის შემცირება, გამოწვევის 70 °C-ზე ტემპერატურის გავლენით ხსნარში მიმდინარე სტრუქტურული ცვლილებებით, რაც ამცირებს მიკროგელური ნაწილაკების (ხსნარის დისპერსიული

ფაზა აგრეგირებული მაკრომოლეკულების (სახით) ზომას და ზრდის მათ რაოდენობას ერთეულ მოცულობაში [3,4].



ა



ბ

მემბრანის ზედაპირების მასეანირებელი ზონდური მიკროსქოპის მიკროფოტოგრაფიული 2D გამოსახულება: მიღებული (ა) 25 °C და (ბ) 70 °C-ზე ტემპერატურაზე

კომპოზიციაში მიკროგელური ნაწილაკების მცირე ზომებმა და მათმა განაწილებამ სსნარში უზრუნველყო ფორების წარმოქმნის დიდი არეალი (სურათი 1, ბ), მაღალი ფორიანობა, რამაც განაპირობა გახსნის მაღალ ტემპერატურაზე მომზადებული სსნარიდან მიღებული მემბრანის შედარებით მაღალი ხვედრითი წარმადობა.

ლიტერატურა

1. Abdelrasoul, A.; Doan, H.; Lohi, A.; Cheng, C.H. Morphology control of polysulfone membrane sinfiltration processes: A critical review. *Chembioeng Rev.* 2015, 2, pp.22–43.
2. Lalia, B.S.; Kochkodan, V.; Hashaikeh, R.; Hilal, N. A review on membrane fabrication: Structure, properties and performance relationship. *Desalination* 2013, 326, pp. 77–95.
3. Smolders, C.A.; Reuvers, A.J.; Boom, R.M.; Wienk, I.M. Microstructures in phase-inversion membranes. Part 1. Formation of macrovoids. //J. Membr. Sci. 1992, 73, pp. 259–275.
4. Barzin, J., Madaeni, S. S., Mirzadeh, H., Effect of preparation conditions on morphology and performance of hemodialysis membranes prepared from polyethersulphone and polyvinylpyrrolidone. //Iranian Polymer Journal, 2005, 14, pp. 353-360.

SUMMARY

INFLUENCE OF THE TEMPERATURE OF SOLVING OF THE POLYMERIC COMPOSITION ON THE PROPERTIES OF THE MEMBRANE

Bibileishvili G.V., Kezherashvili M.G. and Javashvili Z.D.

Engineering Institute of Membrane Technology, Georgian Technical University

The effect of the temperature of solving of the polymeric composition on the morphology and specific productivity of the membranes obtained on the basis of polyethersulfones has been studied. It was established that at high temperature of solving of the polymeric composition in the solution such distribution of particle size and polydispersity degree is attained which causes obtaining of the membranes with high frequency of pore distribution and of high productivity.

Keywords: polymeric composition, particle size, membranes, temperature.

**ბორჯომის მინერალური წყლის დებარიტება-დეზირიტების
ბაზური კალციუმის**

ბიბილეიშვილი გ.გ., მამულაშვილი მ.ა., ბუთხუზი თ.გ.

**საქართველოს ტექნიკური უნივერსიტეტის მემბრანული ტექნოლოგიების
საინჟინრო ინსტიტუტი**

ბორჯომის მინერალური წყალი თავისი შედგენილობით მოიცავს ქიმიური კომპონენტების საკმაოდ დიდ დიაპაზონს. საკვლევი ბორჯომის მინერალური წყალი სუსტადთერმადი და ჰიდროკარბონატული წყალია. მისი ყველა წყარო და ბურდილი იძლევა ნახშირმჟავა ჰიდროკარბონატიან წყალს სუსტი მჟავა რეაქციით $pH=6,3-7,2$. ჰიდროკარბონატული წყლები, რომლებშიც ანიონთა შორის რაოდენობრივი შემცველობით წამყვანი ადგილი უკავია ჰიდროკარბონატ – იონს (HCO_3^-), დიდი რაოდენობით შეიცავს კალციუმს.

კალციუმი ბორჯომის მინერალური წყლის იონურ-მარილოვანი შედგენილობის ერთ-ერთ ძირითად კომპონენტს წარმოადგენს. მინერალურ წყლებში კალციუმის რაოდენობითი შემცველობა ფართო ზღვებში იცვლება. ნახშირორჟანგის დესორბციის გამო წყალში კარბონატ-ჰიდროკარბონატული წონასწორობა ირდვევა და კალციუმის ჰიდროკარბონატები (სხადი) კარბონატებში (ძნელად სხად ფორმაში) გადასვლის გამო იღებება [1].

ჩვენ მიერ შესწავლილი იქნა ბორჯომის მინერალური წყლის დებარიტება-დეფორმირების ნანოფილტრაციული პროცესი. ექსპერიმენტის მსვლელობისას გამოყენებული იყო დაუმუშავებელი მინერალური წყალი საწყისი მნიშვნელობით და ნანოფილტრაციული NEX და NES ტიპის მემბრანები ლამინარული და ტურბულენტური რეჟიმების პირობებში [2,3]. განისაზღვრა, ბორჯომის ბუნებრივი მინერალური წყლების 37, 41, 25, ლიკანი, ცენტრალური პარკი ჭაბურღლილების ქიმიური შედგენილობა.

ბორჯომის ბუნებრივი მინერალური წყლის ნანოფილტრაციული პროცესით დამუშავებისას, დეფორმირება-დებარიტების შედეგად ადგილი არ ჰქონდა ნალექის წარმოქმნას, რაც მიუთითებს კალციუმის და მისი ნაერთების ზღვრულ დასაშვებ კონცენტრაციის ფარგლებში არსებობას. კვლევის შედეგები მოცემულია ცხრილში 1-2.

ცხრილი 1. ლამინარული რეჟიმის პირობებში საწყისი და დამუშავებული ბორჯომის მინერალური წყლის ქიმიური კომპონენტების რაოდენობრივი მაჩვენებლები

ბურდილი	ტექნოლოგია	Ba, მგ/ლ	F, მგ/ლ	Ca, მგ/ლ
37	დაუმუშავებელი	3,27	5,26	51,7
37	NEX	1,60	3,82	28,2
37	NES	1,05	4,11	38,5
41	დაუმუშავებელი	3,46	6,96	97,2
41	NEX	1,09	4,82	74,2
41	NES	0,937	6,52	15,8
41	2 NES	1,26	—	—
25	დაუმუშავებელი	3,58	9,67	46,8
25	NEX	1,11	5,10	32,5
25	NES	1,64	6,48	30,8
ლიკანი	დაუმუშავებელი	2,34	4,06	127,0
ლიკანი	NEX	0,738	2,26	56,8
ლიკანი	NES	0,833	2,95	104
ცერნე. პარკი	დაუმუშავებელი	3,11	5,76	97,9
ცერნე. პარკი	NEX	0,875	3,91	71,8
ცერნე. პარკი	NES	1,16	4,69	51,6
დასაშვები დიაპაზონი		<1	<5	20 – 150

ცხრილი 2. ტურბულენტური რეჟიმის პირობებში საწყისი და დამუშავებული ბორჯომის მინერალური წყლის ქიმიური კომპონენტების რაოდენობრივი მაჩვენებლები

ბურლიდი	ტაქნილოგია	Ba, მგ/ლ	F, მგ/ლ	Ca, მგ/ლ
37	დაუმუშავებელი	3,27	5,26	51,7
37	NEX	1,23	3,58	25,5
37	NES	0,958	3,84	38,5
41	დაუმუშავებელი	3,46	6,96	97,2
41	NEX	0,854	4,28	69,5
41	NES	0,614	5,84	12,0
41	2 NES	1,26	—	—
25	დაუმუშავებელი	3,58	9,67	46,8
25	NEX	0,973	4,57	29,2
25	NES	1,23	5,77	24,2
ლიკანი	დაუმუშავებელი	2,34	4,06	127,0
ლიკანი	NEX	0,641	1,83	48,6
ლიკანი	NES	0,780	2,72	97,6
ცერნტ. პარკი	დაუმუშავებელი	3,11	5,76	97,9
ცერნტ. პარკი	NEX	0,623	3,53	68,4
ცერნტ. პარკი	NES	0,996	4,50	49,1
დასაშვები დიაპაზონი		<1	<5	20 – 150

როგორც ცხრილების მონაცემებიდან ჩანს, ფილტრაციის შემდეგ კალციუმის რაოდენობრივი მაჩვენებელი ბურლიდების მიხედვით ლამინარული რეჟიმის მერყეობს 28,2 მგ/ლ-დან 104 მგ/ლ-მდე, ხოლო ტურბულენტური რეჟიმის პირობებში 12,0 მგ/ლ-დან 97,6 მგ/ლ-მდე, რაც შეესაბამება „მინერალური წყლების ნორმატიული საფუძვლები ევროკავშირის 2003 წლის 16 მაისის 2003/40/ეკ“ დირექტივის მიხედვით ამ იონის ზღვრულ დასაშვებ კონცენტრაციას [4].

დადგინდა, რომ ბორჯომის ბუნებრივი მინერალური წყლის დებარირება-დეფორმირების ნანოფილტრაციული პროცესი უზრუნველყოფს მაღალხარისხოვანი, კრისტალურად გამჭვირვალე, სტერილური და ეკოლოგიურად სუფთა შენახვისადმი მდგრადი პროდუქციის მიღებას, ნალექის წარმონაქმნის გარეშე და კალციუმის რაოდენობა დაიყვანება ზღვა-მდე.

ლიტერატურა

1. გ. ბიბილევის შვილი. მოლებულური და იონური სისტემების დებარირება-დეფორმირების ნანოქიმია, მემბრანული ნანოტექნოლოგიისა და ნანოსისტემების შექმნით. დისერტაცია თბილისი 2016 წ.
- 2.Amina Ramdani Nanofiltration Performance for Synthetic and Natural Water Defluorination: Application to South-Algeria Groundwater International Symposium on Materials and Sustainable Development SMSD 2017: Proceedings of the Third International Symposium on Materials and Sustainable Development pp 481-491
3. Garboś S, Swiecicka D. Determination of Barium in Natural Waters by ICP-OES Technique. Part II: Assessment of Human Exposure to Barium in Bottled Mineral and Spring Waters Produced in Poland. Roczniki Panstw Zakl Hig. 2011;62(1):27-32.PMID: 21735975 Polish
4. European Commission Directive of 16 May 2003 2003/40 / EC.

SUMMARY

INFLUENCE DEBARINATION-DEFLUORINATION OF BORJOMI MINERAL WATER ON CALCIUM

Bibileishvili G.V., Mamulashvili M.A. and Butchuzi T.G.

Engineering Institute of Membrane Technologies of Georgian Technical University

The article discusses debarination-defluorination of membrane nanofiltration of natural mineral waters "Borjomi" and under the influence of this process, reducing the amount of calcium to MPC.

Keywords: nanofiltration, mineral waters, concentration, ionic selection

ბორჯომის მინერალური ფყლის დეპარტაცია-დეპორტაციას გაცლენა ქლორზე

ბიბილეიშვილი გ.გ., მამულაშვილი მ.ა., ბუთხუზი თ.გ.

საქართველოს ტექნიკური უნივერსიტეტის მემბრანული ტექნოლოგიების საინჟინრო ინსტიტუტი

ბუნებრივი, მათ შორის მინერალური წყლების გაწმენდა, სტერილიზაცია, ქიმიური კომპონენტების ზღვრულ დასაშვებ კონცენტრაციებამდე დაყვანა, განსაკუთრებით მნიშვნელოვანია ადამიანის ჯამრთელობისათვის და უსაფრთხო კვების პროდუქტების მომზადებისთვის.

ბორჯომის მინერალური წყალი თავისი შედგენილობით უნიკალურია და მოიცავს ქიმიური კომპონენტების საკმაოდ დიდ დიაპაზონს. საანალიზო მინერალურ წყალში ზღვრულ დასაშვებ კონცენტრაციაზე მეტი მნიშვნელობა გააჩნია მხოლოდ ფთორს, ბარიუმს და ზოგიერთი ჭაბურღილის მიხედვით ქლორს.

მინერალურ წყალში იონური სელექციისათვის, ნანოფილტრაციული პროცესი ტარდებოდა ბარომეტრანულ ლაბორატორიულ დანადგარზე NEX და NES მემბრანების გამოყენებით ლამინარული და ტურბულენტური რეჟიმის პირობებში. წყალში არსებული იონები განისაზღვრა იონომერზე И-160.ИМП [1,2]. მომზადდა სათანადო საკალიბრო და ბუფერული ხსნარები [3]. ბორჯომის მინერალური წყლის დებარირება-დეფორმირებისას, ბარიუმის, ფთორის და შესაბამისად ქლორის რაოდენობრივი მაჩვენებლები დაიყვანება ზღვრულ დასაშვებ კონცენტრაციამდე „მინერალური წყლების ნორმატიული საფუძვლები ევროკავშირის 2003 წლის 16 მაისის 2003/40/ეკ“ დირექტივის მიხედვით [4]. ბორჯომის მინერალური წყლში ამ იონების რაოდენობა დამუშავებული და განსაზღვრული იქნა 37, 42, 25, ლიკანის და ცენტრალური პარკის ჭაბურღილების წყლებისთვის. ბორჯომის მინერალური წყლის ქიმიური კომპონენტების რაოდენობრივი მაჩვენებლები, როგორც ლამინარული ისე ტურბულენტური რეჟიმის პირობებში მოცემულია ცხრილში 1 და 2.

ცხრილი 1. ლამინარული რეჟიმის პირობებში საწყისი და დამუშავებული ბორჯომის მინერალური წყლის ქიმიური კომპონენტების რაოდენობრივი მაჩვენებლები

ბურღილი	ტექნოლოგია	Ba, მგ/ლ	F, მგ/ლ	Cl, მგ/ლ
37	დაუმუშავებელი	3,27	5,26	386,0
37	NEX	1,60	3,82	348,0
37	NES	1,05	4,11	359,0
41	დაუმუშავებელი	3,46	6,96	352,0
41	NEX	1,09	4,82	292,0
41	NES	0,937	6,52	349,0
41	2 NES	1,26	—	334,0
25	დაუმუშავებელი	3,58	9,67	372,0
25	NEX	1,11	5,10	328,0
25	NES	1,64	6,48	335,0
ლიკანი	დაუმუშავებელი	2,34	4,06	243,0
ლიკანი	NEX	0,738	2,26	206,0
ლიკანი	NES	0,833	2,95	199,0
(ცერნტ. პარკი)	დაუმუშავებელი	3,11	5,76	323,0
(ცერნტ. პარკი)	NEX	0,875	3,91	289,0
(ცერნტ. პარკი)	NES	1,16	4,69	291,0
დასაშვები დიაპაზონი		<1	<5	260 – 380

ცხრილი 2. ტურბულენტური რეჟიმის პირობებში საწყისი და დამუშავებული ბორჯომის მინერალური წყლის ქიმიური კომპონენტების რაოდენობრივი მაჩვენებლები

ბურდილი	ტექნოლოგია	Ba, მგ/ლ	F, მგ/ლ	Cl, მგ/ლ
37	დაუმუშავებელი	3,27	5,26	386,0
37	NEX	1,23	3,58	340,0
37	NES	0,958	3,84	347,0
41	დაუმუშავებელი	3,46	6,96	352,0
41	NEX	0,854	4,28	273,0
41	NES	0,614	5,84	318,0
41	2 NES	1,26	—	334,0
25	დაუმუშავებელი	3,58	9,67	372,0
25	NEX	0,973	4,57	305,0
25	NES	1,23	5,77	328,0
ლიკანი	დაუმუშავებელი	2,34	4,06	243,0
ლიკანი	NEX	0,641	1,83	199,0
ლიკანი	NES	0,780	2,72	194,0
ცერნტ. პარკი	დაუმუშავებელი	3,11	5,76	323,0
ცერნტ. პარკი	NEX	0,623	3,53	266,0
ცერნტ. პარკი	NES	0,996	4,50	285,0
დასაშვები დიაპაზონი		<1	<5	260 – 380

დადგინდა, რომ დებარირება-დეფლუორირების შედეგად ქლორის კონცენტრაცია ბორჯომის მინერალურ წყლებში 386 მგ/ლ-დან დაყვანილია ზღვ-მდე და ჭაბურღლილების მიხედვით მერყეობს ზღვრებში – ლამინარული რეჟიმის პირობებში 199 მგ/ლ-დან 359 მგ/ლ-მდე, ხოლო ტურბულენტური რეჟიმის პირობებში 194 მგ/ლ-დან 347 მგ/ლ-მდე რაც შეესაბამება მინერალური წყლის საერთაშორისო სტანდარტს.

ლიტერატურა

1. ION-SELECTIVE ELECTRODES | Overview K. Štulík, in Encyclopedia of Analytical Science (Second Edition), 2005 ON-SELECTIVE
2. თაგხელიძე, ბიბილეგვაშვილი. ნანოსისტემების გამოყენების პერსპექტივი წყლებიდან ექოლოგიურად სუფთა სასმელი წყლის მიღებაში. //საქართველოს ქიმიური უნივერსიტეტის 11/4, 2011, გვ. 238-241.
3. ISO 92 97 -89 – Chlorine;
4. European Commission Directive of 16 May 2003 2003/40 / EC

SUMMARY

INFLUENCE DEBARINATION-DEFLUORINATION OF BORJOMI MINERAL WATER ON CHLORINE

Bibileishvili G.V., Mamulashvili M.A. and Butchuzi T.G.

Engineering Institute of Membrane Technologies of Georgian Technical University

After nanofiltration of mineral water "Borjomi" the amount of chlorine was determined. It was found that the process of debarination-defluorination of „Borjomi” mineral water provides chlorine reduction to MPC.

Keywords: membranes, debarination, defluorination, concentration, membrane electrodes.

მიკროფილტრაციული პროცესის გვლევა 0,75 – 60 NTU სიმღერის გუნდები
ფყლების ასიმეტრიული ფარმაცოგიერის დასაღენად

ბიბილეიშვილი გ.გ., უფლის დ.კ.

საქართველოს ტექნიკური უნივერსიტეტის მემბრანული ტექნოლოგიების საინჟინრო
ინსტიტუტი

მიკროფილტრაციული პროცესის დროს ხვედრითი წარმადობების შესწავლის საკითხი დაკავშირებულია პიდროდინამიკური და მასათა გადაცემის პროცესებთან და ვინაიდან ჯერ-ჯერობით არ არსებობს მემბრანული მოდულების ერთიანი თეორიული გადაწყვეტები და მიღებულია კვლევის მხოლოდ ექსპერიმენტული გზა. ჩვენ ავირჩიეთ ლაბორატორიულ პირობებში სამეცნიერო-კვლევითი სამუშაოების გაფართოება, მისი ოპტიმალური კონფიგურაციისა და რეჟიმების შესარჩევად. ერთ-ერთი საკითხთაგანია ბარომეტრანული ფილტრაციის პროცესებში მოდელური ხსნარების სხვადასხვა სიმღერისა და ხვედრითი წარმადობას შორის დამოკიდებულების შესწავლა და ექსპერიმენტული მრუდის დახმარებით ექსტრაპოლაციური მრუდის ანალიზური სახის დადგენა, რომელიც საშუალებას იძლევა სადაწეო საკითხის სიმაღლის ცვლილების პირობებში ხვედრითი წარმადობის მნიშვნელობების გვექტური რეგულირებისა და შემდგომი პროცენტირების.

ექსპერიმენტები ჩატარდა ლაბორატორიულ დანადგარზე, რომლის სადაწეო საკითხის მუშა კვანძის გეომეტრიული ზომები იყო სიგანე $B=9$ მმ; სიგრძე $L=30$ მმ; მემბრანის ფართობი $w=B \times L=270$ მმ²; წნევა საკანზი $P=1$ ბარი და სიჩქარე $v=0,5$ მ/წმ მემბრანაზე 2მკმ. საწყისი სითხის ტემპერატურაა $T=20^{\circ}\text{C}$. საწყის სითხებად გამოყენებული იყო ბუნებრივი წყლები სიმღერივებით – 0,75 NTU; . 9,95 NTU; 20,56 NTU; 40,9 NTU; 58,5 NTU

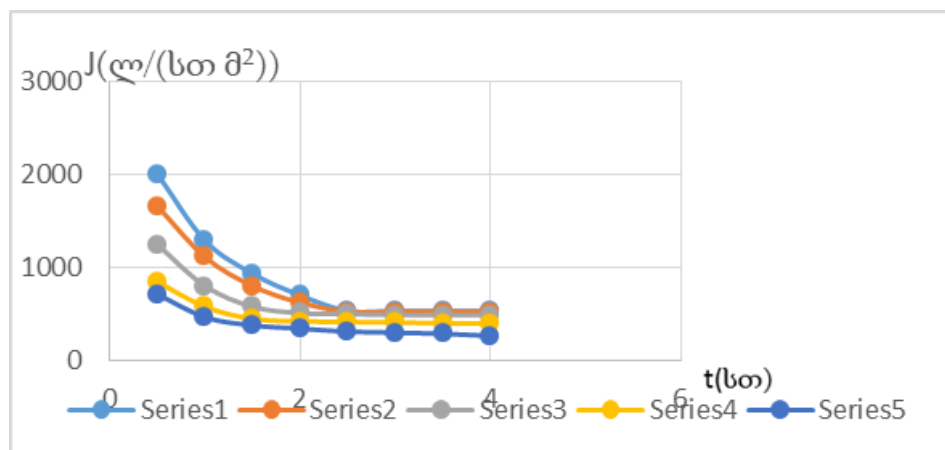
ექსპერიმენტული ხვედრითი წარმადობის მნიშვნელობები სხვასხვა მუდმივი სიმღერივის ბუნებრივ წყალზე, მიკროფილტრაციული პროცესით გაფილტვრის დროს

საწყისი სიმღერივ NTU	სითხის ტემპერატ. T °C	სითხის მოცულობა (მლ)				ხვედრითი წარმადობები დროის მიხედვით J (ლ/(სთ×მ ²))										
		თავ. P ₁	ბოლ. P ₂	V _{ფილ}	V _{გელ}	ვების დახარჯის შემცირება	ვების გოლოს	0,5 (სთ)	1,0 (სთ)	1,5 (სთ)	2,0 (სთ)	2,5 (სთ)	3,0 (სთ)	3,5 (სთ)	4,0 (სთ)	
1	2	3	4	5	6	7	8	9	10	11	12	13	14	15	16	
0,75	20	1	0,2	28	800	2,4	–	2000	1288	933	700	533	533	533	533	
9,95				30,5	303,5	2,35	670	1656	1111	800	622	525,2	525,2	525,2	525,2	
20,56				12	225	2,2	575	1244	800	578	533	510	489	489	489	
40				15	395	1,8	650	844	578	448	444	422	400	400	400	
58,5				17	573	1,35	755	771	488	400	388	378	356	311	300	

ცხრილის მონაცემების მიხედვით გარკვეული დროიდან დაწყებული ხვედრითი წარმადობების მნიშვნელობები მეორდება შემდეგი სიმღერივების წყლებისათვის:

- 1) 0,75 NTU - t = 2,5 სთ-დან J = 533 (ლ/(სთ×მ²));
- 2) 9,95 NTU - t = 2,5 სთ-დან J = 525,2(ლ/(სთ×მ²));

3) 20,56 NTU - $t = 3$ სთ-დან $J = 489$ ($\text{ლ}/(\text{სთ} \times \text{მ}^2)$);
 4) 40,9 NTU - $t = 3\text{სთ-დან}$ $J = 400$ ($\text{ლ}/(\text{სთ} \times \text{მ}^2)$);
 5) 58,5 NTU - ექსპერიმენტის მიმდინარეობის 4 საათის განმავლობაში ვერ მივიღეთ ხელი წარმადობების მნიშვნელობების განმეორადობა, რაც მიგვანიშნებს იმაზე, რომ ამ შემთხვევაში ექსპერიმენტების ჩატარების დროის 4 საათიანი ხანგრძლივობა არ არის საკმარისი. განმეორადობების ამ მნიშვნელობებს ვუწოდოთ წარმადობების ასიმპტოტური მნიშვნელობები, რაც ნიშნავს, რომ იგი ერთი და იგივეა ხანგრძლივი დროის განმავლობაში.



ექსპერიმენტული წარმადობების ცვლილება დროის მიხედვით, სხვადასხვა სიმღვრივის დროს:
 Series 1 - 0,75 NTU ; Series 2 - 9,95 NTU; Series 3 - 20,56 NTU; Series 4 - 40,9 NTU; Series 5- 60, NTU.

როგორც დიაგრამიდან ჩანს, ხელი წარმადობები უველა სიმღვრივის შემთხვევაში განიცდიან საგრძნობელ ვარდნას 1,5 საათამდე, ხოლო დროის შემდგომ პერიოდში ნაკლებად, რაც მიგვითითებს იმაზე, რომ საწყის ეტაპზე გაყოფის პროცესის ნაწილაკები აქტიურად ავსებენ მემბრანის ფორებს, ხოლო შემდეგ პერიოდში უფრო ნაკლებად.

- რაც უფრო ნაკლებია საწყისი სითხის სიმღვრივე, მით უფრო მეტია მემბრანის ხელი წარმადობა

ლიტერატურა

1. Christian R.Bouchard, Pierre J.Carreau, Takeshi Matsuura, S.Sourirajan. Modeling ofultrafiltration: Predictions of concentration polarization effects. Journal of MembraneScience,volume 97, 1994,pp 215-229.
2. Alexey Pervov, The influence of hydrodynamic factors, membrane surface properties andchannel geometries on membrane performance and fouling mechanisms; MATEC Web of Conferences 86, 0 (2016) DOI: 10.1051/matecconf/20168603006 IPICSE-2016
3. Дытнерский Ю.И. Баромембранные процессы. Теория и расчет. -М. Химия,1986, 272 с.
4. გ. ბიბილიშვილი, ლ. უფარაძე, ზ. ჯავაშვილი, თ. ბუთხევზე. ბუნებრივ წყალზე მიკროფილტრაციით მიღებული ზოგიერი ექსპერიმენტული მონაცემთა ანალიზი. //საქართველოს ქმიერი უნივერსიტეტი, გ.19, №1, 2019.

SUMMARY

INVESTIGATION OF MICROFILTRATION PROCESS TO DETERMINE THE ASYMPTOTIC SPECIFIC CAPACITY IN NATURAL WATERS WITH 0.75 - 60 NTU TURBIDITY

Bibileishvili G.V. and Kuparadze L.P.

Engineering Institute of Membrane Technologies of Georgian Technical University

In the article the results of microfiltration experiments performed on a laboratory unit on natural water of different turbidity evenly distributed in volume are discussed and studied. It was found that different turbidity of natural water causes changes in specific productivity.

Keywords: membrane, microfiltration, specific productivity; turbidity

მიკროფილტრაციული პროცესების დროს ხვედრითი წარმადობების კვლევა
ბუნებრივი ფაზის მუდმივი და ცვალებადი სიმღვრივისას

ბიბილეიშვილი გ.გ., ყუფარაძე ლ.კ.

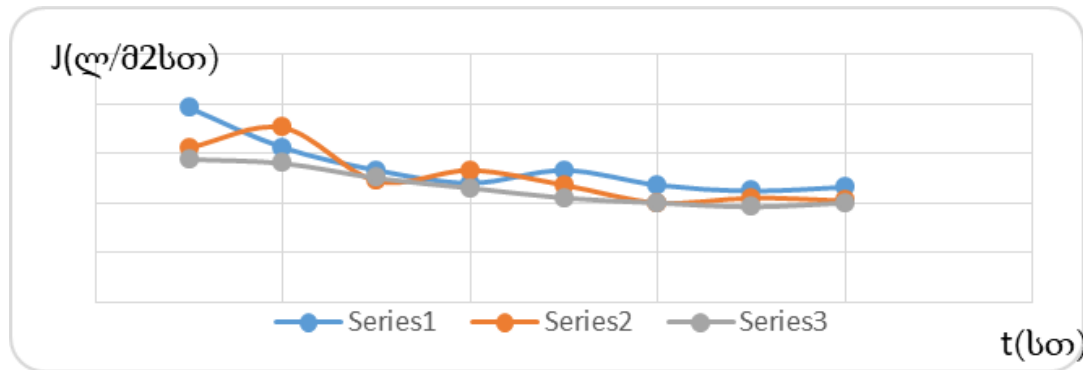
საქართველოს ტექნიკური უნივერსიტეტის მემბრანული ტექნოლოგიების საინჟინრო
ინსტიტუტი

მოსახლეობის უზრუნველყოფა ეკოლოგიურად სუფთა პროდუქტებითა და
სასმელი წყლით მჭიდროდ არის დაკავშირებული ახალ, თანამედროვე ტექნოლო-
გიების შემუშავებასა და დანერგვასთან. მაღალი ხარისხის სასმელი წყლის მისაღე-
ბად საჭიროა სტაბილურად მომუშავე, მაღალი წარმადობის მქონე მემბრანული
დანადგარების შექმნა, რომლის განხორციელება შესაძლებელია მემბრანული აპარა-
ტის სათანადო კონსტრუქციით და ისეთი პიდროდინამიკური რეჟიმით, რომლის
დროსაც მემბრანის ზედაპირზე არ წარმოიქმნება ფილტრაციული გაყოფის პროცესის
შემაფერხებელი დანალექი [1-3]. ამ მიზნით კვლევები ჩატარდა მემბრანაზე 2მკმ,
სადაწნეო საკანზი $P=1$ ბარი წნევისა $v=0,5$ მ/წმ სიჩქარის დროს. ექსპერიმენტებით
მიღებული $V_{\text{ფილ}}$ მონაცემების ანათვალების დროის ინტერვალი იყო $\Delta t=1$ წთ.
საკვლევი სითხის ტემპერატურა $T=20^{\circ}\text{C}$, საწყისი სითხის სიმღვრივე. ფილტრაციისა
 $V_{\text{ფილ}}$ ანათვლები იღებოდა ყოველ ნახევარ საათში. სადაწნეო საკანის მუშა კვანძის
გეომეტრიული ზომები იყო სიგანე $B=9$ მმ; სიგრძე $L=30$ მმ; მემბრანის ფართობი
 $w=B \times L = 270$ მმ².

ექსპერიმენტული ხელობრითი წარმადობის მნიშვნელობები სხვადასხვა ცვლად და მუდმივ
სიმღვრივიან კონცენტრაციზე დროის მიხედვით

საწყის სიმღვრივე NTU	სითხის ტემპერატურა $T^{\circ}\text{C}$	წნევა საკანის (ბარ)	ფილტრაცი ული სითხის მოცულობა (მმ)	ხელობრითი წარმადობები დროის მიხედვით J (ლ/(სთ×მ ²))										
				ცდის დას.	ცდის ბოლოს	0 სთ	0,5 სთ	1,0 სთ	1,5 სთ	2,0 სთ	2,5 სთ	3,0 სთ	3,5 სთ	4,0 სთ
						თავ P_1	ბოლ. P_2	$V_{\text{ფილ}}$	$V_{\text{ფილ}}$ მ					
1	2	3	4	5	6	7	8	9	10	11	12	13	14	
ცვლადსიმღვრივიანი კონცენტრაციი														
5	20	1	0,6	10,5	048	2333	196	156	133	122	133	118	112	116
9,9				9,9	0,45	1911	156	176	122	133	118	100	105	99
20				0,7	0,40	1422	156	176	122	133	118	100	105	99
მუდმივი სიმღვრივიანი კონცენტრაციი														
5	20	1	0,6	10,5		2333	-	-	-	-	-	-	-	-
9,9				9,9		1911	1656	1111	600	622	525,2	525,2	525,2	525,2
20				12		1422	1244	800	576	533	510	489	489	469

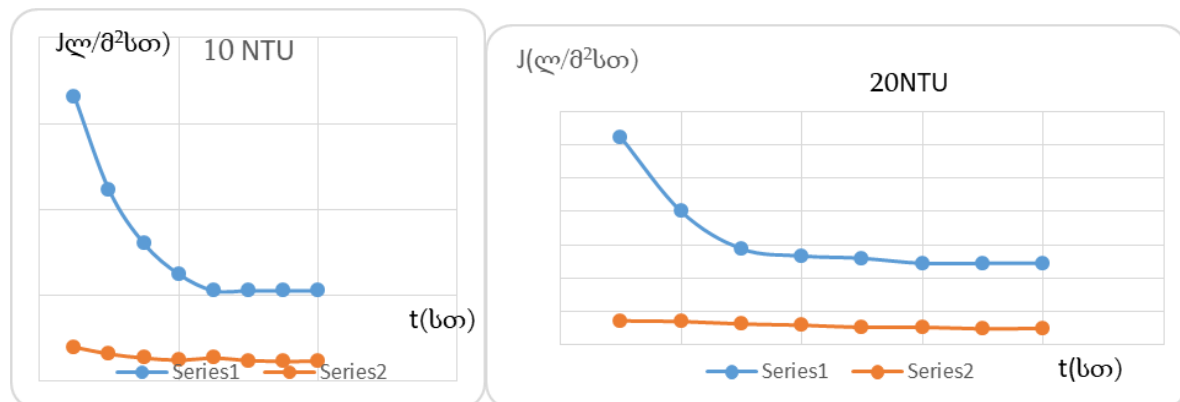
ცხრილი 1-ის მონაცემებიდან ჩანს ექსპერიმენტების დაწყების 1 წთ-ის განმავლობაში ცვლად და მუდმივ სიმღვრივიან კონცენტრატებისათვის ხვედრითი წარმადობები ერთნაირია. ექსპერიმენტის დაწყებიდან ნახევარი საათისათვის კი უკვე დიდად განსხვადებიან.



ნახ. 1. ხვედრითი წარმადობების დროისაგან დამოკიდებულება ცვლად სიმღვრივიანი კონცენტრატზე:

Series1 - კონცენტრატის სიმღვრივე 5 NTU; Series2 - კონცენტრატის სიმღვრივე 9,9 NTU;
Series 3 - კონცენტრატის სიმღვრივე 20 NTU;

ცვლების მიმდინარეობის 2 საათის განმავლობაში ხვედრით წარმადობებს შედარებით დიდი ვარდნა გააჩნია, ვიდრე დროის შემდგომ პერიოდში და გრაფიკების მოხაზულობას აქვს ონდათანობითი პლეის ტენდენცია. ხვედრითი წარმადობების განმეორადობას ამ შემთხვევაში ადგილი არ აქვს.



ნახ.2. ხვედრითი წარმადობების დამოკიდებულება დროისაგან 10 NTU და 20 NTU სიმღვრივის წყალზე:

Series 1 - მუდმივი სიმღვრივის კონცენტრატზე; Series2 - ცვლადსიმღვრივიან კონცენტრატზე

როგორც ეს ნახ. 2-დან ჩანს, ექსპერიმენტის დაწყებიდან ხვედრითი წარმადობების მნიშვნელობები მუდმივი და ცვლადი სიმღვრივის კონცენტრატზე დიდად განსხვადებიან ერთმანეთისაგან. ეს განსხვავება სიმღვრივის უფრო დიდი მნიშვნელობების შემთხვევაში უფრო მეტია.

ჩატარებული ექსპერიმენტების შედეგების ანალიზის საფუძველზე შეიძლება გავაკეთოთ შემდეგი დასკვნა – ცვლად სიმღვრივიანი კონცენტრატის შემთხვევაში ხვედრით წარმადობებს ასიმტოტი არ გააჩნია.

ლიტერატურა

1. Дытнерский Ю.И. Баромембранные процессы Теория и расчет. -М. Химия, 1986, 272 с.
2. Андрианов А. П., Первов А. Г. Методика определения параметров эксплуатации ультрафильтрационных систем очистки природных вод. МГСУ, ФГУП НИИВОДГЕО.
3. Ключников А.И. Научные основы интенсификации процессов микро и ультрафильтрации технологических жидкостей пищевых производств» докторская диссертация, Воронеж, 2016.

SUMMARY

STUDY OF SPECIFIC PERFORMANCE IN MICROFILTRATION PROCESSES WITH CONSTANT AND VARIABLE TURBIDITY OF NATURAL WATER

Bibileishvili G.V. and Kuparadze L.P.

Engineering institute of Membrane Technologies of Georgian Technical University

In the article the issue of specific capacity for different values of water turbidity for both constant and variable values during the microfiltration process is experimentally investigated. The study showed that specific performance has no asymptote in the case of variable water turbidity.

Keywords: membrane, microfiltration, specific productivity; turbidity.

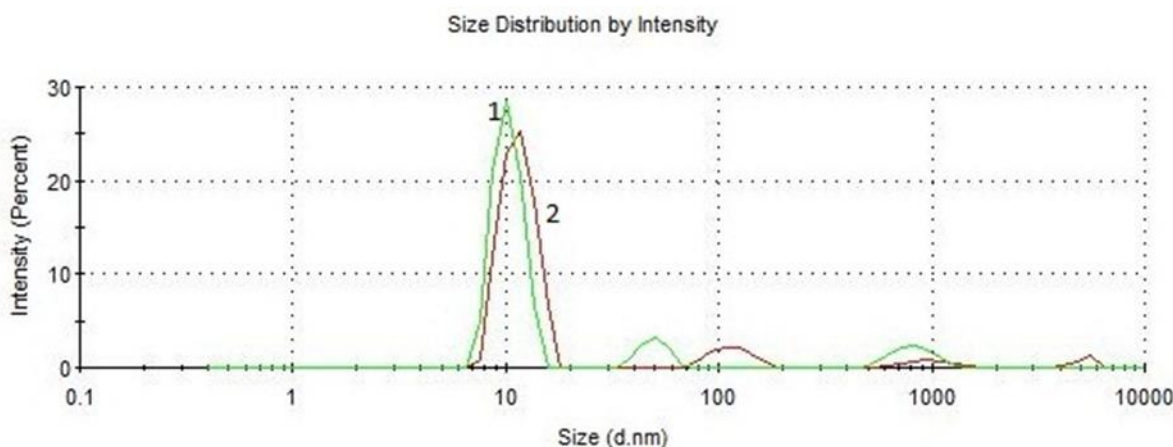
**პოლისულფონის სხვადასხვა პრეცენტაციის სინარჩების გვლევა
მიკროფილტრაციული მემბრანების მიზანისათვის**

ბიბილეიშვილი გ.გ., გოგესაშვილი ნ.ნ., გაკაბაძე ე.გ.

**საქართველოს ტექნიკური უნივერსიტეტის მემბრანული ტექნოლოგიების
საინჟინრო ინსტიტუტი**

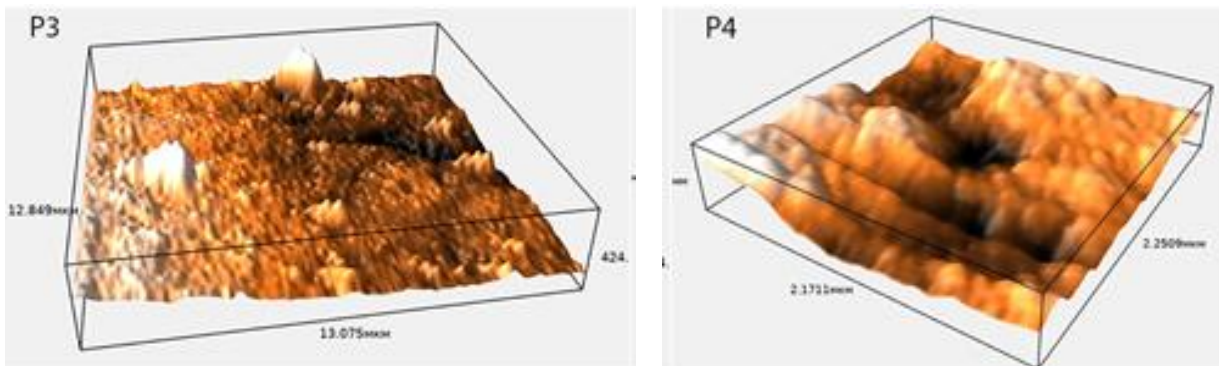
პოლისულფონების თვისებები: თერმოსტაბილურობა, დაუანგვის და მჟავების მიმართ მდგრადობა, ელასტიურობა და მაღალ ტემპერატურაზე დაბალი დენადობა განაპირობებს მათ ფართოდ გამოყენებას მემბრანულ ტექნოლოგიაში.

სამუშაოს მიზანს წარმოადგენდა ლაბორატორიულ პირობებში წყლის ახალი შემადგენლობის პოლისულფონის ფილტრაციული მემბრანების მიღება და გამოცდა [1]. პოლისულფონის 7%-დან 11%-მდე რაოდენობები თავსდებოდა 100 მლ-იან კოლბაში CaCl_2 -ის 5%-იან სსნარში დიმეთილაცეტამიდში და 55 °C-ზე გაცხელებით მაგნიტური სარევალათი მუდმივი მორევის პირობებში ტარდებოდა გასსნის პროცესი. ანალოგიურად მიღებულია პოლიეთილენგლიკოლიანი (პეტ აღებული იყო პოლიმერის მასის 25%) დასასხმელი სსნარები. სსნარები შესწავლილი იქნა სინათლის გაბნევის დინამიური მეთოდით Zetasizer Nano Zen 3690- Malvern Instruments-ზე. პოლიმერული კომპონიციები წარმოადგენენ პოლიდისპერსიულ სისტემებს, რომელშიც ნაწილაკების ზომა დამოკიდებულია კონცენტრაციაზე. სხვადასხვა კონცენტრაციის მემბრანის დასასხმელ კომპონიციებში განსაზღვრული ნანონაწილაკების ზომების მნიშვნელობები და დისპერსიულობის ინდექსი განსხვავებულია. პოლისულფონის კონცენტრაციის გაზრდით სსნარის პოლიდისპერსიულობის ინდექსი იზრდება 0,2-დან 0,9-მდე, მაღალი ინტენსივობის ნაწილაკების ზომების მნიშვნელობები კი მცირდება 12,15 ნმ-დან 6,09 ნმ-მდე. სურათზე 1 მოცემულია სუფთა პოლისულფონის და პეტ-იანი პოლისულფონის სსნარებში ნანონაწილაკების ზომების განაწილება ინტენსივობის მიხედვით.



სურათი 1. პოლისულფონის (2) და პეტ-იანი სულფონის(1) სსნარებში ნანონაწილაკების ზომების განაწილება ინტენსივობის მიხედვით

მასკანირებელ ზონდური მიკროსკოპით (SPM, Certus standart V) შესწავლილია სხვადასხვა კონცენტრაციის კომპონიციებიდან გამოღექილი მემბრანული ნიმუშების მორფოლოგია. სურათზე 2 და 3 მოცემულია სუფთა პოლისულფონის 9%-იანი და პოლისულფონის 10% სსნარზე პეტ-ის დამატებით მიღებული მემბრანების მიკროსურათები.



სურათი 2. პოლისულფონის 9%-იანი ხსნარიდან მიღებული მემბრანის მიკროსურათი

სურათი 3. პოლისულფონის 9%-იანი და პეგ-იანი კომპოზიციიდან მიღებული მემბრანის მიკროსურათი

სურათებიდან ჩანს, რომ მემბრანების ზედაპირების ტოპოგრაფიული გამოსახულებები განსხვავებულია. პეგ-ის შემცველ ნიშანებში პოლისულფონის კონცენტრაციის ზრდის პირობებში ზედაპირის რელიეფი ერთგვაროვანი ფორმოვანი სტრუქტურისაა, არ შეიმჩნევა დეფექტები და მიკროდრულები. რაც ნიშანავს იმას, რომ დასასხმელ ხსნარებში პეგ (400)-ის დამატებამ პოლიმერის მასის 25%-ის რაოდენობით პოლისულფონის კონცენტრაციის ზრდის პირობებში განაპირობა სტრუქტურული ცვლილებები პოლიმერულ კომპოზიციებში, მოახდინა მიკროგელური ნაწილაკების ზომების რეგულაცია მცირე ზომის ფორმების წარმოქმნის მიმართულებით [2].

დადგენილია პოლიმერის კონცენტრაციის და პეგ-ის შემცველი პოლიმერული კომპოზიციების პოლიდისპერსობის ინდექსის, ნანონაწილაკების ზომის და განაწილების ცვლილებების გავლენა მიღებული მემბრანების მორფოლოგიაზე.

ლიტერატურა

1. José M. Garcia, Felix C. Garcia, Felipe Sema, and José L. de la Pena, AromaticPolyamides (Aramids), Handbook of engineering and specialty thermoplastics, 6-181)0.1016/j.desal.2014.10.043.
2. M. A. Shannon, P. W. Bohn, J. G. Georgiadis, B. G. Marinas, A. M. Mayes, Science and technology for water purification in the coming decades, Natur452, 2008, pp. 301-310.

SUMMARY

RESEARCH OF POLYSULFONE SOLUTIONS OF DIFFERENT CONCENTRATIONS TO OBTAIN MICROFILTRATION MEMBRANES

Bibileishvili G.V., Gogesashvili N.N. and Kakabadze E.G.

Engineering Institute of Membrane technology of Georgian Technical University

Research showed that with increasing polysulfone concentration and by supplementing PEG, such changes in polydispersity index, nanoparticle size and distribution occur, which in turn affect the surface morphology of the obtained membranes.

Keywords: concentration, polyethylene glycol, morphology, polysulfone.

პოლიგერის კონცენტრაციის და ორგანული დანამატების გავლენის
პვლევა მიღებული მემბრანების ზორიანობასა და წარმადობაზე

ბიბილეიშვილი გ.გ., გოგესაშვილი ნ.ნ., გაკაბაძე გ.გ.

**საქართველოს ტექნიკური უნივერსიტეტის მემბრანული ტექნოლოგიების
საინჟინრო ინსტიტუტი**

მემბრანულ ტექნოლოგიაში გამოყენებული მასალების დიდი ნაწილი პოლიმერებია. ასეთ პოლიმერებს განეკუთვნება პოლისულფონები, რომელთა ქიმიური თვისებები გაპირობებულია მათ მაკრომოლეგულებში პოლარული ჯგუფების არსებობით [1].

მემბრანების მოსამსადებლად გამოყენებული იყო ფაზური ინვერსიის სველი მეთოდი. პოლისულფონის გამსხვევლად შერჩეულია CaCl_2 -ის 3%-იანი ხსნარი დიმეთოლაცეტამიდში. დამზადებულია, როგორც სუფთა პოლისულფონის 7%, 8%, 9% და 10%-იანი დასასხმელი პოლიმერული კომპოზიციები, ასევე პოლიეთოლენგბლიკოლიანი კომპოზიციები (პეგ პოლიმერის მასის 25%). გახსნის მონიტორინგი ხორციელდებოდა პოლარიზაციულ-ინტერფერენციული ოპტიკური მიკროსკოპის დახმარებით. მიღებული ხსნარები გაფილტვრის და ვაკუუმში დეაერაციის შემდეგ დაიტანებოდა ლაბორატორიულ ფილტრზე მოთავსებულ მინის ფირფიტაზე. გამოლექვის პროცედურები ჩატარებულია გამოხდილი წყლის საკოაგულაციო აბაზანაში 60 °C-ზე. ნიმუშები ირცხებოდა 60 °C-იანი წყლით ხსოვნის განმავლობაში და ყოვნდებოდა გამრეცხაბაზი წყალში ხსნადი ნივთიერებების მოსაიცლებლად.

სუფთა პოლისულფონის სხვადასხვა კონცენტრაციის და პეგ-ის შემცველი დასასხმელი ხსნარებიდან მიღებული მემბრანული ნიმუშები აღნიშნულია P_1 , P_2 , P_3 , P_4 , P_5 , P_6 , P_7 , P_8 სიმბოლოებით. მემბრანების ფორის ზომის და წარმადობების მნიშვნელობები მოცემულია ცხრილში.

მიღებული მემბრანული ნიმუშების ფორის ზომის, ფორიანობის და წარმადობის მნიშვნელობები

პოლიმერული მემბრანები	ბუშტულების წერტილის წნევა, ბარი p	ფორის ზომა, D მკმ	მემბრანის ფორიანობა, %	მემბრანის წარმადობა ლ/მ²სთ
P_1	1	0,81	18 ± 2	1800
P_2	1,36	0,59	20 ± 3	1640
P_3	1,65	0,49	24 ± 1	1450
P_4	1,92	0,42	29 ± 2	1320
P_5	2,2	0,37	31 ± 3	1230
P_6	2,35	0,34	42 ± 1	1120
P_7	2,4	0,33	54 ± 4	1015
P_8	2,6	0,31	70 3	989

ცხრილის მონაცემებიდან ჩანს, რომ პოლისულფონის კონცენტრაციის გაზრდით ხდება ფორის ზომის შემცირება. კერძოდ P_1 მემბრანის ფორის ზომა იყო 0,81 მკმ, ხოლო P_4 ნიმუშის ფორის ზომა გახდა 0,42 მკმ, შემცირდა თითქმის ორჯერ. შემდეგ PEG-ის დამატებით მიღებულ ნიმუშებში ისევ ხდება ფორის ზომის თანდათანობით შემცირება და P_8 ნიმუშის ფორის ზომის მნიშვნელობებს შორის განსხვავება 0,5 მკმ-ია. ფორის ზომის მნიშვნელობების შემცირებასთან ერთად მცირდება მემბრანების წარმადობა, მაგრამ უმჯობესდება მემბრანების ზედაპირის მორფოლოგია და ფორიანობა. პოლი-ეთოლენგბლიკოლის (400) დამატებით მიღებული მემბრანების წარმადობის შემცირება P_5 , P_6 , P_7 და P_8 ნიმუშებისათვის გაპირობებულია პეგ-ის უნარით [2] დასასხმელი ხსნარების სიბლანტის გაზრდით შეანელოს ფაზური ინვერსიის პროცესი, შეავიწროოს

და წარმოქმნას ახალი ფორები, ჩაახშოს მიკროდრუების წარმოქმნა და გაზარდოს მემბრანების ფორმიანობა.

ემპირიული კვლევების შედეგად გამოვლენილია პირობები, რომელთა მეშვეობით შესაძლებელი გახდა კონცენტრაციის ცვალებადობისა და პოლიეთოლენგლიკოლის რაოდენობის რეგულირების ხარჯზე მიღებული მემბრანების მორფოლოგიის პროგნოზირება.

ლიტერატურა

1. Mohammad A.W., Teow Y.H., Ang W.L., Chung Y.T., Oatley-Radcliffe D.L., Hilal N. Nanofiltration membranes review: Recent advances and future prospects. Desalination, 2015; 356:226–254.
2. Yingnan Fend, Gang Han, Tai Shung Chung, Martin Weber, Natalia Widjojo, Christian Maletzko, Effects of polyethylene glycol on membrane formation and properties of hydrophilic sulfonated polyphenylenesulfone (sPPSU) membranes, Journal of Membrane Science, 1 June 2017, 27-35.

SUMMARY

**INFLUENCE OF POLYMER CONCENTRATION AND ORGANIC ADDITIVES
ON THE POROSITY AND PRODUCTIVITY OF THE MEMBRANES OBTAINED**
Bibileishvili G.V., Gogesashvili N.N. and Kakabadze E.G.

Engineering Institute of Membrane technology of Georgian Technical University

The influence of the concentration of the polymer and organic additives of polyethylene glycol (PEG) on the characteristic parameters of polymer membranes obtained from polysulfone was studied. It was found that by increasing the polymer concentration, the porosity of the membranes increases, and the productivity decreases. The productivity and pore size were determined by laboratory equipment created at the Institute.

Keywords: Polysulfone, concentration, polyethylene glycol, productivity.

კოლიმარისა და არაორბანული მარილის შრობის ფაქტაზეაფურის გაცლენის
შესწავლა კოლიმარის სინაზობაზე ოპტიკური მიკროსკოპით

ბიბილეიშვილი გ.გ., ებანოიძე ლ.ო., ჯავაშვილი ზ.დ.

**საქართველოს ტექნიკური უნივერსიტეტის მემბრანული ტექნოლოგიების
საინჟინრო ინსტიტუტი**

პოლიმერულ კომპოზიციაში პოლიდისპერსიული სისტემის ნაწილაკების განაწილება, რომელიც განაპირობებს მაღალი ფორიანობისა და ხვედრითი წარმადობის მქონე მემბრანულის მიღებას დამოკიდებულია სსნარის მომზადების პირობებსა და გასხვის ტემპერატურაზე. სსნარის მომზადების პროცესში მნიშვნელოვანია პოლიმერული კომპოზიციის კომპონენტების შრობის პროცესები [1]. შესწავლით ის სხვადასხვა ტემპერატურაზე გამშრალი კომპონენტების – პოლიმერისა და არაორგანული მარილის გავლენა პოლიმერის გახსნის პროცესზე. 55°C ტემპერატურაზე დასასხმელი პოლიმერული კომპოზიციის მომზადების პროცესში ჩატარებულია პოლიმერის გახსნის პროცესის მონიტორინგი პოლარიზაციულ-ინტერფერენციული ოპტიკური მიკროსკოპით – Biolar (პოლონეთი), გადიდების დიაპაზონით $350 - 400$ და მასზე დამონტაჟებული ციფრული კამერით [2-4]. განხორციელებულია პოლიმერის – პოლიეთერსულფონისა და არაორგანული მარილის – კალციუმის ქლორიდის შრობა თერმოსტატში (POL-EKO მოდელი ST) 60°C , 75°C , 90°C , 105°C , 120°C და 135°C ტემპერატურებზე (ცხრ. 1 და 2).

ცხრილი 1. პოლიეთერსულფონის წონა შრობის ტემპერატურის მიხედვით

ნივთიერების დასახელება	შრობის ტემპერატურა, t°C	ნიმუშის წონა, გ		
		შრობამდე	შრობის შემდეგ	წონის დანაკარგი
პოლიეთერსულფონი	60	0,550	0,517	0,035
	75	0,542	0,511	0,031
	90	0,511	0,508	0,003
	105	0,508	0,505	0,003
	120	0,505	0,505	0
	135	0,505	0,505	0

ცხრილი 2. კალციუმის ქლორიდის წონა შრობის ტემპერატურის მიხედვით

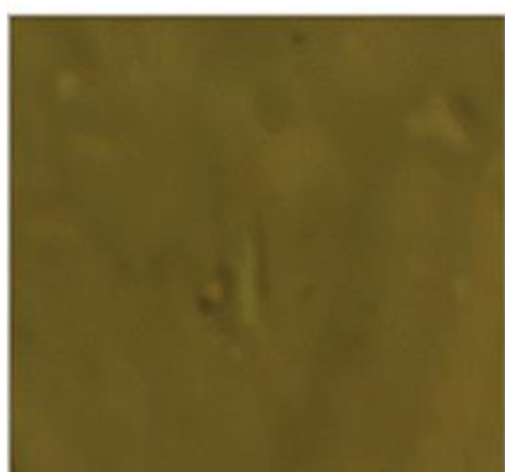
ნივთიერების დასახელება	შრობის ტემპერატურა, t°C	ნიმუშის წონა, გ		
		შრობამდე	შრობის შემდეგ	წონის დანაკარგი
კალციუმის ქლორიდი	60	0,157	0,145	0,012
	75	0,141	0,128	0,013
	90	0,128	0,124	0,004
	105	0,124	0,121	0,003
	120	0,121	0,121	0
	135	0,121	0,121	0

60°C , 75°C , 90°C , 105°C , 120°C და 135°C ტემპერატურებზე გამშრალი პოლიმერული კომპოზიციის კომპონენტების გახსნა ხორციელდებოდა 5 გ/ლ კონცენტრაციის სსნარში, სარეაქციო კოლბაში, 55°C ტემპერატურაზე. მაგნიტური სარეველათი მორევა გრძელდებოდა პოლიმერული კომპოზიციის გამჭვირვალე სსნარის მიღებამდე. გახსნის პროცესზე დაკვირვება ხდებოდა მიკროგრაფიული გამოსახულებების მიხედვით. კონტროლი გრძელდებოდა პოლიმერული კომპოზიციის თევად მასაში პოლიმერის ძაფისებური ან ნემსისებური ჩანართების, მყარი ნაწილაკების სრულ გაქრობამდე.

(სურათი ა და ბ). 135°C ტემპერატურაზე გამშრალი კომპონენტების შემცველი პოლიმერული კომპოზიციის მიკროგრაფიულ სურათზე არ ჩანს მიკროგალური ნაწილაკები (სურათი 1, ბ), რაც მიუთითებს ხსნარის ერთგვაროვნებზე.



ა



ბ

პოლარიზაციულ-ინტერფერენციული ოპტიკური მიქროსკოპის მიკროგრაფიული გამოსახულებები: მიღებული (ა) 60°C და (ბ) 105°C ტემპერატურაზე გამშრალი კომპონენტებით მომზადებული კომპოზიციიდან

პოლევის შედეგად დადგინდა, რომ პოლიმერისა და კალციუმის ქლორიდის შრობის ტემპერატურის ცვლილებით შესაძლებელია პოლიმერულ მასაში ნაწილაკების ზომის ისეთი განაწილების რეგულირება, რაც განაპირობებს მაღალი ფორიანობისა და ხელისუფლის მქონე მემბრანების მიღებას.

ლიტერატურა

- Wu, B.Zhao, Y.; Wu, H.M.; Wang, M.; Chen, J.F.; Ding, Y. Using molecular simulation to predict the mechanical properties of linear aromatic polyamides. //J. Univ. South China 2014, 4, pp.86–90. http://en.cnki.com.cn/Article_en/CJFDTotal-ZNGB201404018.htm
- Zhao, H.F., Zhang, M.Y., Lu, J.B. Configuration of PMIA-pulp and its effect on aramid paper. China Pulp Pap. 2010, 29, 1–5. https://en.cnki.com.cn/Article_en/CJFDTOTAL-ZGZZ201002006.htm
- Jain, A., Vijayan, K. Thermally induced structural changes in nomex fibres. Bull. Mater. Sci. 2002, 25, pp. 341–346. <https://link.springer.com/article/10.1007/BF02704129>
- J. Chil. Chem. Soc. ANDRÉ M. STRIEGEL* ADVANCES IN THE UNDERSTANDING OF THE DISSOLUTION MECHANISM OF CELLULOSE IN DMAc/LiCl; Journal of Chilean Chemical Society, v.48 n.1 2003 https://scielo.conicyt.cl/scielo.php?script=sci_arttext&pid=S0717-97072003000100013

SUMMARY

STUDY OF THE EFFECT OF THE DRYING TEMPERATURE OF THE POLYMER AND INORGANIC SALT ON THE SOLUBILITY OF POLYMERS USING OPTICAL MICROSCOPY

Bibileishvili G.V., Ebanoitze L.O. and Javashvili Z.D.

Engineering Institute of Membrane Technology, Georgian Technical University

Influence of drying temperature of polymer and inorganic salt on degree of dissolution of polymeric membrane compositions and on specific productivity of membranes obtained on the basis of polyethersulfone has been studied. It was established that by changing the drying temperature of the polymer and inorganic salt it is possible to obtain such a distribution of particle sizes in the polymer mass, which determines the production of membranes with high porosity and specific productivity.

Keywords: polymeric membrane, polymer, calcium chloride, inorganic salt, specific output.

არაორგბანული მარილის გავლენის შესწავლა პოლიმერის სინაზოგაზე სინათლის დინამიური ბაბენის მეთოდით

პიბილეიშვილი გვ., ებანოძე ლ.ო.

**საქართველოს ტექნიკური უნივერსიტეტის მემბრანული ტექნოლოგიების
საინჟინრო ინსტიტუტი**

პოლიმერულ კომპოზიციაში პოლიდისპერსიული სისტემის ნაწილაკების ხარისხობრივი დაშლა მემბრანის ფორმების წარმოქმნისათვის საჭირო ფართობის რეგულირებისა და მემბრანული აპკის ხვედრითი წარმადობის პროგნოზირების საშუალებას იძლევა. პოლიმერის მასაში ნაწილაკების დაშლა დამოკიდებულია ხსნარის მომზადების პირობებსა და გახსნის ტემპერატურაზე. ხსნარის მომზადების პროცესში მნიშვნელოვანია პოლიმერული კომპოზიციის კომპონენტების შრობის პროცესები მაღალი წარმადობის მქონე მემბრანების მისაღებად [1]. შესწავლილია სხვადასხვა ტემპერატურაზე გამშრალი კომპონენტის – არაორგანული მარილის გავლენა პოლიმერის ხსნადობის პროცესზე. ჩატარებულია პოლიმერის გახსნის პროცესის მონიტორინგი ანალიზატორზე Zetasizer Nano Zen 3690. განხორციელებულია არაორგანული მარილის – კალციუმის ქლორიდის შრობა თერმოსტატში (POL-EKO მოდელი ST) 60°C , 75°C , 90°C , 105°C , 120°C და 135°C ტემპერატურებზე (ცხრილი 1).

ცხრილი 1. კალციუმის ქლორიდის შრობის ტემპერატურის მიხედვით

ნივთიერების დასახელება	შრობის ტემპერატურა, t°C	ნიმუშის წონა, გ		
		შრობამდე	შრობის შემდეგ	წონის დანაკარგი
კალციუმის ქლორიდი	60	0,157	0,145	0,012
	75	0,141	0,128	0,013
	90	0,128	0,124	0,004
	105	0,124	0,121	0,003
	120	0,121	0,121	0
	135	0,121	0,121	0

60°C , 75°C , 90°C , 105°C , 120°C და 135°C ტემპერატურებზე გამშრალი კალციუმის ქლორიდის შემცველ პოლიმერულ ხსნარებში, კონცენტრაციით 5 გ/ლ, განსაზღვრულია პოლიმერის ზომა და პოლიდისპერსიულობის ხარისხი სინათლის დინამიური გაბნევის მეთოდით [2-4]. პოლიმერების ზომები და ამ ხსნარიდან დამზადებული მემბრანების ხვედრითი წარმადობები წარმოდგენილია ცხრილში 2.

ცხ. 2-ში წარმოდგენილი მონაცემების მიხედვით 135°C ტემპერატურამდე გამშრალი კალციუმის ქლორიდი განაპირობებს პოლიმერულ მასაში ჯერადად განსხვავებული ზომის ნაწილაკების მიღებას გახსნის ზღვრული მაჩვენებლით 11 ნმ და მემბრანის მაღალ ხვედრით წარმადობას – 4600 ლ/მ²სთ-ს.

ცხრილი 2. 60 °C, 75 °C, 90 °C, 105 °C, 120 °C და 135 °C ტემპერატურებზე გამშრალი კალციუმის ქლორიდის შემცველი პოლიმერული კომპოზიციების ნაწილაკების ზომები, პოლიდისერიულობის ინდექსი და მიღებული მემბრანების ხვედრითი წარმადობები

№	ნიმუშის დასახელება	პიკი 1, ნბ	%	პიკი 2, ნბ	%	პიკი 3, ნბ	%	Ksp	PDI	Z- Ave	ხედრითი წარმადობა, J, ლ/მ².სთ
1	60 °C გამშრალი პოლიმერის და LiCl-ის პოლიმერული ხსნარი (5 გ/ლ)	9,549	47,2%	74,07	6,6%	1045	46,2%	53,3	0,987	619,1	1200
2		8,710	49,4%	20,79	7,5%	955,4	40,4%	53,9	1,00	821,9	
3		9,065	45,9%	54,76	6,2%	1102	47,9%	52,8	1,00	667,5	
1	75 °C გამშრალი პოლიმერის და LiCl-ის პოლიმერული ხსნარი (5 გ/ლ)	8,879	47,0%	20,67	9,1%	888,1	43,9%	49,4	1,00	648,7	1877
2		6,297	16,6%	10,74	37,8%	995,4	41,0%	46,2	0,826	626,0	
3		6,449	13,3%	11,17	37,2%	1279	46,0%	45,1	0,882	544,5	
1	90 °C გამშრალი პოლიმერის და LiCl-ის პოლიმერული ხსნარი (5 გ/ლ)	7,453	42,3%	19,25	15,9%	1048	41,8%	41,2	0,889	415,3	2188
2		8,458	48,9%	28,44	9,1%	1104	42,0%	39,5	0,821	493,8	
3		8,785	48,5%	30,65	6,9%	1027	44,6%	41,5	0,839	636,3	
1	105 °C გამშრალი პოლიმერის და LiCl-ის პოლიმერული ხსნარი (5 გ/ლ)	9,908	82,9%	49,62	8,7%	694,3	8,5%	18,3	0,210	16,95	2510
2		9,773	83,4%	76,36	8,0%	959,2	8,6%	18,0	0,228	15,33	
3		10,05	84,3%	41,42	9,1%	515,8	6,8%	17,9	0,153	28,59	
1	120 °C გამშრალი პოლიმერის და LiCl-ის პოლიმერული ხსნარი (5 გ/ლ)	9,076	41,1	536,8	39,7	18,10	19,3	54,5	0,978	759,0	3800
2		615,1	42,0	8,862	39,7	18,06	18,3	50,8	0,856	656,1	
3		1079	51,0	11,76	49,0	0	0	46,6	0,727	436,0	
1	135 °C გამშრალი პოლიმერის და LiCl-ის პოლიმერული ხსნარი (5 გ/ლ)	13,21	95,3	582,9	2,9	5183	1,8	20,4	0,257	12,07	4600
2		11,68	93,4	208,3	6,6	0	0	20,4	0,232	13,56	
3		11,36	89,8	61,22	7,2	547,7	3,0	19,9	0,286	12,87	

ავლევის შედეგად დადგინდა, რომ კალციუმის ქლორიდის შრობის ტემპერატურის ცვლილებით შესაძლებელია პოლიმერულ მასაში უმცირესი ნაწილაკების ზომების ზღვრული მაჩვენებლების და ფორმების წარმოქმნისათვის საჭირო ფართობის რეგულირება, რაც იწვევს მემბრანული აფკის ხვედრითი წარმადობის ზრდას.

ლიტერატურა

1. Michael Kaszuba, David McKnight, Malcolm T. Connah, Fraser K. McNeil-Watson & Ulf Nobmann Measuring sub nanometre sizes using dynamic light scattering. *Journal of Nanoparticle Research*, v. 10, p.823–829, (2008). <https://link.springer.com/article/10.1007/s11051-007-9317-4>
2. K.G.Kulikov, T.Koshlan. Measurement of sizes of colloid particles using dynamic light scattering. *Technical and Mathematical Physics*, 60(12):1758-1764, 2015; <https://link.springer.com/article/10.1134/S1063784215120099>
3. Ali Reza Kamali, Derek J. Fray, Carsten Schwandt. Thermokinetic characteristics of lithium chloride. //*Journal of Thermal Analysis and Calorimetry*, 2011, v.104, pp. 619-626. <https://link.springer.com/article/10.1007/s10973-010-1045-9?shared-article-renderer>
4. Wu, B.Zhao, Y.; Wu, H.M.; Wang, M.; Chen, J.F.; Ding, Y. Using molecular simulation to predict the mechanical properties of linear aromatic polyamides. //J. Univ. South China, 2014, pp. 86-90. http://en.cnki.com.cn/Article_en/CJFDTotal-ZNGB201404018.htm

SUMMARY

STUDY OF THE INFLUENCE OF INORGANIC SALT ON THE SOLUBILITY OF POLYMERS BY DYNAMIC LIGHT SCATTERING METHOD

Bibileishvili G.V., Ebanoidze L.O.

Engineering Institute of Membrane Technology, Georgian Technical University

Influence of temperature of drying of inorganic salt on degree of dissolution of polymeric compositions and on specific productivity of membranes received on the basis of polyethersulfone has been studied. It was established that the change in temperature of inorganic salt drying provided the decomposition of particles to the smallest size in the polymer mass and identification of their limit values, which makes possible to adjust the area required for the appearance of membrane pores and predict the specific productivity of the membrane film.

Keywords: polymeric membrane, polymer, calcium chloride, inorganic salt, specific output.



ნოდარ ჩიგოგიძე დაიბადა 1950 წლის 30 მაისს ქ. თბილისში. 1967 წელს ოქროს მედალზე დაამთავრა თბილისის 63-ე საშუალო სკოლა. 1972 წელს საქართველოს პოლიტექნიკური ინსტიტუტის ქიმიური ტექნოლოგიის ფაკულტეტიზე.

6. ჩიგოგიძის სამეცნიერო-კვლევით საქმიანობაში განსაკუთრებული ადგილი უკავია ვირუსული რეპროდუქციების პოტენციურ ინციდიტორებსა და ინტერფერონის ინდუქტორებს. მის მიერ სინთეზირებულია 189 ქიმიური ნაერთი.

2009 წელს დაიცვა საღოქტორო დისერტაცია.

2010 წლიდან არის საქართველოს ტექნიკური უნივერსიტეტის ბიოლოგიურად აქტიურ ნივთიერებათა კვლევის სამეცნიერო ცენტრის ხელმძღვანელის მოადგილე სამეცნიერო-ტექნიკურ დარგში.

6. ჩიგოგიძე არის საქართველოს საინჟინრო, სამხედრო-სამედიცინო, ეროვნულ და სოციალურ ურთიერთობათა, ფაზისის საერთო, გიგა ლორთქიფანიის სახელობის თეატრის, კინოს, მეცნიერებისა და საზოგადო მოღვაწეთა აკადემიურის აკადემიკოსი,

2009 წლიდან მუშაობს ავთვისებიანი სიმსივნეების მეტასტაზიორების პრობლემის გადასაჭრელად.

2020 წელს ტაო-კლარჯეთის სამეცნიერო აკადემიის მიერ დაჯილდოვდა ოქროს მედლით კიბოს საწინააღმდეგო, პირველი ქართული პრეპარატის გამოგონებისათვის.

ბატონმა ნოდარმა დიდი დგაწლი დასდო საქართველოში ქიმიური მრეწველობის წინსვლისა განვითარების საქმეს. არის 150-ზე მეტი სამეცნიერო ნაშრომის, მონოგრაფიების, სახელმძღვანელოების ავტორი, მიღებული აქვს 12 საავტორო მოწმობა გამოგონებაზე, აგრეთვე რაზიონალიზატორული წინადაღებები და ორი დანერგვის აქტი.

მან თავისი შრომით გაამდიდრა ბიოორგანული ნაერთების ქიმიის თეორია, პრაქტიკული წვლილი შეიტანა სამეცნეო პრეპარატების წარმოების ტექნოლოგიური რეგლამენტის შემუშავებაში, აგრეთვე სამშენებლო მასალებისა და მინერალური სასუქების ადგილობრივი სტანდარტებისა და ახალი საკები პროდუქტების, სას-მელების შექმნაში.

კულოცავთ ბატონ ნოდარს საიუბილეო თარიღს, ვუსურვებთ ჯანმრთელობას, ნაყოფიერ მეცნიერულ-პედაგოგიურ მოღვაწეობას და შემოქმედებით წარმატებებს.

საქართველოს ტექნიკური უნივერსიტეტი
საქართველოს საინჟინრო აკადემია
ურნალ Georgian Engineering News-ის რედაქცია

OUR AUTHORS (2020)

A

Abelashvili N. – 2020,2.
 Abzianidze N.E. – 2020,1.
 Aftsiauri L.G. – 2020,1.
 Alania D.L. – 2020,1.
 Ananiashvili Kh.O. – 2020,2.
 Avalishvili Z.A. – 2020,1.

B

Baliashvili G.I. – 2020,2.
 Bal-Prylypko L.V. – 2020,1.
 Bashar M. Ameen Abdullah Al-imam – 2020,1;2.
 Beridze J.L. – 2020,1.
 Bezhanov F.Kh. – 2020,2.
 Bezhushvili Yu.A. – 2020,1.
 Bibileishvil G.V.– 2020,2(10) .
 Bibileishvili D.V. – 2020,1;2.
 Bregadze M.A. – 2020,1.
 Buadze T.G. – 2020,2.
 Buishvili G.T. – 2020,2.
 Butchuzi T.G.– 2020,2(2).

C

Chigogidze E.N. – 2020,2.
 Chigogidze N.Sh. – 2020,1;2.
 Chincharauli J.I. – 2020,1.
 Chkhaidze M.T. – 2020,1.
 Chkhartishvili N.N. – 2020,1.
 Chkhonelidze G.I. – 2020,1.

D

Dadianidze G.A. – 2020,1.
 Demet rashvili M.A. – 2020,2(2).
 Dochviri B.M. – 2020,1.
 Dolaberidze N.M. – 2020,2.
 Dzidzishvili I.G. – 2020,1.
 Dzirkvelishvili N.D. – 2020,1(2).
 Dzneladze S.J. – 2020,1;2.

E

Ebanoidze L.O. – 2020,2(2).
 Ebelashvili N.V – 2020,2

G

Gagolishvili M.Sh. – 2020,2.
 Gagoshidze G.A. – 2020,1(2).
 Garmash A.M. – 2020,1.
 Geguchadze A.Ch. – 2020,1.
 Ghighashvili V.A. – 2020,2.
 Gigineishvili A.A. – 2020,2(2).
 Giorgadze N.V. – 2020,1.
 Giorgadze V.A. – 2020,2.
 Gogesashvili N.N– 2020,2(2).
 Gogokhia S.Sh. – 2020,1.
 Gordeziani G.A. – 2020,1.
 Gorgidze D.A – 2020,1;2
 Gulua N.G. – 2020,2.
 Gurgenidze D.R. – 2020,1.
 Gvazava S.G. – 2020,1.

I

Iremashvili D.J. – 2020,1.

J

Javashvili Z.D.– 2020,2(3).
 Javshanashvili N.B. – 2020,2.
 Jishkariani T.S. – 2020,2.

K

Kachakhidze I.S. – 2020,1.
 Kachakhidze N.D. – 2020,1.
 Kakabadze E.G.– 2020,2(2).
 Kakhidze N.A. – 2020,1.
 Kalandadze I.G. – 2020,2.
 Kanchaveli Sh.S. – 2020,1(2).
 Kapanadze I.G. – 2020,1;2.
 Kekelidze I.A. – 2020,2.
 Kenzhebayeva Zh.E. – 2020,2.
 Kevkhishvili N.A. – 2020,2.
 Kezherashvili M.G.– 2020,2(2).
 Kharashvili M.G. – 2020,2.
 Khidasheli N.Z. – 2020,1.
 Khutishvili B.T. – 2020,2.
 Khutishvili L.S. – 2020,2.
 Khutishvili M.G. – 2020,1.
 Khutishvili S.A. – 2020,2.
 Kiladze M.T. – 2020,1.
 Kipshidze D.G. – 2020,1.
 Kotrikadze K.O. – 2020,1.
 Kuparadze L.P.– 2020,2(2).

Kutsiava N.A. – 2020,2
 Kvartskava G.R. – 2020,1(2); 2(2).
 Kvartskava L.G. – 2020,2.
 Kvernadze M.S. – 2020,1.
 Kvernadze S.A. – 2020,1.
 Kvirkvelia Sh.V. – 2020,1.

L

Labartkava N.A. – 2020,1.
 Loladze N.T. – 2020,1.
 Lomsadze Kh.A. – 2020,2(2).

M

Machaladze T.E. – 2020,1.
 Maglakelidze K.D. – 2020,1.
 Makhashvili K.A. – 2020,1.
 Mamulashvili M.A. – 2020,2(2).
 Maspindzelashvili B.I. – 2020,1(2).
 Merebashvili G.M. – 2020,2.
 Meskhishvili M.M. – 2020,1;2.
 Metskhvarishvili M. – 2020,2.
 Mirdzveli N.A. – 2020,2.
 Mkheidze O.R. – 2020,1.
 Mukhashavria S.E. – 2020,2.
 Museridze R.R. – 2020,2(2).

N

Nadiradze I.Sh. – 2020,1;2.
 Nozadze D.A. – 2020,1.

O

Ormotsadze N.Sh. – 2020,1;2.
 Otkhozoria N.K. – 2020,2.

P

Pachulia Z.V. – 2020,1.
 Papava K.G. – 2020,1.
 Papidze Z.A. – 2020,1.
 Pavliashvili K.M. – 2020,1.

R

Robakidze N.Z. – 2020,1.
 Rostiashvili N.R. – 2020,1.

S

Samadashvili M.E. – 2020,1.

Samkharadze M.G. – 2020,1.
 Saralidze B.R. – 2020,1.
 Sarjveladze N.V. – 2020,2.
 Sharashenidze J.A. – 2020,1.
 Shatirishvili I.Sh. – 2020,1.
 Shatirishvili Sh.I. – 2020,1.
 Shildelashvili I.I. – 2020,2.
 Siradze M.G. – 2020,1;2.
 Skhvitaridze K.M. – 2020,2.
 Sordia E.K. – 2020, 1;2(2).
 Supatashvili G.D. – 2020,1.
 Svanidze R.G. – 2020,1(2).

T

Tabatadze LV. – 2020,1.
 Tabidze R.G. – 2020,1.
 Takaishvili N.V. – 2020,1.
 Tavadze G.F. – 2020,1.
 Tevzadze D.M. – 2020,2(2).
 Tkemaladze G.Sh. – 2020,1;2.
 Tkemaladze L.V. – 2020,2.
 Tserodze M.P. – 2020,1.
 Tsetsadze N.R. – 2020,2.
 Tsiklauri M.O. – 2020,1.
 Tsiklauri V.Z. – 2020,2.
 Tsintsadze I.Sh. – 2020,1.
 Tsivtsirvadze T.I. – 2020,1,2(2).
 Tsivtsivadze V.P. – 2020, 1;2.
 Tsitsishvili V.G. – 2020,2.

U

Uturashvili E.A. – 2020,2.

Z

Zhgamenti T.G. – 2020,2.
 Zivzividze B.L. – 2020,1.
 Zivzividze O.V. – 2020,1.